



การศึกษาความเร็วและทิศทางลมในประเทศไทยโดยใช้แบบจำลองบรรยากาศสกุลปานกลาง

โดย

นายวรภาส พรมเสน

วิทยานิพนธ์นี้เป็นส่วนหนึ่งของการศึกษาตามหลักสูตรปริญญาวิทยาศาสตรมหาบัณฑิต

สาขาวิชาฟิสิกส์

ภาควิชาฟิสิกส์

บัณฑิตวิทยาลัย มหาวิทยาลัยศิลปากร

ปีการศึกษา 2551

ลิขสิทธิ์ของบัณฑิตวิทยาลัย มหาวิทยาลัยศิลปากร

การศึกษาความเร็วและทิศทางลมในประเทศกัมพูชาโดยใช้แบบจำลองบรรยายศาสตร์ภายนอก

โดย

นายวรภาส พรมเสน

วิทยานิพนธ์นี้เป็นส่วนหนึ่งของการศึกษาตามหลักสูตรปริญญาวิทยาศาสตร์มหาบัณฑิต
สาขาวิชาฟิสิกส์
ภาควิชาฟิสิกส์
บัณฑิตวิทยาลัย มหาวิทยาลัยศิลปากร
ปีการศึกษา 2551
ลิขสิทธิ์ของบัณฑิตวิทยาลัย มหาวิทยาลัยศิลปากร

**AN INVESTIGATION OF WIND SPEED AND DIRECTION IN CAMBODIA BY USING AN
ATMOSPHERIC MESOSCALE MODEL**

**By
Worrapass Promsen**

**A Thesis Submitted in Partial Fulfillment of the Requirements for the Degree
MASTER OF SCIENCE
Department of Physics
Graduate School
SILPAKORN UNIVERSITY
2008**

บัณฑิตวิทยาลัย มหาวิทยาลัยศิลปากร อนุมติให้วิทยานิพนธ์เรื่อง “การศึกษาความเร็วและทิศทางลมในประเทศไทยโดยใช้แบบจำลองบรรยายกาศระดับสเกลปานกลาง” เสนอโดย นายรภัส พรมเสน เป็นส่วนหนึ่งของการศึกษาตามหลักสูตรปริญญาวิทยาศาสตรมหาบัณฑิต สาขาวิชาฟิสิกส์

.....
(รองศาสตราจารย์ ดร.ศิริชัย ชินะตั้งกุร)

คณบดีบัณฑิตวิทยาลัย
วันที่เดือน พ.ศ

อาจารย์ที่ปรึกษาวิทยานิพนธ์
รองศาสตราจารย์ ดร.เสริม จันทร์ฉาย

คณะกรรมการตรวจสอบวิทยานิพนธ์

..... ประธานกรรมการ
(รองศาสตราจารย์ จำนง ธรรมมาศ)

...../...../.....

..... กรรมการ
(รองศาสตราจารย์ ดร.เสริม จันทร์ฉาย)

...../...../.....

..... กรรมการ
(รองศาสตราจารย์ ดร.พิชัย นามประกาย)

...../...../.....

50306206 : สาขาวิชาฟิสิกส์

คำสำคัญ : ความเร็วลม/ทิศทางลม/แบบจำลองบรรยากาศ/สเกลปานกกลาง

วาระส พรอมเสนอ : การศึกษาความเร็วและทิศทางลมในประเทศไทยโดยใช้แบบจำลองบรรยากาศสเกลปานกกลาง. อาจารย์ที่ปรึกษาวิทยานิพนธ์: รองศาสตราจารย์ ดร. เสริม จันทร์ฉาย. 118 หน้า.

ในงานวิจัยนี้ผู้วิจัยได้ทำการคำนวณหาความเร็วและทิศทางลมทั่วประเทศไทยโดยใช้แบบจำลองบรรยากาศระดับสเกลปานกกลาง (atmospheric mesoscale model) โดยใช้ข้อมูลสภาวะของบรรยากาศระดับสเกลใหญ่ (large scale atmospheric data) ในช่วงเดือน กันยายน 2550 ถึง สิงหาคม 2551 รวมเป็นเวลา 1 ปี พร้อมทั้งข้อมูลลักษณะความสูงต่ำของพื้นที่และข้อมูลความหยาบของพื้นผิว (roughness) เป็นอินพุต (input) ของแบบจำลอง ผู้วิจัยได้แสดงผลการคำนวณจากแบบจำลองบรรยากาศดังกล่าวในรูปแผนที่ลม และการแปรค่าตามพื้นที่ของความเร็วและทิศทางลมเฉลี่ยรายเดือน และเฉลี่ยรายปีทั่วประเทศไทยระดับความสูง 50 เมตร และ 100 เมตรจากพื้นดิน จากแผนที่ดังกล่าวแสดงให้เห็นว่าโดยส่วนใหญ่ทั่วทุกภูมิภาคของประเทศไทย ความเร็วลมมีค่าค่อนข้างต่ำ (2 – 3 เมตร/วินาที) แต่ก็พบในบางบริเวณที่มีลมที่ค่อนข้างแรงกว่าบริเวณอื่นๆ (4 - 5 เมตร/วินาที) คือบริเวณทางตะวันออกเฉียงเหนือและตามแนวเขากางตะวันตกเฉียงใต้ของประเทศ นอกจากนั้นผู้วิจัยได้เปรียบเทียบความเร็วลมเฉลี่ยที่ได้จากการคำนวณกับข้อมูลความเร็วลมจากสถานีวัดลมที่เมืองเสียมเรียน กัมpong Thom สีหนุวิลล์ พนมเปญ และกัมปอต ในประเทศไทยที่วัดในช่วงเวลาเดียวกัน ผลการเปรียบเทียบพบว่าความเร็วลมที่ได้จากการคำนวณมีแนวโน้มที่ใกล้เคียงกับความเร็วลมที่ได้จากการวัดโดยมีค่าความแตกต่างในรูปของ root mean square difference (RMSD) เท่ากับ 23.1% ในด้านของทิศทางลม ผู้วิจัยได้เปรียบเทียบการแจกแจงของทิศทางลมในรูปของ wind rose ระหว่างค่าจากการคำนวณและจากการวัดพบว่าการแจกแจงส่วนใหญ่สอดคล้องกัน และสอดคล้องเป็นอย่างดีกับอิทธิพลของลมมรสุม

ภาควิชาฟิสิกส์ บัณฑิตวิทยาลัย มหาวิทยาลัยศิลปากร

ลายมือชื่อนักศึกษา.....

ลายมือชื่ออาจารย์ที่ปรึกษาวิทยานิพนธ์

ปีการศึกษา 2551

50306206 : MAJOR : PHYSICS

KEY WORD : WIND SPEED/WIND DIRECTION/ATMOSPHERIC MESOSCALE MODEL

WORRAPASS PROMSEN : AN INVESTIGATION OF WIND SPEED AND DIRECTION IN CAMBODIA BY USING AN ATMOSPHERIC MESOSCALE MODEL. THESIS ADVISOR : ASSOC. PROF. SERM JANJAI, Ph.D.. 118 pp.

An Atmospheric Mesoscale Model was used to calculate wind speed and wind direction in Cambodia by using large scale atmospheric data during September 2007 – August 2008, orography and roughness data as the inputs. The monthly average and an annual average wind maps at 50m and 100m above ground level were produced from simulated data. It found that mostly in Cambodia the wind speed is low (2 – 3 m/s), however, there are some parts of the country have higher wind speed (4 – 5 m/s), the northeastern part and along the mountainous area in the southwest. The results were compared with the measurement data from 5 stations in Siemreap, Kompong Thom, Phnompenh, Sihanouke Ville and Kampot. The root mean square difference (RMSD) between simulated wind speed and the measurement is 23.1%. Monthly wind roses for both data from measurement and simulation were also generated and compared. The comparison showed that most of wind roses are acceptably agree to each other. Moreover, they are definitely fit well with an effect of the monsoon, especially the southwest monsoon.

Department of Physics Graduate School, Silpakorn University Academic Year 2008

Student's signature

Thesis Advisor's signature

กิตติกรรมประกาศ

ในการดำเนินการวิจัยในหัวข้อเรื่อง การศึกษาความเร็วและทิศทางลมในประเทศไทย กัมพูชาโดยใช้แบบจำลองบรรยายศาสตร์กลไก ผู้วิจัยขอขอบคุณรองศาสตราจารย์ ดร.เสริม จันทร์ฉาย ที่ให้คำปรึกษาและให้คำแนะนำ ตลอดจนสนับสนุนค่าใช้จ่ายในการทำวิจัย

ขอขอบคุณ รองศาสตราจารย์ ดร.พิชัย นามประกาย และ รองศาสตราจารย์ จำงค์ ธรรมมาศ ที่เสียสละเวลา มาเป็นกรรมการสอบวิทยานิพนธ์

ขอขอบคุณนักวิจัยทุกคน ในห้องปฏิบัติการวิจัยพลังงานแสงอาทิตย์ ที่ให้ความช่วยเหลือ โดยเฉพาะคุณอิสระ มะศิริ ที่ให้คำปรึกษาและช่วยเหลือเรื่องโปรแกรมอย่างดี และคุณตรีนุช จันทรราช ที่ช่วยเหลือในการพิสูจน์อักษร

ท้ายสุดนี้ คุณค่าและประโยชน์ของวิทยานิพนธ์ฉบับนี้ ผู้วิจัยขออนุญาตอุบัติ พร้อมๆ กับการนำเสนอผลงานที่ได้รับการสนับสนุนจากผู้ที่เกี่ยวข้อง ขอแสดงความนับถือและขอขอบคุณ

สารบัญ

	หน้า
บทคัดย่อภาษาไทย	๑
บทคัดย่อภาษาอังกฤษ	๒
กิตติกรรมประกาศ.....	๓
สารบัญภาพ	๔
สัญลักษณ์	๕
 บทที่	
1 บทนำ.....	1
1.1 ความเป็นมาและความสำคัญของปัญหา.....	1
1.2 วัตถุประสงค์ของการวิจัย.....	3
2 หลักทางวิชาการและงานวิจัยที่เกี่ยวข้อง	4
2.1 ประเทศภัณฑ์พุชชา	5
2.2 การหมุนเวียนทั่วไปของบรรยายกาศ	5
2.2.1 แบบจำลองวงจรเดี่ยว.....	5
2.2.2 แบบจำลอง 3 วงจร	6
2.3 ลมและประเภทของลม	9
2.3.1 ลมชั้นบน	9
2.3.2 ลมผิวพื้น	12
2.4 ลมรสุม	13
2.5 การวัดลม	15
2.5.1 เครื่องวัดความเร็วลม.....	16
2.5.2 การวัดทิศลม	21
2.6 การตรวจลมชั้นบน	22
2.7 งานวิจัยที่เกี่ยวข้อง	24
3 วิธีการวิจัยและผล	30
3.1 แบบจำลองบรรยายกาศระดับสเกลปานกลาง	30

บทที่	หน้า
3.2 การเตรียมข้อมูลลักษณะพื้นผิว	35
3.2.1 ข้อมูลดิจิตอลระดับความสูงของพื้นผิว.....	35
3.2.2 ข้อมูลแผนที่ความ helyan ของพื้นผิว	36
3.3 การเตรียมข้อมูลบรรยายกาศ	38
3.4 การคำนวณความเร็วและทิศทางลม	41
3.4.1 ข้อมูลจีโอสโตรฟิก.....	41
3.4.2 ประมาณผลข้อมูลและการแสดงผลลัพธ์จากแบบจำลอง	44
3.5 ผลการคำนวณ	47
3.6 การเปรียบเทียบผลการคำนวณ.....	74
3.6.1 สถานีวัดลม	74
3.6.2 การเปรียบเทียบความเร็วลมจากการวัดและจากแบบจำลอง	77
3.6.3 การเปรียบเทียบทิศทางลมเฉลี่ยรายเดือนจากการวัดและ จากแบบจำลอง	84
3.6.4 การเปรียบเทียบแผนที่ลมจากการวิจัยนี้เป็นแผนที่ลมที่ดำเนิน การโดย World bank	102
4 สรุป	105
บรรณานุกรม	107
ภาคผนวก	109
ประวัติผู้วิจัย	118

สารบัญภาพ

รูปที่		หน้า
2.1	แผนที่ประเทศกัมพูชาแสดงอาณาเขตติดต่อและจังหวัดต่างๆ	4
2.2	แสดงการหมุนเวียนทั่วไปของอากาศแบบจำลองวงจรเดียว	6
2.3	แสดงการหมุนเวียนทั่วไปของอากาศแบบจำลอง 3 วงจร	7
2.4	แสดงลมผิวพื้นและระบบความกดอากาศ	8
2.5	แสดงลมจีโอสโตรฟิกซึ่งพัดขนานกับไอโซบาร์ในเชิงโภคเหนือ.....	10
2.6	แสดงทิศทางของลมจีโอสโตรฟิก ในเชิงโภคเหนือที่ไม่มีแรงฟีดในระดับความสูง จากพื้นดิน 3 กิโลเมตร	10
2.7	แสดงความสมดุลของแรง 3 แรง รอบๆ ความกดอากาศ	11
2.8	แสดงลักษณะของลมผิวพื้น โดยในระดับความสูง 1 กิโลเมตรแรกจากผิวพื้นที่มี แรงฟีด ลมผิวพื้นจะพัดข้ามไอโซบาร์ และทำมุนกับไอโซบาร์.....	13
2.9	แสดงลมมรสุมฤดูหนาว และ ลมมรสุมฤดูร้อน	14
2.10	แสดงสภาพธรรมชาติที่บ่งชี้ถึงสภาพภาวะของลมในบริเวณนั้น	15
2.11	แสดงแนวโน้มมิเตอร์แบบถัวงแบบ 3 และ 4 ถูกถัวง	17
2.12	แสดงแนวโน้มมิเตอร์แบบกังหันลมทั้งสองแบบ	17
2.13	แสดงแนวโน้มมิเตอร์แบบแผ่นความคันแบบต่างๆ	18
2.14	แสดงแนวโน้มมิเตอร์แบบห่อความคัน	19
2.15	แสดงแนวโน้มมิเตอร์แบบโซนิก	20
2.16	แสดงแนวโน้มมิเตอร์แบบลวดร้อน	20
2.17	แสดงตัวอย่างครลอนในอคีตและปั๊จุบัน	21
2.18	แสดงทิศลมเรียกเป็นองศาจากทิศจริง แบบ 16 ทิศ	22
2.19	แสดงบล็อกลุนตรวจสอบอากาศที่มีเรคิดไอโซนต์	23
2.20	แผนที่ศักยภาพพลังงานลมของ Ireland	26
2.21	แสดงแผนที่ลมที่ระดับ 50 เมตรของรัฐ Newfoundland ประเทศแคนาดา.....	27
2.22	แสดงแผนที่ลมที่ระดับ 30 เมตรของประเทศบังคลาเทศ.....	28
2.23	แสดงแผนที่ลมของประเทศไทยอียิปต์.....	29
3.1	แสดงการแบ่งบรรยายอากาศออกเป็นกริด (grid) ใน 3 มิติ	34
3.2	แสดงลักษณะของข้อมูลความสูงพื้นผิวครอบคลุมประเทศกัมพูชา	36

รูปที่		หน้า
3.3 แสดงแผนที่ความ helyab ของพื้นผิวครอบคลุมประเทศไทย.....	37	
3.4 แสดงทิศทางของการพัดของลมผ่านภูเขา ก) กรณีที่อากาศมีสภาวะเสถียร ข) กรณีที่อากาศมีสภาวะไม่เสถียร	40	
3.5 แสดงไฟล์รายวัน ที่สร้างจากข้อมูล NCEP/NCAR reanalysis	43	
3.6 ตัวอย่างไฟล์อินพุทที่ใช้สำหรับแบบจำลองบรรยากาศระดับสากลปานกลาง.....	43	
3.7 แผนที่ลมเฉลี่ยของเดือนกรกฎาคม จากการคำนวณโดยแบบจำลองบรรยากาศ สากลปานกลาง ณ ระดับความสูง 50 เมตร จากพื้นดิน.....	48	
3.8 แผนที่ลมเฉลี่ยของเดือนกรกฎาคม จากการคำนวณโดยแบบจำลองบรรยากาศ สากลปานกลาง ณ ระดับความสูง 100 เมตร จากพื้นดิน.....	49	
3.9 แผนที่ลมเฉลี่ยของเดือนกุมภาพันธ์ จากการคำนวณโดยแบบจำลองบรรยากาศ สากลปานกลาง ณ ระดับความสูง 50 เมตร จากพื้นดิน.....	50	
3.10 แผนที่ลมเฉลี่ยของเดือนกุมภาพันธ์ จากการคำนวณโดยแบบจำลองบรรยากาศ สากลปานกลาง ณ ระดับความสูง 100 เมตร จากพื้นดิน.....	51	
3.11 แผนที่ลมเฉลี่ยของเดือนมีนาคม จากการคำนวณโดยแบบจำลองบรรยากาศ สากลปานกลาง ณ ระดับความสูง 50 เมตร จากพื้นดิน.....	52	
3.12 แผนที่ลมเฉลี่ยของเดือนมีนาคม จากการคำนวณโดยแบบจำลองบรรยากาศ สากลปานกลาง ณ ระดับความสูง 100 เมตร จากพื้นดิน.....	53	
3.13 แผนที่ลมเฉลี่ยของเดือนเมษายน จากการคำนวณโดยแบบจำลองบรรยากาศ สากลปานกลาง ณ ระดับความสูง 50 เมตร จากพื้นดิน.....	54	
3.14 แผนที่ลมเฉลี่ยของเดือนเมษายน จากการคำนวณโดยแบบจำลองบรรยากาศ สากลปานกลาง ณ ระดับความสูง 100 เมตร จากพื้นดิน.....	55	
3.15 แผนที่ลมเฉลี่ยของเดือนพฤษภาคม จากการคำนวณโดยแบบจำลองบรรยากาศ สากลปานกลาง ณ ระดับความสูง 50 เมตร จากพื้นดิน.....	56	
3.16 แผนที่ลมเฉลี่ยของเดือนพฤษภาคม จากการคำนวณโดยแบบจำลองบรรยากาศ สากลปานกลาง ณ ระดับความสูง 100 เมตร จากพื้นดิน.....	57	
3.17 แผนที่ลมเฉลี่ยของเดือนมิถุนายน จากการคำนวณโดยแบบจำลองบรรยากาศ สากลปานกลาง ณ ระดับความสูง 50 เมตร จากพื้นดิน.....	58	

รูปที่	หน้า
3.31 แผนที่ลมเฉลี่ยในช่วง 1 ปี (กันยายน 2550 – สิงหาคม 2551) จากการคำนวณ โดยแบบจำลองบรรยายกาศสเกลปานกลาง ณ ระดับความสูง 50 เมตร.....	72
3.32 แผนที่ลมเฉลี่ยในช่วง 1 ปี (กันยายน 2550 – สิงหาคม 2551) จากการคำนวณ โดยแบบจำลองบรรยายกาศสเกลปานกลาง ณ ระดับความสูง 100 เมตร.....	73
3.33 แผนที่ศักยภาพพลังงานลมในภูมิภาคเอเชียตะวันออกเฉียงใต้ จากโครงการ The World Bank Asia Alternative Energy Program	74
3.34 แสดงตำแหน่งที่ตั้งสถานีวัดลมใหม่ที่จัดตั้งขึ้นตามโครงการความร่วมมือด้าน ^{พัฒนาเทคโนโลยีพลังงานระหว่างไทยกับประเทศกัมพูชา}	75
3.35 เสาวัดลมที่ติดตั้งอุปกรณ์วัดลมบนเสาที่ระดับความสูง 20 เมตร 40 เมตร.....	76
3.36 ตู้เก็บเครื่องบันทึกข้อมูลและอุปกรณ์อื่นๆภายในอาคารสำนักงานของเจ้าหน้าที่ผู้ดูแล.	77
3.37 แสดงการเปรียบเทียบระหว่างอัตราเร็วเฉลี่ยรายเดือนจากการคำนวณด้วยแบบจำลอง บรรยายกาศสเกลปานกลาง กับการวัด ณ เมืองเสียมเรียบ ที่ระดับความสูง 50 เมตร	78
3.38 แสดงการเปรียบเทียบระหว่างอัตราเร็วเฉลี่ยรายเดือนจากการคำนวณด้วยแบบจำลอง บรรยายกาศสเกลปานกลาง กับการวัด ณ เมืองกัมpong ที่ระดับความสูง 50 เมตร.....	79
3.39 แสดงการเปรียบเทียบระหว่างอัตราเร็วเฉลี่ยรายเดือนจากการคำนวณด้วยแบบจำลอง บรรยายกาศสเกลปานกลาง กับการวัด ณ เมืองพนมเปญ ที่ระดับความสูง 30 เมตร	80
3.40 แสดงการเปรียบเทียบระหว่างอัตราเร็วเฉลี่ยรายเดือนจากการคำนวณด้วยแบบจำลอง บรรยายกาศสเกลปานกลาง กับการวัด ณ เมืองสีหนุวิลล์ ที่ระดับความสูง 50 เมตร	81
3.41 แสดงการเปรียบเทียบระหว่างอัตราเร็วเฉลี่ยรายเดือนจากการคำนวณด้วยแบบจำลอง บรรยายกาศสเกลปานกลาง กับการวัด ณ เมืองกัมปอต ที่ระดับความสูง 50 เมตร.....	82
3.42 แสดงการเปรียบเทียบค่า MBD และ RMSD ของอัตราเร็วเฉลี่ยรายเดือน จากการคำนวณด้วยแบบจำลองบรรยายกาศ กับอัตราเร็วเฉลี่ยรายเดือน จากทุกสถานีวัด ที่ระดับความสูง 50 เมตร	83
3.43 เปรียบเทียบ wind rose รายเดือนของข้อมูลที่ได้จาก แบบจำลองบรรยายกาศ ^{และจากการวัด ณ เมืองเสียมเรียบ}	87
3.44 เปรียบเทียบ wind rose รายเดือนของข้อมูลที่ได้จาก แบบจำลองบรรยายกาศ ^{และจากการวัด ณ เมืองกัมpong}	90

รูปที่		หน้า
3.45	เปรียบเทียบ wind rose รายเดือนของข้อมูลที่ได้จาก แบบจำลองบรรยายกาศ และจากการวัด ณ เมืองพนมเปญ	93
3.46	เปรียบเทียบ wind rose รายเดือนของข้อมูลที่ได้จาก แบบจำลองบรรยายกาศ และจากการวัด ณ เมืองสีหนุวิลล์.....	96
3.47	เปรียบเทียบ wind rose รายเดือนของข้อมูลที่ได้จาก แบบจำลองบรรยายกาศ และจากการวัด ณ เมืองกัมปอต	99
3.48	แผนที่ศักยภาพพลังงานลมในภูมิภาคเอเชียตะวันออกเฉียงใต้ จากโครงการ The World Bank Asia Alternative Energy Program (ตัดนาเขตประปาประเทศไทย) ..	103
3.49	แผนที่ลมเฉลี่ยในช่วง 1 ปี (กันยายน 2550 – สิงหาคม 2551) จากการศึกษารึ่นนี้	103
A1	แสดงชื่อส่วนของเสาวัดลม ซึ่งจะนำไปติดตั้งในกัมพูชา.....	109
A2	แสดงแนวติดตั้งอุปกรณ์วัดลม	110
A3	แสดงแนวพร้อมแผ่นรองโซลาร์เซลล์ ซึ่งจะนำไปติดบนเสาวัดลม	111
A4	แสดงตู้ใส่เครื่องบันทึกข้อมูล	112
A5	แสดงเสาวัดลมที่สถานีเลี่ยมเรียง.....	113
A6	แสดงเครื่องบันทึกข้อมูลที่สถานีเลี่ยมเรียง	113
A7	แสดงเสาวัดลมที่สถานีกัมปงชំ	114
A8	แสดงเครื่องบันทึกข้อมูลที่สถานีกัมปงชំ	114
A9	แสดงการติดตั้งเสาวัดลมที่สถานีพนมเปญ	115
A10	แสดงเครื่องบันทึกข้อมูลของสถานีพนมเปญ.....	115
A11	แสดงเสาวัดลมที่สถานีสีหนุวิลล์.....	116
A12	แสดงเครื่องบันทึกข้อมูลที่สถานีสีหนุวิลล์	116
A13	แสดงเสาวัดลมที่สถานีกัมปอต	117
A14	แสดงเครื่องบันทึกข้อมูลที่สถานีกัมปอต	117

ສัญลักษณ์

f	= แรงคอริออดิส
g	= ความเร่งอันเนื่องจากแรงโน้มถ่วงของโลก
h	= ความสูงของสิ่งกีดขวาง, m
u	= ความเร็วลม, m/s
u_G	= เป็นองค์ประกอบของความเร็วลมจีโอสโตรฟิกในแนวแกน x
u_m	= ความเร็วลมสเกลปานกลาง (mesoscale wind) ในแนวแกน x
u'	= turbulent deviation ของความเร็วลมในแนวแกน x
\bar{u}	= ความเร็วลมเฉลี่ยในแนวแกน x
v	= ความเร็วลม
v_G	= เป็นองค์ประกอบของความเร็วลมจีโอสโตรฟิกในแนวแกน y
v_m	= ความเร็วลมสเกลปานกลาง (mesoscale wind) ในแนวแกน y
v'	= turbulent deviation ของความเร็วลมในแนวแกน y
\bar{v}	= ความเร็วลมเฉลี่ยในแนวแกน y
w_m	= ความเร็วลมสเกลปานกลาง (mesoscale wind) ในแนวแกน z
w'	= turbulent deviation ของความเร็วลมในแนวแกน z
\bar{w}	= ความเร็วลมเฉลี่ยในแนวแกน z
A_c	= พื้นที่ของถ้วยที่ลมปะทะ
C	= สัมประสิทธิ์ของแรง (drag coefficient)
C_p	= ความร้อนจำเพาะของอากาศ
F	= แรงที่กระทำต่อลูกถ้วย (drag force)
Fr	= Froude number
N	= Brunt-Väisälä frequency
P	= ความดันบรรยากาศที่ความสูงใดๆ
P_0	= ความดันบรรยากาศที่พื้นผิวโลก 1013 mbar/atm
R	= gas constant
T	= อุณหภูมิของอากาศจาก NCEP/NCAR
T_G	= อุณหภูมิของอากาศ

π	= Exner function
π_m	= Exner function ในสเกลปานกลาง
π_d^*	= dynamic part ของ mesoscale pressure
π_g	= Exner function ในสเกลใหญ่
π_h^*	= thermal part ของ mesoscale pressure
θ_0	= potential temperature ที่พื้นผิว
θ_g	= large-scale field of the potential temperature
θ_m	= potential temperature ในสเกลปานกลาง
θ'	= turbulent deviation ของ potential temperature
$\bar{\theta}$	= ค่าเฉลี่ยของ potential temperature
$\frac{d\theta}{dz}$	= potential temperature gradient
ρ_a	= ความหนาแน่นของอากาศ

บทที่ 1

บทนำ

1.1 ความเป็นมาและความสำคัญของปัญหา

ในปัจจุบันทุกภาคส่วนทั้งในและต่างประเทศต่างให้ความสนใจเกี่ยวกับพลังงานทางเลือก หรือพลังงานทดแทนเป็นอย่างมาก สืบเนื่องจากพลังงานที่ได้จากชาวดึกดำบรรพ์ (fossil fuel) นับวันยิ่งลดน้อยลง พลังงานลม เป็นแหล่งพลังงานทดแทนที่สำคัญ เพราะสามารถแปรรูปเป็น พลังงานไฟฟ้าได้สะดวก โดยปัจจุบันทั่วโลกมีการติดตั้งกังหันลมเพื่อการผลิตไฟฟ้าคิดเป็นกำลัง การผลิตประมาณ 74,000 เมกะวัตต์ ส่วนใหญ่อยู่ในยุโรปและอเมริกาเหนือ ตัวอย่างเช่น ในประเทศไทย มีการติดตั้งกังหันลมเพื่อการผลิตไฟฟ้า 14,600 เมกะวัตต์ และในประเทศเดนมาร์ก ประมาณ 3,100 เมกะวัตต์ (Mathew, 2006) เป็นต้น นอกจากนี้ยังมีแนวโน้มการขยายตัวการติดตั้ง กังหันลมเพื่อการผลิตไฟฟ้าในเอเชียและส่วนอื่นๆ ของโลกด้วย ในช่วง 20 ปีที่ผ่านมาเทคโนโลยี กังหันลมเพื่อการผลิตไฟฟ้าได้พัฒนาไปอย่างรวดเร็ว โดยมีการผลิตกังหันลมในเชิงอุตสาหกรรม ในหลายประเทศ เช่น เดนมาร์ก เยอรมัน อินเดีย และจีน โดยทั่วไปพลังงานที่ได้จากการติดตั้ง กังหันลมเพื่อการผลิตไฟฟ้าได้เปลี่ยนแปลงไปตามภูมิประเทศและสภาพทางอุตุนิยมวิทยา โดยปริมาณ ของไฟฟ้าที่ผลิตได้จะขึ้นกับสภาพของลมในบริเวณนั้น ซึ่งส่งผลโดยตรงต่อต้นทุนการผลิตไฟฟ้า ดังนั้นก่อนที่จะทำการเลือกพื้นที่ใดพื้นที่หนึ่งเพื่อจะทำการติดตั้งกังหันลมจำเป็นต้องทราบสภาพ ของลม ณ พื้นที่นั้นๆ ที่สำคัญ ได้แก่ ความเร็วลม ทิศทางลม และลักษณะการเปลี่ยนแปลงของลม ในพื้นที่นั้นๆ ก่อน จากนั้นจึงนำข้อมูลดังกล่าวมาประกอบการพิจารณาตัววิเคราะห์ รวมถึงกับองค์ประกอบอื่นๆ เช่น ระยะห่างจากเครื่องข่ายสายส่งไฟฟ้า การคมนาคมขนส่ง และผลกระทบต่อสิ่งแวดล้อม เป็นต้น โดยทั่วไปข้อมูลความเร็วลมที่ต้องการจะได้จากการติดตั้งเครื่องวัดลมในบริเวณที่สนใจ หรือใช้ ข้อมูลจากสถานีวัดลมที่เชื่อมต่อได้ซึ่งอยู่ในบริเวณใกล้เคียง สำหรับการดูภาพรวมของศักยภาพ พลังงานลมในระดับภูมิภาคหรือระดับประเทศจะต้องดำเนินการจัดทำแผนที่ศักยภาพพลังงานลม ซึ่งแสดงการแบร์ค่าของพลังงานตามพื้นที่ หรือความเร็วลมในบริเวณนั้นๆ เนื่องจากแผนที่ศักยภาพ พลังงานลมเป็นเครื่องมือสำคัญในการบ่งชี้ศักยภาพพลังงานลมในพื้นที่ต่างๆ ดังนั้นในช่วงเวลา 20 ปีที่ผ่านมา นักวิจัยในประเทศไทยต่างๆ จึงได้ทำการพัฒนาเทคนิคการจัดทำแผนที่ศักยภาพพลังงานลม เพื่อใช้เป็นแนวทางเบื้องต้นในการเลือกพื้นที่สำคัญในการติดตั้งกังหันลม ก่อนที่จะทำการสำรวจและ เก็บข้อมูลที่แท้จริงของบริเวณนั้นๆ อีกรอบหนึ่งเพื่อให้มั่นใจว่าเมื่อติดตั้งกังหันลมไปแล้วจะได้ ผลลัพธ์อุกมาคุ้มค่าต่อการลงทุน

เป็นที่ทราบกันดีว่าความเร็วลมที่กระจายตามพื้นที่ต่างๆ จะมีความสำคัญต่องานทางด้านพลังงานลม โดยความเร็วลมถือเป็นข้อมูลพื้นฐานสำหรับคำนวณพลังงานที่จะได้จากกังหันลม กล่าวคือพลังงานจลน์ของกระแสลมจะแปรตามกำลังสามของความเร็วลมนั่นเอง ยิ่งไปกว่านั้น ความเร็วลมที่กระจายตามพื้นที่ยังสำคัญสำหรับงานทางอุตุนิยมวิทยาด้วยเช่นเดียวกัน เพราะความเร็วลมมีผลต่อการเคลื่อนที่ของเมฆและสภาพอากาศทางอุตุนิยมวิทยาในพื้นที่ต่างๆอันเป็นปัจจัยหลักที่ใช้ในการพยากรณ์อากาศของกรมอุตุนิยมวิทยา ดังนั้นที่สถานีตรวจอากาศในปัจจุบันจึงมีการเก็บข้อมูลลมด้วยเช่นเดียวกัน

ถึงแม้ว่าปริมาณการใช้พลังงานลมในที่ต่างๆทั่วโลกจะเพิ่มสูงขึ้นในปัจจุบัน แต่ในหลายๆ พื้นที่ยังคงประสบปัญหาอันเนื่องจากการขาดแคลนข้อมูลนี้น่าเชื่อถือเพื่อใช้ในการตัดสินใจในการลงทุนและสนับสนุนโครงการทางด้านพลังงานลมของรัฐบาลและนักลงทุน รวมถึงผู้มีส่วนเกี่ยวข้องอื่นๆ ใน การให้ความสำคัญกับโครงการพัฒนาทางด้านพลังงานลม และการปรับปรุงบริเวณที่มีศักยภาพทางด้านพลังงานลมสูงเหมาะสมแก่การลงทุน ซึ่งการขาดข้อมูลดังกล่าวจะนี้ถือเป็นปัจจัยสำคัญที่ทำให้การพัฒนาทางด้านพลังงานลมในภูมิภาคเอเชียตะวันออกเฉียงใต้ไม่รุดหน้าเท่าที่ควร

การวิเคราะห์ศักยภาพพลังงานลมที่มีประสิทธิภาพวิธีหนึ่งคือการใช้แบบจำลองบรรยายการระดับสเกลปานกลาง (atmospheric mesoscale model) ทำการหาการแปรค่าตามพื้นที่ของความเร็วลมและทิศทางลมในเดือนต่างๆในรอบปี โดยทั่วไปแบบจำลองดังกล่าวใช้ได้ผลดีกับพื้นที่ (domain) ซึ่งไม่กว้างเกินไปและต้องมีข้อมูลมาจากสถานีวัดลมในพื้นที่นั้นหลายจุด เนื่องจากดังกล่าวสอดคล้องกับสถานีของประเทศไทยกัมพูชา ทั้งนี้ เพราะประเทศไทยกัมพูชามีขนาดความกว้างประมาณ 500 กิโลเมตรและยาวประมาณ 450 กิโลเมตร ซึ่งเหมาะสมกับการคำนวณ 1 domain ของแบบจำลองบรรยายการระดับสเกลปานกลาง นอกจากนี้ในประเทศไทยกัมพูชา มีสถานีวัดลมซึ่งจัดตั้งขึ้นใหม่ในโครงการความร่วมมือด้านพลังงานทดแทนระหว่างประเทศไทยและประเทศไทยกัมพูชา 5 แห่งซึ่งมีข้อมูลมุ่งภาพดีที่ความสูง 20 – 50 เมตรซึ่งเหมาะสมต่อการนำมาใช้ประกอบการคำนวณ ดังนั้นในงานวิจัยนี้ ผู้วิจัยจึงเสนอที่จะทำการศึกษาความเร็วและทิศทางลมในประเทศไทยกัมพูชา ทั้งนี้เพื่อเรียนรู้การใช้แบบจำลองบรรยายการระดับสเกลปานกลางและนำผลที่ได้ไปประยุกต์ใช้ในด้านพลังงานลมต่อไป

1.2 วัตถุประสงค์ของการวิจัย

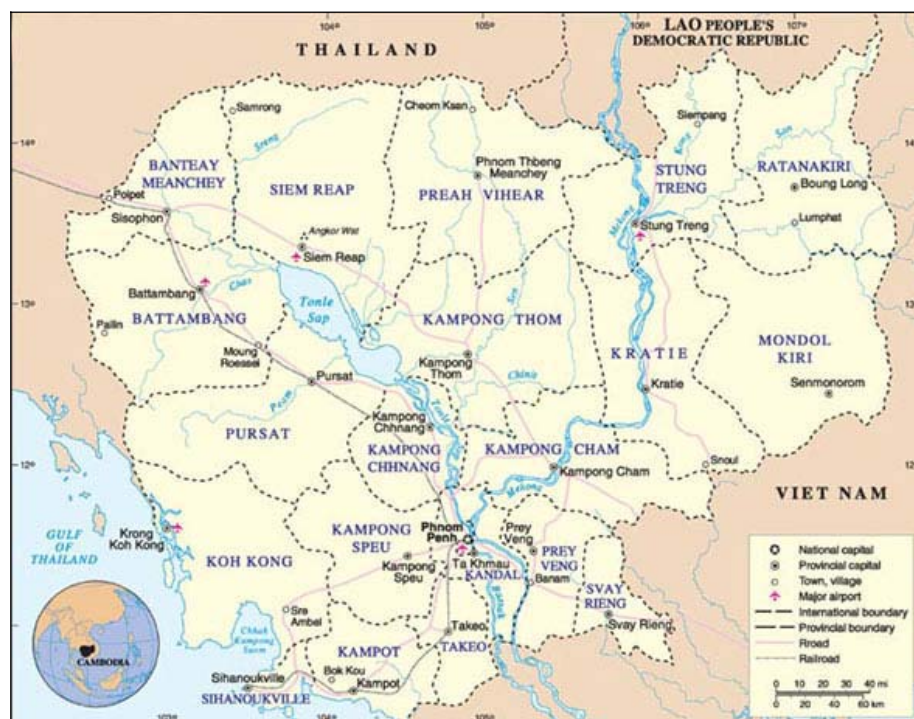
- 1) เพื่อหาความรู้ว่ามีที่ว่าประเทศก้มพูชาโดยใช้แบบจำลองบรรยากาศระดับสเกลปานกลาง (Atmospheric mesoscale model)
- 2) เพื่อทดสอบสมรรถนะของแบบจำลองโดยการเปรียบเทียบกับข้อมูลวัด

บทที่ 2

หลักการทางวิชาการและงานวิจัยที่เกี่ยวข้อง

2.1 ประเทศกัมพูชา

ประเทศกัมพูชาตั้งอยู่ในเขตมรสุมของทวีปเอเชีย ทางทิศตะวันตกเฉียงใต้ของคาบสมุทร อินโดจีน ระหว่างเส้นละติจูดที่ 10 องศา 30 ลิปดาเหนือ ถึงเส้นละติจูดที่ 14 องศา 30 ลิปดาเหนือ และระหว่างเส้นลองจิจูดที่ 102 องศา 30 ลิปดาตะวันออก ถึงเส้นลองจิจูดที่ 107 องศา 30 ลิปดา ตะวันออก มีพื้นที่ประมาณ 181,035 ตารางกิโลเมตร กว้างประมาณ 500 กิโลเมตร ยาวประมาณ 450 กิโลเมตร หรือมีพื้นที่ประมาณ 1 ใน 3 ของประเทศไทย ภูมิประเทศส่วนใหญ่เป็นพื้นที่ราบลุ่ม และราบสูง เต็มไปด้วยลำธาร ห้วย หนอง คลอง บึง ตอนกลางของประเทศมีทะเลสาบใหญ่ที่สุดในเอเชียอาคเนย์ นอกนั้นเป็นป่าไปร่อง ป่าทึบ และภูเขา โดยเฉลี่ยแล้วมีพื้นที่เป็นป่าทั้งป่าสมบูรณ์ ป่าไปร่อง ที่ราบสูง และภูเขา ประมาณร้อยละ 50 พื้นที่ราบลุ่มประมาณร้อยละ 40 และ พื้นที่น้ำประมาณร้อยละ 10 มีฝังทะเลาะประมาณ 450 กิโลเมตร หรือประมาณ 1 ใน 6 ของเส้นพรอมแดนประเทศ



รูปที่ 2.1 แผนที่ประเทศกัมพูชาแสดงอาณาเขตติดต่อและจังหวัดต่างๆ

(www.incambodia.biz)

ลักษณะภูมิอากาศโดยทั่วไปอยู่ท่ามกลางพื้นที่อิทธิพลของลมมรสุมตะวันออกเฉียงเหนือพัดจากทะเลจีนใต้ผ่านประเทศไทย รวมถึงลมมรสุมตะวันตกเฉียงใต้ ซึ่งพัดผ่านอ่าวไทย ผ่านเข้าสู่ประเทศไทย นำพาฝนและความชื้นมาสู่ประเทศไทย ฤดูกาลนี้ 3 ฤดู คือ ฤดูร้อน เริ่มในเดือนกุมภาพันธ์ สิ้นสุดเดือนเมษายน อากาศร้อนและแห้งแล้ง ฤดูฝน เริ่มประมาณเดือนพฤษภาคม สิ้นสุดในเดือนกันยายน มีฝนตกชุกและลมพัดแรง และ ฤดูหนาว เริ่มประมาณกลางเดือนตุลาคม สิ้นสุดในเดือนมกราคม อากาศเย็นสบาย ไม่หนาวมาก

2.2 การหมุนเวียนทั่วไปของบรรยากาศ

ในการศึกษาการหมุนเวียนทั่วไปของบรรยากาศ จำเป็นต้องมีการศึกษาการเคลื่อนที่เฉลี่ยของอากาศรอบโลก รวมถึงการศึกษาสภาพของลมที่เกิดขึ้นจริงในแต่ละบริเวณ ซึ่งการเคลื่อนที่ของอากาศจะทำให้ทราบว่าทำใหม่ถึงมีลมพัดรอบโลก และ พัดในทิศทางใดบ้าง โดยลมที่พัดอยู่ในระบบการหมุนเวียนโดยทั่วไปจะเป็นลมประจำ ตัวอย่าง เช่น ลมที่พัดประจำในเกาะหònโนลูลู (Honolulu) เป็นลมตะวันออกเฉียงเหนือ ส่วนลมที่พัดประจำในเมืองนิวยอร์กเป็นลมตะวันตก ดังได้กล่าวไว้แล้วว่าการเคลื่อนที่เฉลี่ยของอากาศเป็นกลไกทำให้เกิดลม ดังนั้นแบบจำลองที่ความร้อนถูกถ่ายเทากับบริเวณศูนย์สูตรไปยังขั้วโลกย่อมแสดงให้เห็นถึงกลไกของการเกิดลม ได้เช่นเดียวกัน

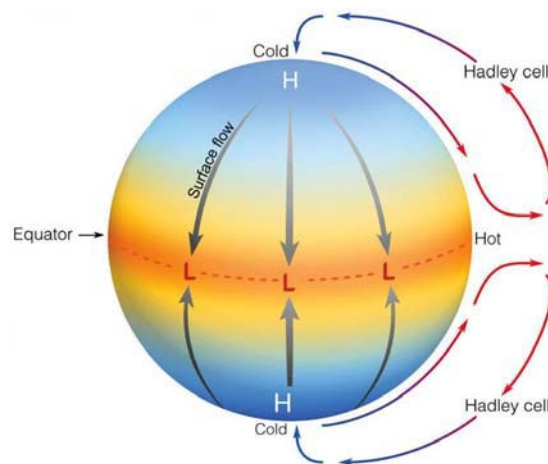
สาเหตุที่ทำให้เกิดการหมุนเวียนทั่วไปนั้น เกิดจากการที่พื้นผิวโลกได้รับความร้อนไม่เท่ากัน เมื่อโลกได้พลังงานความร้อนจากดวงอาทิตย์ จะต้องส่งพลังงานกลับเข้าสู่อากาศในปริมาณเท่ากับที่โลกได้รับ อย่างไรก็ตามพลังงานความร้อนที่โลกได้รับในแต่ละละติจูดมีปริมาณไม่เท่ากัน เขตร้อน ได้รับความร้อนเกินดูด ส่วนเขตขั้วโลก ได้รับความร้อนขาดดูด ดังนั้นเพื่อให้เกิดความสมดุลจึงต้องมีการถ่ายเทความร้อนจากบริเวณศูนย์สูตรไปยังขั้วโลก และถ่ายเทความเย็นจากขั้วโลกมายังศูนย์สูตร

2.2.1 แบบจำลองวงจรเดียว (Single Cell Model)

แบบจำลองแบบแรกเป็นแบบจำลอง วงจรเดียว การที่โลกมีสัมฐานเป็นทรงกลม หากโลกไม่หมุนรอบตัวเอง บริเวณเส้นศูนย์สูตรของโลกจะเป็นแอบความกดอากาศต่ำ (อุณหภูมิสูง) เนื่องจากแสงอาทิตย์ตกกระทบเป็นมุนชัน ส่วนบริเวณขั้วโลกทั้งสองจะเป็นแอบความกดอากาศสูง (อุณหภูมิต่ำ) เนื่องจากแสงอาทิตย์ตกกระทบเป็นมุนลาด อากาศร้อนบนบริเวณศูนย์สูตรลอดผ่านตัวขึ้น ทำให้อากาศเย็นบนบริเวณขั้วโลกเคลื่อนตัวเข้าแทนที่ โดยมีแรงที่เกี่ยวข้องเพียงแรงเดียวคือ แรงความชันความกดอากาศ (pressure gradient force) โดยการหมุนเวียนจะมีลักษณะเป็นวงขนาดใหญ่ที่ขับความร้อนออกจากบริเวณศูนย์สูตร (รูปที่ 2.2) โดยตั้งชื่อว่านี้ว่า แอดเดล์เซลล์ ตามชื่อของนัก

อุตุนิยมวิทยาชาวอังกฤษคือ จอร์จ แฮดเลย์ (George Hadley) ซึ่งเป็นผู้เสนอแบบจำลองการหมุนเวียนที่ช่วยหมุนเวียนความร้อนในแอนซูนย์สูตรซึ่งได้รับความร้อนจากดวงอาทิตย์อย่างเต็มที่ ทำให้อากาศเหนือแอนซูนย์สูตรลอยตัวสูงขึ้นเกิดร่องความกดอากาศค่า ขณะที่บริเวณขั้วโลกอากาศเย็นกว่ามาก และจะตัวลงเกิดร่องความกดอากาศสูง ทำให้อากาศเย็นจากขั้วโลกไหลลงมายังซูนย์สูตร และอากาศร้อนจากซูนย์สูตรไหลไปยังขั้วโลก

การหมุนเวียนในลักษณะของวงจรเดียวนี้จะไม่เกิดขึ้นจริงบนพื้นผิวโลก เนื่องจากโลกหมุนรอบตัวเอง ซึ่งส่งผลให้มีแรงคอริโอลิส ทำให้อากาศที่เคลื่อนที่อยู่ เนื่องจากโลกเหนือ ส่งผลให้ลมพิวพื้นเป็นลมตะวันออก ลมเหล่านี้จะเคลื่อนที่ไปในทิศทางตรงกันข้ามกับการหมุนรอบตัวเองของโลก ส่วนบริเวณละตitudinal (mid-latitude) การหมุนเวียนแบบนี้ไม่เกิดขึ้น เพราะมีลมประจำพัดมาจากทิศตะวันตก ดังนั้นการหมุนเวียนทั่วไปของอากาศระหว่างซูนย์สูตรกับขั้วโลกไม่เป็นตามแบบจำลองของวงจรเดียวอย่างแท้จริง เพราะโลกหมุนรอบตัวเอง แบบจำลองวงจรเดียวจะเป็นจริงได้ขึ้นกับการสมมติ 2 ประการ คือ พื้นผิวโลกต้องถูกปักกลุ่มไปด้วยพื้นผิวชนิดเดียวกันทั้งหมด และดวงอาทิตย์จะส่องตรงเหนือซูนย์สูตรตลอดเวลา

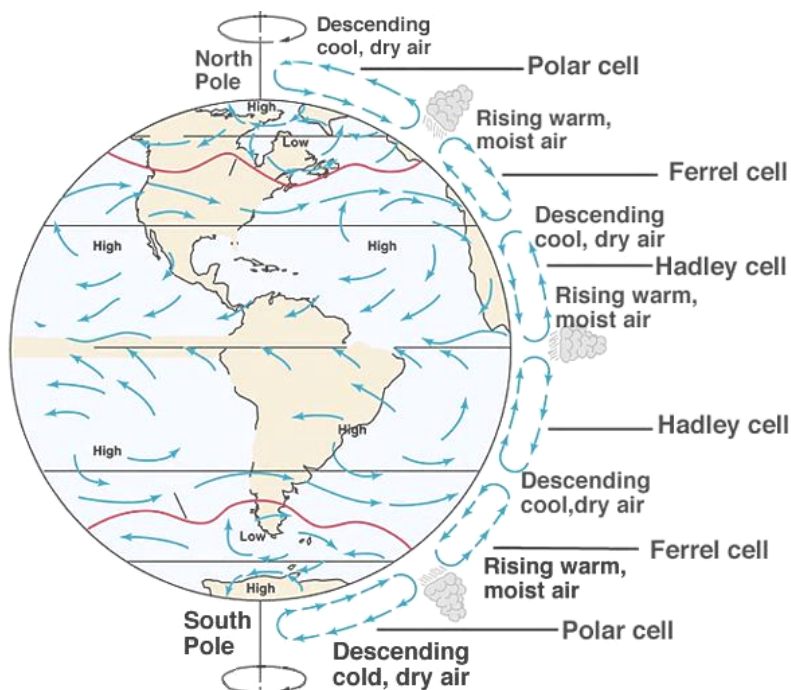


รูปที่ 2.2 แสดงการหมุนเวียนทั่วไปของอากาศแบบจำลองวงจรเดียว
(จาก Thomson higher education)

2.2.2 แบบจำลอง 3 วงจร (Three Cell Model)

ถ้าโลกหมุนรอบตัวเองระบบการถ่ายเทพลังงาน จะแตกแยกออกเป็นวงจรที่มีการหมุนเวียนอย่างต่อเนื่อง 3 วงจร (รูปที่ 2.3) แม้แบบจำลอง 3 วงจร จะมีความ слับซับซ้อนมากกว่าแบบจำลองวงจรเดียว แต่มีลักษณะที่คล้ายคลึงกันอยู่บ้าง กล่าวคือ บริเวณเขตหนาวยังคงได้รับความร้อนเกินดุล และบริเวณขั้วโลกก็ได้รับความร้อนขาดดุล ในแต่ละชีกโลกทั้ง 3 วงจร มีการกระจาย

พลังงานกันใหม่ ที่ข้าวโลกยังคงเป็นเขตความกดอากาศสูงและที่ศูนย์สูตรยังคงเป็นเขตความกดอากาศต่ำ จากศูนย์สูตรไปถึงละติจูดที่ 30 องศาเหนือและใต้ การหมุนเวียนของอากาศที่มีลักษณะคล้ายกับวงจรแฉดเลี้ยง อากาศเย็นบริเวณละติจูดที่ 30 องศาไหหลำเข้ามาแทนที่อากาศร้อนตรงบริเวณศูนย์สูตร (รูปที่ 2.3 และ 2.4)

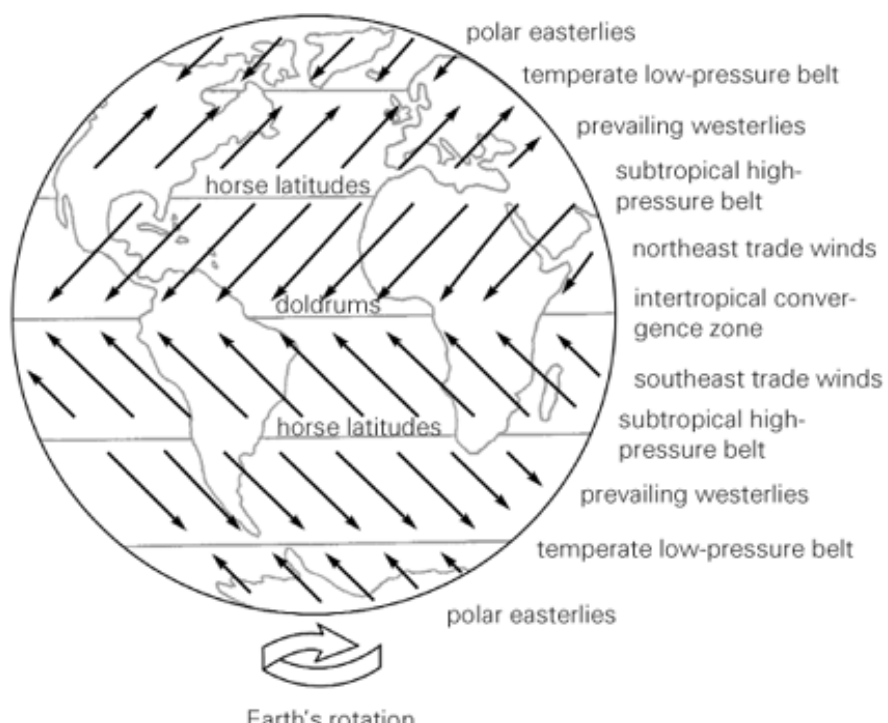


รูปที่ 2.3 แสดงการหมุนเวียนทั่วไปของอากาศแบบจำลอง 3 วงจร ([//ess.geology.ufl.edu](http://ess.geology.ufl.edu))

เหนือพื้นน้ำบริเวณศูนย์สูตรอากาศจะร้อน ความชันความกดอากาศในแนวอนอ่อนกำลังลง เป็นเขตสงบหรือลมอ่อน เรียกว่า เขตคลอดรัมส์ (Doldrums zone) อากาศร้อนไหหลำและกลั่นตัวเป็นเมฆก้อนคิวมูลัส (cumulus) ขนาดใหญ่ และคายความร้อนแฟงให้กับบรรยากาศ รวมทั้งมีพายุฟ้าคะนอง ความร้อนนี้ทำให้อากาศร้อนจัดมาก แล้วพลังงานถูกขับออกมายังจราจรแฉดเลี้ยง อากาศที่ลอยขึ้นไปข้างบนเมื่อลอยขึ้นไปถึงโถโรโพพอส (tropopause) ซึ่งทำหน้าที่กีดขวางอากาศที่จะเคลื่อนที่ไปข้าวโลก แรงเครื่องผลิตทำให้อากาศที่กำลังเคลื่อนที่ไปข้าวโลกเฉไปทางขวาในเชิงโลกเหนือและเฉไปทางซ้ายในเชิงโลกใต้ ลมชั้นบนเป็นลมตะวันตกทั้ง 2 เชิงโลก ลมตะวันตกนี้ เมื่อมีความเร็วสูงสุดจะมีชื่อเรียกว่าลมกรด (jet stream) โดยทั่วไปเกิดในลักษณะติจูด 30 และ 60 องศาเหนือ และใต้

โดยทั่วไปเมื่ออากาศร้อนเย็นตัวลงความหนาแน่นจะเพิ่มขึ้น ทำนองเดียวกันอากาศบริเวณศูนย์สูตรเมื่อได้รับความร้อนจากรังสีดวงอาทิตย์จะโลยกตัวสูงขึ้นและเคลื่อนตัวไปยังเขตละติจูดที่

30 องศาเหนือและใต้ ซึ่งเป็นบริเวณที่อุณหภูมิต่ำกว่า อากาศจะجمตัวลง ทำให้บริเวณละติจูดที่ 30 องศาเหนือและใต้ เป็นเขตความกดอากาศสูง เรียกว่า ความกดอากาศสูงกึ่งโขนร้อน (semi-tropical) อากาศที่ลอดอยู่เหนือความกดอากาศสูง จะเคลื่อนตัวลงมาอย่างช้าๆ การที่อากาศเคลื่อนตัวลงมาทำให้ห้องฟ้าแจ่มใสและอุณหภูมิที่ผิวพื้นจะอุ่นขึ้น บริเวณนี้ถือเป็นแหล่งกำเนิดทะเลทรายที่สำคัญของโลก สำหรับบริเวณความกดอากาศสูงประมาณละติจูดที่ 30 ถึง 35 องศาเหนือและใต้นั้น ความชันความกดอากาศจะอ่อนกำลังลง ทำให้เป็นเขตลมสงบหรือลมอ่อน และเนื่องจากเป็นบริเวณที่อากาศจะมีความต่างกันทำให้มีอากาศสร้างและแห้ง เรียกว่า เบทอร์สละติจูด (horse latitude)



รูปที่ 2.4 แสดงลมผิวพื้นและระบบความกดอากาศ ([//content.answers.com](http://content.answers.com))

บริเวณหอร์สละติจูด จะมีอากาศเคลื่อนที่ย้อนกลับลงเข้าสู่ศูนย์สูตร เนื่องจากแรงคอริโอลิส ทำให้เคลื่อนที่เฉียงจากแนวเดิม ในเชิงโลกเหนือเป็นลมที่พัดมาจากทิศตะวันออกเฉียงเหนือ และในเชิงโลกใต้เป็นลมที่พัดจากทิศตะวันออกเฉียงใต้เรียกว่า ลมสินค้า (Trade Winds) ซึ่งพัดอยู่ประมาณละติจูดที่ 5 ถึง 30 ทั้งในเชิงโลกเหนือและเชิงโลกใต้ เป็นลมที่พัดจากเขตความกดอากาศต่ำ ดังนั้นในเชิงโลกเหนือเป็นลมสินค้าตะวันออกเฉียงเหนือ และในเชิงโลกใต้ เป็นลมสินค้า ตะวันออกเฉียงใต้ เขตลมนี้ห้องฟ้าแจ่มใสไม่ค่อยมีพายุเกิดขึ้น ลมนี้พัดสม่ำเสมอจึงเป็นประโยชน์ต่อการเดินเรือเป็นอย่างมาก ใกล้ศูนย์สูตรเป็นลมสินค้าเบี่ยงตัวเข้าหากัน (Intertropical Convergence Zone) เป็นแนวแบ่งระหว่างลมสินค้าตะวันออกเฉียงเหนือกับลมสินค้าตะวันออก

เฉียงได้ แนวนี้เลื่อนขึ้นเหนือ หรือลงใต้ได้ตามฤดูกาล ขึ้นอยู่กับการเลื่อนขึ้นลงของตำแหน่งดวงอาทิตย์บนพื้นผิวโลก และอาจจะมีพายุโโซนร้อนเกิดขึ้นได้

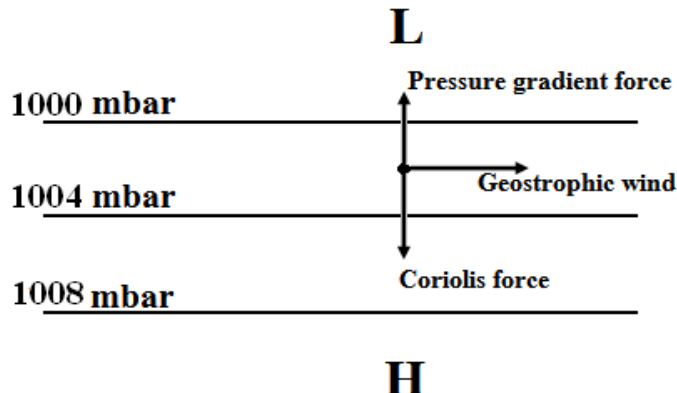
ขณะเดียวกันที่ละติจูด 30 องศาเหนือหรือใต้ หรือบริเวณรอบสีละติจูดอากาศที่ผิวน้ำไม่ได้เคลื่อนตัวไปยังศูนย์สูตรทั้งหมด ยังมีอากาศบางส่วนเคลื่อนตัวเข้าสู่ขั้วโลกทำให้เกิดลมฝ่ายตะวันตก ซึ่งพัดอยู่ประมาณละติจูด 35-60 องศาเหนือและใต้ อุปทานความกดอากาศต่ำ มีทิศทางไม่แน่นอน ลมแปรปรวนและมีพายุ เป็นบริเวณที่ได้รับลมประจำตะวันตก ในชีกโลกเหนือเป็นลมที่พัดมาจากทิศตะวันตกเฉียงใต้ ส่วนในชีกโลกใต้เป็นลมที่พัดมาจากทิศตะวันตกเฉียงเหนือ และเป็นลมที่มีกำลังลมแรงมาก เพราะในชีกโลกใต้เป็นพื้นที่ติดต่อกันไม่มีทิศตะวันออกและเป็นลมที่มีกำลังลมแรงมาก เช่นเดียวกับชีกโลกเหนือประมาณละติจูดที่ 40-60 องศาใต้ เป็นลมที่ชาวเรือใช้เดินเรือจากมหาสมุทรแอตแลนติกไปยังทวีปօสเตรเลีย เกาชาติและประเทศไทยและประเทศไทยและ

ส่วนวงจรที่ 2 เป็นวงจรที่เกิดขึ้นในแถบละติจูดกลาง เรียกว่าวงจรเฟอร์เรล (Ferrel cell) ภายในวงจรลมฝ่ายตะวันตกให้หลังในวงจรนี้จะมีความกดอากาศต่ำกึ่งขั้วโลก และอากาศที่ให้หลังในวงจรส่วนจะให้หลังในกับลมชั้นบน ให้หลังไปที่รอบสีละติจูด อุปทานความกดอากาศสูงกึ่งโซนร้อน และวงจรที่สามคือ วงจรขั้วโลก (polar cell) เป็นวงจรที่เกิดจากแนวความกดอากาศต่ำกึ่งขั้วโลก ไปถึงขั้วโลก ที่ผิวน้ำมีลมฝ่ายตะวันออกແผลงขั้วโลกพัดจากความกดอากาศสูงແผลงขั้วโลก แม้จะແผลงความกดอากาศต่ำกึ่งขั้วโลก (ประมาณ 60-90 องศาเหนือและใต้) เป็นลมอ่อน ห้องฟ้า แจ่มใส ชีกโลกเหนือพัดมาจากทิศตะวันออกเฉียงเหนือ ส่วนในชีกโลกใต้พัดมาจากทิศตะวันออกเฉียงใต้ ระหว่างวงจรเฟอร์เรล และวงจรขั้วโลกจะเกิดแนวปะทะอากาศขั้วโลก เป็นแนวที่แบ่งแยกอากาศร้อนที่ให้หลังไปทางวงจรเฟอร์เรลพบกับอากาศเย็นที่ให้หลังมาจากการขั้วโลก

2.3 ลมและประเภทของลม

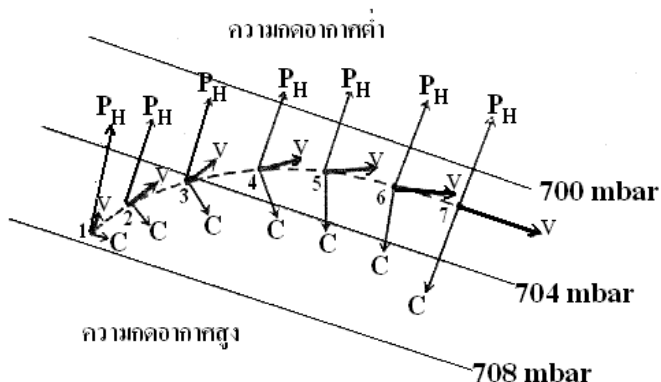
2.3.1 ลมชั้นบน แบ่งเป็น 2 ชนิด คือ

1. ลมจีโอสโตรฟิก (Geostrophic Wind) เป็นลมในทางทฤษฎีที่เกิดจากการสมดุลกันของแรง 2 แรง ที่มากระทำต่อกัน คือ แรงความชันความกดอากาศ (pressure gradient force) ซึ่งซึ่งจากความกดอากาศสูงไปยังความกดอากาศต่ำ และแรงคอริโอลิส (Coriolis force) เนื่องจากการหมุนของโลก แรงทั้ง 2 ถ่วงดุลซึ่งกันและกัน โดยมีทิศทางตรงข้ามกันและมีความสมดุลกัน ลมจีโอสโตรฟิกจะมีทิศทางนกับเส้นไอโซบาร์ (รูปที่ 2.5)



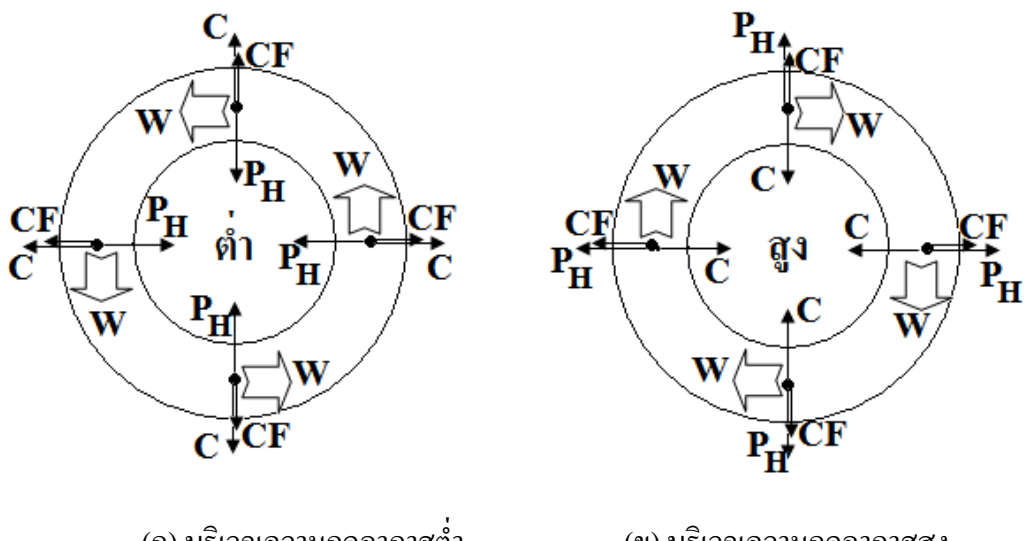
รูปที่ 2.5 แสดงลมจีโอสโตรฟิกซึ่งพัดขนานกับไอโซบาร์ในชีกโลกเหนือ

ในชีกโลกเหนือความกดอากาศต่ำจะอยู่ทางซ้ายของลม ส่วนในชีกโลกใต้ความกดอากาศต่ำจะอยู่ทางขวาของลมจีโอสโตรฟิก ลมจีโอสโตรฟิกนี้เป็นลมชั้นบนในระดับที่สูงจากพื้นดินตั้งแต่ 1 กิโลเมตร ขึ้นไปเป็นระยะที่ไม่มีแรงฟืด พ้นจากอิทธิพลของสิ่งกีดขวางทางธรรมชาติบนพื้นผิวโลก และจะเกิดที่ละติจูดประมาณ 10 หรือ 15 องศา เหนือศูนย์สูตร เพราะที่ละติจูดต่ำ แรงคอริโอลิส จะมีค่าน้อย ยิ่งบริเวณศูนย์สูตรแรงนี้จะมีค่าเป็นศูนย์ รูปที่ 2.6 แสดงทิศทางของลมจีโอสโตรฟิกในชีกโลกเหนือที่ไม่มีแรงฟืด ในระดับความสูงจากพื้นดิน 3 กิโลเมตร โดยปกติอากาศจะเคลื่อนที่จากความกดอากาศสูงไปยังความกดอากาศต่ำ ก่อนที่ลมจะเคลื่อนที่ แรงคอริโอลิสจะมีค่าเป็นศูนย์ เมื่อมีความแตกต่างของความกดอากาศเกิดขึ้น อากาศจะเริ่มเคลื่อนที่จากตำแหน่งที่ 1 ไปด้วยความเร็วข้ามไอโซบาร์ ซึ่งในขณะที่อากาศเคลื่อนที่จากตำแหน่งที่ 1 ถึงตำแหน่งที่ 7 จะค่อยๆ เบนเฉียงทางขวาและเข้าสู่สมดุลในที่สุด ณ ตำแหน่งที่ 7



รูปที่ 2.6 แสดงทิศทางของลมจีโอสโตรฟิก ในชีกโลกเหนือที่ไม่มีแรงฟืดในระดับความสูงจากพื้นดิน 3 กิโลเมตร (P_H = แรงความชันความกดอากาศในแนวโน้ม,
 C = แรงคอริโอลิส, V = ลมจีโอสโตรฟิก)

2. ลมเกรเดียนท์ (Gradient Wind) เป็นลมที่เกิดจากแรง 3 แรง กระทำต่อกัน และมีความสมดุลกันคือ แรงความชันความกดอากาศ (pressure gradient force) แรงคอริออลลิส (Coriolis force) (ทั้ง 2 แรงนี้ทำให้เกิดลม จีโอสโตรฟิก) และอีกหนึ่งแรง คือ แรงหนีศูนย์กลาง (centrifugal force) ซึ่งเป็นแรงที่ออกจากศูนย์กลางลม ตั้งฉากกับไอโซบาร์ซึ่งในกรณีนี้มีลักษณะเป็นแนวโถ้ง ลมชนิดนี้จะพัดขนานกับแนวโถ้งของไอโซบาร์ด้วย ดังแสดงในรูปที่ 2.7 ซึ่งแสดงให้เห็นความสมดุลของแรง 3 แรง รอบๆบริเวณความกดอากาศต่ำ และความกดอากาศสูงในชีกโลกเหนือ



(ก) บริเวณความกดอากาศต่ำ

(ข) บริเวณความกดอากาศสูง

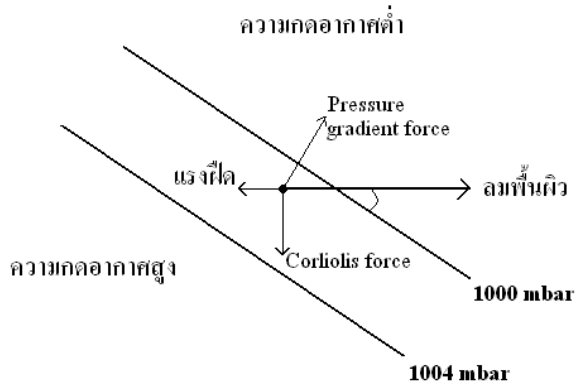
รูปที่ 2.7 แสดงความสมดุลของแรง 3 แรง รอบๆความกดอากาศ (P_H = แรงความชันความกดอากาศในแนวนอน, C = แรงคอริออลลิส, CF = แรงหนีศูนย์กลาง, W = ทิศทางลม)

สำหรับระบบความกดอากาศต่ำตามรูปที่ 2.7 (ก) แรงความชันความกดอากาศในแนวนอน จะเป็นแรงที่มีทิศเข้าหาศูนย์กลางความกดอากาศต่ำเสมอ ในทำงานเดียวกันแรงคอริออลลิสจะเป็นแรงที่มีทิศตรงข้ามกับแรงความชันความกดอากาศในแนวนอน ส่วนแรงหนีศูนย์กลางจะเป็นแรงที่มีทิศออกจากศูนย์กลางเสมอ ในกรณีนี้จึงอยู่ในทิศเดียวกันแรงคอริออลลิส เพื่อทำให้เกิดความสมดุลกับแรงความชันความกดอากาศในแนวนอน กล่าวคือ $P_H = C + CF$ เพื่อความสมดุลของแรงเหล่านี้บนแผนภาพจะพบว่า แรงคอริออลลิส จะอยู่ทางขวาของทิศทางลมเกรเดียนท์เสมอ และลมเกรเดียนท์จะพัดขนานกับไอโซบาร์รอบศูนย์กลางความกดอากาศต่ำ ในลักษณะทวนเข็มนาฬิกา สำหรับชีกโลกเหนือ

รูปที่ 2.7 (ข) แสดงแผนภาพของระบบความกดอากาศสูง แรงความชันความกดอากาศในแนวอนและแรงหนีศูนย์กลางจะมีทิศออกจากศูนย์กลางความกดอากาศสูง ส่วนแรงคอริออลิสจะมีทิศเข้าหาศูนย์กลางความกดอากาศสูง ทำให้เกิดความสมดุล ดังนี้ $Ph + CF = C$ จะเห็นว่าแรงคอริออลิสยังคงอยู่ทางขวาของทิศทางลม โดยลมเกรเดียนท์จะพัดขนานกับไอโซบาร์รอบศูนย์กลางความกดอากาศสูงในลักษณะตามเข็มนาฬิกาสำหรับกรณีที่เกิดขึ้นในซีกโลกเหนือ ในท่านองกลับกัน สำหรับกรณีการเกิดลมประ匱หนึ่นในซีกโลกใต้ จะพบลักษณะการพัดของลมเกรเดียนท์ในลักษณะที่ตรงกันข้ามกับลักษณะที่เกิดในซีกโลกเหนือ ก้าวคือ ลมเกรเดียนท์จะพัดในทิศทางตามเข็มนาฬิการอบบริเวณความกดอากาศต่ำ และพัดทวนเข็มนาฬิการอบบริเวณความกดอากาศสูง

2.3.2 ลมผิวพื้น

ลมผิวพื้น (Surface Winds) คือ ลมที่พัดจากบริเวณผิวพื้นไปยังความสูงประมาณ 1 กิโลเมตรเหนือพื้นดิน ซึ่งเป็นบริเวณที่มีการคลุกเคล้าของอากาศ และมีแรงฟืดอันเกิดจากการปะทะกับสิ่งกีดขวางบนผิวโลก จะพบว่าในระดับดังกล่าวนี้แรงความชันความกดอากาศในแนวอนจะไม่สมดุลกับแรงคอริออลิสเพียงอย่างเดียว เมื่อมีแรงฟืดยื่มทำให้ความเร็วลดลง ส่งผลให้แรงคอริออลิสลดลงด้วย ดังนั้นลมผิวพื้นจะไม่พัดขนานกับไอโซบาร์ แต่จะพัดข้ามไอโซบาร์จากความกดอากาศสูงไปยังความกดอากาศต่ำ และทำมุนกับไอโซบาร์ดังแสดงในรูปที่ 2.8 โดยมุนที่การทำให้ขึ้นอยู่กับความหยาบ (roughness) ของผิวพื้นที่พัดผ่าน ถ้าเป็นการพัดผ่านเหนือพื้นผิวทะเลที่ราบรื่น มุนที่ทำกับไอโซบาร์จะมีค่าประมาณ 10 ถึง 20 องศา แต่ถ้าเป็นการพัดผ่านเหนือพื้นดิน มุนที่กระทำกับไอโซบาร์จะประมาณ 20 ถึง 40 องศา ส่วนบริเวณที่เป็นป่าไม้หนาทึบ อาจทำมุนถึง 90 องศา นอกจากนั้นพบว่าที่ระดับความสูงตั้งแต่ 10 เมตร ขึ้นไป แรงฟืดมีค่าลดลง ทำให้ความเร็วลดมีค่าเพิ่มขึ้น ส่งผลให้มุนที่ทำกับไอโซบาร์เล็กลง ยิ่งเข้าใกล้ระดับความสูง 1 กิโลเมตร แรงฟืดมีค่าลดน้อยลงเข้าใกล้ศูนย์ มุนจะลดน้อยลงตามด้วย จนกระทั่งลมพัดขนานกับไอโซบาร์ในที่สุด



รูปที่ 2.8 แสดงลักษณะของลมพิวพิว โดยในระดับความสูง 1 กิโลเมตรแรกจากพิวพิวที่มีแรงฟืด ลมพิวพิวจะพัดข้าม ไอโซบาร์ และทำมุกับ ไอโซบาร์

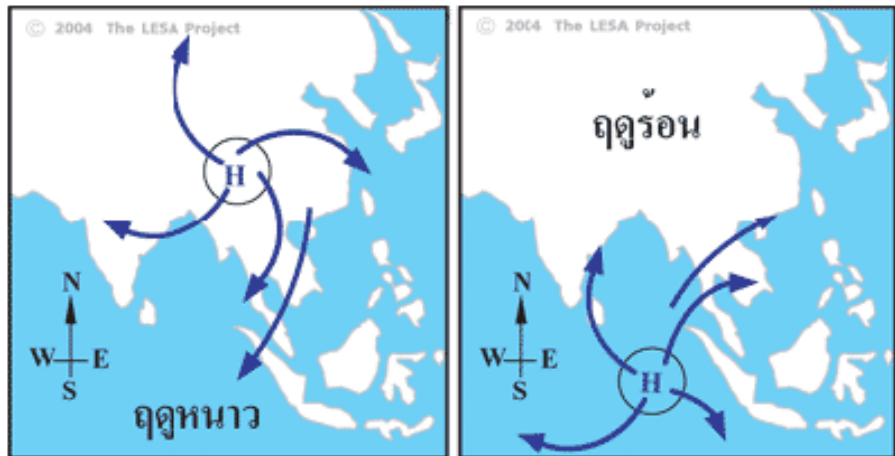
2.4 ลมมรสุม

ลมมรสุม (Monsoon) มาจากคำในภาษาอาหรับว่า Mausim แปลว่า ฤดู ดังนั้นลมมรสุมจึงหมายถึง ลมที่พัดเปลี่ยนทิศทางเมื่อเปลี่ยนฤดูก็อ ฤดูร้อนจะพัดในทิศทางหนึ่ง และจะพัดเปลี่ยนทิศทางในทางตรงกันข้ามในฤดูหนาว ครั้งแรกใช้เรียกลมนี้ในบริเวณทะเลอาหรับซึ่งพัดอยู่ในทิศทางตะวันออกเฉียงเหนือเป็นระยะเวลา 6 เดือน และพัดอยู่ในทิศทางตะวันตกเฉียงใต้เป็นระยะเวลา 6 เดือน สำหรับส่วนอื่นๆ ของโลก ลมมรสุมที่เห็นชัดเจนที่สุดคือ ลมมรสุมที่เกิดขึ้นในเอเชียตะวันออก และเอเชียใต้

ลักษณะการเกิดลมมรสุม เป็นทำงานของเดียวกับการเกิดลมบกลมทะเล ในฤดูหนาวอากาศภายนอกพื้นที่เปลี่ยนกว่าอากาศในมหาสมุทรที่อยู่ใกล้เคียง ทำให้ภาคพื้นที่ปีบปริเวณ ใช้บีเรียเป็นเขตความกดอากาศสูง ส่วนบริเวณมหาสมุทรอินเดียเป็นเขตความกดอากาศต่ำ อากาศเหนือมหาสมุทรอินเดียซึ่งมีอุณหภูมิสูงกว่าบริเวณ ใช้บีเรียจะลอยตัวสูงขึ้น และอากาศบริเวณ ใช้บีเรียจะไหกเข้าไปแทนที่ในทิศทางตามเข็มนาฬิกา (รูปที่ 2.9) อากาศที่ไหกออกจากบริเวณความกดอากาศสูง ใช้บีเรียเป็นอากาศที่ไหกจนลง และทิศทางลมจะเบนไปทางขวา กล้ายเป็นลมมรสุม ตะวันออกเฉียงเหนือผ่านเข้าไปยังเอเชียตะวันออกและเอเชียใต้ โดยทั่วไปมีลักษณะอากาศดี และเป็นฤดูที่มีอากาศแห้ง ดังนั้นลมมรสุมฤดูหนาวลักษณะท้องฟ้าแจ่มใส เป็นลมที่พัดจากฝั่งออกสู่ทะเล

ในฤดูร้อนลมจะพัดเปลี่ยนในทิศทางตรงกันข้าม อากาศภาคพื้นที่ปีบอุ่นกว่าพื้นน้ำ ซึ่งทำให้ภาคพื้นที่ปีบเป็นเขตความกดอากาศต่ำ พื้นน้ำเป็นเขตความกดอากาศสูง เกิดลมพัดจากพื้นน้ำที่เป็นเขตความกดอากาศสูงเข้าสู่พื้นดินที่เป็นเขตความกดอากาศต่ำ ในทิศทางเข็มนาฬิกาหลายเป็น

มรสุมตะวันตกเฉียงใต้ ลมที่พัดจากพื้นน้ำเข้ามา นำเอาความชื้นมาด้วยเป็นลมที่พัดจากทะเลเข้าหาฝั่ง (รูปที่ 2.9)



รูปที่ 2.9 แสดงลมมรสุมกุญแจหน้า และ ลมมรสุมกุญแจร้อน

มรสุมที่มีกำลังแรงที่สุด เกิดขึ้นในบริเวณแอเชียตะวันออก และเอเชียใต้ เอเชียตะวันออกได้แก่ ประเทศไทยและประเทศสาธารณรัฐประชาชนจีน ไถหวน ญี่ปุ่น และสาธารณรัฐประชาชนจีน ไถหวน หลาภูมิ ลมมรสุมที่เกิดในเอเชียตะวันออกจะแตกต่างจากเอเชียใต้ก็อ ในการเชี่ยวชาญของ ลมมรสุม กุญแจหน้ามีกำลังแรงกว่าและมีทิศทางที่คงที่กว่ามรสุมกุญแจร้อน ความเร็วลมตามชายฝั่งในเดือนมกราคม จะมีมากกว่าเดือนกรกฎาคมหลายเท่า ส่วนลมมรสุมในเอเชียใต้ รวมทั้งประเทศไทย ปากีสถาน และประเทศไทยจะมีกำลังแรงในเดือนกันยายนถึงตุลาคม ลมมรสุมกุญแจหน้าไม่สามารถแผ่เข้าไปถึงเดือนกันยายนได้ เพราะมีทิศทางที่มีลักษณะทิ่งก้นอยู่ ดังนั้นเอเชียใต้จึงได้รับมรสุมโดยตรงเฉพาะในช่วงกุญแจร้อนเท่านั้น และลมจะมีกำลังแรงในกุญแจร้อน แม้แต่ในมหาสมุทร กุญแจร้อนลมมีความเร็วเฉลี่ย 20 กิโลเมตรต่อชั่วโมง ส่วนกุญแจหน้าลมมีกำลังอ่อน มีความเร็วเฉลี่ยกว่า 10 กิโลเมตรต่อชั่วโมง บริเวณที่มีฝนตกหนักเนื่องจากได้รับอิทธิพลจากลมมรสุมกุญแจร้อนก็อ เมืองเซอร์ราปินจิ ทางภาคตะวันออกของประเทศไทยเดียว มีปริมาณฝนตกในแต่ละปีประมาณ 10,800 มิลลิเมตร ส่วนใหญ่จะมีฝนตกในช่วงเดือนเมษายนถึงตุลาคม ฝนที่ตกมีประโยชน์ทางด้านการเกษตร ทำให้พืชผลเจริญเติบโต เนื่องจากบริเวณที่มีฝนอากาศแห้ง แต่ฝนที่ตกลงมานี้ข้อเสีย เนื่องจากช่วงเวลาที่ฝนตกจะมีความไม่แน่นอนรวมทั้งความแรงของฝน สำหรับประเทศไทยก็มีพืชผลจากลมมรสุมที่สองกุญแจ ก็อ ในช่วงกุญแจฝนประมาณต้นเดือนพฤษภาคมจนถึงต้นเดือนตุลาคม ได้รับลมมรสุม

ตะวันตกเฉียงใต้ และต่อมาเป็นช่วงฤดูหนาว ประมาณปลายเดือนตุลาคมจนถึงปลายเดือนกุมภาพันธ์ ลมจะเปลี่ยนทิศเป็นลมมรสุมตะวันออกเฉียงเหนือ

นอกจากลมมรสุมที่เกิดขึ้นทวีปเอเชียแล้ว ยังมีลมมรสุมที่เกิดขึ้นบริเวณส่วนอื่นของโลก เช่น ทางภาคเหนือของประเทศอสเตรเลีย เมื่อลมมรสุมพัดข้ามศูนย์สูตรจะเปลี่ยนทิศทางเป็นลมมรสุมตะวันตกเฉียงเหนือพัดเข้าสู่ทางภาคเหนือของประเทศอสเตรเลีย ซึ่งมีแนวเขตลมสินค้าเบี่ยดตัวเข้าหากันพادผ่านอยู่ เป็นแนวแบ่งเขตระหว่างลมสินค้าตะวันออกเฉียงเหนือของซีกโลกเหนือกับลมสินค้าตะวันออกเฉียงใต้ของซีกโลกใต้ รวมทั้งมีลมมรสุมเกิดขึ้นในอ่าวกินีของแอฟริกาตะวันตก บางส่วนของทวีปอเมริกาเหนือ และบางส่วนของทวีปอเมริกาใต้

2.5 การวัดลม

โดยทั่วไปสภาวะของลมสามารถสังเกตได้จากสภาพทางธรรมชาติในบริเวณนั้นๆ โดยว่ามีความแรงมากน้อยเพียงใด โดยการดูจากลักษณะการก่อตัวของพื้นผิวตามธรรมชาติ เช่นเนินทรายปกติเม็ดทรายจะถูกพัดพาโดยลมที่พัดผ่านและไปกองรวมในบริเวณที่ลมเคลื่อนที่ช้าลง ทั้งนี้ขึ้นต่อของเม็ดทรายและระยะทางที่ถูกพัดพาสามารถบอกแนวโน้มความแรงของลมเฉลี่ยในบริเวณนั้นว่าเป็นอย่างไร นอกจากนี้เรายังสามารถสังเกตความแรงของลมจากสภาพของต้นไม้โดยในบริเวณที่มีกระแสลมแรงพัดผ่านอย่างต่อเนื่อง กิ่งไม้จะมีลักษณะลุ่มๆตามลม ซึ่งแตกต่างจากต้นไม้ทั่วไป ดังนั้นหากเราสังเกตสภาพทางธรรมชาติในบริเวณนั้น จะพอทราบได้คร่าวๆว่าในบริเวณดังกล่าวมีลมพัดผ่านอย่างไร



รูปที่ 2.10 แสดงสภาพธรรมชาติที่บ่งชี้ถึงสภาวะของลมในบริเวณนั้น

2.5.1 เครื่องวัดความเร็วลม

ตัวบ่งชี้ทางธรรมชาติที่กล่าวมาแล้วข้างต้นรวมไปถึงข้อมูลทางอุตุนิยมวิทยาของแต่ละบริเวณจะพอบอกได้คร่าวๆว่าบริเวณดังกล่าวมีสภาพลมเป็นอย่างไร แต่อย่างไรก็ตามสำหรับการศึกษาวิจัยจำเป็นต้องอาศัยการวัดที่ชัดเจน โดยเครื่องมือที่ใช้วัดความเร็วลมจะเรียกว่า แอนนิโนมิเตอร์ (anemometer) ซึ่งมีด้วยกันหลายแบบ ดังต่อไปนี้

2.5.1.1 แอนนิโนมิเตอร์แบบถ้วย

เครื่องวัดลมแบบถ้วย (cup anemometer) เป็นแบบที่นิยมใช้อยู่ในปัจจุบัน โดยมีลักษณะเป็นกรวยหรือครึ่งทรงกลมเชื่อมต่อกับแขนที่ยึดติดกับแกนหมุน โดยที่แกนหมุนจะตั้งฉากกับระนาบของลูกถ้วยหรือตั้งฉากกับแนวการเคลื่อนที่ของลม แอนนิโนมิเตอร์แบบนี้อาจประกอบด้วยลูกถ้วย 3 หรือ 4 อัน ที่วางห่างกันด้วยมุมที่เท่ากันในแนวระนาบ และลูกถ้วยต้องทำจากวัสดุเบาเพื่อให้ง่ายแก่การหมุน เมื่อมีลมมาปะทะกับลูกถ้วยก็จะทำให้เกิดการหมุน โดยแรงจะมีค่าเป็นไปตามสมการ

$$F = C \frac{1}{2} A \rho_a v^3 \quad (2.1)$$

โดยที่ F = แรงที่กระทำต่อลูกถ้วย (drag force)

C = สัมประสิทธิ์ของแรง (drag coefficient)

A_c = พื้นที่ของถ้วยที่ลมปะทะ

ρ_a = ความหนาแน่นของอากาศ

v = ความเร็วลม

จะเห็นว่าความถี่ในการหมุนและผันตรงกับความเร็วของลม โดยทั่วไปแกนหมุนจะต่อเชื่อมกับไอนามิไฟฟ้ากระแสตรง ดังนั้นหากวัดค่ากระแสไฟฟ้าอันเกิดจากการหมุนเมื่อมีลมมาปะทะลูกถ้วย และหากมีการสอนเทียบอย่างแม่นยำ ย่อมหาค่าความเร็วลมที่แม่นยำจากค่ากระแสไฟฟ้าดังกล่าวได้ นั่นก็คือเทคนิคพื้นฐานของแอนนิโนมิเตอร์แบบนี้นั่นเอง



รูปที่ 2.11 แสดงแอนนิโอมิเตอร์แบบถ่วงแบบ 3 และ 4 ลูกถ่วง

2.5.1.2 แอนนิโอมิเตอร์แบบกังหันลม

เครื่องวัดลมแบบกังหันลม (propeller anemometer) จะมีหลักการทำงานคล้ายๆ กับ แบบลูกถ่วง แต่จะต่างตรงที่ตัวปะทะลมจะเป็นใบพัดแทน บางครั้งอาจมีการออกแบบให้เกนหมุนของใบพัดจะอยู่ในแนวเดียวกันแนวการพัดของลม และเนื่องจากทิศทางของลมสามารถเปลี่ยนแปลงได้เพื่อให้ได้ประสิทธิภาพที่ดีขึ้น จึงมีการติดตั้งทางเสือลมเพื่อให้แอนนิโอมิเตอร์แบบนี้หมุนไปในแนวของลมได้ ดังแสดงในรูปที่ 2.12



รูปที่ 2.12 แสดงแอนนิโอมิเตอร์แบบกังหันลมทั้งสองแบบ

2.5.1.3 แอนนิโมมิเตอร์แบบแผ่นความดัน

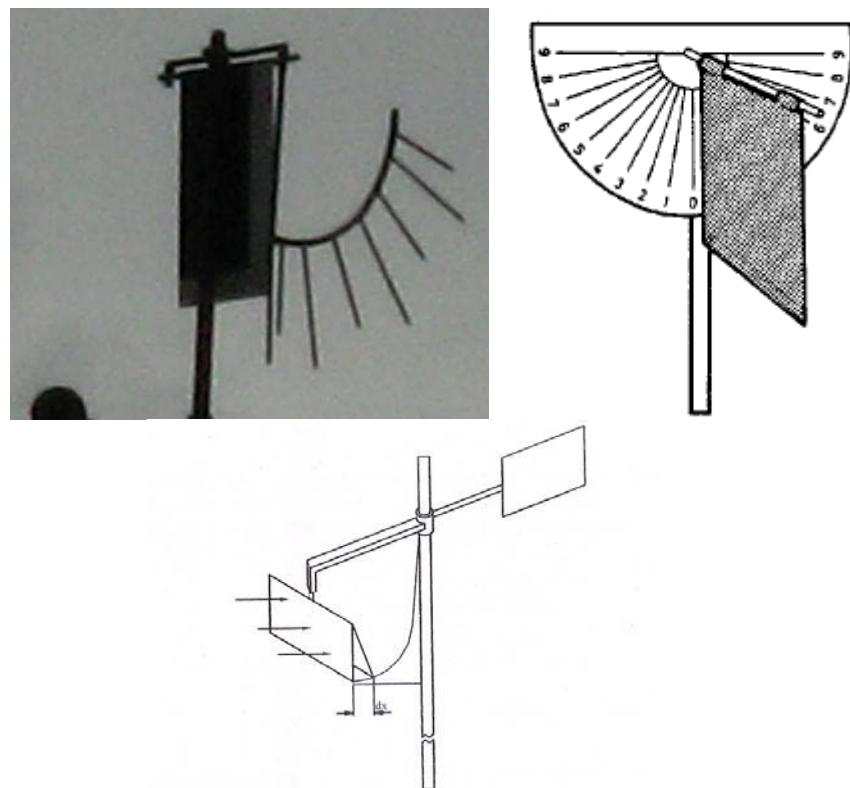
เครื่องวัดลมแบบแผ่นความดัน (pressure plate anemometer) จัดเป็นเครื่องวัดลมรุ่นแรกๆ โดยจะมีลักษณะเป็นแผ่นวงกลมหรือแผ่นสี่เหลี่ยมวางขวางแนวการพัดของลม เมื่อมีลมมาปะทะก็ จะสามารถบอกความแรงของลมจากมุมของแผ่นที่เบนเทียบกับแนวดิ่ง ดังแสดงในรูปที่ 2.13 ในยุค ต่อมาได้มีการดัดแปลงแอนนิโมมิเตอร์แบบนี้มากmany เช่นการใช้สปริงเข้ามาช่วยให้แผ่นดังกล่าว พยายามกลับมาอยู่ในตำแหน่งเดิม ความสัมพันธ์พื้นฐานระหว่างความดันจากลมที่กระทำกับแผ่น รับลมเป็นตามสมการ

$$P = \frac{1}{2} \rho_a v^3 \quad (2.2)$$

เมื่อ P = ความดัน

ρ_a = ความหนาแน่นของอากาศ

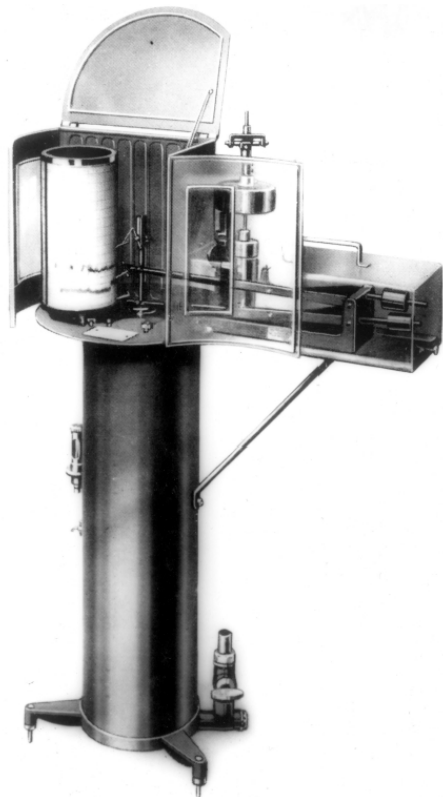
v = ความเร็วลม



รูปที่ 2.13 แสดงแอนนิโมมิเตอร์แบบแผ่นความดันแบบต่างๆ

2.5.1.4 แอนนิโมมิเตอร์แบบท่อความดัน

เครื่องวัดแบบท่อความดัน (pressure tube anemometer) ใช้หลักของความแตกต่างของความดันอากาศที่ไหลผ่านท่อ และอากาศที่ไหลตั้งฉากกับท่อ โดยอาศัยเครื่องวัดความดัน (manometer) ข้อดีของแอนนิโมมิเตอร์แบบนี้ คือ ไม่มีส่วนที่เคลื่อนที่ (moving part) ทำให้ไม่มีปัญหาของกลไกการหมุน แต่อาจมีปัญหาของการใช้เก็บข้อมูลระยะยาว อันเกิดจากความชื้น ฝุ่น ไขแมลงมุน และแมลงต่างๆ



รูปที่ 2.14 แสดงแอนนิโมมิเตอร์แบบท่อความดัน

2.5.1.5 แอนนิโมมิเตอร์แบบโซนิก

เครื่องวัดความเร็วลมแบบโซนิก (sonic anemometer) จะวัดความเร็วลม โดยการตรวจวัดความเร็วคลื่นเสียงในอากาศ เครื่องวัดจะประกอบด้วยอุปกรณ์ปล่อยและรับคลื่นเสียง ดังรูปที่ 2.15 เครื่องวัดความเร็วลมแบบโซนิก มีข้อดี คือ ไม่มีส่วนที่เคลื่อนที่ ซึ่งลดปัญหาด้านเครื่องกล และมีความละเอียดในการวัดสูง แต่ราคาค่อนข้างแพง



รูปที่ 2.15 แสดงแอนนิโอมิเตอร์แบบโซนิก

2.5.1.6 แอนนิโอมิเตอร์แบบลวดร้อน

เครื่องวัดแบบลวดร้อน (hot wire anemometer) จะใช้เส้นลวดเส้นเล็กๆ ในระดับไมโครอน และทำให้มีอุณหภูมิสูงกว่าสภาพแวดล้อม เมื่อมีลมพัดผ่าน จะทำให้เกิด Cooling effect บนเส้นลวดนั้น กล่าวคือทำให้อุณหภูมิของเส้นลวดจะเปลี่ยนไป ค่าความต้านทานทางไฟฟ้าจะเปลี่ยนแปลงไปนั่นเอง ซึ่งจากค่าความต้านทานที่เปลี่ยนแปลงนี้เป็นผลสืบเนื่องจากลมที่พัดผ่านโดยทั่วไปแอนนิโอมิเตอร์ประเภทนี้แบ่งได้เป็นสามแบบคือ แบบที่ควบคุมให้กระแสไฟฟ้าคงที่ (constant current anemometer; CCA) แบบที่ควบคุมให้ความต่างศักดิ์คงที่ (constant voltage anemometer; CVA) และ แบบที่ควบคุมให้อุณหภูมิคงที่ (constant temperature anemometer; CTA) ซึ่งตัวแปรต่างๆเหล่านี้หากได้รับการสอบเทียบที่ดีจะนำมาหาค่าความเร็วลมได้



รูปที่ 2.16 แสดงแอนนิโอมิเตอร์แบบลวดร้อน

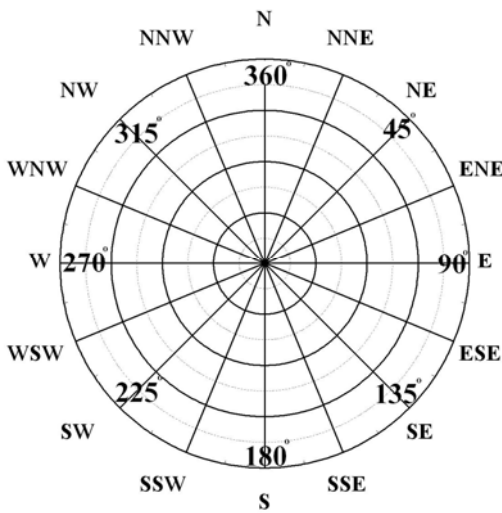
2.5.2 การวัดทิศทางลม

ทิศทางลม (wind direction) เป็นอีกพารามิเตอร์หนึ่งที่จำเป็นที่จะต้องทราบในการจะศึกษาศักยภาพพลังงานลม เช่นเดียวกับข้อมูลของทางอุตุนิยมวิทยา ซึ่งโดยทั่วไปอุปกรณ์ที่ใช้คือ ศรลม (wind vane) ซึ่งปกติแล้วจะมีลักษณะคล้ายๆ กันนั่นคือจะต้องชี้ไปในแนวของทิศทางลม ส่วนใหญ่แล้วการวัดความเร็วลมจะควบคู่ไปกับการวัดทิศทางลมเสมอ ในบางรุ่นจะมีอุปกรณ์วัดความเร็วและทิศทางลมยึดติดกัน ส่วนใหญ่จะมีลักษณะเป็นลูกศรยาว ซึ่งมีแผ่นทางด้านที่เป็นตัวบังคับให้ปลายศรลมชี้ในทิศทางที่ลมพัดเข้ามา บางครั้งอาจเห็นเป็นรูปสัตว์หรืออื่นๆ เพื่อความสวยงาม โดยศรลมจะสามารถหมุนได้รอบแกนที่ชื่อกอทิศแหน่อน แต่ในปัจจุบันมีการต่อเข้ากับวงจรไฟฟ้า และอุปกรณ์ที่ช่วยอ่านทิศทางลมตามที่ปลายศรลมชี้ได้ (รูปที่ 2.17)



รูปที่ 2.17 แสดงตัวอย่างศรลมในอดีตและปัจจุบัน

การวัดทิศลมอาจเรียกว่าตามทิศต่างๆ ของเข็มทิศ หรือเรียกเป็นองศาจากทิศจริง ปัจจุบัน การวัดทิศลมนิยมนิยมวัดทิศลมตามเข็มทิศ และวัดเป็นองศา ถ้าวัดทิศลมด้วยเข็มทิศ เข็มทิศจะถูกแบ่งออกเป็น ทิศใหญ่ๆ 4 ทิศ คือ ทิศเหนือ ทิศใต้ ทิศตะวันออก และตะวันตก ซึ่งทิศทั้ง 4 ทิศ เมื่อแบ่งย่อยอีกจะเป็น 8 ทิศ โดยจะเพิ่มทิศตะวันออกเฉียงหนึ่งอีก ทิศตะวันออกเฉียงใต้ ทิศตะวันตกเฉียงหนึ่งอีก และทิศตะวันออกเฉียงใต้ นอกจากนี้ยังสามารถแบ่งจาก 8 ทิศ ให้ย่อยเป็น 16 ทิศ หรือ 32 ทิศ ได้อีก แต่การรายงานทิศนั้น มักนิยมรายงานจำนวนทิศเพียง 8 หรือ 16 ทิศ เท่านั้น ส่วนการวัดทิศลมที่เป็นองศาบอกมุมของลมจากทิศจริง ในลักษณะที่เวียนไปตามเข็มนาฬิกา ใช้สเกลจาก 0 องศา ไปจนถึง 360 องศา เช่น ลมทิศ 0 องศา หรือ 360 องศา เป็นทิศเหนือ, ลมทิศ 45 องศา เป็นทิศตะวันออกเฉียงหนึ่ง, ลมทิศ 90 องศา เป็นทิศตะวันออก, ลมทิศ 135 องศา เป็นทิศตะวันออกเฉียงใต้, ลมทิศ 180 องศา เป็นทิศใต้, ลมทิศ 225 องศา เป็นทิศตะวันตกเฉียงใต้, ลมทิศ 270 องศา เป็นทิศตะวันตก และลมทิศ 315 องศา เป็นทิศตะวันตกเฉียงหนึ่ง (รูปที่ 2.18)



รูปที่ 2.18 แสดงทิศลมเรียกเป็นองศาจากทิศจริง แบบ 16 ทิศ

เครื่องวัดลมที่กล่าวมานี้ เป็นการวัดลมบนภาคพื้นดิน เพื่อบอกทิศทางและความเร็วลม ตามแน่นองค์ที่ ทั้งนี้สิ่งกีดขวางต่างๆ ย่อมมีอิทธิพลต่อลม เช่น อาคาร ต้นไม้ และอื่นๆ ความเร็วลม จะเพิ่มมากขึ้นอย่างรวดเร็วเมื่อความสูงเพิ่มขึ้น ดังนั้น เครื่องมือที่ใช้วัดลมควรตั้งอยู่ในที่โล่งที่ อากาศถ่ายเทได้สะดวก และควรอยู่สูงกว่าหลังคาอาคาร แต่ในทางปฏิบัติแอนิโนมิเตอร์จะถูกวางไว้ในระดับความสูงต่างๆ ที่ไม่แน่นอน ทำให้การวัดลมมีความคลาดเคลื่อนเกิดขึ้น

2.6 การตรวจชั้นบน

วิธีที่ง่ายที่สุดในการตรวจชั้นบน คือการใช้ไพลอตบลลูน (Pilot Balloon) หรือ บลลูนตรวจอากาศ เป็นบลลูนขนาดย่อม อัดด้วยก๊าซไฮโดรเจนหรือก๊าซไฮเดรน แล้วปล่อย บลลูนให้ลอยขึ้นจากพื้นดินด้วยอุปกรณ์ความเร็วที่กำหนดไว้ หลังจากปล่อยบลลูนไปแล้ว จะ สังเกตการณ์เคลื่อนที่ของบลลูนโดยใช้กล้องส่องทางไกลขนาดเล็ก เรียกว่ากล้องทีโอดีลด์ (Theodorite) โดยหันกล้องตามบลลูนตลอดเวลา เพื่อวัดการเคลื่อนที่ของลมผ่านการเคลื่อนที่ของ บลลูน โดยวัดมุมในแนวตั้ง (ความสูง) และวัดมุมในแนวอน (ทิศทาง) การวัดมุมนั้นปกติวัดมุม กันทุกๆ 1 นาที (หรือครึ่งนาที) ดังนั้นหากทราบอัตราเร็วในการลอยขึ้นของบลลูนและรู้ตำแหน่ง ความสูงของบลลูนจะสามารถคำนวณหาอัตราเร็วของลมได้ โดยทั่วไป การคำนวณหาความเร็ว ลมและทิศทางลม จะทำกันในระดับความสูงทุกๆ 300 เมตร แต่ทว่า การตรวจวัดลมวิธีนี้ มีข้อเสีย คือ หากบลลูนถูกบดบังด้วยเมฆจนไม่สามารถมองเห็นบลลูน ทำให้ไม่ทราบตำแหน่งของบลลูน จึงส่งผลให้การตรวจดำเนินต่อไปไม่ได้

ไฟลอดบลลุน สามารถใช้ตรวจวัดลมพร้อมกับเครื่องมือที่เรียกว่า เรดิโอซอนต์ (Radiosonde) เป็นการตรวจลมตั้งแต่ระดับความสูงจากพื้นดินไปจนถึงระดับ 30 กิโลเมตร เครื่องเรดิโอซอนต์ประกอบด้วย เครื่องตรวจความกดอากาศ ความชื้น อุณหภูมิ และ เครื่องส่งวิทยุ บรรจุอยู่ในกล่องขนาดเล็กติดไปกับบลลุน โดยมีสถานีรับคลื่นวิทยุขนาดย่อมบนพื้นดิน โดยกล่องนี้จะถูกผูกติดกับบลลุนซึ่งมีร่มชูชีพผูกติดไว้ด้วย (รูปที่ 2.19) โดยเมื่อถูกนำไปแตะ เรดิโอซอนต์จะตกถึงพื้นได้โดยไม่เสียหาย



รูปที่ 2.19 แสดงบลลุนตรวจอากาศที่มีเรดิโอซอนต์ (Radiosonde)

บลลุนที่มีคุณภาพดีจะต้องสามารถอยู่ขึ้นไปในอากาศได้ในระดับความสูง 24 ถึง 32 กิโลเมตร ก่อนที่บลลุนจะแตก ภายในเครื่องส่งจะมีวงจรของเครื่องวัดที่ใช้ตรวจสอบอากาศ ดังกล่าวแล้วข้างต้น จากนั้นจะส่งข้อมูลเป็นคลื่นวิทยุกลับมาข้างสถานีรับบนพื้นดิน เพื่อทำการคำนวณค่าความถี่ของคลื่นวิทยุกลับไปเป็นค่าอุณหภูมิ ความชื้นและความกดอากาศต่อไป

สำหรับที่ระดับความสูงเหนือพื้นดิน 30 กิโลเมตรขึ้นไป จะอาศัยเครื่องตรวจวัดลมชั้นบนเรียกว่า เรวินซอนต์ (Rawinsonde) เป็นเครื่องมือที่ใช้หาค่าความเร็วลม ทิศทางลม อุณหภูมิ และความกดอากาศ โดยการใช้คลื่นวิทยุ หรือเรดาร์ติดตามทิศทาง สถานีรับบนผิวโลกจะตรวจรับสัญญาณจากคลื่นวิทยุจากเครื่องส่งซึ่งติดอยู่กับบลลุน หากใช้เรดาร์แทนคลื่นวิทยุ จำเป็นต้องมีเป้าสะท้อนคลื่นเรดาร์ผูกติดกับลูกบลลุนด้วย

สำหรับในบางบริเวณที่ห่างไกลความเจริญ การตรวจวัดลมด้วยวิธีการต่างๆ ที่กล่าวมาแล้วข้างต้น ไม่สะดวกมากนัก ดังนั้น ข้อมูลเกี่ยวกับลมที่เชื่อถือได้มากที่สุดน่าจะมาจากดาวเทียมซึ่งโครงการหนึ่งนับเป็นโดยเฉพาะ จากข้อมูลดาวเทียมจะทราบลักษณะการเคลื่อนที่ของเมฆ ซึ่ง

จากทิศทางการเคลื่อนที่ของเมฆจะสามารถตอบอุ่นทิศทางลม และระบบทางที่เมฆเคลื่อนที่ไปในแนวอนในช่วงเวลาที่กำหนดให้จะสามารถตอบอุ่นความเร็วลมในบริเวณนั้นๆได้

2.7 งานวิจัยที่เกี่ยวข้อง

หากต้องการบอกว่าบริเวณหนึ่งบริเวณใดมีศักยภาพทางด้านพลังงานลมมากน้อยแค่ไหนนั้น วิธีที่จะได้คำตอบที่ถูกต้องแม่นยำที่สุดคือการตั้งเสาวัดลมที่ได้มาตรฐาน ณ บริเวณนั้นและทำการเก็บข้อมูลติดต่อ กันนานๆ นั่นหมายถึงการใช้เวลาและการลงทุนอย่างมหาศาล ดังนั้นจึงมีแนวคิดในการศึกษาโดยใช้แบบจำลองขึ้นมาช่วย โดยในช่วงที่ผ่านมา มีความรุดห้าพอสมควร เกี่ยวกับแบบจำลองทางตัวเลขของบรรยายกาศ โดยส่วนหนึ่งเป็นผลมาจากการเจริญของเทคโนโลยีทางคอมพิวเตอร์ที่ส่งผลให้สามารถทำการจำลองการเปลี่ยนแปลงในสามมิติได้

ที่ผ่านมา Physick (1988) และ Pielke (1984) ได้นำเสนอลักษณะทั่วๆ ไปของแบบจำลองในสกุลปานกลาง โดยมุ่งเน้นในการพัฒนาและการใช้แบบจำลองแบบ hydrostatic mesoscale โดยแบบจำลองดังกล่าว นี้สามารถศึกษาได้ละเอียดถึงระดับ 15 กิโลเมตรตามแนวราบ ซึ่ง Nickerson และคณะ (1986) ศึกษาทำการศึกษาปรากฏการณ์ในบริเวณเดียวกับงานวิจัยขึ้นนี้มาแล้ว

แต่ทว่าข้างคงมีหลายเหตุการณ์ที่ได้จากการประมาณ โดยวิธี hydrostatic นี้ ไม่น่าเชื่อถือ โดย Song และคณะ (1985) ได้ชี้ให้เห็นว่า การประมาณแบบ hydrostatic นี้จะผิดพลาดมากยิ่งขึ้น เมื่อระบบมีเสถียรภาพมากขึ้น หรือแม้แต่ระบบที่มีการแพร่มากก็ เช่นเดียวกัน อย่างไรก็ตาม มีงานวิจัยที่สร้างแบบจำลอง hydrostatic สำหรับกริดขนาดเล็ก ด้วย เช่นเดียวกัน สำหรับในบริเวณที่มีประชาชนอาศัยอยู่หนาแน่นหรือบริเวณที่มีลักษณะภูมิประเทศที่ซับซ้อน จำเป็นต้องมีข้อมูลเกี่ยวกับสภาพบรรยายกาศที่ค่อนข้างละเอียด ตัวอย่าง เช่น ในการจะศึกษาการแผลเปลี่ยนพลังงานในบริเวณพื้นผิวโลกที่มีพื้นผิวรวมหลากหลายปึกคลุมอยู่ การศึกษาการระเหยของน้ำหรือแม้แต่ การศึกษามลพิษในระดับท้องถิ่น จำเป็นต้องมีความละเอียดในแนวราบถึงระดับ กิโลเมตร เลยทีเดียว

งานวิจัยต่างๆ ที่กล่าวมานี้ ล้วนแล้วแต่มุ่งเน้นที่จะศึกษากระบวนการเดี่ยวๆ ในสถานการณ์ อุดมคติโดยจะนำไปสู่ความเข้าใจหลักการพื้นฐานของแต่ละปรากฏการณ์ได้ดีขึ้น ในทางกลับกัน เป็นการยากมากที่จะจำลองสถานการณ์ที่สังเกตเห็น ทั้งนี้ เพราะมีกระบวนการจำนวนมากในระดับ สเกลที่แตกต่างกันแต่เกิดในเวลาเดียวกัน ตัวอย่าง เช่น ในงานวิจัยของ Seaman และคณะ (1989) หรือ งานวิจัยของ Yamada และ Bunker (1988)

หลังจากที่มีการพัฒนา Karlsruhe Atmospheric Mesoscale Model (KAMM) Adrian และ Fiedler (1991) ได้นำเสนอรายละเอียดของแบบจำลองนี้รวมถึงการประยุกต์ใช้กับบริเวณที่มีข้อมูล อุตุนิยมวิทยาสำหรับใช้เป็นเงื่อนไขตั้งต้นและขอบเขตเงื่อนไข ได้ และนำผลที่ได้ไปเปรียบเทียบกับ

ข้อมูลจากการตรวจวัดจริง โดยทั้งนี้จำต้องมีการกำหนดค่าพารามิเตอร์ภายนอกที่จะส่งผลต่อแบบจำลองเพื่อมุ่งหมายที่จะเปรียบเทียบผลของแบบจำลองกับค่าที่วัดได้ จากผลที่ได้จากแบบจำลองยังแสดงให้เห็นว่าแบบจำลองในสเกลปานกลางสามารถใช้ในการจัดทำข้อมูลเพิ่มเติมในความละเอียดที่สูงขึ้น หรือแม้แต่ช่วยวิเคราะห์ข้อมูลจากการตรวจวัดที่มีความละเอียดค่อนข้างน้อยได้ดีกว่า

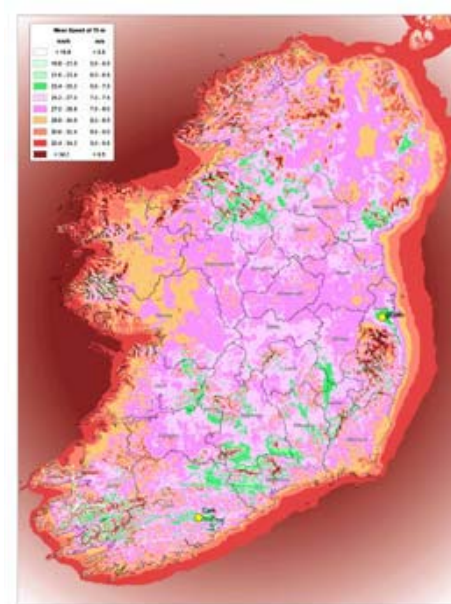
แบบจำลองในสเกลปานกลางนี้โดยทั่วไปจะอยู่ในระดับ 100 กิโลเมตร ซึ่งสามารถอธิบายเพียงเศษเสี้ยวของบรรยายกาศทั้งหมด เพื่อให้สามารถที่จะเปรียบเทียบผลจากแบบจำลองกับค่าจาก การตรวจวัดจำเป็นอย่างยิ่งที่จะต้องใช้ผลจากข้อมูลที่ทำนายโดยแบบจำลองในสเกลขนาดใหญ่มาช่วยด้วย โดยวิธีที่พอเป็นไปได้นั้นอาจกำหนดขอบเขตเงื่อนไขของสเกลขนาดเล็กโดยใช้สเกลขนาดใหญ่ช่วย ซึ่งตามงานวิจัยของ Clark และ Farley (1984) ได้แสดงให้เห็นว่าจากวิธีดังกล่าวสามารถสร้างแบบจำลองที่มีความละเอียดเพิ่มเป็นสองเท่าได้ ทั้งนี้ทั้งนั้นพบว่าวิธีนี้จะไม่เหมาะสม เมื่อขนาดของกริดที่เล็กที่สุดของสเกลขนาดใหญ่ครอบคลุมพื้นที่ทั้งหมดของสเกลขนาดเล็ก ซึ่งสำหรับกรณีดังกล่าวจะสามารถแก้ไขได้ตามที่ Adrian ได้เสนอไว้ในปี 1987 โดยต้องมีการกำหนด สภาวะพื้นฐานจากแบบจำลองในสเกลขนาดใหญ่ ซึ่งอาจเปลี่ยนแปลงตามเวลาด้วยเช่นกัน ยิ่งไปกว่านั้นสามารถที่จะใช้ร่วมกับข้อมูลจากการวัดที่มีความละเอียดไม่น่าໄດ่ กระบวนการนี้จะอยู่บนพื้นฐานที่เรียกว่า multivariate optimum interpolation scheme ในปี 1989 Seaman และคณะ ได้ใช้ค่าขอบเขตเงื่อนไขของแบบจำลอง hydrostatic ที่ได้จากการตรวจวัดเท่านั้น

ด้วยเหตุที่พลังงานลมเป็นพลังงานหมุนเวียนที่มีความเป็นไปได้สูงในการนำไปใช้งานจริง แต่การประยุกต์ใช้พลังงานลมขึ้นกับศักยภาพพลังงานลมในพื้นที่นั้นๆ โดยการหาศักยภาพพลังงานลมอาจทำเฉพาะพื้นที่เล็กๆ หรือจัดทำในรูปของพื้นที่ครอบคลุมพื้นที่ทั่วประเทศ ทั้งนี้ในงานวิจัยนี้ จะเป็นการศึกษาความเร็วและทิศทางลม โดยใช้แบบจำลองบรรยายกาศสเกลปานกลาง ซึ่งมีความสัมพันธ์กับการศึกษาศักยภาพพลังงานลมนั้นเอง โดยในอดีตที่ผ่านมา มีนักวิจัยในหลายประเทศได้ทำการศึกษาศักยภาพพลังงานลมในประเทศต่างๆ ซึ่งงานที่สำคัญมีดังนี้

Troen และ Petersen (1989) ได้จัดทำแผนที่ศักยภาพพลังงานลมของยุโรป โดยการเก็บรวบรวมข้อมูลความเร็วและทิศทางลมที่วัดตามสถานีอุตุนิยมวิทยาของประเทศต่างๆ ในยุโรป จำนวนได้ใช้แบบจำลองทางฟิสิกส์คำนวณแก้ผลจากสิ่งกีดขวางทางลม และความสูงต่ำของสภาพพื้นผิว เพื่อทำการหาความเร็วลมมาตรฐาน (standardized wind speed) ที่ระดับความสูงและความหยาบ (roughness) ของพื้นผิวระดับต่างๆ ของบริเวณสถานีวัดลม หลังจากนั้นได้ทำการ

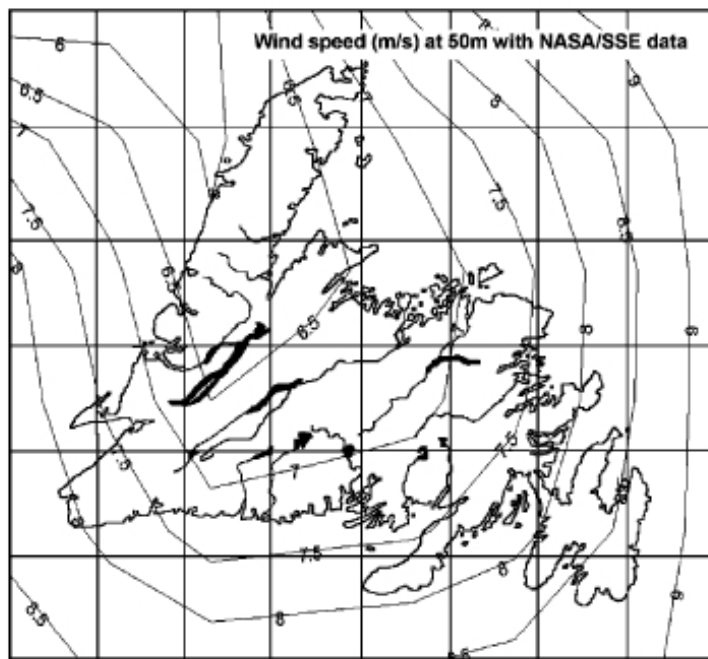
interpolation ค่าความเร็วลมระหว่างสถานีวัด เพื่อจัดทำเป็นแผนที่ลมของยุโรป (European wind atlas)

Frank และ Landberg (1997) ได้ใช้แบบจำลองบรรยายกาศในการคำนวณลมในประเทศไอร์แลนด์ โดยใช้วิธีแบ่ง class ของลมออกเป็น 65 class ซึ่งสามารถแสดงแผนที่ศักยภาพมาดังรูปที่ 2.20 โดยเมื่อเปรียบเทียบกับ European Wind Atlas แล้วพบว่าสำหรับบริเวณที่ลมแรงค่อนข้างสอดคล้อง ส่วนบริเวณที่ลมไม่แรงพบว่าได้ค่าสูงมากกว่าค่าของ European Wind Atlas



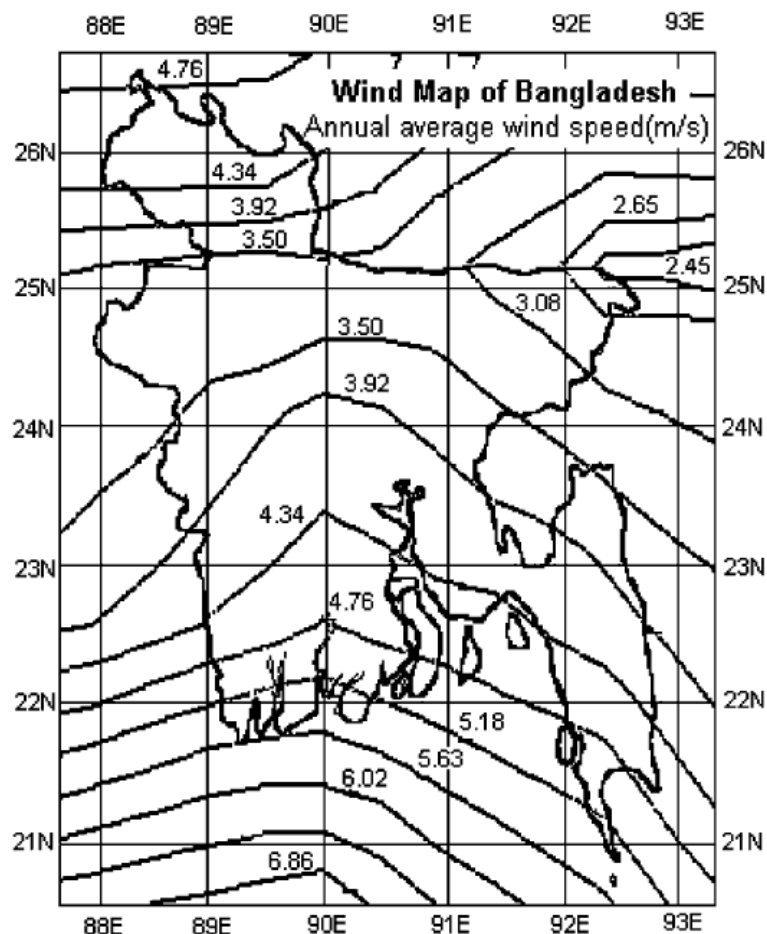
รูปที่ 2.20 แผนที่ศักยภาพพลังงานลมของ Ireland

Khan และ Iqbal (2004) ทำการสร้างแผนที่ลมของรัฐ Newfoundland ประเทศแคนาดา โดยการนำข้อมูลมาระดับสเกลใหญ่ มาทำการคำนวณความเร็วและทิศทางลมที่ความสูงจากพื้นที่ระดับต่างๆ จากนั้นได้จัดแสดงแผนที่ในลักษณะของ contour ของความเร็วลมครอบคลุมพื้นที่ที่ทำการศึกษา



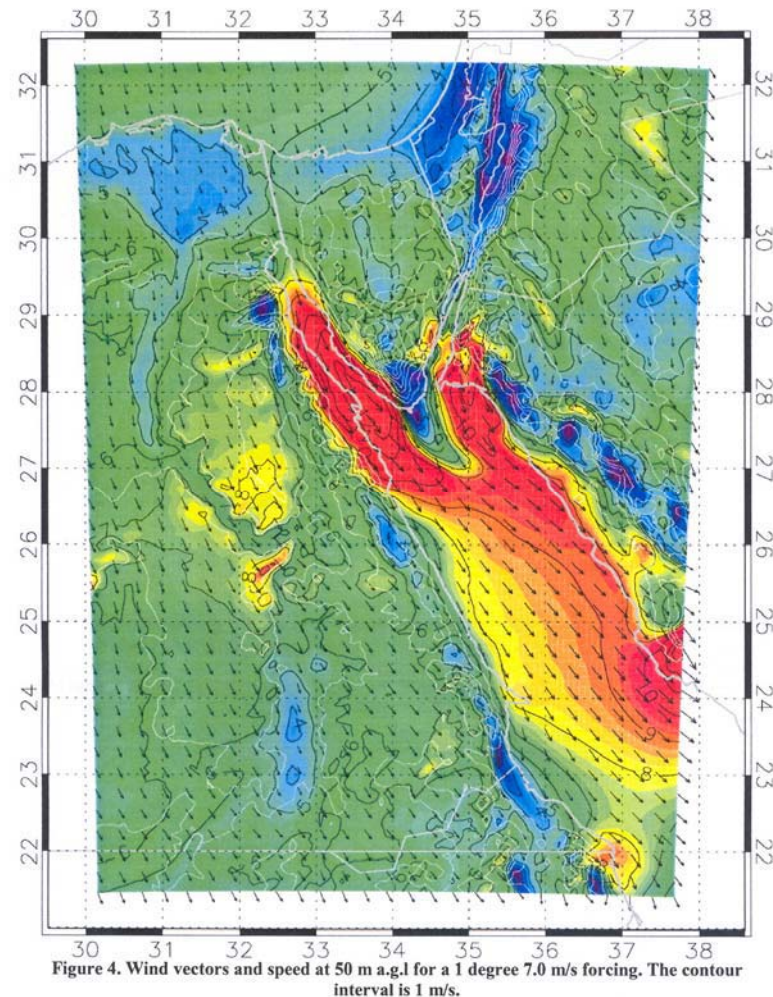
รูปที่ 2.21 แสดงแผนที่ลมที่ระดับ 50 เมตรของรัฐ Newfoundland ประเทศแคนาดา

Khan และคณะ (2004) ได้ทำการจัดทำแผนที่ลมของประเทศไทยบังคลาเทศ โดยใช้แบบจำลองบรรยากาศระดับสเกลปานกลาง (mesoscale model) เพื่อทำการคำนวณความเร็วลมที่ระดับความสูง 30 เมตร ครอบคลุมพื้นที่ทั่วประเทศไทยบังคลาเทศ และนำมาจัดแสดงในรูปของแผนที่ดังรูปที่ 2.22



รูปที่ 2.22 แสดงแผนที่ลมที่ระดับ 30 เมตรของประเทศไทย

เนื่องจากวิธีการจัดทำแผนที่ลมของ Troen และ Petersen (1989) จำเป็นต้องใช้ข้อมูลคุณภาพดีจากเครือข่ายสถานีวัดลม ซึ่งบางประเทศไม่สามารถจัดหาข้อมูลดังกล่าวได้ ดังนั้น Mortensen และคณะ (2005) จึงได้พัฒนาวิธีการจัดทำแผนที่ลมโดยใช้วิธีคำนวณจากแบบจำลองบรรยากาศ (meso-scale atmospheric model) จากนั้นได้นำวิธีดังกล่าวไปจัดทำแผนที่ลมของประเทศไทยอีกด้วย



รูปที่ 2.23 แสดงแผนที่ลมของประเทศไทย (Mortensen et al., 2005)

สำหรับกรณีของประเทศไทยกัมพูชา สถานีวัดลมที่มีอยู่ในปัจจุบันยังมีจำนวนน้อย และข้อมูลมีจำนวนจำกัด การศึกษาศักยภาพพลังงานลมจากข้อมูลเหล่านี้ไม่สามารถทำได้ จึงจำเป็นต้องใช้วิธีการคำนวณเป็นหลัก ดังนั้นในการวิจัยนี้ ผู้วิจัยจึงใช้แบบจำลองบรรยายศาสตร์เกลปานกลางในการศึกษาความเร็วลมและทิศทางลมในประเทศไทยเพื่อนำไปประยุกต์ใช้ในการศึกษาศักยภาพพลังงานลมต่อไป

บทที่ 3

วิธีการวิจัยและผล

ในการศึกษาสภาพของลมในประเทศไทยผู้วิจัยจะใช้วิธีคำนวณ ความเร็วและทิศทางลม โดยอาศัยแบบจำลองบรรยายการระดับสเกลปานกกลาง และทำการตรวจสอบความถูกต้องโดยใช้ข้อมูลจากสถานีวัดลม ตามรายละเอียดดังนี้

3.1 แบบจำลองบรรยายการในระดับสเกลปานกกลาง

ในงานวิจัยนี้ ผู้วิจัยจะใช้แบบจำลองบรรยายการระดับสเกลปานกกลาง ซึ่งนำเสนอโดย Adrian และ Fiedler (1990) โดยแบบจำลองของบรรยายการดังกล่าวจะเขียนความสัมพันธ์ของลมจีโอสโตรฟิก (geostrophic wind) กับความดันบรรยายการ อุณหภูมิ และแรงคอริออยด์ (Coriolis force) ตามสมการ

$$\frac{\partial \pi_G}{\partial x} = \frac{fv_G}{c_p \theta_G} \quad (3.1)$$

$$\frac{\partial \pi_G}{\partial y} = \frac{fu_G}{c_p \theta_G} \quad (3.2)$$

$$\frac{\partial \pi_G}{\partial z} = -\frac{g}{c_p \theta_G} \quad (3.3)$$

เมื่อ	u_G	= เป็นองค์ประกอบของความเร็วลมจีโอสโตรฟิกในแนวแกน x
	v_G	= เป็นองค์ประกอบของความเร็วลมจีโอสโตรฟิกในแนวแกน y
	θ_G	= large-scale field of the potential temperature
	π_G	= Exner function
	g	= ความเร่ง โน้มถ่วง
	f	= แรงคอริออยด์

$$\text{โดยที่} \quad \theta_G = \frac{T_G}{\pi_G} \quad (3.4)$$

เมื่อ T_G = อุณหภูมิของอากาศ

Exner function กำหนดขึ้นตามสมการ

$$\pi_G = \left(\frac{P}{P_0} \right)^{\frac{R}{c_p}} \quad (3.5)$$

เมื่อ P = ความดันบรรยากาศที่ความสูงใดๆ

P_0 = ความดันบรรยากาศที่พื้นผิวโลก

R = gas constant

c_p = ความร้อนจำเพาะของอากาศ

จากการแก้สมการ (3.1)-(3.3) จะทำให้ทราบค่าความเร็วลม ความดันบรรยากาศ และ อุณหภูมิในระดับสเกลใหญ่ ซึ่งจะนำมาใช้ในการหาความเร็วลม ความดัน และอุณหภูมิในระดับ สเกลปานกลาง (mesoscale) โดยความเร็วลมในสเกลปานกลางจะเป็นไปตามสมการของ Reynolds ดังนี้

$$\begin{aligned} \frac{du_m}{dt} &= -c_p \theta_m \frac{\partial}{\partial x} (\pi_d^* + \pi_h^*) + f(v_m - v_G \frac{\theta_m}{\theta_G}) - \\ &\quad - \frac{\partial}{\partial x} (\bar{u'u'}) - \frac{\partial}{\partial y} (\bar{u'v'}) - \frac{\partial}{\partial z} (\bar{u'w'}) \end{aligned} \quad (3.6)$$

$$\begin{aligned} \frac{dv_m}{dt} &= -c_p \theta_m \frac{\partial}{\partial y} (\pi_d^* + \pi_h^*) - f(u_m - u_G \frac{\theta_m}{\theta_G}) - \\ &\quad - \frac{\partial}{\partial x} (\bar{v'u'}) - \frac{\partial}{\partial y} (\bar{v'v'}) - \frac{\partial}{\partial z} (\bar{v'w'}) \end{aligned} \quad (3.7)$$

$$\frac{dw_m}{dt} = -c_p \theta_m \frac{\partial}{\partial z} \pi_d^* - \frac{\partial}{\partial x} (\bar{w}' u') - \frac{\partial}{\partial y} (\bar{w}' v') - \frac{\partial}{\partial z} (\bar{w}' w') \quad (3.8)$$

เมื่อ u_m = ความเร็วลมสเกลปานกลาง (mesoscale wind) ในแนวแกน x
 v_m = ความเร็วลมสเกลปานกลาง (mesoscale wind) ในแนวแกน y
 w = ความเร็วลมสเกลปานกลาง (mesoscale wind) ในแนวแกน z
 θ_m = potential temperature ในสเกลปานกลาง

โดยที่

$$u_m = \bar{u} + u' \quad (3.9)$$

$$v_m = \bar{v} + v' \quad (3.10)$$

$$w_m = \bar{w} + w' \quad (3.11)$$

$$\theta_m = \bar{\theta} + \theta' \quad (3.12)$$

$$\pi = \pi_G + \pi^* \quad (3.13)$$

$$\text{และ} \quad \pi^* = \pi_d^* + \pi_h^* \quad (3.14)$$

เมื่อ \bar{u} = ความเร็วลมเฉลี่ยในแนวแกน x
 \bar{v} = ความเร็วลมเฉลี่ยในแนวแกน y
 \bar{w} = ความเร็วลมเฉลี่ยในแนวแกน z
 $\bar{\theta}$ = ค่าเฉลี่ยของ potential temperature
 π = Exner function ในสเกลปานกลาง
 u' = turbulent deviation ของความเร็วลมในแนวแกน x
 v' = turbulent deviation ของความเร็วลมในแนวแกน y
 w' = turbulent deviation ของความเร็วลมในแนวแกน z
 θ' = turbulent deviation ของ potential temperature
 π_G = Exner function ในสเกลใหญ่
 π_d^* = dynamic part ของ mesoscale pressure
 π_h^* = thermal part ของ mesoscale pressure

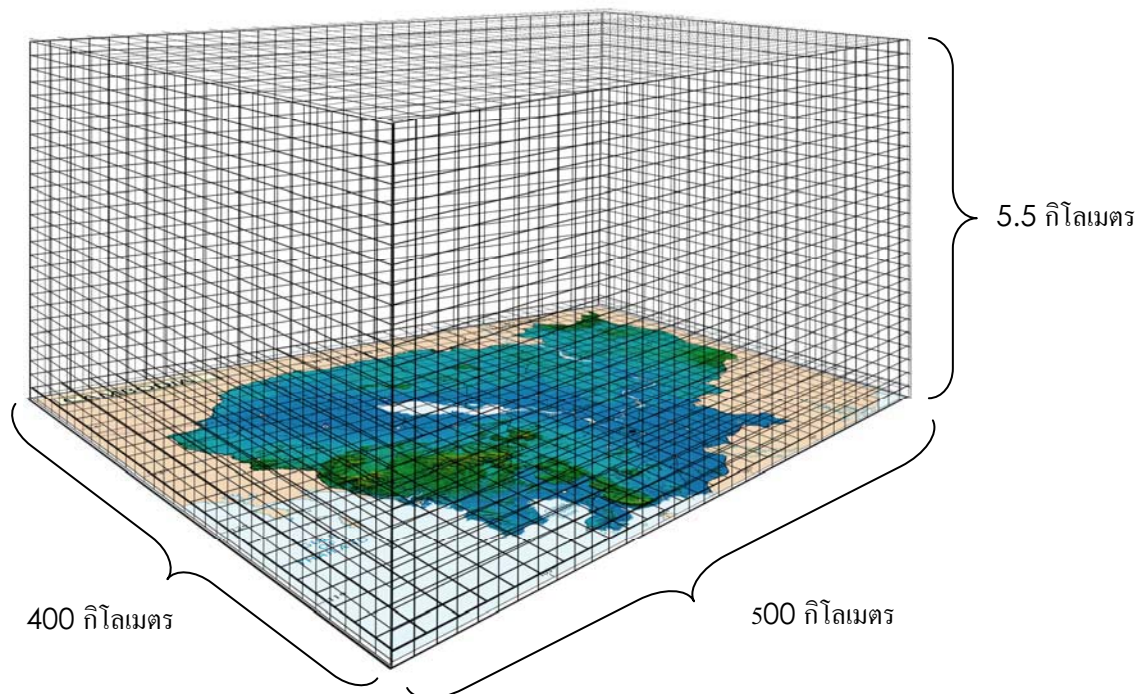
สำหรับสมการของ potential temperature ในสเกลปานกลาง เกี่ยนได้ดังนี้

$$\frac{d\theta_m}{dt} = -\frac{\partial}{\partial z}(\overline{\theta' u'}) - \frac{\partial}{\partial y}(\overline{\theta' v'}) - \frac{\partial}{\partial z}(\overline{\theta' w'}) + \frac{Q}{c_p \pi_m} \quad (3.15)$$

เมื่อ Q = heat source

ถ้าเราทำการแก้สมการ (3.4) - (3.15) ก็จะได้ความเร็วลมในสเกลปานกลาง (mesoscale wind) ซึ่งจะนำมาใช้ในการจัดทำแผนที่ศักยภาพพลังงานลม

เนื่องจากสมการ (3.6) - (3.14) เป็นระบบสมการเชิงอนุพันธ์ (partial differential equation) ไม่สามารถแก้สมการโดยวิธีเคราะห์ได้ (analytical method) ดังนั้นจำเป็นต้องแก้สมการโดยวิธีเชิงตัวเลข ซึ่งในที่นี้จะใช้วิธี centered finite difference โดยจะทำการแบ่งบริเวณของประเทศไทยเป็น格子 (grid) ใน 3 มิติ แต่ละกริดจะมีขนาดประมาณ $5 \times 5 \times 1 \text{ km}^3$ (รูปที่ 3.1) จากนั้นจะเขียนโปรแกรมคอมพิวเตอร์ในภาษาฟอร์แทรนทำการคำนวณความเร็วที่ทุกโหนด (node) ของกริดที่แบ่งไว้ก็จะได้ค่าความเร็วและทิศทางของลมทั่วประเทศที่ระดับความสูงต่างๆ



รูปที่ 3.1 แสดงการแบ่งบรรยากาศออกเป็นกริด (grid) ใน 3 มิติ

โดยสรุปแล้วการหาความเร็วและทิศทางลมในระดับสเกลปานกลาง (mesoscale wind) มีความละเอียดเชิงพื้นที่ประมาณ 5×5 ตารางกิโลเมตร จะใช้ประโยชน์จากข้อมูลลมจีโอสโตรฟิก (geostrophic wind) ซึ่งเป็นลมระดับสเกลใหญ่ ($2.5^\circ \times 2.5^\circ$) ซึ่งโดยทั่วไปได้จากข้อมูลอุตุนิยมวิทยาต่างๆ ข้อนหลังหลายปี โดยแบบจำลองบรรยากาศจะทำการคำนวณลดสเกลข้อมูลมาระดับสเกลใหญ่ให้เป็นลมระดับสเกลปานกลาง (down-scaling approach) และใช้ข้อมูลลักษณะพื้นผิวเป็นเงื่อนไขขอบเขต (boundary condition) สำหรับการแก้สมการของแบบจำลองบรรยากาศ

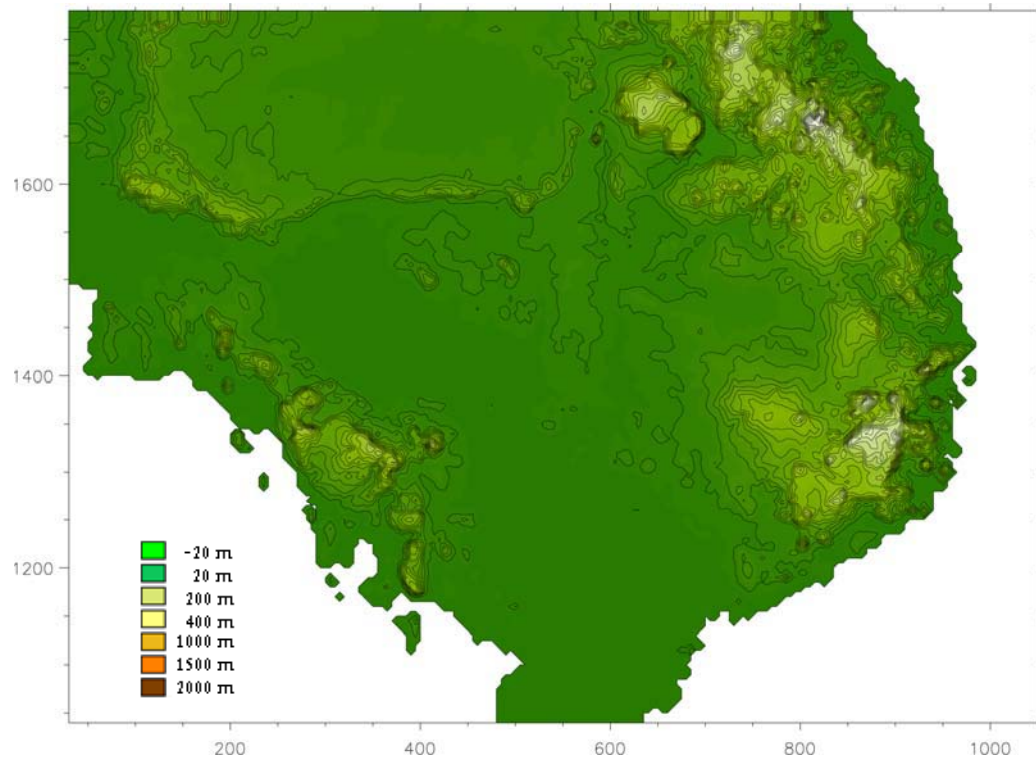
3.2 การเตรียมข้อมูลลักษณะพื้นผิว

แบบจำลองบรรยายกาศสเกลปานกลางที่ใช้ในงานวิจัยนี้เป็นแบบ non-hydrostatic 3 มิติ (3D) ในการคำนวณความเร็วและทิศทางลมด้วยแบบจำลองนี้ต้องใช้ข้อมูลลักษณะพื้นผิว 2 อย่าง ได้แก่ ข้อมูลระดับความสูงของพื้นผิว (orography data) และข้อมูลความหยาบของพื้นผิว (roughness)

3.2.1 ข้อมูลดิจิตรัดับความสูงของพื้นผิว

เนื่องจากระดับความสูงของภูมิประเทศมีผลต่อการแปรค่าของทิศทางและความเร็วลม ดังนั้น ในการศึกษาครั้งนี้จะใช้ข้อมูลดิจิตรัดับความสูงของพื้นผิวที่มีความละเอียดเชิงพื้นที่ 1×1 ตารางกิโลเมตร ซึ่งได้จากการถ่ายดาวเทียม และนำมาเฉลี่ยให้มีความละเอียดเชิงพื้นที่ 5×5 ตารางกิโลเมตร เพื่อให้สอดคล้องกับความละเอียดเชิงพื้นที่ของความเร็วลมและตัวแปรอื่นๆ ในแบบจำลอง ซึ่งในงานวิจัยนี้ได้ใช้ข้อมูลจาก NASA's Shuttle Radar Topography Mission (STRM30) dataset version 2 (รูปที่ 3.2) โดยข้อมูลดังกล่าวมีค่าความแตกต่างระหว่างคอนทัวร์ (contour interval) เป็น 100 เมตร และใช้ coordinate แบบ UTM (zone 48, datum WGS84) ซึ่งมีหน่วยเป็นกิโลเมตร

การเลือกใช้โดเมน(domain)สำหรับแบบจำลองบรรยายกาศค่อนข้างสำคัญ เนื่องจากการเลือกโดเมนที่ไม่เหมาะสมอาจทำให้เกิดผลต่อความละเอียดถูกต้องของการคำนวณ ดังนั้นในการศึกษาครั้งนี้ผู้วิจัยเลือกโดเมนที่ครอบคลุมเข้าไปถึงพื้นที่บางส่วนของประเทศไทยรวมทั้งอ่าวไทย และบางส่วนของประเทศเวียดนามด้วย เนื่องจากว่าลมที่พัดผ่านในประเทศกัมพูชาได้รับอิทธิพลของลมจากบริเวณใกล้เคียงด้วยเช่นเดียวกัน โดยเฉพาะอย่างยิ่งพื้นน้ำคือบริเวณอ่าวไทย รวมถึงบางส่วนของทะเลจีนใต้ และแนวเขตทางภาคตะวันออกเฉียงเหนือของประเทศไทยรวมถึงในประเทศเวียดนาม หากเลือกโดเมนที่เล็กติดขอบชายแดนของประเทศกัมพูชาเท่านั้นจะทำให้การคำนวณโดยแบบจำลองบรรยายกาศขาดอิทธิพลของสภาพแวดล้อมของประเทศไทยซึ่งเคียงด้วยอย่างไร ก็ตาม หากเลือกโดเมนที่กว้างเกิน ไปก็จะทำให้ใช้เวลาในการคำนวณและประมวลผลมากเกินไป ดังนั้นในการศึกษาครั้งนี้ผู้วิจัยเลือกโดเมนที่ขนาดของกริด (grid point) เป็น 205×149 ด้วยความละเอียด 5 กิโลเมตร ซึ่งเป็นโดเมนที่น่าจะเหมาะสมเพราครอบคลุมบริเวณของอ่าวไทย บางส่วนของภาคตะวันออกเฉียงเหนือของไทย บางส่วนของลาวและเวียดนาม รวมถึงบางส่วนของทะเลจีนใต้

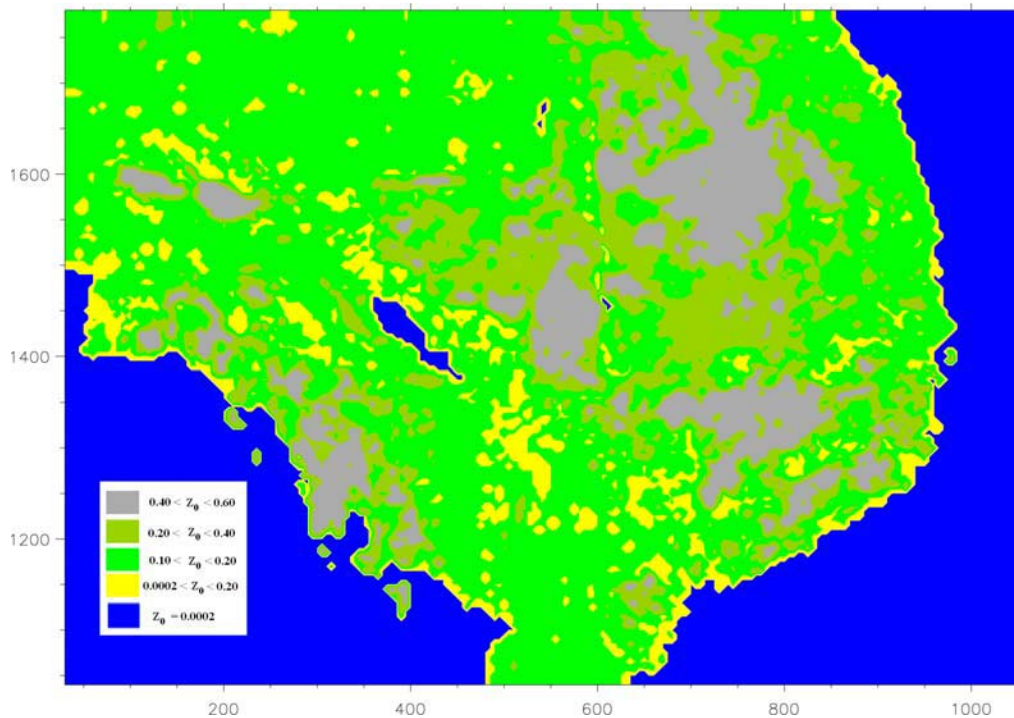


รูปที่ 3.2 แสดงลักษณะของข้อมูลความสูงพื้นผิวครอบคลุมประเทศไทย

3.2.2 ข้อมูลแผนที่ความหยาบของพื้นผิว (surface roughness map)

ความหยาบของพื้นผิวโลก (roughness) มีผลต่อทิศทางและความเร็ว慢 และจำเป็นต้องใช้ในแบบจำลองบรรยายศาสตร์เคลื่อนกางที่ใช้ในการศึกษาครั้งนี้ด้วย ข้อมูลความหยาบของพื้นผิวสำหรับใช้ในการศึกษาครั้งนี้ต้องมีความละเอียดเท่ากับความละเอียดเชิงพื้นที่ของกริดของแบบจำลอง ซึ่งในการศึกษาครั้งนี้จะใช้ความละเอียดขนาด 5×5 ตารางกิโลเมตร รูปที่ 3.3 เป็นแผนที่ความหยาบของพื้นผิวซึ่งได้จาก United States Geological Survey (USGS) Global Land Cover Classification (GLCC)

การเลือกโภคmenของพื้นที่ต้องคำนึงถึงเหตุผลเดียวกับกรณีของข้อมูลความสูงพื้นผิว ที่สำคัญต้องเป็นโภคmenเดียวกันทั้งในสองส่วนนี้รวมถึงในส่วนของแบบจำลองบรรยายศาสตร์ที่ต้องกำหนดให้ตรงกัน ซึ่งในการศึกษาครั้งนี้ ผู้วิจัยเลือกใช้ขนาดของโภคmenเป็น 205×149 grid points เพื่อให้ครอบคลุมถึงอิทธิพลของพื้นผิวของบริเวณรอบๆประเทศไทยด้วย



รูปที่ 3.3 แสดงแผนที่ความหมายของพื้นผิวครอบคลุมประเทสกัมพูชา

เนื่องจากว่าข้อมูลความหมายของพื้นผิวที่ได้จาก USGS/GLCC ใช้ดัชนีชี้ค่าที่แตกต่างจากในแบบจำลองบรรยายกาศที่เลือกใช้ ดังนั้นมีอยู่ได้ข้อมูลความหมายของพื้นผิวนานแล้วผู้วิจัยต้องทำการแปลงข้อมูลโดยใช้ look-up table เพื่อให้สอดคล้องกับแบบจำลองด้วย โดย look-up table สำหรับแบบจำลองบรรยายกาศที่ใช้ในงานวิจัยครั้งนี้ เป็นไปตาม Global Land Cover Characterization Database (GLCC) ดังแสดงในตารางที่ 3.1 ที่สำคัญต้องระมัดระวังในเรื่องของโฉมของข้อมูลให้สอดคล้องกับแบบจำลองและข้อมูลสภาพความสูงด้วย

ตารางที่ 3.1 แสดงดัชนีชี้ค่าสำหรับลักษณะความหลากหลายของพื้นผิวแต่ละชนิดสำหรับแบบจำลองบรรยายศาสตร์โลกปานกลาง (Global Land Cover Characterization Database; GLCC)

Index	Description
0	Water
1	Grass
2	Agricultural used
3	Forest
4	Beets
5	Mixed woodland
6	Urban areas
7	Vineyards
8	Bare soil
9	Wheat
10	Shrubs

3.3 การเตรียมข้อมูลบรรยายศาสตร์

ในการคำนวณความเร็วและทิศทางลม โดยใช้แบบจำลองบรรยายศาสตร์โลกปานกลาง จำเป็นต้องใช้ข้อมูลอุตุนิยมวิทยาระดับสเกลใหญ่ สำหรับการศึกษาในครั้งนี้จะใช้ข้อมูล NCEP/NCAR reanalysis ซึ่งเป็นข้อมูลแสดงสภาพโดยรวมของบรรยายศาสตร์ของโลก ซึ่งรวมรวมและวิเคราะห์โดย The National Center for Environmental prediction และThe National Center for Atmospheric Research โดยมีความละเอียดของกริด (grid) ข้อมูลทุกๆ $2.5^\circ \times 2.5^\circ$ โดยในการศึกษาครั้งนี้ ข้อมูลบรรยายศาสตร์ที่ต้องการได้แก่ geopotential height อุณหภูมิ และ ความชื้นของอากาศที่ระดับความดันบรรยายศาสตร์ต่างๆ (300 – 1000 มิลลิบาร์) วันละ 4 เวลา คือ 0:00 GMT 6:00 GMT 12:00 GMT และ 18:00 GMT รวมถึงความเร็วลมในระดับสเกลใหญ่ ทั้งลมในแนวตะวันออก-ตะวันตก (u-wind) และ ลมในแนวเหนือ-ใต้ (v-wind)

ข้อมูลความเร็วลมเป็นข้อมูลที่มีความสำคัญ ทั้งนี้ เพราะพลังงานของกระแสลมขึ้นกับกำลังสามของความเร็วลม สำหรับทิศทางลมก็มีความสำคัญ เนื่องจากลมที่พัดมาในแต่ละทิศ จะมีผลกับลักษณะพื้นผิวโลกที่แตกต่างกันตามทิศทาง กรณีของอุณหภูมิจะมีผลต่อเสถียรภาพของบรรยายศาสตร์

โดยเฉลี่ยของความคงทนที่พัดผ่านภูเข้า ถ้าอากาศอยู่ในสภาพเสถียร (stable) อุณหภูมิของอากาศจะเพิ่มตามความสูง โดยอากาศเย็นจะอยู่ด้านล่างไกล์ฟีนพิวโลก ส่วนอากาศร้อนจะอยู่ด้านบน ในสภาพดังกล่าวลมจะพัดอ้อมสิ่งกีดขวาง (รูปที่ 3.4) ในทางตรงกันข้าม ถ้าอากาศไม่เสถียร (unstable) ลมจะพัดข้ามสิ่งกีดขวาง

ในการบอกร่องสิ่งกีดขวาง เช่น ภูเขานี้มีต่อลม จะบอกด้วย Froude number ซึ่งกำหนดดังสมการ

$$Fr = \frac{u}{hN} \quad (3.16)$$

เมื่อ Fr = Froude number

u = ความเร็วลม

h = ความสูงของสิ่งกีดขวาง

N = Brunt-Väisälä frequency

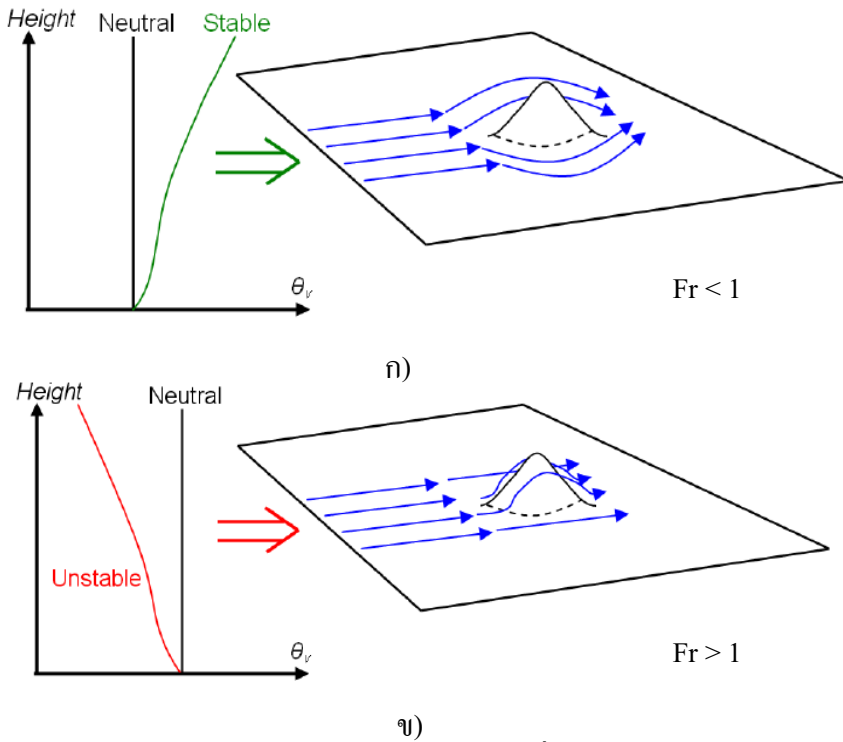
โดยที่ N สามารถคำนวณได้จาก

$$N = \sqrt{\frac{g}{\theta_0} \frac{d\theta}{dz}} \quad (3.17)$$

เมื่อ g = ความเร่งอัตราการตกของโลก

θ_0 = potential temperature ที่พื้นผิว

$\frac{d\theta}{dz}$ = potential temperature gradient



รูปที่ 3.4 แสดงทิศทางของการพัดของลมผ่านภูเขา ก) กรณีที่อากาศมีสภาพเสถียร ข) กรณีที่อากาศมีสภาพไม่เสถียร

อากาศที่มีค่า Froude number ต่ำกว่านี้จะมีเสถียรภาพดีและจะให้ผลอ้อมสิ่งกีดขวาง ใน การคำนวณ Froude number ในสมการ (3.16) และ (3.17) จะเห็นว่าเราต้องรู้ค่า potential temperature (θ) ที่ระดับความสูงต่างๆ ซึ่งเป็นอุณหภูมิที่คำนวณแก้ผลจากความชื้นและการถ่ายเท พลังงานแล้ว โดย potential temperature (θ) จะคำนวณจาก air temperature (T) โดยอาศัยสมการที่ (3.18)

$$\theta = \frac{T}{\left(\frac{P}{P_0}\right)^{R/C_p}} \quad (3.18)$$

เมื่อ p = ความดันบรรยากาศ (mbar)

P_0 = 1013 mbar/atm

T = อุณหภูมิของอากาศจาก NCEP/NCAR

R = gas constant

C_p = ความร้อนจำเพาะของอากาศ

ดังนั้นจากข้อมูลบรรยายกาศ เราจะได้ไฟล์ profile (profile) ของความเร็วทั้งสองแนว (u-wind, v-wind) ไฟล์ของ potential temperature และไฟล์ของ relative humidity ในระดับจีโอสโตรฟิก โดยข้อมูลเหล่านี้จะใช้เป็นสร้างไฟล์อินพุต (input file) สำหรับแบบจำลองบรรยายกาศสเกลใหญ่ เพื่อกำนัณความเร็วและทิศทางลมในระดับสเกลปานกลางต่อไป

3.4 การคำนวณความเร็วและทิศทางลม

ในการคำนวณความเร็วและทิศทางลมในส่วนแบบจำลองบรรยายกาศสเกลปานกลางต้องทำการคำนวณบนคอมพิวเตอร์ขนาดใหญ่ แต่ในส่วนของข้อมูลอินพุตและการวิเคราะห์นั้นสามารถกระทำบนคอมพิวเตอร์ธรรมดาได้ โดยขั้นตอนของการคำนวณจะแบ่งเป็น 2 ส่วน ดังนี้

3.4.1 ข้อมูลจีโอสโตรฟิก

ในการคำนวณความเร็วและทิศทางลมของทั้งประเทศกัมพูชาโดยใช้แบบจำลองบรรยายกาศนี้จำเป็นต้องใช้อินพุต (input) ดังที่กล่าวมาแล้วข้างต้น โดยข้อมูลจีโอสโตรฟิกเป็นข้อมูลแบบ gridded climate ที่ได้จาก NCEP/NCAR reanalysis ก่อนนำมาใช้เป็นอินพุตสำหรับแบบจำลองบรรยายกาศจำเป็นต้องมีการจัดรูปแบบให้เหมาะสมกับแบบจำลอง โดยข้อมูลที่ได้จาก NCEP/NCAR reanalysis ที่จำเป็นต้องใช้ในแบบจำลองนี้จะประกอบด้วย geopotential height, air temperature, relative humidity, u-wind และ v-wind ในการศึกษาครั้งนี้เลือกใช้ ณ ระดับความดัน 8 ระดับด้วยกัน คือ 300 มิลลิบาร์ 400 มิลลิบาร์ 500 มิลลิบาร์ 600 มิลลิบาร์ 700 มิลลิบาร์ 850 มิลลิบาร์ 925 มิลลิบาร์ และ 1000 มิลลิบาร์ หรือที่ระดับความสูงจากระดับพื้นดินไม่เกิน 10 กิโลเมตร ตั้งแต่วันที่ 1 กันยายน 2550 จนถึง วันที่ 31 ธันวาคม 2551 เพื่อความละเอียดของข้อมูลผู้วิจัยเลือกใช้ข้อมูลราย 6 ชั่วโมง (0:00 GMT, 6:00 GMT, 12:00 GMT และ 18:00 GMT) ข้อมูล NCEP/NCAR reanalysis ที่ได้มาระอู่ในรูปของ netCDF file จึงต้องอาศัย ncdump เพื่อแปลงเป็น text file จึงจะนำมาใช้งานต่อได้

ด้วยเหตุที่ NCEP/NCAR reanalysis ให้ข้อมูลสำหรับตำแหน่งของโลกที่มีความละเอียดของกริดเป็น $2.5^\circ \times 2.5^\circ$ ซึ่งถือเป็นข้อมูลในระดับสเกลใหญ่ สำหรับประเทศกัมพูชาพบว่ามีข้อมูลเพียงกริดเดียวเท่านั้น นั่นคือที่พิกัด 12.5 องศาเหนือ และ 105.0 องศาตะวันออก นอกจากนี้จากนั้นจะเป็นพิกัดที่อยู่ติดชายแดนของประเทศหรืออยู่นอกอาณาเขตของประเทศกัมพูชาไปเลย ดังนั้นในการศึกษาครั้งนี้จึงเลือกใช้ข้อมูล NCEP/NCAR reanalysis ณ ลองจิจูดที่ 105.0 องศาตะวันออก และละติจูดที่ 12.5 องศาเหนือ โดยในการโหลดข้อมูลแต่ละชุดนั้นสามารถเลือกโหลดข้อมูลในช่วงที่สนใจ ผู้วิจัยจึงเลือกข้อมูลจีโอสโตรฟิกรายเดือนเพื่อความรวดเร็วและสะดวกในการวิเคราะห์อย่างไรก็ตามหากใส่พิกัดอื่นๆที่ไม่ตรงกับพิสัยความละเอียดของข้อมูล NCEP/NCAR คอมพิวเตอร์

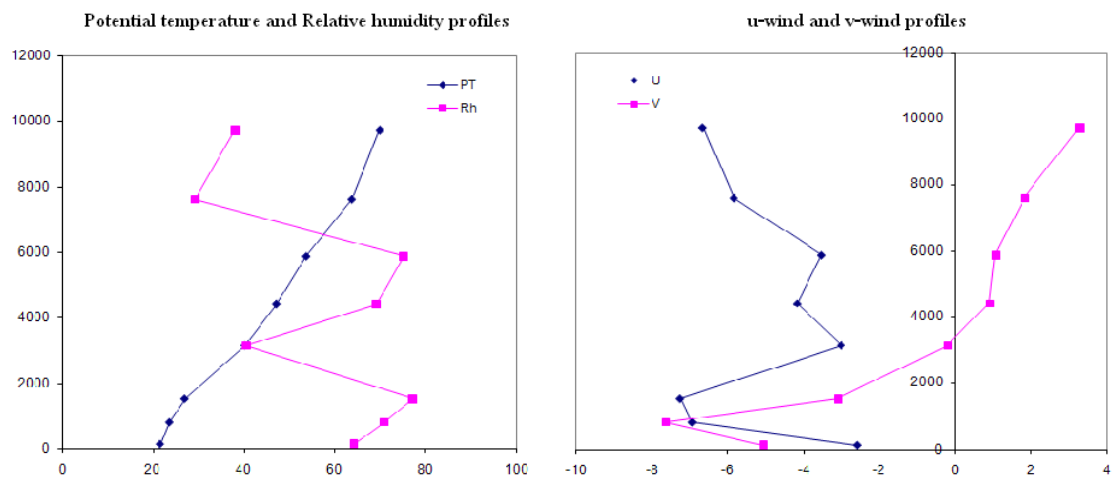
จะเลือกแสดงผลของพิกัดในพิสัย $2.5^{\circ} \times 2.5^{\circ}$ ที่ใกล้ที่สุดของพิกัดที่เลือก ดังนั้นหากเลือกพิกัดเอง ล่วงหน้าจะสะดวกยิ่งขึ้น ไม่เช่นนั้นข้อมูลที่แสดงออกมาอาจจะเป็นของจุดที่อยู่นอกบริเวณที่สนใจ ได้ หลังจากนั้นต้องเลือกระดับความคันที่ต้องการให้แสดงผลข้อมูล โดยมีทั้งหมด 17 ระดับ ซึ่ง สามารถเลือกทั้งหมด 17 ระดับเลยก็ได้ แต่ในการศึกษาครั้งนี้จะเลือกเพียง 8 ระดับตามที่กล่าวไว้ แล้วข้างต้นเพื่อไม่ให้เป็นการเสียเวลาในการโหลดข้อมูล หลังจากนั้นสามารถเลือกลักษณะการ แสดงผลมูลว่า ต้องการแสดงผลในรูปแบบการ plot ให้เห็นทางหน้าจอเลยหรือจะแสดงผลในรูป ของไฟล์ข้อมูลก็ได้ ทั้งนี้เพื่อให้สามารถนำข้อมูลไปใช้ต่อได้ ผู้วิจัยจึงต้องเลือก create a subset without making a plot เพื่อเก็บข้อมูลในรูปของ netCDF file

เนื่องจากการดาวน์โหลดข้อมูล NCEP/NCAR ทั้งปีในคราวเดียวนั้นต้องอาศัยเวลา และมีค่า ความสามารถของอินเตอร์เน็ตจะต้องดีในระดับหนึ่ง ผู้วิจัยจึงเลือกที่จะดาวน์โหลดข้อมูลทีละ 1 เดือนแทน ดังนั้นจำเป็นอย่างยิ่งที่ต้องมีการออกแบบการดาวน์โหลดให้ดีเนื่องจากว่าในการศึกษา ครั้งนี้ต้องการใช้ข้อมูลตลอดทั้งปี หรือ 12 เดือนนั่นเอง นั่นหมายถึงสำหรับพารามิเตอร์แต่ละตัว จะต้องทำการดาวน์โหลดทั้งหมด 12 ครั้ง ซึ่งในการศึกษาครั้งนี้ต้องใช้ทั้งหมด 5 พารามิเตอร์ นับว่า ต้องใช้เวลาพอสมควรในการเตรียมข้อมูลบรรยายกาศทั้งหมด

หลังจากได้ข้อมูลรายเดือนจาก NCEP/NCAR ในรูปของ text file เรียบร้อยแล้ว ผู้วิจัย จะต้องใช้ excel ในการจัดข้อมูลรายเดือนเป็นรายวันก่อน เนื่องจากว่าในการคำนวณโดยใช้ แบบจำลองบรรยายกาศนั้นต้องการไฟล์อินพุทเป็นแบบรายวัน (ตามหลักแล้วสามารถเลือก ดาวน์โหลดข้อมูล NCEP/NCAR แบบรายวันได้ แต่ค่อนข้างยุ่งยากกว่า) ทั้งนี้จะเห็นได้ว่าต้องมีการ ออกแบบระบบการจัดการข้อมูลให้ดีเพื่อป้องกันการประปันกันของข้อมูลก่อนนำไปสร้างเป็น อินพุท

หลังจากสร้างข้อมูลรายวันจากข้อมูลรายเดือนที่ได้จาก NCEP/NCAR เรียบร้อยแล้ว ต้อง สร้างไฟล์ profile (profile) รายวัน (รูปที่ 3.5) ตามระดับความสูงจากพื้นผิวโลกของพารามิเตอร์ 5 ตัว เพื่อใช้เป็นอินพุทไฟล์สำหรับแบบจำลอง คือ u-profile, v-profile, potential temperature profile, delta potential temperature และ relative humidity profile โดยตัวอย่างรูปแบบของไฟล์อินพุทที่ใช้ สำหรับแบบจำลองนี้แสดงไว้ในรูปที่ 3.6 รูปแบบของไฟล์อินพุทแต่ละวันจะแตกต่างกันใน 2 ส่วน คือ ค่า TGA หรือลำดับวันในรอบปี และ ค่าของไฟล์อินพุททั้ง 5 พารามิเตอร์ ในรูปที่ 3.6 ซึ่ง เป็นตัวอย่างของวันที่ 1 มกราคม ดังนั้น TGA = 1 ส่วนตัวเลข 5 และ ค่านั้นล่าง จะเป็น ไฟล์ของ u-wind, v-wind, potential temperature (หน่วย K), delta potential temperature (โดยทั่วไปจะมี

ค่าประมาณ 0) และ relative humidity ตามลำดับจากบนลงล่าง โดยค่าไฟล์ต่างๆ จะเลือกใช้เพียง 4 ระดับความสูงที่เหมาะสมเท่านั้น จากตัวอย่างในรูปนี้ 4 ระดับที่เลือกใช้คือ 121 เมตร 3,135 เมตร 5,860 เมตร และ 9,706 เมตร สำหรับการศึกษาครั้งนี้จะต้องสร้างไฟล์อินพุทลักษณะเช่นนี้ทั้งหมด 366 ไฟล์ หรือ 1 ไฟล์ต่อ 1 วัน เมื่อได้อินพุทแล้วจะต้องทำการอัพโหลดไปยังคอมพิวเตอร์ขนาดใหญ่เพื่อทำการ run แบบจำลองต่อไป



รูปที่ 3.5 แสดงไฟล์รายวัน ที่สร้างจากข้อมูล NCEP/NCAR reanalysis

```
&RUN
START=.true.,
ZEIT=1440.,ZPRINT=30.
ZMEZ= 0. ,TAG=1.,GB=12.5
IZWI=1,1,1,1,1,0,1,1,1,1,1,1,1,1,1,1,1,1,1,1,1,1,1,1,1,1,1,1,1,
FILT=0110,DAMP=.false.,
&END
&ZEITR
&END
&GEBIE
DX0=5000.,DY0=5000.,paraf=20.d0,hh=1.0d4
&END
&VORG
PIGO=1.000
&END
&DIFF
KXINIT=001,KYINIT=001
&END
&FORM
FORMH='(205F7.1)',FORMVEG='(205I3)'
&END
4
-5.00    9706.00      -5.00    5860.00      -5.00    3135.00      -5.00    121.00
 3.25    9706.00      1.03    5860.00     -0.22    3135.00      -5.06    121.00
 69.87   9706.00      53.74    5860.00     40.29    3135.00      21.62    121.00
 0.00    9706.00      0.00    5860.00      0.00    3135.00      0.00    121.00
 0.58    9706.00      0.58    5860.00      0.58    3135.00      0.58    121.00
```

รูปที่ 3.6 ตัวอย่างไฟล์อินพุทที่ใช้สำหรับแบบจำลองบรรยากาศระดับสเกลปานกลาง

3.4.2 ประมวลผลข้อมูล และการแสดงผลลัพธ์จากแบบจำลอง

เมื่อได้ข้อมูลอินพุทของแต่ละวันแล้วจะทำการประมวลผลโดยใช้คอมพิวเตอร์ขนาดใหญ่ในการนี้จำเป็นต้องอัปโหลด ข้อมูลดิจิตอลระดับความสูงของพื้นผิว ความหมายของพื้นผิว และไฟล์อินพุท ไปยังคอมพิวเตอร์ขนาดใหญ่ก่อนจึงจะสามารถทำการ run โปรแกรมได้ โดยข้อมูลสองอย่างแรกนี้เป็นข้อมูลดิจิตอลลดลงทั้งโคล เมน ซึ่งใช้เหมือนกันตลอดการคำนวณด้วยแบบจำลอง บรรยากาศสำหรับข้อมูล 1 ปี แต่สำหรับไฟล์อินพุทข้อมูลที่ได้จาก NCEP/NCAR จะเป็นไฟล์ของแต่ละวันในรอบปีดังได้กล่าวไว้แล้วข้างต้น หลังจากที่ทำการประมวลผลด้วยแบบจำลองบรรยากาศ ด้วยคอมพิวเตอร์ขนาดใหญ่เรียบร้อยแล้วผลลัพธ์ที่ได้จะอยู่ในรูปแบบที่ไม่สามารถเรียกอ่านได้โดยตรง ดังนั้นผู้วิจัยต้องสร้างโปรแกรมย่อเพื่อแสดงผลลัพธ์ความเร็วตามทั้งสองทิศทาง กือความเร็วตามในแนวตะวันออกตะวันตก (u) และความเร็วตามแนวเหนือใต้ (v) โปรแกรมดังกล่าวคือ “readu” จะช่วยแสดงค่าความเร็วทั้งสองทิศทางและค่าระดับความสูงของภูมิภาคเป็น text file โดยโปรแกรม “readu” ดังกล่าวจะอ่านด้วยภาษาฟอร์แทรน ดังที่กล่าวไว้ข้างต้นว่าการ run แบบจำลองบรรยากาศจำเป็นต้องใช้อินพุทเป็นรายวัน ผลลัพธ์ที่ได้จะเป็นแบบรายวันด้วย ดังนั้นเพื่อเป็นประโยชน์ในการจัดการ เนื่องจากเป็นการ run โปรแกรมอย่างต่อเนื่อง ดังนั้นผู้วิจัยได้ออกแบบให้ซื้อไฟล์เปลี่ยนแปลงไปตามลำดับที่ของการ run ซึ่งจะสอดคล้องกับหมายเลขอของไฟล์อินพุทนั้นเอง

อย่างไรก็ตามข้อมูลความเร็วน และ v ที่ได้จาก “readu” นั้นยังเป็นไฟล์ขนาดใหญ่มาก เพราะเป็นข้อมูลรวมสำหรับระดับความสูงทั้งหมด 50 ระดับเหนือพื้นดิน เพื่อให้การถ่ายโอนข้อมูลกลับสะท้อนและรวดเร็วซึ่งเป็นต้องลดปริมาณข้อมูลลงให้เหลือเฉพาะความเร็วในระดับชั้นที่เราสนใจเท่านั้น โดยในงานวิจัยนี้ได้ทำการตัดข้อมูลมาเพียง 9 ระดับเหนือพื้นดินขึ้นไปเท่านั้น ซึ่งจะครอบคลุมถึงระดับความสูงเหนือพื้นดินขึ้นไปประมาณ 1 กิโลเมตร ซึ่งถือได้ว่าเพียงพอแล้วสำหรับงานทางด้านพลังงานลม ทั้งนี้ เพราะในการประยุกต์ใช้งานจริงกับงานทางด้านพลังงานลม นั้นเพียง 2 – 3 ระดับถูกกีดกั้นว่าเพียงพอ เพราะสามารถครอบคลุมถึงระดับ 200 เมตรเหนือพื้นดินเลยทีเดียว

ในการประมวลผลแต่ละครั้ง หรือแต่ละไฟล์อินพุตนั้น จะได้ข้อมูลความเร็วน และ v รายชั่วโมง นั้นหมายถึงจากการประมวลผล 1 ครั้ง (1 ไฟล์อินพุท) เราจะได้ไฟล์ความเร็วน 24 ไฟล์ความเร็วน 24 ไฟล์ และ ไฟล์ความสูง z อีกหนึ่งไฟล์ รวมเป็น 49 ไฟล์ ต่อข้อมูลอินพุท 1 ไฟล์ หรือ ข้อมูลจีโอสโตรฟิกของ 1 วันเท่านั้น ซึ่งในช่วงที่ทำการศึกษาคือช่วงระหว่างวันที่ 1 กันยายน 2550 จนถึงวันที่ 31 สิงหาคม 2551 มีจำนวนวันทั้งหมดทั้งหมด 366 วัน จึงต้องสร้างไฟล์อินพุททั้งหมด 366 ไฟล์ ทำการ run แบบจำลองผ่านคอมพิวเตอร์ขนาดใหญ่ทั้งหมด 366 ครั้งและจะต้องทำการ

ถ่ายโอนข้อมูลจากคอมพิวเตอร์ขนาดใหญ่มาประมาณผลทั้งหมด 17,934 ไฟล์ (366 x 49) ดังนั้น การตั้งชื่อไฟล์ให้เป็นหมายเลขอารบิกค่อนข้างที่จะสะดวก เพราะไม่จำเป็นต้องเปลี่ยนแปลงตัวโปรแกรมทุกครั้งที่ run เสร็จ และที่สำคัญจะเห็นว่าการเลือกตัดข้อมูลมาเพียงบางส่วนจะช่วยประหยัดเวลาในการถ่ายโอนข้อมูลเป็นอย่างมาก โดยการตัดข้อมูลดังกล่าวผู้วิจัยได้เขียนโปรแกรมด้วยภาษาฟอร์แทรนโดยใช้ชื่อว่า “slice” ขึ้นมาเป็นตั้งกรองเอาเฉพาะข้อมูลส่วนที่สูงคลาร์ดับพื้นดินประมาณ 1 กิโลเมตรเท่านั้น ซึ่งถือได้ว่ามากเกินพอ เพราะในการเปรียบเทียบกับข้อมูลวัดน้ำเรามีข้อมูลวัดสูงสุดแค่ 50 เมตรเท่านั้น แต่อย่างไรก็ตาม ในการศึกษาครั้งนี้จะถ่ายโอนข้อมูลถึงระดับ 1000 เมตรโดยประมาณ

เมื่อได้ข้อมูลความเร็ว n และ v เรียบร้อยแล้ว จะถึงขั้นตอนการแสดงผลข้อมูลเพื่อนำไปเปรียบเทียบกับข้อมูลวัดจริงของแต่ละวันจากสถานีวัด 5 แห่ง รวมถึงการแสดงผลออกมายในรูปของแผนที่แสดงการกระจายตัวตามพื้นที่ทั่วประเทศกัมพูชาแบบเฉลี่ยรายเดือน และเฉลี่ยรายปี สำหรับขั้นตอนการวิเคราะห์และประมาณผลนี้จะใช้คอมพิวเตอร์ธรรมด้าและใช้ภาษา IDL เป็นหลัก ดังที่กล่าวไว้ข้างต้นว่าค่า n และ v ที่ได้จากการคำนวณด้วยแบบจำลองบรรยายศาสตร์กลาบานกลางนั้นจะเป็นรายชั่วโมง ดังนั้นผู้วิจัยจะต้องทำการเฉลี่ยข้อมูลเป็นข้อมูลเฉลี่ยรายเดือนเพื่อใช้สร้างแผนที่แสดงการกระจายตัวตามพื้นที่ของความเร็วนเฉลี่ยในแต่ละเดือน และเฉลี่ยตลอดทั้งปี ซึ่งโปรแกรมในการเฉลี่ยข้อมูลที่เขียนขึ้น คือ “cal_monthly_wind_ave” และโปรแกรมในการแสดงผลลัพธ์ในรูปแผนที่คือ “plot_wind_Kamm_average_L10_pro” นอกจากนั้นข้อมูลความเร็วลมเฉลี่ยรายเดือนของแต่ละสถานีที่ได้จากแบบจำลองจะถูกนำไปเปรียบเทียบกับค่าความเร็วนเฉลี่ยรายเดือนของข้อมูลที่ได้จากการวัดจริงจากสถานีวัดทั้ง 5 แห่ง โดยข้อมูลวัดที่ได้จากการวัดจะรวมร่วมกับทางด้านพลังงานทดแทนระหว่างประเทศไทยและกัมพูชานั้นจะเป็นข้อมูลเฉลี่ยราย 10 นาที ซึ่งอยู่ในรูปของ spread sheet ซึ่งง่ายต่อการทำให้ห้อยในรูปของ text file และใช้โปรแกรมเดียวกันกับที่ใช้เฉลี่ยข้อมูลที่ได้จากการคำนวณ งานนี้สามารถนำสร้างกราฟเปรียบเทียบกันได้

นอกจากนี้ในการศึกษาครั้งนี้ได้เปรียบเทียบทิศทางของลมของทั้ง 5 สถานี ออกแบบในรูปของ wind rose โดยในการสร้าง wind rose ผู้วิจัยเลือกใช้โปรแกรม origin เนื่องจากสามารถสร้าง wind rose ที่แสดงให้เห็นถึงการกระจายตัวของลมในแต่ละทิศทางรวมถึงรายละเอียดความเร็วในแต่ละทิศทางว่ามีมากน้อยเพียงใด ทั้งนี้ก่อนการสร้าง wind rose จำเป็นต้องมีการแยกแจงความเร็วน, v ที่ได้สำหรับแบบจำลองบรรยายศาสตร์กลาบานกลางที่ใช้ในการศึกษาครั้งนี้กำหนดทิศของลมดังนี้ n เป็นบวกคือลมที่พัดมาจากทิศตะวันตก n เป็นลบคือลมที่พัดมาจากทิศตะวันออก v เป็นบวกคือลมที่พัดมาจากทิศใต้ v เป็นลบคือลมที่พัดมาจากทิศเหนือ ดังนั้นถ้าค่า n และ v เป็นบวกทั้งคู่แสดงว่าทิศของลมจะพัดอยู่ระหว่างทิศตะวันตกและทิศใต้ ส่วน n และ v เป็นลบทั้งคู่จะหมายถึงลม

ที่พัดอยู่ระหว่างทิศเหนือและทิศตะวันออกนั้นเอง ส่วนการเรียกชื่อทิศนั้นจะกำหนดให้ลมที่พัดด้วยค่ามุมเป็น 0 หรือ 360 องศา คือ ลมเหนือ (พัดมาจากทิศเหนือ) ค่ามุมเป็น 90 องศา คือลมตะวันออก (พัดมาจากทิศตะวันออก) ค่ามุมเป็น 180 องศา คือลมใต้ (พัดมาจากทิศใต้) และสำหรับลมที่มีค่ามุมเป็น 270 องศา คือลมตะวันตก (พัดมาจากทิศตะวันตก) โดยในงานวิจัยนี้จะใช้การแบ่งทิศออกเป็น 16 ทิศ คือ North, North-Northeast, Northeast, East-Northeast, East, East-Southeast, Southeast, South-Southeast, South, South-Southwest, Southwest, West-Southwest, West, West-Northwest, Northwest, North-Northwest ดังรายละเอียดที่กล่าวไว้แล้วในบทที่ 2

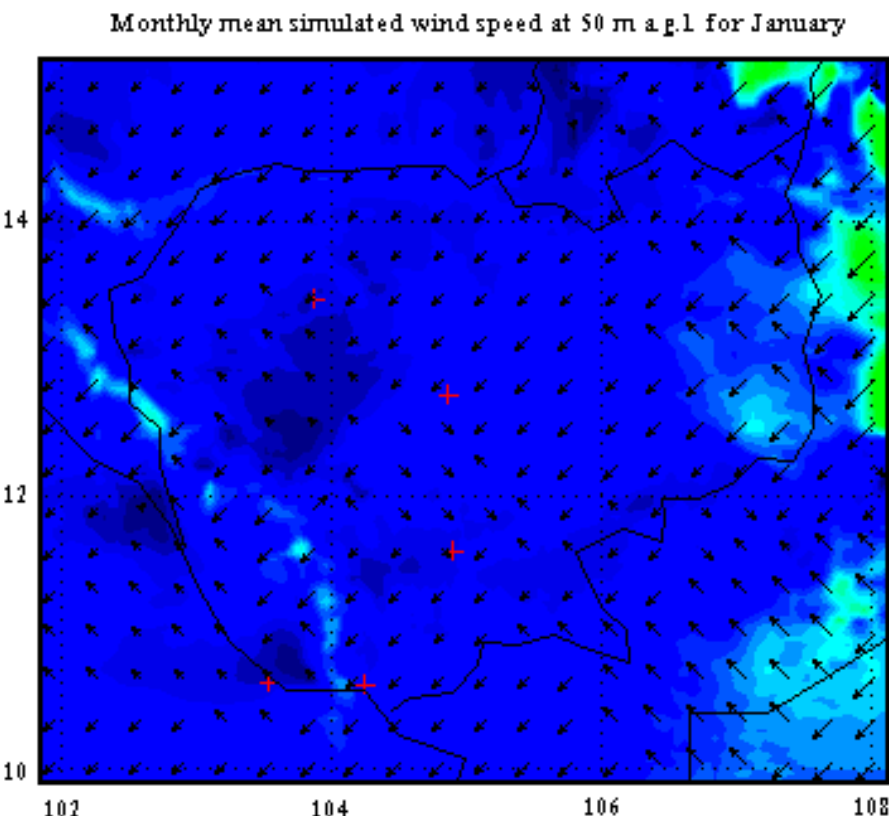
จากข้อมูล n และ v ที่ได้จากการคำนวณสามารถคำนวณหาความเร็วลัพธ์ของมาได้ โดยใช้โปรแกรม “cal_windrose_distv3” จากนั้นทำการแจกแจงความถี่ของลมทั้งหมดใน 16 ทิศทางโดยใช้โปรแกรม “separate16sector_v3” โดยโปรแกรมทั้งคู่เขียนด้วยภาษา IDL เมื่อได้ข้อมูลการแจกแจงความถี่ของแต่ละเดือนจะสามารถนำไปสร้าง wind rose ด้วยโปรแกรม origin

ผู้วิจัยได้ทำการแจกแจงความถี่สำหรับข้อมูลวัดที่ได้จาก 5 สถานีในประเทศไทยกับพืชชาด้วยเข่นเดียวกัน เพื่อใช้สร้าง wind rose และเปรียบเทียบกับ wind rose จากข้อมูลที่ได้จากแบบจำลองโดยการเปรียบเทียบผลการคำนวณกับข้อมูลจากการวัดจะกล่าวถึงในหัวข้อต่อไป

3.5 ผลการคำนวณ

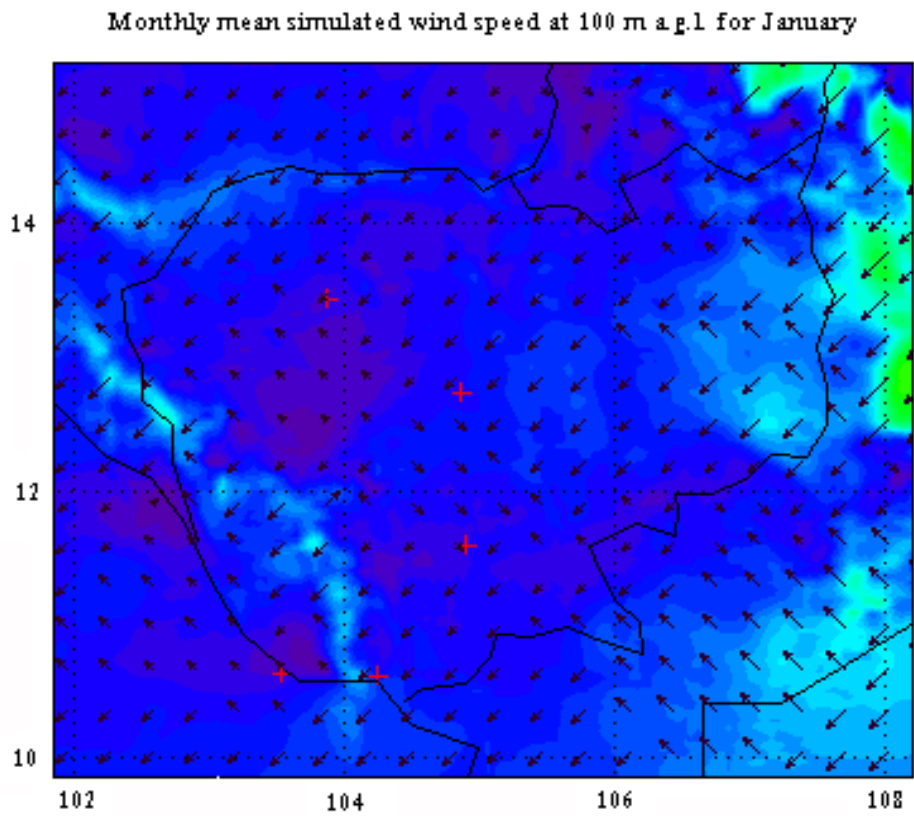
หลังจากได้ผลการคำนวณความเร็วและทิศทางลมจากการใช้แบบจำลองบรรยายกาศ ผู้วิจัยจะนำผลการคำนวณดังกล่าวมาจัดแสดงในรูปของแผนที่ลอมเคลื่อนรายเดือน ณ ระดับความสูง 50 เมตร และ 100 เมตร ดังแสดงในรูปที่ 3.7 – 3.30 ในกรณีผู้วิจัยได้แสดงแผนที่ครอบคลุมเฉพาะบริเวณประเทศไทยเท่านั้นซึ่งเป็นบริเวณที่เล็กกว่าโดเมนของการคำนวณเล็กน้อย สาเหตุที่ไม่ให้ความสนใจกับผลการคำนวณบริเวณขอบของโดเมนเนื่องจากว่าการคำนวณโดยใช้แบบจำลองบรรยายศานี้ ในบริเวณที่ใกล้กับขอบของโดเมนของการคำนวณจะมีความคลาดเคลื่อนเสมอ เพราะในการคำนวณภายในโดเมนจะไม่ได้รวมผลกระทบอันเนื่องจากสิ่งแวดล้อมในบริเวณที่ติดกับโดเมนเข้าไปด้วย จึงทำให้บริเวณขอบโดเมนมีผลการคำนวณที่คลาดเคลื่อน นอกจากนั้นในแผนที่ยังแสดงตำแหน่งของสถานีวัดทั้ง 5 แห่งที่จะใช้ในการเปรียบเทียบผลการศึกษารั้งนี้ (เครื่องหมายวงสีแดงในภาพ)

รูปที่ 3.7 และ 3.8 แสดงแผนที่เคลื่อนของเดือนมกราคม ณ ระดับความสูง 50 เมตร และ 100 เมตร ตามลำดับ จากแผนที่ทั้งสองนี้แสดงให้เห็นว่าในช่วงเดือนนี้ประเทศไทยได้รับอิทธิพลของลมมรสุมตะวันออกเฉียงเหนือ ดังจะสังเกตได้จากลูกศรแสดงทิศทางลม นอกจากนั้นจะเห็นว่าพื้นที่ส่วนใหญ่ของแผนที่จะเป็นสีเทา น้ำเงิน (ความเร็ว 1 – 2 m/s) และสีม่วง (ความเร็ว 0 – 1 m/s) ซึ่งแสดงว่าโดยทั่วไปในช่วงเดือนนี้ลมค่อนข้างจะสงบ อย่างไรก็ตามจะพบบริเวณที่มีสีฟ้าอ่อน (ความเร็ว 4 – 5 m/s) จนถึงสีเขียวอ่อน (ความเร็ว 5 – 6 m/s) บนแผนที่ด้วย ซึ่งเป็นบริเวณที่มีลมแรงขึ้น โดยเฉพาะมุมขวาบนของแผนที่ซึ่งเป็นเขตของประเทศไทยเวียดนามและประเทศไทย อย่างไรก็ตามในประเทศไทยเองก็พบบริเวณที่มีลมแรงกว่าส่วนอื่นๆ ของประเทศไทย เช่น กัลต์วีโอในแนวชายแดนทางตะวันออกเฉียงเหนือของประเทศไทยติดประเทศไทยเวียดนาม และตามแนวแนวทางตะวันตก ถึงตะวันตกเฉียงใต้ของประเทศไทย ซึ่งในบริเวณดังกล่าวมีลมจะแรงกว่าบริเวณอื่นเล็กน้อย (3 – 4 m/s)



รูปที่ 3.7 แผนที่ลมเฉลี่ยของเดือนมกราคม จากการคำนวณโดยแบบจำลองบรรยายกาศสเกลปานกลาง ณ ระดับความสูง 50 เมตร จากพื้นดิน

หากเปรียบเทียบแผนที่ทั้งสองระดับจะพบว่าลักษณะโดยรวมค่อนข้างเหมือนกัน แต่แตกต่างกันบ้างในเรื่องของความเร็ว โดยที่บนแผนที่ของระดับความสูง 100 เมตรจะมีบริเวณที่ลมแรงบนแผนที่มากกว่าที่ระดับ 50 เมตรเล็กน้อย โดยเฉพาะทางด้านตะวันออกเฉียงเหนือของประเทศจะพบว่าบริเวณที่มีลมแรงมากขึ้นเมื่อเทียบกับบริเวณเดียวกันในแผนที่ระดับ 50 เมตร ส่วนทิศทางของลมของทั้งสองระดับความสูงนั้นสอดคล้องกันอย่างดี โดยพื้นที่ส่วนใหญ่ของประเทศได้รับอิทธิพลของมรสุมตะวันออกเฉียงหนึ่ง และความมีแนวลมตะวันออกเฉียงใต้พัดจากทะเลจีนใต้พัดผ่านชายฝั่งประเทศเวียดนามเข้าสู่ประเทศไทยกับพืชบ้างเล็กน้อย

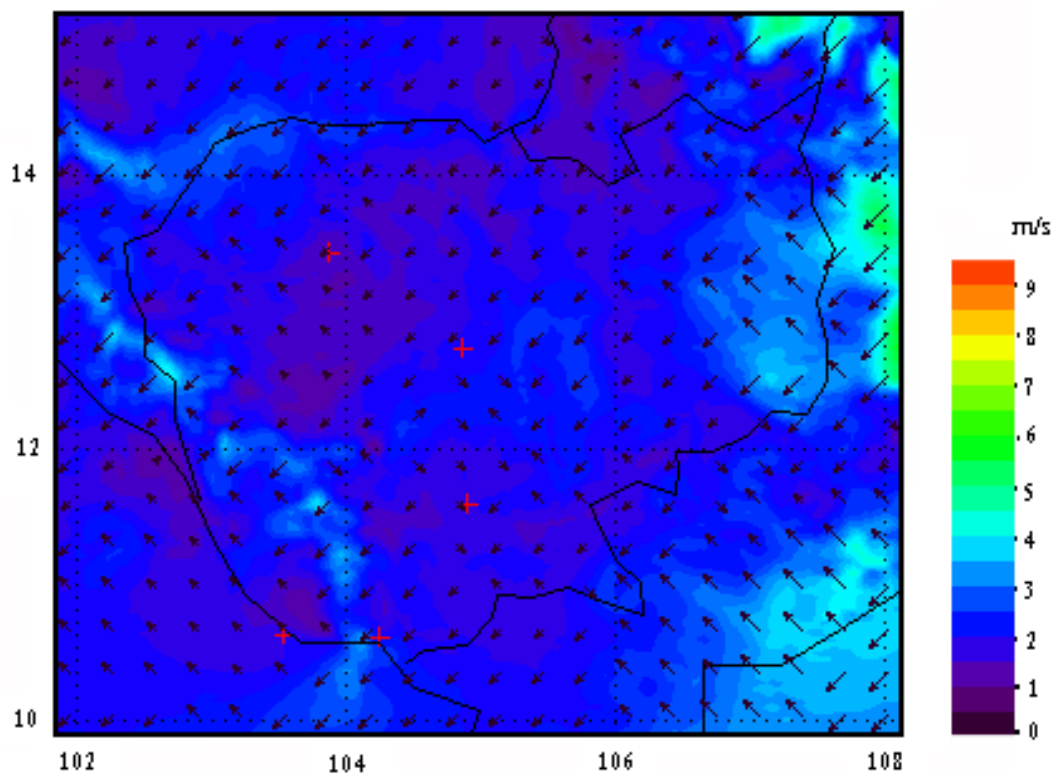


รูปที่ 3.8 แผนที่ลมเฉลี่ยของเดือนกรกฎาคมจากการคำนวณโดยแบบจำลองบรรยายกาศสเกลปานกลาง ณ ระดับความสูง 100 เมตร จากพื้นดิน

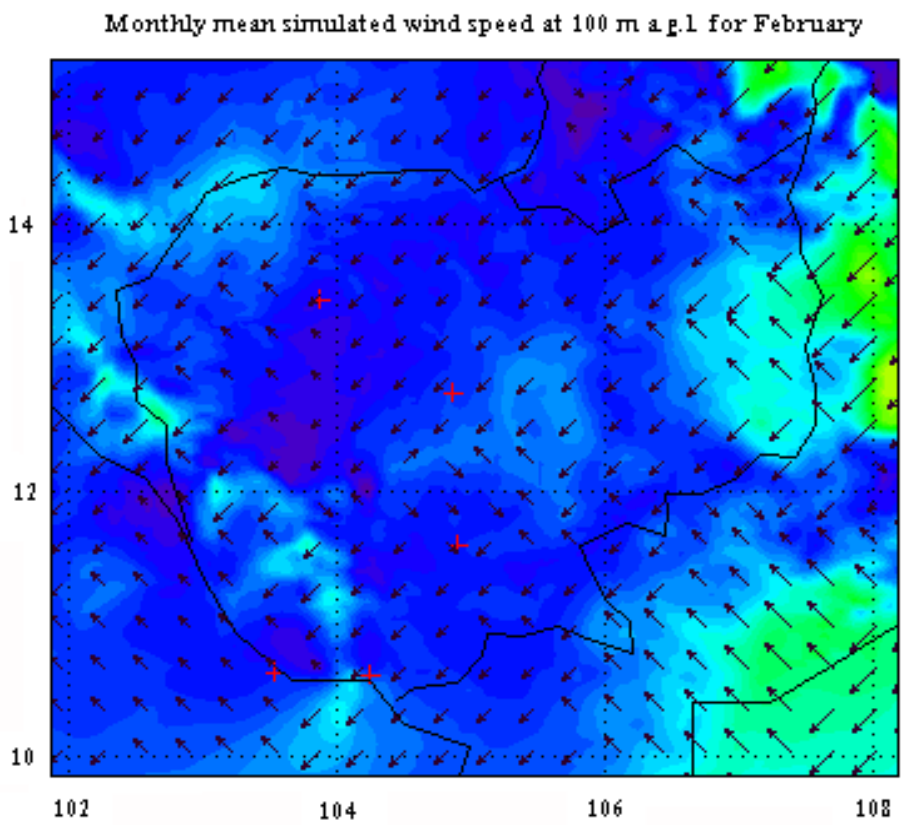
สำหรับลักษณะลมในเดือนกุมภาพันธ์ สำหรับความสูงทั้งสองระดับแสดงในรูปที่ 3.9 และรูปที่ 3.10 จากรูปทั้งสองจะเห็นว่าในช่วงเดือนกุมภาพันธ์นี้ ประเทศไทยมีพุทธิพลของลมมรสุมตะวันออกเฉียงเหนืออย่างชัดเจนดังจะเห็นได้จากทิศของลูกศรซึ่งแสดงทิศทางลมโดยส่วนใหญ่ของประเทศไทย แต่อย่างไรก็ตามยังคงมีลมตะวันออกเฉียงใต้พัดผ่านจากทะเลจีนใต้เข้าสู่ประเทศไทยด้วยซึ่งค่อนข้างใกล้เคียงกับที่ปรากฏในแผนที่ของเดือนกรกฎาคม แต่อย่างไรก็ตามพื้นที่โดยส่วนใหญ่ของประเทศไทยมีความเร็วลมค่อนข้างต่ำ ดังจะเห็นจากบนแผนที่มีบริเวณสีน้ำเงิน (ความเร็ว 2 - 3 m/s) โดยส่วนใหญ่และมีบางส่วนที่เป็นสีเทาม่วง (ความเร็ว 1 - 2 m/s) จนถึงสีม่วง (ความเร็ว 0 - 1 m/s) อย่างชัดเจน อย่างไรก็ตามในบริเวณแนวเขาทางตะวันตก และบริเวณทางตะวันออกเฉียงเหนือของประเทศไทยมีบริเวณสีฟ้าอ่อน (ความเร็ว 4 - 5 m/s) และเขียวอ่อน (ความเร็ว 5 - 6 m/s) บ้างเล็กน้อยซึ่งแสดงให้เห็นว่าในบริเวณดังกล่าวมีความเร็วลมสูงกว่าบริเวณอื่นๆ โดยสำหรับความสูง 50 เมตรเหนือพื้นดินนั้นความเร็วลมมีค่าใกล้เคียง 4 m/s สำหรับที่ระดับความสูง 100 เมตร ความเร็วลมในบริเวณดังกล่าวจึงปรากฏให้เห็นอย่างชัดเจนว่ามีความเร็วสูง

ทางด้านตะวันออกเฉียงเหนือและในบริเวณแนวเขากางตะวันตกถึงตะวันตกเฉียงใต้ของประเทศไทย กัมพูชา ซึ่งจากแผนที่ที่ระดับความสูง 100 เมตรนี้จะเห็นว่าในบริเวณดังกล่าวมีสีเขียวอ่อนอย่าง ชัดเจน ซึ่งแสดงให้เห็นว่าความเร็วลมในบริเวณนี้จะมีค่าอยู่ระหว่าง 5 - 6 m/s นอกจากนี้ที่ ระดับความสูง 100 เมตรทางตอนกลางของประเทศไทยและทางด้านชายแดนตะวันออกเฉียงเหนือของ ประเทศจีนรากฎแนวสีเทาฟ้า(ความเร็ว 3 - 4 m/s) ซึ่งแสดงว่าลมมีความเร็วเพิ่มขึ้นอีกเล็กน้อย และจะเห็นว่าบริเวณสีเทาน้ำเงิน(ความเร็ว 1 - 2 m/s) และสีม่วง(ความเร็ว 0 - 1 m/s) ที่เคยปรากฏที่ ระดับความสูง 50 เมตรนี้ไม่ปรากฏให้เห็นที่ระดับความสูง 100 เมตร แสดงว่าบริเวณนี้ความเร็ว ลมมีค่าสูงขึ้นด้วยเช่นกัน

Monthly mean simulated wind speed at 50 m a.g.l for February



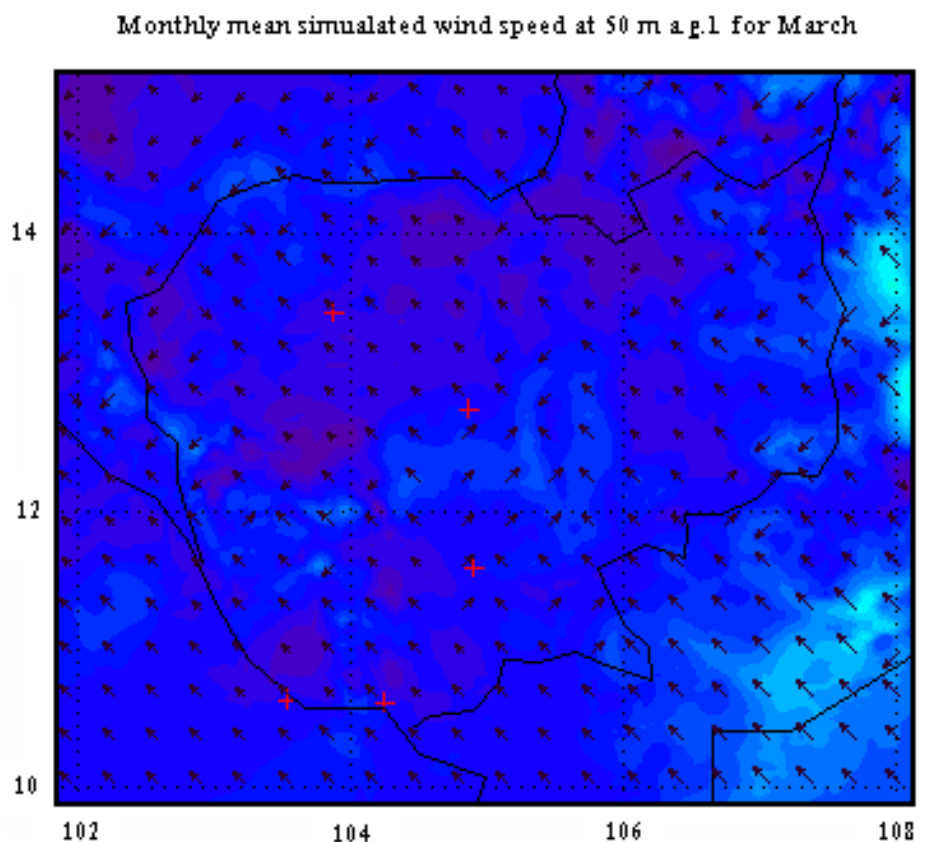
รูปที่ 3.9 แผนที่ลมเฉลี่ยของเดือน กุมภาพันธ์ จากการคำนวณ โดยแบบจำลองบรรยายกาศสเกล ปานกลาง ณ ระดับความสูง 50 เมตร จากพื้นดิน



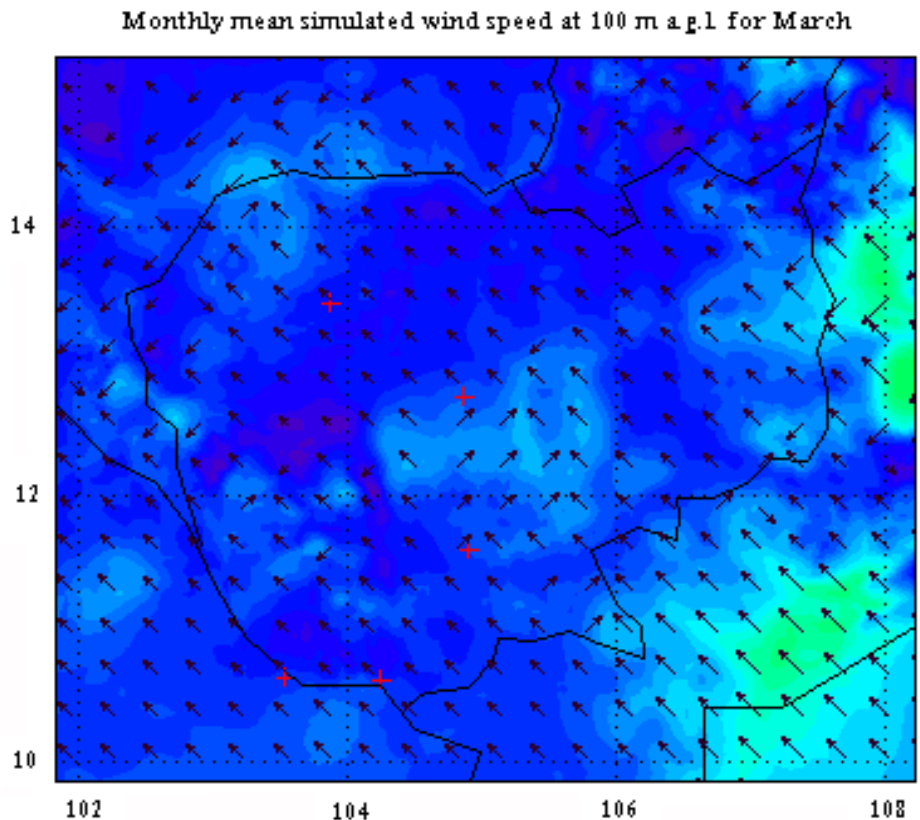
รูปที่ 3.10 แผนที่ลมเฉลี่ยของเดือนกุมภาพันธ์ จากการคำนวณโดยแบบจำลองบรรยากาศสากล
ปานกลาง ณ ระดับความสูง 100 เมตร จากพื้นดิน

สำหรับในช่วงเดือนมีนาคมประเทศกัมพูชาค่อนข้างอยู่ในช่วงลมสงบ จากแผนที่ลมเฉลี่ยณ ระดับความสูง 50 เมตร (รูปที่ 3.11) พื้นที่ส่วนใหญ่ของแผนที่เป็นสีน้ำเงิน(ความเร็ว 2 - 3 m/s) และมีบริเวณสีม่วง(ความเร็ว 0 - 1 m/s) ปรากฏบนแผนที่มากขึ้น โดยเฉพาะทางตอนเหนือของประเทศ ส่วนในบริเวณที่เคยเป็นบริเวณที่มีความเร็วลมมากกว่าบริเวณอื่นๆ ในช่วงเดือนที่ผ่านมา ยังคงแสดงให้เห็นว่ามีลมแรงกว่าบริเวณอื่นๆอยู่เล็กน้อย เช่นเดียวกันแต่ไม่ชัดเจนเหมือนกับเดือนที่ผ่านมา สำหรับที่ระดับความสูง 100 เมตร (รูปที่ 3.12) จะพบบริเวณที่มีความเร็วลม 3 – 4 m/s (ซึ่งไม่พบบนแผนที่ในระดับ 50 เมตร) กระจายตัวอยู่ทางตะวันออกเฉียงเหนือ ทางตะวันตกเฉียงเหนือ ตลอดจนตอนกลางของประเทศ ทั้งนี้ยังถือว่าลมไม่แรงมากนักเมื่อเทียบกับในบริเวณประเทศ เวียดนามซึ่งยังคงมีบริเวณสีเขียวอ่อนปรากฏให้เห็น และส่งผลให้แนวชายแดนที่ติดกับประเทศ เวียดนามทางตะวันออกเฉียงเหนือความเร็วลมมีค่าสูง (4 – 5 m/s) ในช่วงเดือนมีนาคมนี้เป็นช่วงเปลี่ยนฤดูร้อนจึงเห็นว่าทิศทางลมเริ่มเปลี่ยนจากลมมรสุมตะวันออกเฉียงเหนือเป็นลมตะวันออก

เฉียงไดนามิกขึ้น โดยลมจะพัดจากทะเลจีนใต้ผ่านประเทศไทยเข้าสู่ประเทศไทยกับพุชาร์ชีงเห็นภาพได้อย่างชัดเจนที่ระดับความสูง 100 เมตร



รูปที่ 3.11 แผนที่ลมเฉลี่ยของเดือนมีนาคม จากการคำนวณโดยแบบจำลองบรรยายกาศสเกล
ปานกลาง ณ ระดับความสูง 50 เมตร จากพื้นดิน

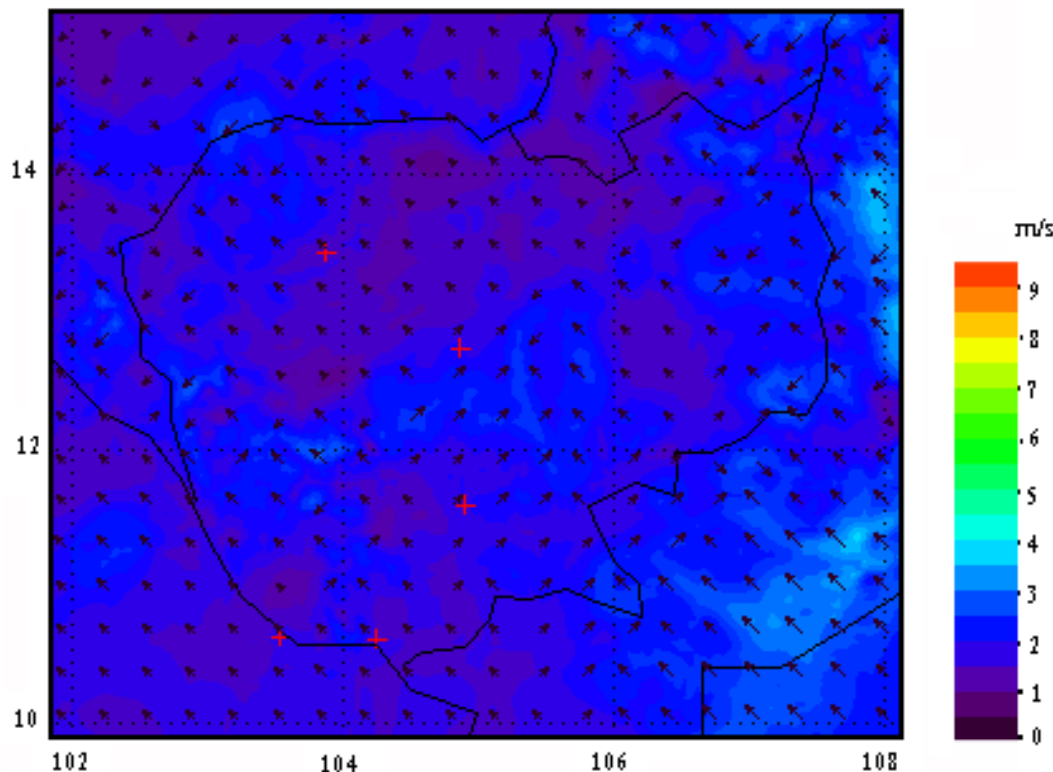


รูปที่ 3.12 แผนที่ลมเฉลี่ยของเดือนมีนาคม จากการคำนวณโดยแบบจำลองบรรยายกาศสเกล
ปานกลาง ณ ระดับความสูง 100 เมตร จากพื้นดิน

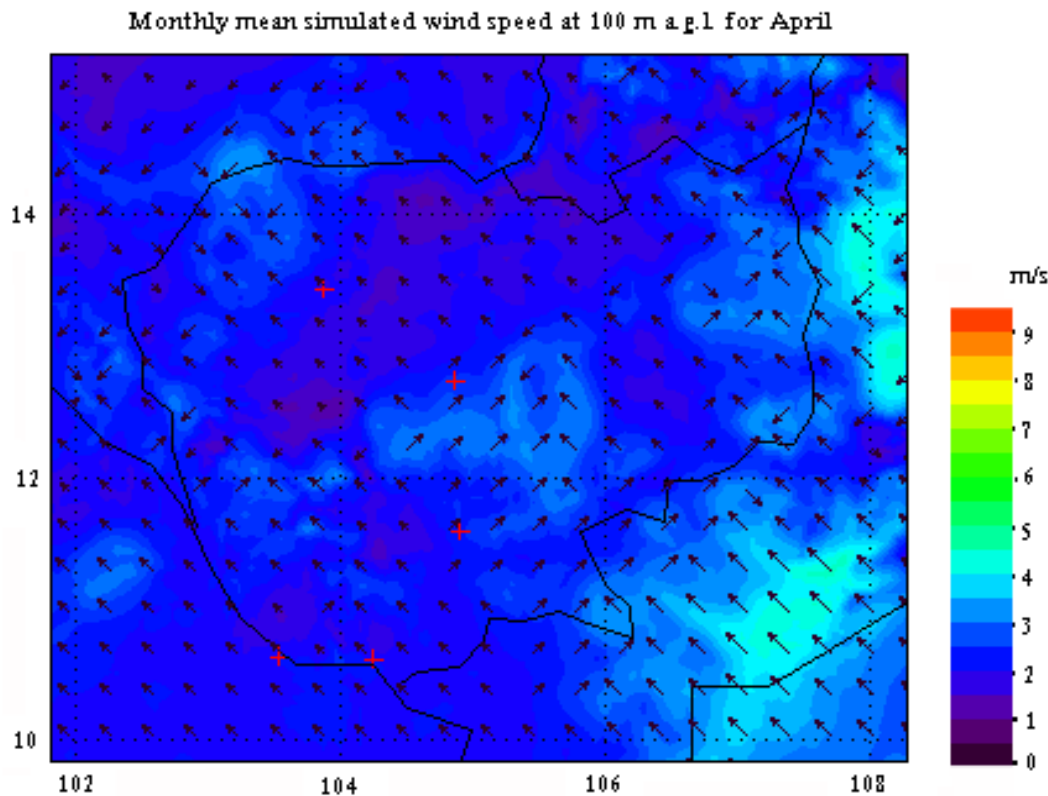
เดือนเมษายนประเทศไทยยังคงเป็นช่วงเปลี่ยนมรสุม ลมค่อนข้างสงบทั่วทุกภูมิภาค ของประเทศไทย ในรูปที่ 3.13 จะเห็นว่าบนแผนที่ ณ ระดับความสูง 50 เมตรจะปรากฏบริเวณสีม่วง (ความเร็ว 0 - 1 m/s) กระจายตัวอยู่ทั่วทั้งประเทศไทยโดยเฉพาะทางตอนเหนือของประเทศไทย ส่วนพื้นที่ส่วนใหญ่ของประเทศไทยจะเป็นสีน้ำเงิน (ความเร็ว 2 - 3 m/s) โดยในรูปนี้ไม่แสดงบริเวณที่มีความเร็วสูงกว่าบริเวณอื่นๆ เช่นเดียวกับที่ปรากฏให้เห็นในเดือนที่ผ่านมา ต่างกันที่ระดับ 100 เมตร (รูปที่ 3.14) จะพบบริเวณที่มีความเร็วลมสูงกว่ากระจายตัวทางด้านตะวันออกเฉียงเหนือ ตอนกลาง และทางตะวันตกเฉียงเหนือของประเทศไทย อย่างไรก็ตามยังคงมีค่าน้อยกว่าความเร็วลมในประเทศไทย เวียดนาม ซึ่งจะเห็นว่าในประเทศไทยเวียดนามยังแสดงบริเวณสีเขียวอ่อน (ความเร็ว 5 - 6 m/s) ให้เห็นในรูปนี้ทางตะวันออกเฉียงเหนือของประเทศไทยยังคงเป็นบริเวณที่มีความเร็วลมสูงกว่าบริเวณอื่นๆ ของประเทศไทย ส่วนแนวความเร็วสูงที่เคยปรากฏให้เห็นทางตะวันตกเฉียงใต้ของประเทศไทยนั้นไม่ปรากฏให้เห็นชัดมากนักในช่วงเดือนนี้ สำหรับพื้นที่ทางลุ่ม ยังคงเป็นลมตะวันออกเฉียงใต้พัดผ่านจากทะเลจีนใต้เข้าสู่ประเทศไทยกับพื้นที่ทางประเทศไทยเวียดนามสีน้ำเงินจากช่วงเดือนนี้เป็นช่วงเปลี่ยน

มรสุม ทิศทางลมบนแผนที่ทั้งที่ระดับความสูง 50 เมตร และ 100 เมตร ค่อนข้างเหมือนกัน แต่จะเห็นว่าในบางบริเวณของพื้นที่พบลักษณะของลมแปรปรวนด้วยเช่นเดียวกัน ดังจะเห็นได้จากทิศทางของลมเปลี่ยนแปลงทั้งนี้น่าจะสืบเนื่องจากการอยู่ในช่วงของการเปลี่ยนฤดูนั่นเอง

Monthly mean simulated wind speed at 50 m a.g.l for April



รูปที่ 3.13 แผนที่ลมเฉลี่ยของเดือนเมษายน จากการคำนวณโดยแบบจำลองบรรยายกาศสเกล
ปานกลาง ณ ระดับความสูง 50 เมตร จากพื้นดิน

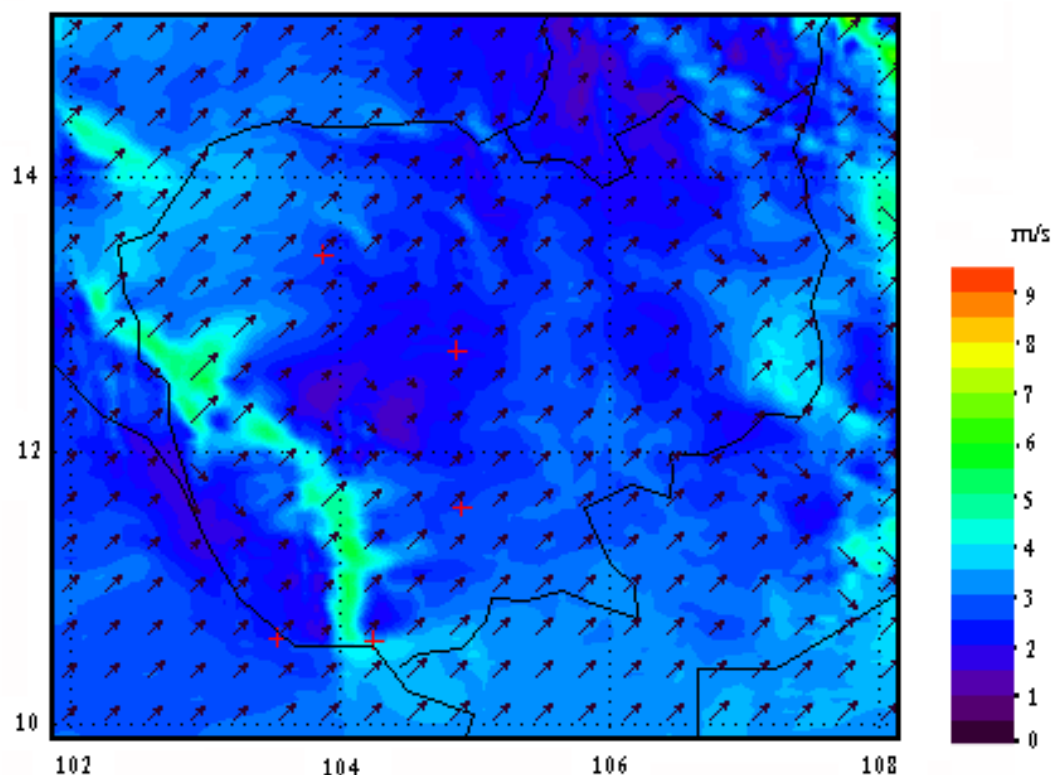


รูปที่ 3.14 แผนที่ลมเฉลี่ยของเดือนเมษายน จากการคำนวณโดยแบบจำลองบรรยายกาศสากล
ปานกลาง ณ ระดับความสูง 100 เมตร จากพื้นดิน

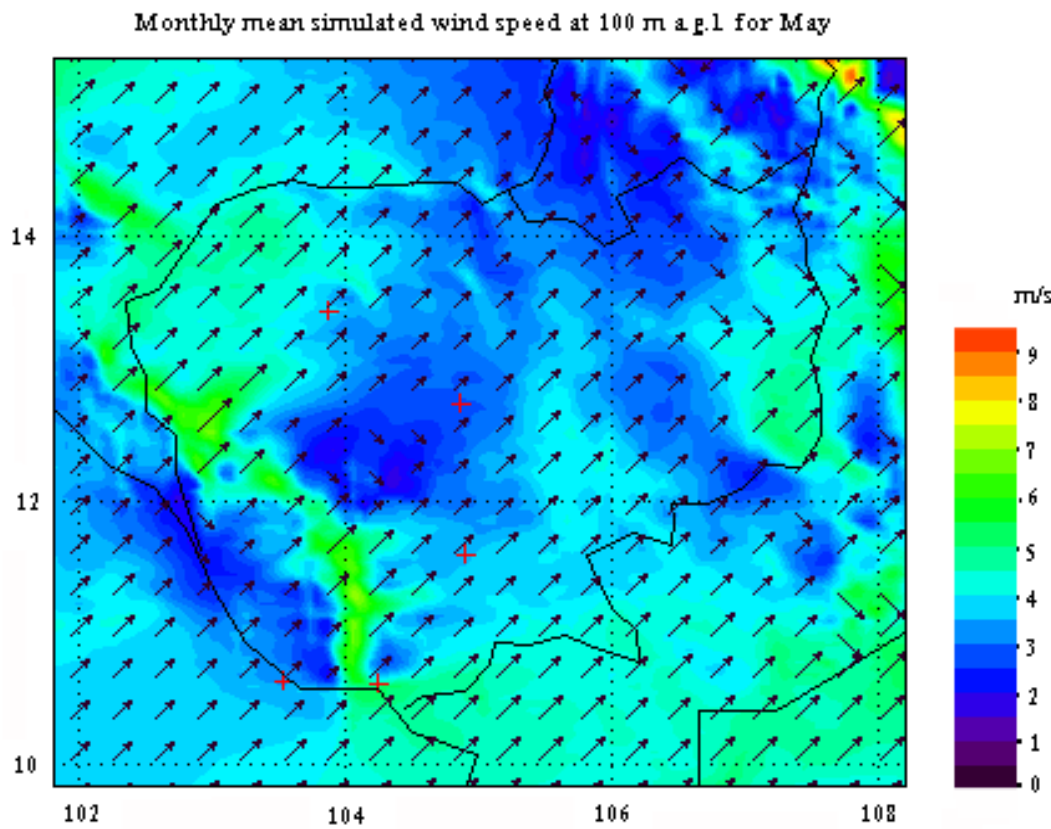
รูปที่ 3.15 และ 3.16 แสดงลักษณะของลมในช่วงเดือนพฤษภาคม ในช่วงนี้ประเทศไทยก้มพูชา จะอยู่ในช่วงของมรสุมตะวันตกเฉียงใต้ ซึ่งแสดงให้เห็นอย่างชัดเจนจากทิศของลูกศร โดยจะเห็นว่าทุกภูมิภาคของประเทศไทยทิศของลมจะเป็นแนวเดียวกันหมวด กึ่งเป็นลมตะวันตกเฉียงใต้ จากแผนที่ลมที่ระดับ 50 เมตร จะพบแนวที่มีความเร็วลมสูงเป็นแนวสีเขียวอ่อน(ความเร็ว 5 - 6 m/s)ตามแนว เข้าทางตะวันตกเฉียงใต้ของประเทศไทย ก้มพูชา ซึ่งแนวนี้ค่อนข้างชัดเจนมากเมื่อเทียบกับเดือนที่ผ่านมา ทั้งนี้แนวสีเขียวอ่อนนี้ยังพาดผ่านเข้าไปยังประเทศไทยด้วย ส่วนในบริเวณตะวันออกเฉียงเหนือ จะพบบริเวณลมแรงเช่นเดียวกันแต่ความเร็วไม่สูงเท่าทางด้านตะวันตก นอกจากนั้นทางตอนกลาง ของประเทศไทยมีความเร็วลมประมาณ 3 – 4 m/s ซึ่งสูงกว่าบริเวณทั่วทั้งประเทศไทยในช่วงเดือนที่ผ่านมา สำหรับที่ระดับความสูง 100 เมตร จะเห็นว่าอิทธิพลลมมรสุมตะวันตกเฉียงใต้จะปรากฏให้เห็นอย่างชัดเจนและจะพบว่าความเร็วลมลดลงต่อที่ประเทศค่อนข้างสูงขึ้น โดยเฉพาะทางตะวันตกของประเทศไทยจะเห็นว่ามีบริเวณสีเขียว(ความเร็ว 6 - 7 m/s) ปรากฏให้เห็นมากขึ้นในประเทศไทย ก้มพูชา และจะพบว่าแนวความเร็วลมสูงนี้จะพบทางชายแคนตอนใต้ของประเทศไทยด้วย สีนี้เนื่องจากในบริเวณประเทศไทยมีดินนามล้วนแล้วแต่มีลมค่อนข้างแรงในช่วงเดือนนี้ ทางตอนกลาง

ของประเทศกัมพูชาล้มค่อนข้างเบาเมื่อเทียบกับบริเวณอื่นๆ แต่ยังคงพบว่ามีค่าสูงกว่าเมื่อเทียบกับที่ระดับ 50 เมตร หรือเทียบกับเดือนที่ผ่านมา ในทางตะวันออกเฉียงเหนือของประเทศไทยจะพบว่า ยังคงแสดงลักษณะของบริเวณที่มีลมแรง ดังจะเห็นแนวสีเขียวอ่อน(ความเร็ว 5 - 6 m/s) ในบริเวณดังกล่าวเลยเข้าไปถึงประเทศไทยเวียดนาม ซึ่งในแนวบริเวณนี้แตกต่างอย่างชัดเจนจากที่ระดับ 50 เมตร เพราะเป็นบริเวณสีเขียวอ่อนชัดเจนมาก

Monthly mean simulated wind speed at 50 m a.g.l for May



รูปที่ 3.15 แผนที่ลมเฉลี่ย เดือนพฤษภาคม จากการคำนวณ โดยแบบจำลองบรรยายศาสตร์
ปานกลาง ณ ระดับความสูง 50 เมตร จากพื้นดิน

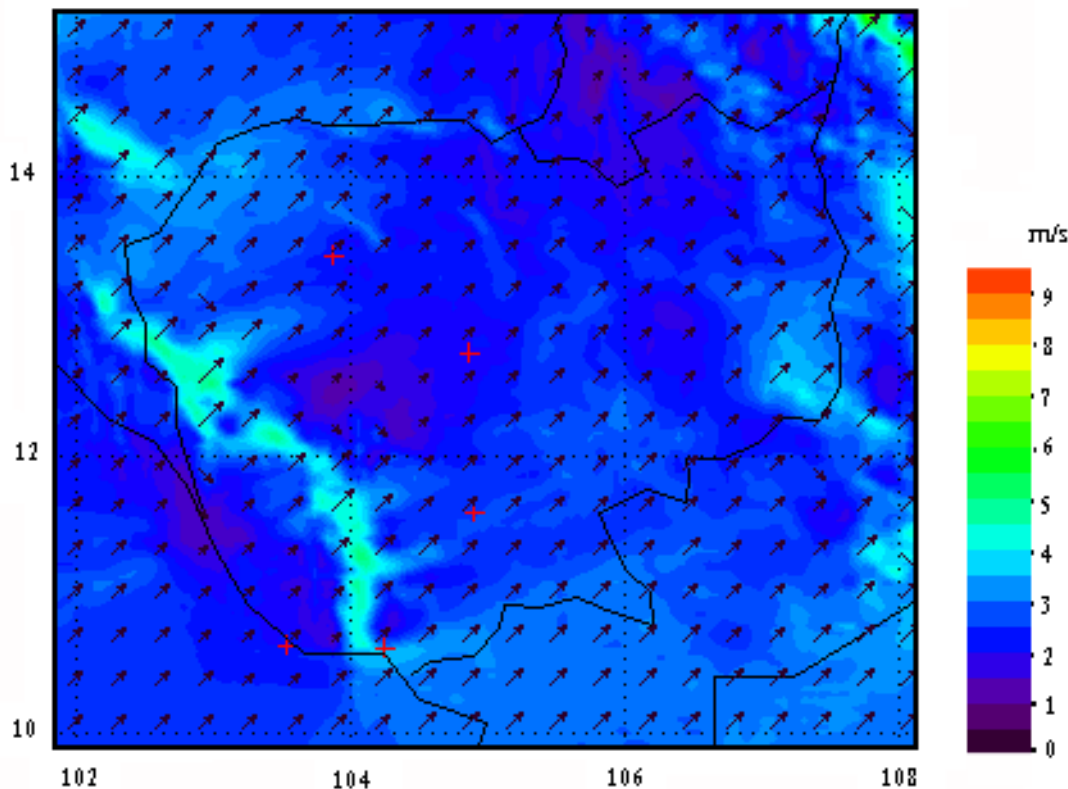


รูปที่ 3.16 แผนที่ลมเฉลี่ย เดือนพฤษภาคม จากการคำนวณ โดยแบบจำลองบรรยากาศสเกล ปานกลาง ณ ระดับความสูง 100 เมตร จากพื้นดิน

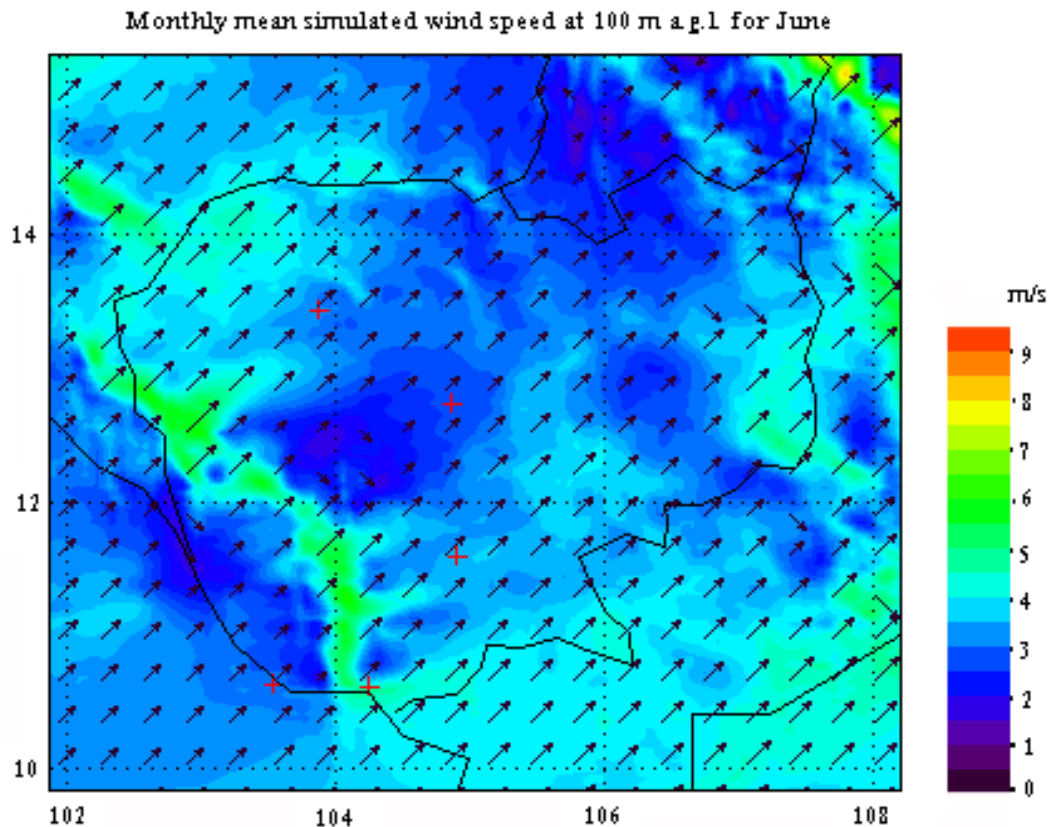
ในช่วงเดือนมิถุนายน (รูปที่ 3.17 -3.18) ยังคงแสดงอิทธิพลของลมรสุมตะวันตกเฉียงใต้ อย่างชัดเจนบนแผนที่ทั้งสองระดับความสูง ลมส่วนใหญ่จะพัดผ่านจากอ่าวไทยเข้าสู่ประเทศไทย กัมพูชาทำให้พบว่าแนวเขตทางภาคตะวันตกถึงตะวันตกเฉียงใต้แสดงลักษณะของลมแรง (5 – 6 m/s) ที่ระดับความสูง 50 เมตร แต่กรอบกลุ่มเพียงบริเวณแคบๆ เมื่อเทียบกับเดือนพฤษภาคม ส่วนในบริเวณอื่นๆ ของประเทศไทยความเร็วลมไม่แตกต่างจากเดือนพฤษภาคมมากนัก ซึ่ง ณ ระดับความสูง 50 เมตรนี้เพียงบริเวณแนวเขตที่ว่ากันว่าเป็นเส้นที่มีลมแรง ในบริเวณอื่นๆ ลุ่มค่อนข้างสงบถึงแม่จะพบแนวเสื้อหาด (ความเร็ว 3 - 4 m/s) ปรากฏให้เห็นบ้างทางตอนกลาง ทางด้านตะวันตกเฉียงเหนือ และทางตะวันออกเฉียงเหนือของประเทศไทยบ้าง แต่พื้นที่ส่วนใหญ่ในแผนที่ยังคงเป็นเส้น้ำเงิน (ความเร็ว 2 - 3 m/s) ส่วนที่ระดับความสูง 100 เมตร แนวความเร็วลมสูง (5 – 6 m/s) ยังคงปรากฏให้เห็นทางด้านตะวันตกของประเทศไทยตามแนวชายแดนไทย-กัมพูชา ส่วนแนวชายแดนทางตอนใต้ ลมยังคงแรง (4 – 5 m/s) กว่าตอนกลางของประเทศไทย แต่โดยรวมแล้วจะเห็นว่าความแรงลมจะลดลง

เมื่อเทียบกับที่ระดับเดียวกันนี้ของเดือนพฤษภาคม อย่างไรก็ตามในสองบริเวณที่สำคัญที่เคยมีลมแรง ยังคงเป็นสีฟ้าอ่อน(ความเร็ว 4 - 5 m/s) ถึงสีเขียวอ่อน(ความเร็ว 5 - 6 m/s) ซึ่งบ่งบอกถึงความแรงของลมที่มากกว่าบริเวณอื่นๆของประเทศไทยเช่นเดิม

Monthly mean simulated wind speed at 50 m a.g.l for June



รูปที่ 3.17 แผนที่ลมเฉลี่ยของเดือน มิถุนายน จากการคำนวณโดยแบบจำลองบรรยากาศสเกลปานกลาง ณ ระดับความสูง 50 เมตร จากพื้นดิน

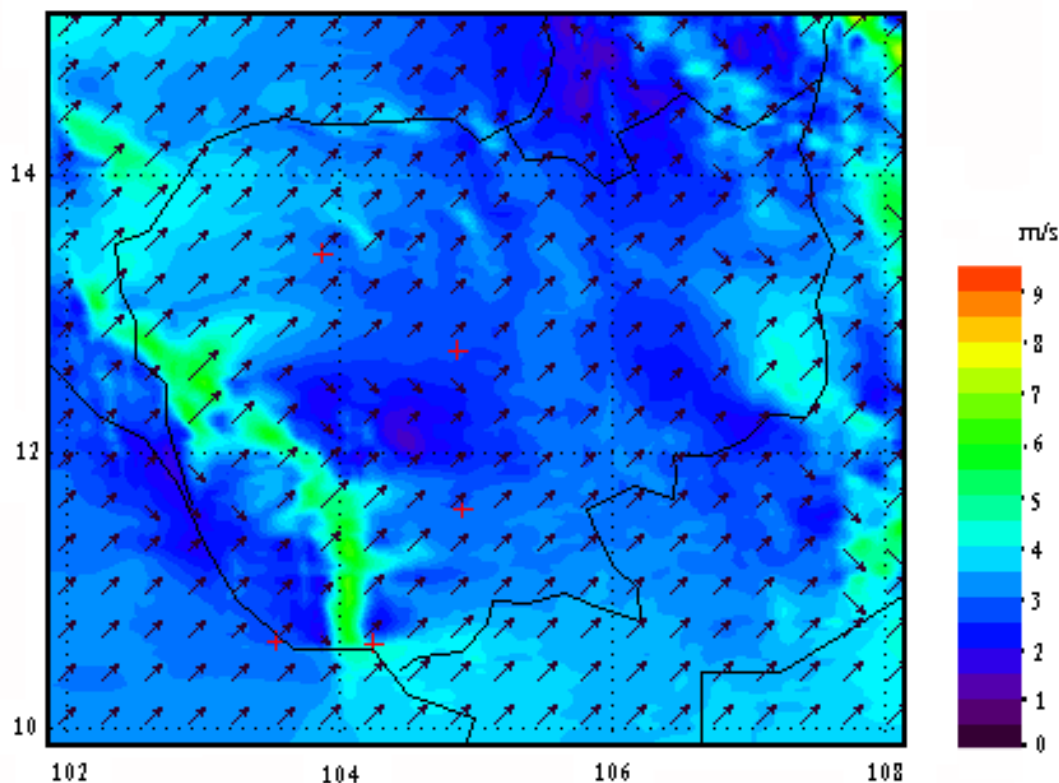


รูปที่ 3.18 แผนที่ลมเฉลี่ยของเดือนมิถุนายน จากการคำนวณโดยแบบจำลองบรรยายกาศสเกล
ปานกลาง ณ ระดับความสูง 100 เมตร จากพื้นดิน

ในช่วงเดือนกรกฎาคม (รูปที่ 3.19 และ รูปที่ 3.20) อิทธิพลของลมมรสุมตะวันตกเฉียงใต้ ยังคงชัดเจนอยู่ โดยแนวลมที่พัดเข้าสู่ประเทศไทยก้มพุชาระพัฒนาจากอ่าวไทยทำให้ช่วงนี้ประเทศไทยมีฝนตกชุดๆทั่วทุกภูมิภาค แนวลูกศรแสดงทิศทางลมในแผนที่ทั้งสองระดับสอดคล้องกันเป็นอย่างดี ในรูปที่ 3.19 ยังคงเห็นแนวความเร็วลมแรง ($6 - 7 \text{ m/s}$) พาดผ่านจากภาคตะวันออกเฉียงเหนือของไทยไปตามแนวเขตทางตะวันตกลงไปถึงตะวันตกเฉียงใต้ของประเทศไทย ก้มพุชาระชั่นเดียวกับเดือนที่ผ่านมา และพบว่าในบริเวณทางตะวันออกเฉียงเหนือของประเทศไทย ความเร็วลมจะมีค่า $4 - 5 \text{ m/s}$ แต่เป็นบริเวณแคบๆ นอกจากนั้นเกือบทั่งประเทศไทยจะมีแนวเส้นที่ฟานั่นหมายถึงความเร็วลมมีค่า $3 - 4 \text{ m/s}$ ซึ่งเป็นพื้นที่ส่วนใหญ่ของประเทศไทย มีเพียงพื้นที่ส่วนน้อยเท่านั้นที่เป็นเส้น้ำเงินหรือความเร็วต่ำในช่วง $2 - 3 \text{ m/s}$ ในรูปที่ 3.20 จะเห็นว่าลมเกือบทั่งประเทศไทยมีความเร็วมากขึ้นดังจะเห็นว่าพื้นที่สีฟ้าอ่อน(ความเร็ว $4 - 5 \text{ m/s}$)จะถูกแทนด้วยสีเขียวอ่อน(ความเร็ว $5 - 6 \text{ m/s}$)และขยายเกือบทั่งประเทศไทย สำหรับบริเวณแนวเขตทางด้านตะวันตกเฉียงใต้ของประเทศไทยความเร็วลมสูงแผ่ขยายกว้างขึ้นจนครอบคลุมไปถึงพื้นที่ทางชายแดนด้าน

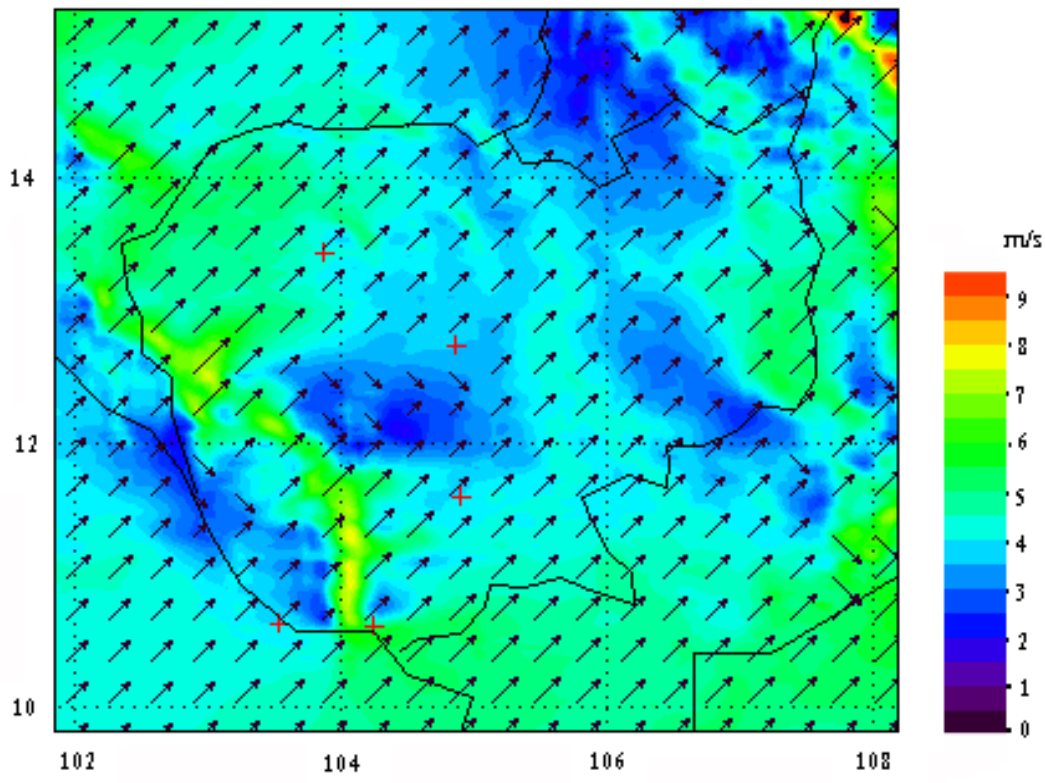
ตะวันตกเฉียงใต้ของประเทศไทย ส่วนบริเวณทางตะวันออกเฉียงเหนือของประเทศไทยที่ใช้เดียวกันที่พบว่ามีลมแรง 5 – 6 m/s ที่ระดับความสูง 100 เมตรนี้จะเห็นความแตกต่างอย่างชัดเจนกับที่ระดับ 50 เมตร แต่หากพิจารณาให้ดีจะเห็นว่าในรูปที่ 3.19 เองก็แสดงแนวความเร็วลมสูงเป็นแนวสีเหลือง (ความเร็ว 3 - 4 m/s) อยู่แล้ว ซึ่งแนวดังกล่าวนี้ในรูปที่ 3.20 จะเปลี่ยนเป็นสีฟ้าอ่อน(ความเร็ว 4 - 5 m/s) ถึงสีเขียวอ่อน(ความเร็ว 5 - 6 m/s) ซึ่งแสดงให้เห็นอย่างชัดเจนว่าเมื่อความสูงเพิ่มขึ้นลมจะแรงขึ้น

Monthly mean simulated wind speed at 50 m a.g.l for July



รูปที่ 3.19 แผนที่ลมเฉลี่ยของเดือนกรกฎาคม จากการคำนวณโดยแบบจำลองบรรยายกาศสเกล
ปานกลาง ณ ระดับความสูง 50 เมตร จากพื้นดิน

Monthly mean simulated wind speed at 100 m a.g.l for July

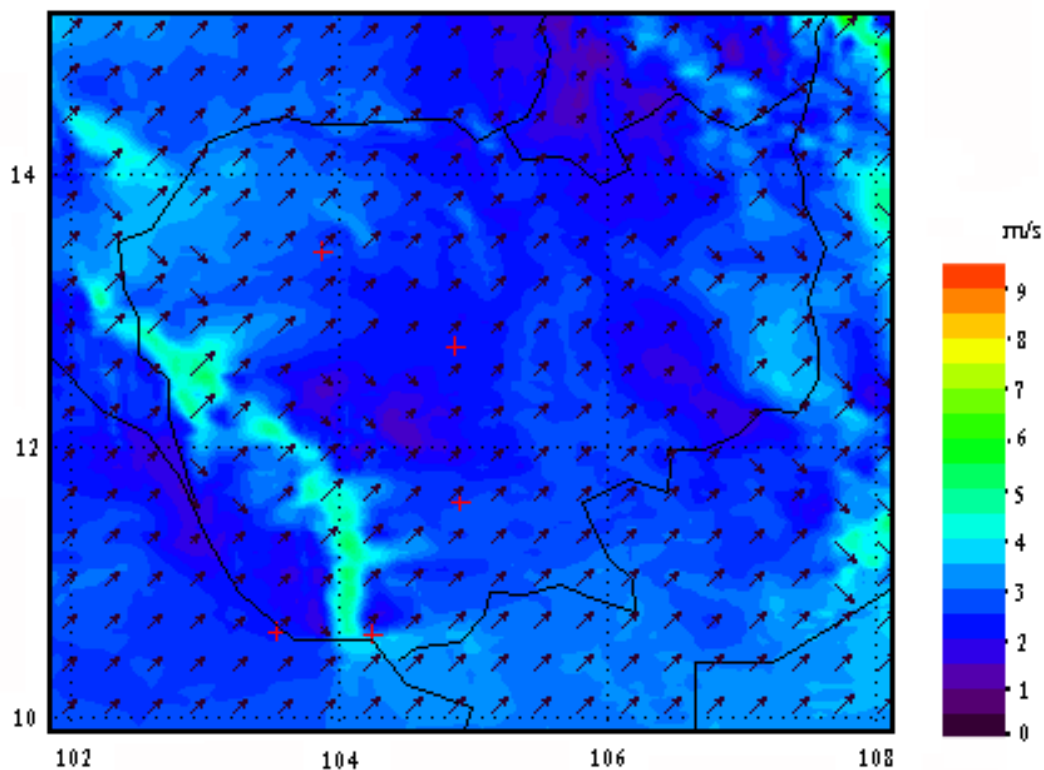


รูปที่ 3.20 แผนที่ลมเฉลี่ยของเดือนกรกฎาคม จากการคำนวณโดยแบบจำลองบรรยายกาศสเกล
ปานกลาง ณ ระดับความสูง 100 เมตร จากพื้นดิน

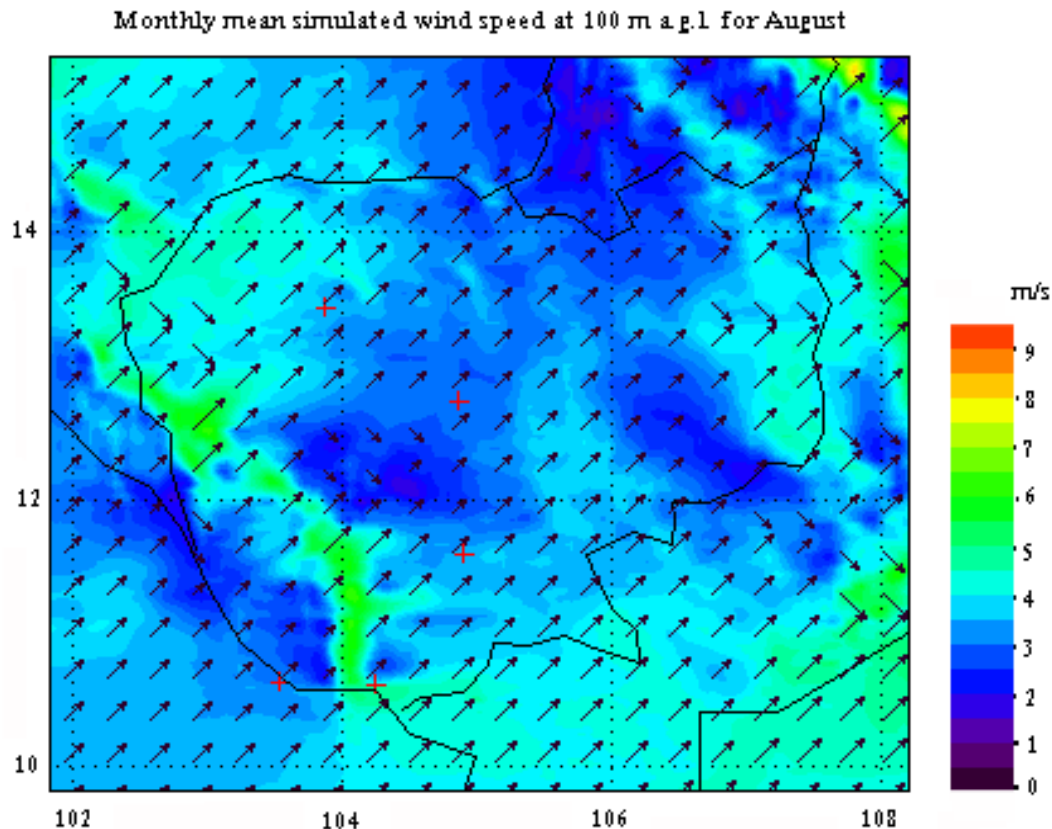
ในเดือนสิงหาคมอิทธิพลของลมมรสุมตะวันตกเฉียงใต้ยังคงชัดเจน ลมส่วนใหญ่พัดผ่านจากอ่าวไทยเข้าสู่พื้นที่ของประเทศไทยกัมพูชา ถึงแม้ว่าลมจะค่อนข้างอ่อนตัวลง ในรูปที่ 3.21 แนวความเร็วลมแรงที่สุดยังคงเป็นบริเวณแนวทางภาคตะวันตกึงตะวันตกเฉียงใต้ของประเทศไทย ซึ่งจะพบเป็นแนวเส้นเรียวยาวอ่อนบนแผนที่ โดยในบริเวณดังกล่าวมีความเร็วลมมีค่าประมาณ $5 - 6 \text{ m/s}$ ส่วนในบริเวณอื่นๆ ของประเทศไทยจะเห็นว่าความเร็วลมมีค่าไม่สูงมากนัก โดยยังคงมองเห็นแนวเส้นทางฟ้า (ความเร็ว $3 - 4 \text{ m/s}$) พาดผ่านบริเวณสีน้ำเงิน (ความเร็ว $2 - 3 \text{ m/s}$) ทั่วทั้งประเทศ แต่เมื่อเพิ่มระดับความสูงเป็น 100 เมตร (รูปที่ 3.22) จะเห็นว่าแนวลมแรงยังคงพาดผ่านจากทางภาคตะวันออกเฉียงเหนือของไทยไปตามแนวชายแดนทางตะวันตกเฉียงเหนือของกัมพูชาและเลยลงไปทางตอนใต้ตามแนวเขาซึ่งเป็นบริเวณที่เคยมีลมแรงในช่วงที่ผ่านมา นอกจากนี้จะเห็นว่าในทางตอนใต้ของประเทศไทยกัมพูชาและทางตอนล่างของประเทศไทยเวียดนามความเร็วลมจะมีค่าประมาณ $4 - 5 \text{ m/s}$ ซึ่งสูงกว่าตอนกลางและตอนบนของประเทศไทยกัมพูชา สำหรับทางตะวันออกเฉียงเหนือของประเทศไทยยังคงเป็นบริเวณที่มีความเร็วลมสูงอยู่ เช่นเดิม ถึงแม้จะไม่สูงเท่ากับทางแนวเขาทาง

ตะวันตกเฉียงใต้ของประเทศไทยตาม นอกจากนั้นจากรูป 3.22 จะเห็นว่ามีบริเวณหนึ่งใกล้กับชายแดน กัมพูชา – ลาว – เวียดนามความเร็วลมสูงมากกว่าบริเวณอื่นๆ ($7 - 8 \text{ m/s}$) ซึ่งในบริเวณใกล้เคียงกัน นั้นก็มีความเร็วลมลดหลั่นลงไป โดยรวมแล้วที่ระดับความสูงเดียวกันลมในเดือนสิงหาคมค่อนข้าง อ่อนแรงลงจากเดือนที่ผ่านมาแต่ยังแสดงลักษณะลมรุสมะหัสตาตุนตะวันตกเฉียงใต้อ่อนแรงลง ขณะเดียวกันบริเวณที่มีความเร็วลมสูงกว่าบริเวณอื่นยังคงอยู่ที่แนวเข้าทางตะวันตกเฉียงใต้และบริเวณทาง ตะวันออกเฉียงเหนือของประเทศไทย

Monthly mean simulated wind speed at 50 m a.g.l for August



รูปที่ 3.21 แผนที่ลมเฉลี่ยของเดือน สิงหาคม จากการคำนวณโดยแบบจำลองบรรยายกาศสเกล ปานกลาง ณ ระดับความสูง 50 เมตร จากพื้นดิน

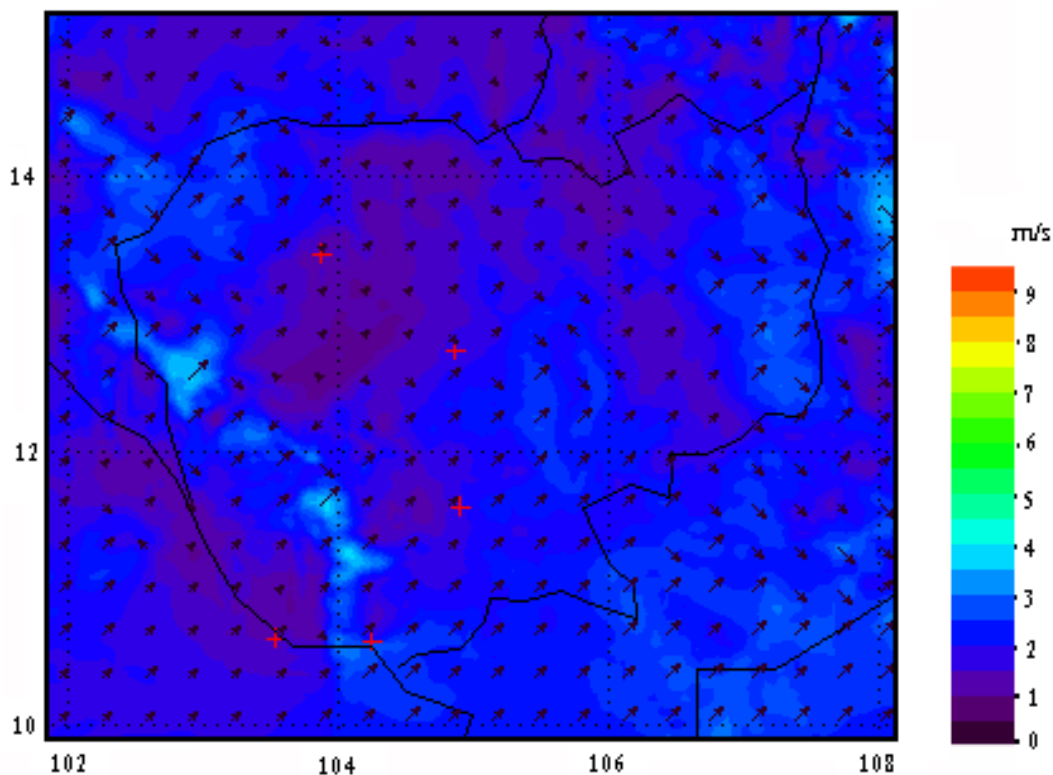


รูปที่ 3.22 แผนที่ลมเฉลี่ยของเดือนสิงหาคม จากการคำนวณโดยแบบจำลองบรรยากาศสเกล
ตอนกลาง ณ ระดับความสูง 100 เมตร จากพื้นดิน

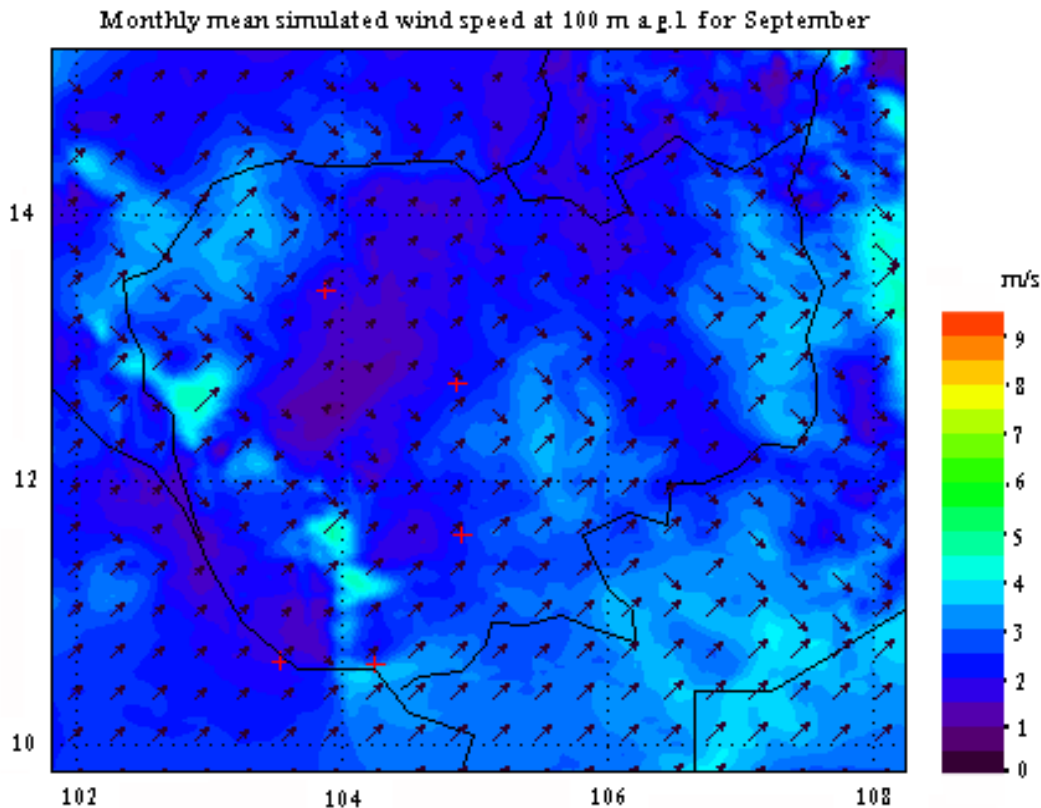
ในเดือนกันยายนนี้ลมค่อนข้างแปรปรวนดังจะเห็น ได้จากทิศของลูกศรที่ค่อนข้างกระฉัดกระเจียด แต่ยังคงเห็นแนวลมมรดุ่มตะวันตกเฉียงใต้พัดจากอ่าวไทยเข้าสู่ประเทศไทยอยู่บ้าง ในรูปที่ 3.23 จะพบบริเวณที่มีบริเวณลมต่ำที่เป็นสีม่วง(ความเร็ว 0 - 1 m/s) ปรากฏชัดขึ้นทางตอนกลางและตอนบนของประเทศ และพื้นที่โดยรวมของประเทศทั้งหมดเป็นสีน้ำเงิน(ความเร็ว 2 - 3 m/s) ซึ่งหมายถึงความเร็วลมค่อนข้างน้อย แต่อย่างไรก็ตามยังคงมีบางบริเวณที่มีความเร็วลมมากกว่าบริเวณอื่นๆ ปรากฏให้เห็น คือบริเวณแนวเขาทางตะวันตกของประเทศซึ่งในบริเวณดังกล่าวนี้จะมีสีฟ้าอ่อนซึ่งเป็นช่วงที่มีความเร็วลมประมาณ 4 - 5 m/s ส่วนทางตะวันออกเฉียงเหนือของประเทศความเร็วลมไม่สูงมากนักแต่ยังคงเห็นแนวลมแรงกว่าบริเวณข้างเคียง กล่าวคือเป็นพื้นที่สีเทาฟ้า(ความเร็ว 3 - 4 m/s) โดยที่บริเวณโดยรอบเป็นสีน้ำเงิน(ความเร็ว 2 - 3 m/s) ส่วนในรูปที่ 3.24 ซึ่งแสดงความเร็วลมที่ระดับ 100 เมตร จะเห็นว่าในเดือนสิงหาคมนี้ ความเร็วลมลดลงอย่างมากเมื่อเทียบกับเดือนที่ผ่านมา โดยจะเห็นได้จากบริเวณสีเขียวอ่อน(ความเร็ว 5 - 6 m/s) ไม่ปรากฏให้เห็นในแผนที่เลยเมื่อเทียบกับในเดือนที่ผ่านมา แม้แต่ในบริเวณ

ของประเทศไทยที่มักจะมีความเร็วลมสูงกว่าบริเวณอื่นๆ หรือลมยังคงแรงกว่าบริเวณอื่นอย่างไรก็ตามที่ระดับความสูง 100 เมตรนี้ความเร็วลมค่อนข้างสูงกว่าที่ระดับ 50 เมตร จะเห็นว่าในรูปที่ 3.24 จะพบว่าบริเวณทางชายแดนทางตะวันตกเฉียงเหนือ ทางตอนกลางของประเทศไทยและทางตะวันออกเฉียงเหนือของประเทศไทยยังคงเป็นถีท่าไฟ (ความเร็ว 3 – 4 m/s) และในแนวเขากวาง ตะวันตกเฉียงใต้ยังคงมีบริเวณสีเขียวอ่อนปะการังให้เห็นอยู่บ้าง ซึ่งเป็นบริเวณที่มีความเร็วประมาณ 5 – 6 m/s ซึ่งสูงกว่าบริเวณอื่นอย่างชัดเจน

Monthly mean simulated wind speed at 50 m a.g.l for September



รูปที่ 3.23 แผนที่ลมเฉลี่ยของเดือน กันยายน จากการคำนวณโดยแบบจำลองบรรยายกาศสเกล ปานกลาง ณ ระดับความสูง 50 เมตร จากพื้นดิน

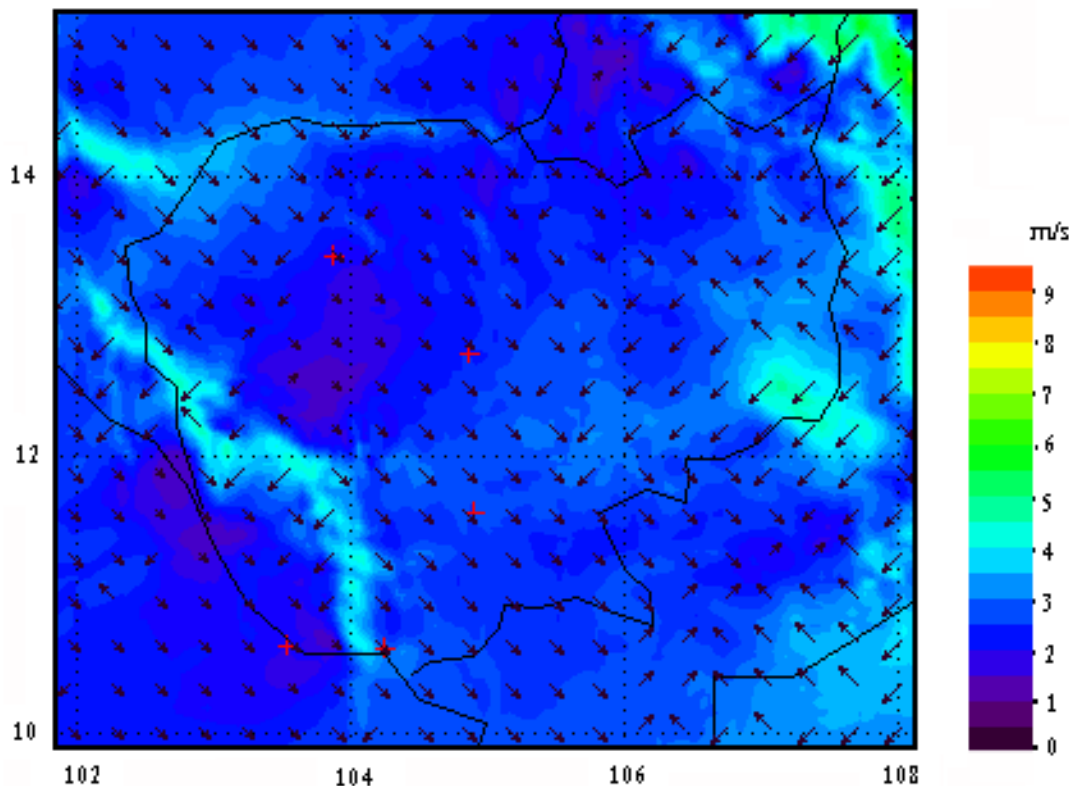


รูปที่ 3.24 แผนที่ลมเฉลี่ยของเดือนกันยายน จากการคำนวณโดยแบบจำลองบรรยายกาศสเกล
ปานกลาง ณ ระดับความสูง 100 เมตร จากพื้นดิน

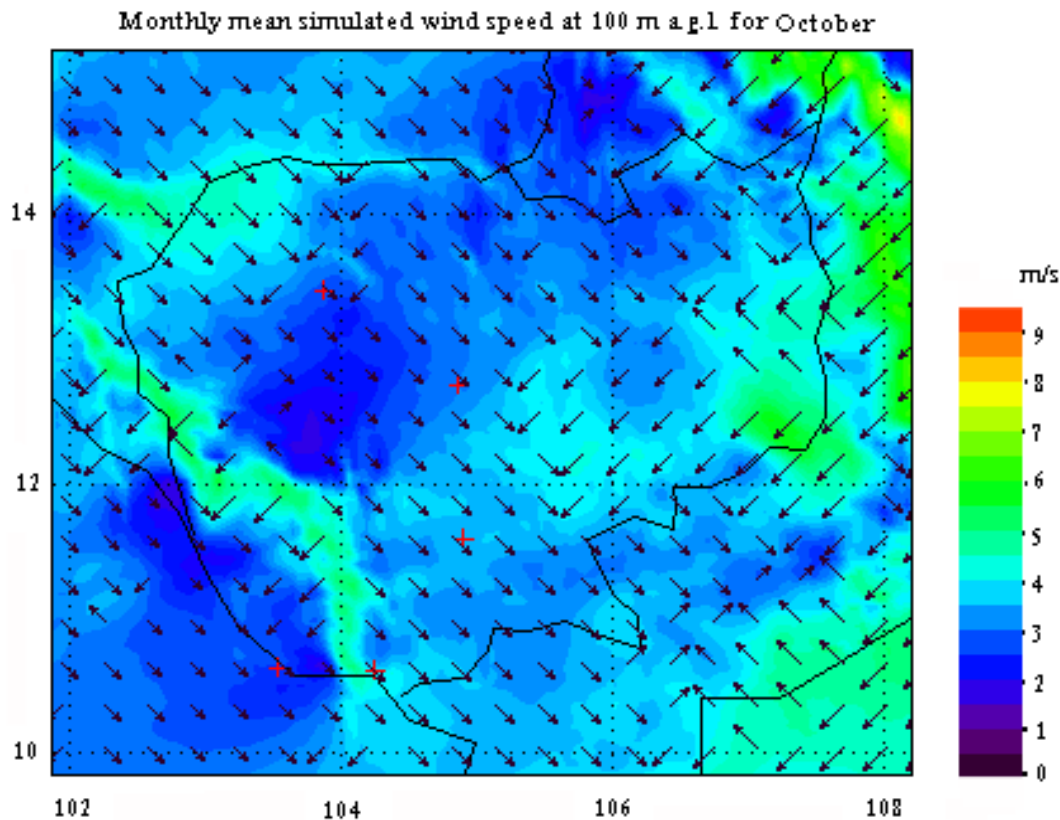
ในช่วงเดือนตุลาคมอิทธิพลของลมมรสุมตะวันออกเฉียงเหนือเริ่มปรากฏให้เห็น เนื่องจากเริ่มเปลี่ยนถูมรสุมจากตะวันตกเฉียงใต้เป็นตะวันออกเฉียงเหนือนั่นเอง แต่ทั้งนี้จะเห็นว่าทางภาคตะวันออกเฉียงเหนือของไทยและในอ่าวไทยจะเป็นลมตะวันตกเฉียงเหนือซึ่งเป็นลักษณะปกติของช่วงฤดูเปลี่ยนถูมรสุม ในรูปที่ 3.25 แนวลมแรงทางด้านตะวันตกเฉียงใต้ของประเทศไทยจะเห็นชัดเจน ถึงแม้จะไม่แรงมากนัก ($4 - 5 \text{ m/s}$) แต่ยังคงมีค่าสูงกว่าบริเวณส่วนใหญ่ของประเทศซึ่งเป็นสีน้ำเงิน(ความเร็ว $2 - 3 \text{ m/s}$) อย่างไรก็ตามยังพอเห็นแนวความแตกต่างของความเร็วทั่วทั้งประเทศอยู่บ้าง ที่สำคัญบริเวณที่มักพบว่าลมแรงทางด้านตะวันออกเฉียงเหนือของประเทศยังคงมีความเร็วสูงอยู่ คืออยู่ในช่วง $5 - 6 \text{ m/s}$ สำหรับที่ระดับความสูง 100 เมตร (รูปที่ 3.26) จะเห็นว่าอิทธิพลของลมมรสุมตะวันออกเฉียงเหนือเริ่มปรากฏให้เห็นแล้วเดียวกับที่ระดับ 50 เมตร แต่ค่อนข้างที่จะชัดเจนมากขึ้น รวมถึงความเร็วลมเองก็มีค่าสูงขึ้นอย่างเห็นได้ชัด บนแผนที่จะปรากฏบริเวณสีเขียวอ่อนมากขึ้น(ความเร็ว $2 - 3 \text{ m/s}$) ไม่ว่าจะเป็นแนวทางด้านตะวันตกที่พาดผ่านมาจากภาคตะวันออกเฉียงเหนือของประเทศไทยลงไปตามแนวเขาก้างตะวันตกเฉียงใต้ของประเทศ

กัมพูชา ซึ่งเป็นบริเวณที่มีความเร็วลมสูงกว่าบริเวณอื่นๆ ในช่วงเดือนที่ผ่านมา รวมถึงในแนวทางตะวันออกเฉียงเหนือของประเทศเองก็มีแนววستีเขียวอ่อน(ความเร็ว 5 - 6 m/s) ปรากฏอย่างชัดเจน ส่วนในทางตอนกลางของประเทศความเร็วลมจะอยู่ในช่วง 3 – 4 m/s ซึ่งถือว่าสูงขึ้นเมื่อเทียบกับที่ระดับ 50 เมตร หรือเทียบกับที่ระดับเดียวกันในเดือนที่ผ่านมา

Monthly mean simulated wind speed at 50 m a.g.l for October



รูปที่ 3.25 แผนที่ลมเฉลี่ยของเดือน ตุลาคม จากการคำนวณโดยแบบจำลองบรรยายศาสตร์เกิด¹
ปานกลาง ณ ระดับความสูง 50 เมตร จากพื้นดิน

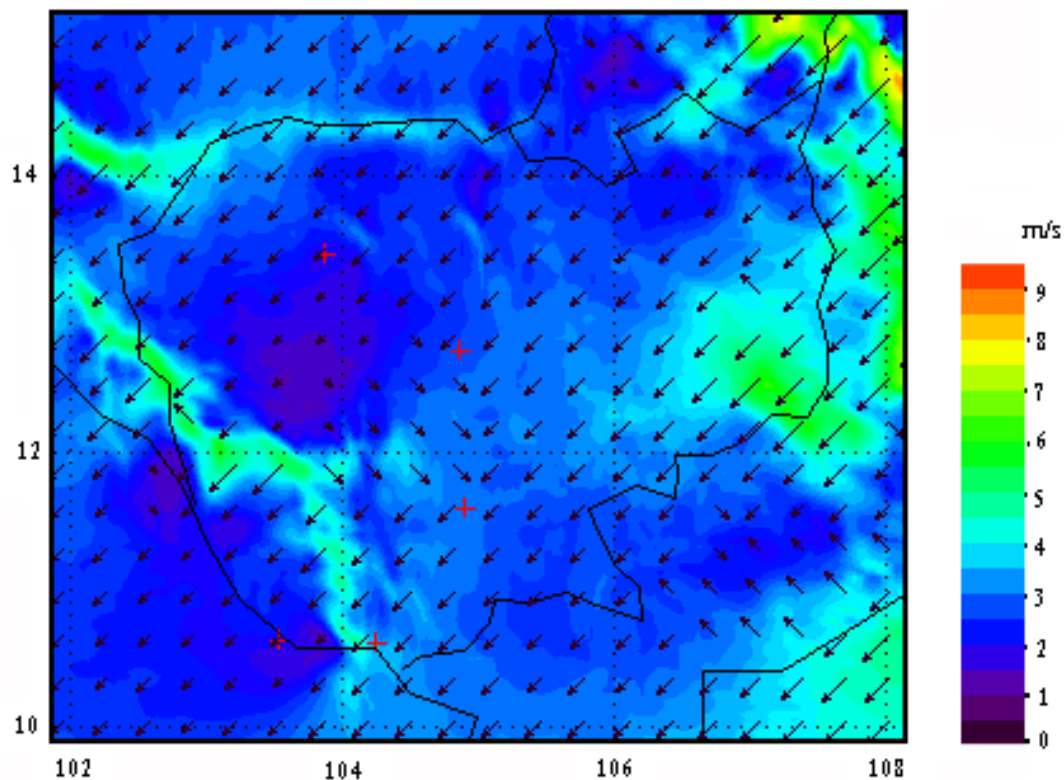


รูปที่ 3.26 แผนที่ลมเฉลี่ยของเดือนตุลาคม จากการคำนวณโดยแบบจำลองบรรยากาศสเกลปานกลาง ณ ระดับความสูง 100 เมตร จากพื้นดิน

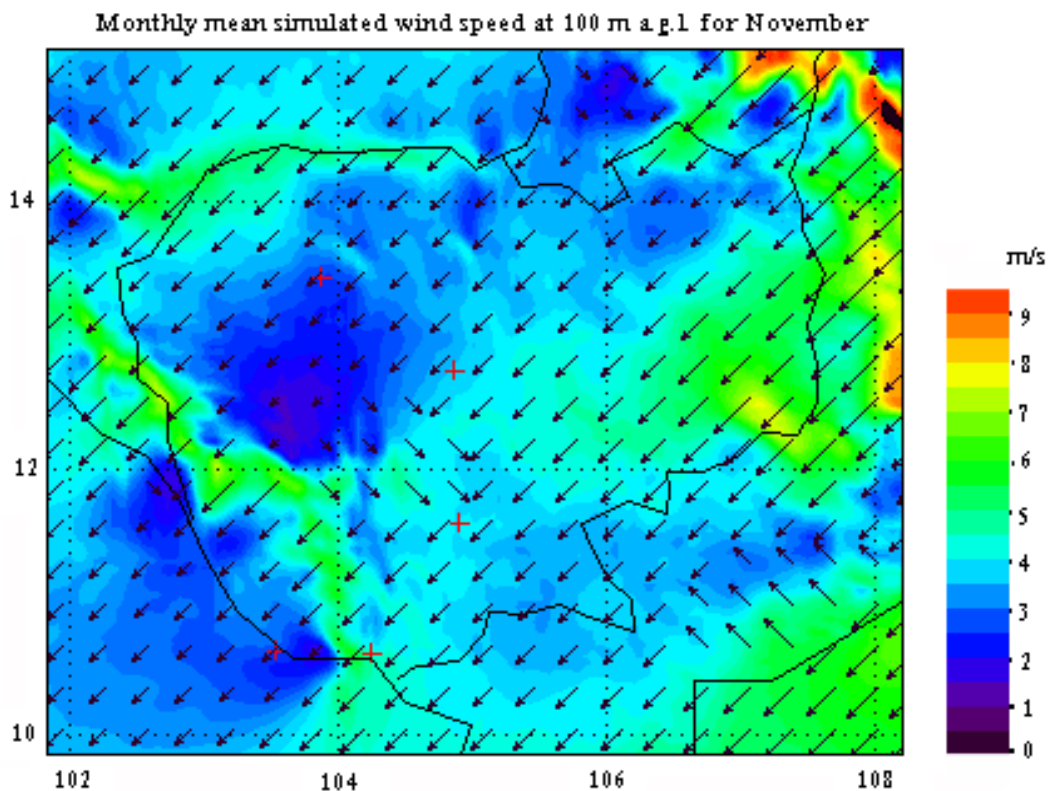
รูปที่ 3.27 และ 3.28 แสดงความเร็วลมเฉลี่ยในเดือนพฤษจิกายนที่ระดับความสูง 50 เมตร และ 100 เมตร ตามลำดับ ในช่วงเดือนพฤษจิกายนอิทธิพลของมรสุมตะวันออกเฉียงเหนือจะซัดเจนมากยิ่งขึ้น โดยจะเห็นได้จากแนวของลูกศร โดยเฉพาะอย่างยิ่งทางมุมขวาบนของแผนที่จะเห็นว่าลูกศรแสดงทิศทางลมปรากฏให้เห็นอย่างชัดเจน พื้นที่ส่วนใหญ่ของกัมพูชา มีลมแรงขึ้น ในรูปที่ 3.27 จะเห็นแนวสีเขียวอ่อน(ความเร็ว 5 - 6 m/s)พาดผ่านตามแนวขาทางตะวันตกเฉียงใต้ของประเทศแสดงว่าบริเวณดังกล่าวมีลมค่อนข้างแรง นอกจากนั้นทางด้านตะวันออกเฉียงเหนือของประเทศจะมีบริเวณที่มีความเร็วชั่นเดียวกันนี้ โดยจะพบว่าบริเวณสีเขียวอ่อน(ความเร็ว 5 - 6 m/s)ในบริเวณนี้จะแผ่กว้างขึ้นมากกว่าเดือนที่ผ่านมา และในแนวที่สูงขึ้นไปในประเทศเวียดนามและลาวจะเห็นบริเวณที่มีความเร็วลม 8 – 9 m/s เริ่มปรากฏให้เห็นบ้าง ในรูปที่ 3.28 แนวความเร็วลมแรงสีเขียวอ่อน(ความเร็ว 5 - 6 m/s)เริ่มแผ่ขยายให้เห็นมากขึ้นทั่วทั้งประเทศ ไม่ว่าจะเป็นทางชายแดนทางเหนือ แนวขาทางตะวันตกเฉียงใต้ โดยเฉพาะอย่างยิ่งทางตะวันออกเฉียงเหนือของประเทศจะเห็นว่าบริเวณที่มีความเร็วลมสูงจะแผ่คลุมมาถึงตอนกลางของประเทศด้วย นอกจากนั้น

บนแผนที่ยังพบว่าทางมุนบนขาวซึ่งอยู่ในเขตของประเทศไทยเวียดนามและลาวมีบริเวณที่ความเร็วลมสูงมาก ($> 9 \text{ m/s}$) ปรากฏให้เห็นในแผนที่ด้วย อย่างไรก็ตามด้วยอิทธิพลของมรสุมตะวันออกเฉียงเหนือที่พัดมาจากทะเลจีนใต้ผ่านประเทศไทยเข้าสู่ประเทศไทยกัมพูชานี้ส่งผลให้ลมในประเทศไทยกัมพูชา มีความเร็วสูงขึ้น

Monthly mean simulated wind speed at 50 m a.g.l for November



รูปที่ 3.27 แผนที่ลมเฉลี่ยของเดือนพฤษจิกายน จากการคำนวณโดยแบบจำลองบรรยายกาศสากล
ปานกลาง ณ ระดับความสูง 50 เมตร จากพื้นดิน

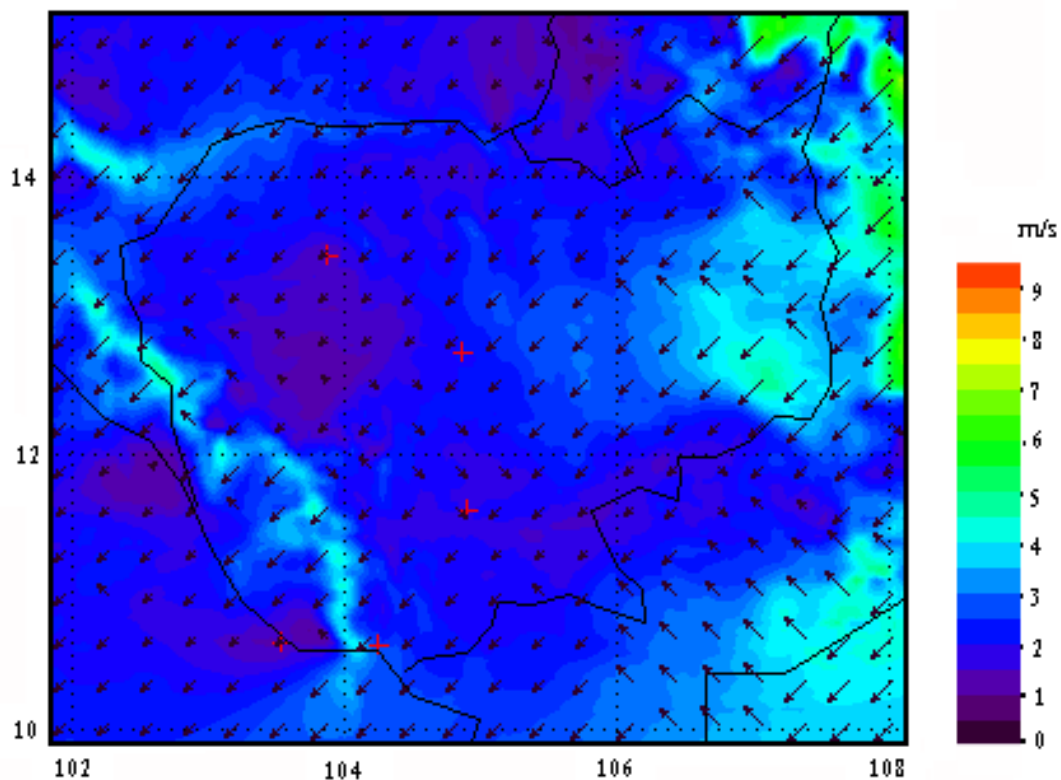


รูปที่ 3.28 แผนที่ลมเฉลี่ย เดือนพฤษภาคม จากการคำนวณ โดยแบบจำลองบรรยายกาศสเกล ปานกลาง ณ ระดับความสูง 100 เมตร จากพื้นดิน

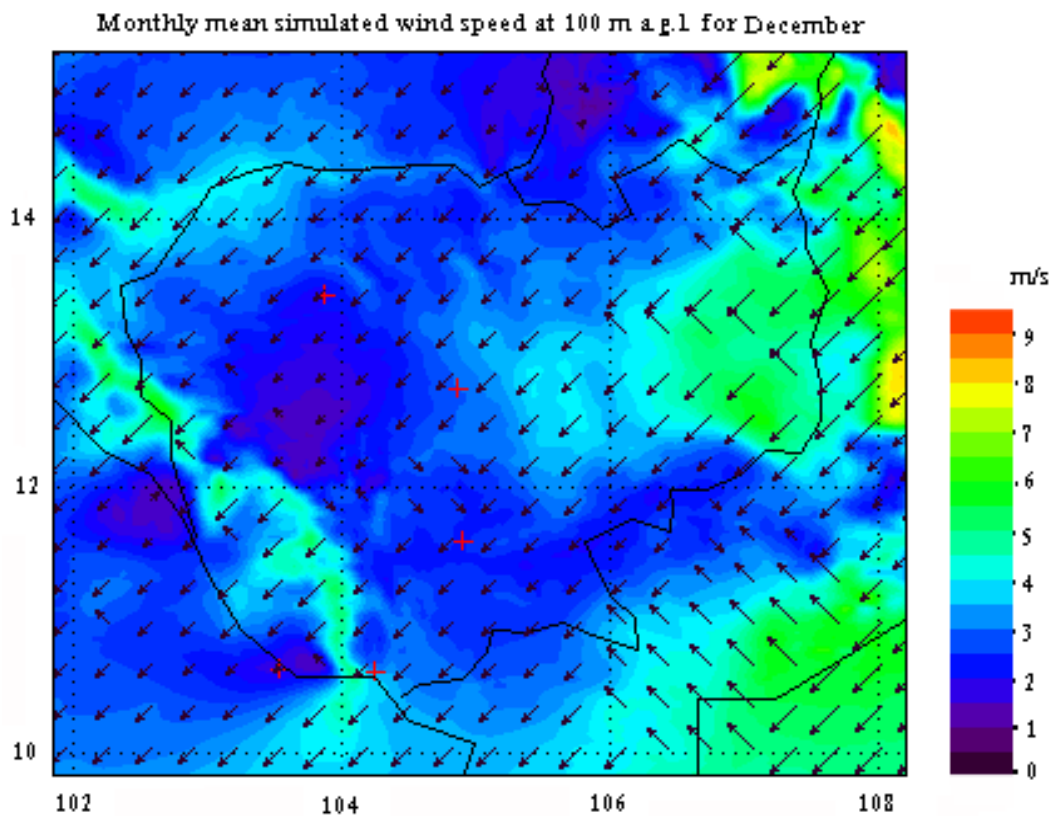
ในเดือนธันวาคมอิทธิพลร้อนติดวันออกเฉียงเหนือยังคงแผ่ปกคลุมประเทศไทย แต่ลมติดวันออกเฉียงใต้เริ่มพัดผ่านประเทศไทยเวียดนามเข้ามาบ้าง ในรูปที่ 3.29 ซึ่งแสดงแผนที่ลมเฉลี่ยของเดือนธันวาคมที่ระดับความสูง 50 เมตร จะเห็นว่าความเร็วลมทั่วทุกภูมิภาคของประเทศไทยลดลงจากเดือนที่ผ่านมา โดยแนวความเร็วลมแรงที่เคยเป็นสีเขียวอ่อน(ความเร็ว 5 - 6 m/s)พัดผ่านทางบริเวณต่างๆของประเทศไทยไม่ปรากฏให้เห็นในช่วงเดือนนี้ แสดงให้เห็นว่าความเร็วลมมีค่าลดลงโดยจะเห็นแนวสีเทาฟ้า(ความเร็ว 3 - 4 m/s)ขึ้นมาแทนที่ ส่วนบริเวณแนวเขาทางตะวันตกเฉียงใต้ของประเทศไทยยังคงเป็นสีฟ้าอ่อน(ความเร็ว 4 - 5 m/s)ถึงสีเขียวอ่อน(ความเร็ว 5 - 6 m/s)แต่ทั้งนี้จะครอบคลุมบริเวณที่แคบลง เช่นเดียวกับบริเวณทางด้านตะวันออกเฉียงเหนือของประเทศไทย บริเวณที่มีความเร็วลมสูงจะลดน้อยลงกว่าในเดือนที่ผ่านมา พื้นที่ส่วนใหญ่ของประเทศไทยในช่วงเดือนนี้ลมค่อนข้างสงบ สำหรับในระดับ 100 เมตร (รูปที่ 3.30) ถึงแม้ว่าบริเวณสีเขียวอ่อน(ความเร็ว 5 - 6 m/s)ซึ่งมีความเร็วสูงนี้จะลดน้อยลงจากเดือนที่ผ่านมา แต่จะเห็นว่าที่ระดับนี้ยังคงมีความเร็วลมสูงกว่าที่ระดับ 50 เมตร บริเวณแนวเขาทางด้านตะวันตกของประเทศไทยยังคงมีความเร็วลมประมาณ 6 - 7 m/s ทางตะวันออกเฉียงเหนือก็เช่นเดียวกันที่ยังเป็นบริเวณที่มีความเร็วลมสูงกว่าบริเวณอื่นๆของ

ประเทศไทยและยังพบว่าแผ่นดินกว้างกว่าที่ระดับ 50 เมตรด้วย นอกจากนั้นในบริเวณของประเทศไทยเวียดนามมีบริเวณสีเหลือง(ความเร็ว 8 - 9 m/s) ปรากฏขึ้นด้วย โดยรวมแล้วในเดือนธันวาคมนี้ลมเริ่มเบาลงเมื่อเทียบกับเดือนที่ผ่านมา มรสุมตะวันออกเฉียงเหนือยังคงแสดงอิทธิพลชัดเจนอยู่ นอกจานนี้สองบริเวณที่มักจะพบลมแรงยังคงปรากฏให้เห็นบนแผนที่อยู่ เช่นเดิม นั่นก็คือบริเวณแนวเขากางตะวันตกถึงตะวันตกเฉียงใต้และทางตะวันออกเฉียงเหนือของประเทศไทย

Monthly mean simulated wind speed at 50 m a.g.l for December



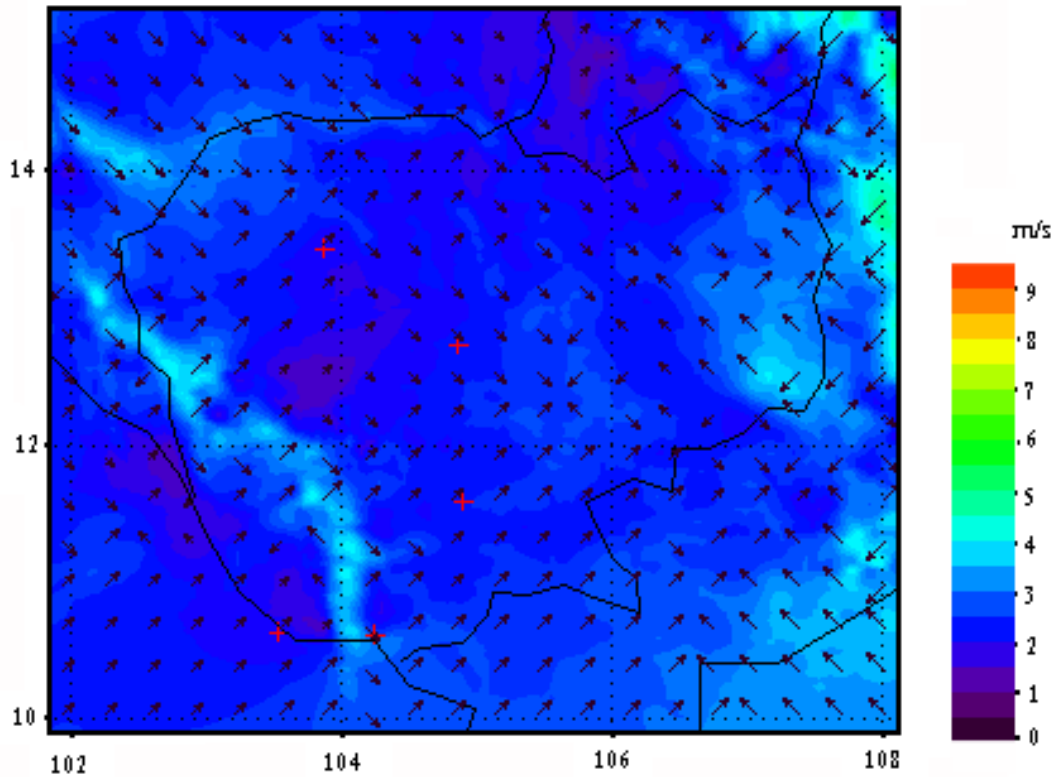
รูปที่ 3.29 แผนที่ลมเฉลี่ยของเดือน ธันวาคม จากการคำนวณโดยแบบจำลองบรรยายกาศสเกล
ปานกลาง ณ ระดับความสูง 50 เมตร จากพื้นดิน



รูปที่ 3.30 แผนที่ลมเฉลี่ยของเดือนธันวาคม จากการคำนวณโดยแบบจำลองบรรยากาศสากล
ปานกลาง ณ ระดับความสูง 100 เมตร จากพื้นดิน

จากแผนที่ลมทั้งหมดแสดงให้เห็นว่า โดยส่วนใหญ่ในประเทศไทยมีความเร็วลมมีค่า
น้อย ดังจะเห็นว่าส่วนใหญ่ของแผนที่จะเป็นเทาสีน้ำเงิน(ความเร็ว 1 - 2 m/s)จนถึงสีม่วง(ความเร็ว
0 - 1 m/s) และจะพบว่าลมค่อนข้างสงบในช่วงต้นปีโดยเฉพาะเดือนมีนาคมถึงเมษายนความเร็วลม
มีค่าต่ำทั่วทุกภูมิภาคของประเทศไทย แต่เมื่อได้รับอิทธิพลของลมมรสุมตะวันตกเฉียงใต้ลมจะพัดแรง
ขึ้น ดังจะเห็นได้จากแผนที่ของเดือน พฤษภาคมถึงสิงหาคม ซึ่งพบว่าจะมีบริเวณที่ลมมีความเร็ว
สูงขึ้น ดังจะเห็นได้จากแผนที่ในช่วงดังกล่าวจะมีบริเวณที่เป็นสีฟ้าอ่อน(ความเร็ว 4 - 5 m/s)และสี
เขียวอ่อน(ความเร็ว 5 - 6 m/s)ปรากฏให้เห็นอย่างชัดเจน ซึ่งแสดงให้เห็นว่าลมมรสุมตะวันตกเฉียง
ใต้มีอิทธิพลอย่างชัดเจน ส่วนอิทธิพลของลมมรสุมตะวันออกเฉียงเหนือจะเห็นชัดเจนในช่วง
พฤษภาคมถึงธันวาคมเท่านั้น โดยเฉพาะเดือนพฤษภาคมจะเห็นได้ชัดว่าในทาง
ตะวันออกเฉียงเหนือของประเทศไทยที่ติดกับประเทศเวียดนามลมค่อนข้างแรง ส่วนเดือนกรกฎาคมและ
กุมภาพันธ์มีลมแรงบ้างเล็กน้อย ในช่วงเดือนมีนาคมและเมษายนจะแสดงช่วงลมสงบอย่างชัดเจน
ดังจะเห็นได้จากมีบริเวณสีม่วงเกิดขึ้นในหลายพื้นที่

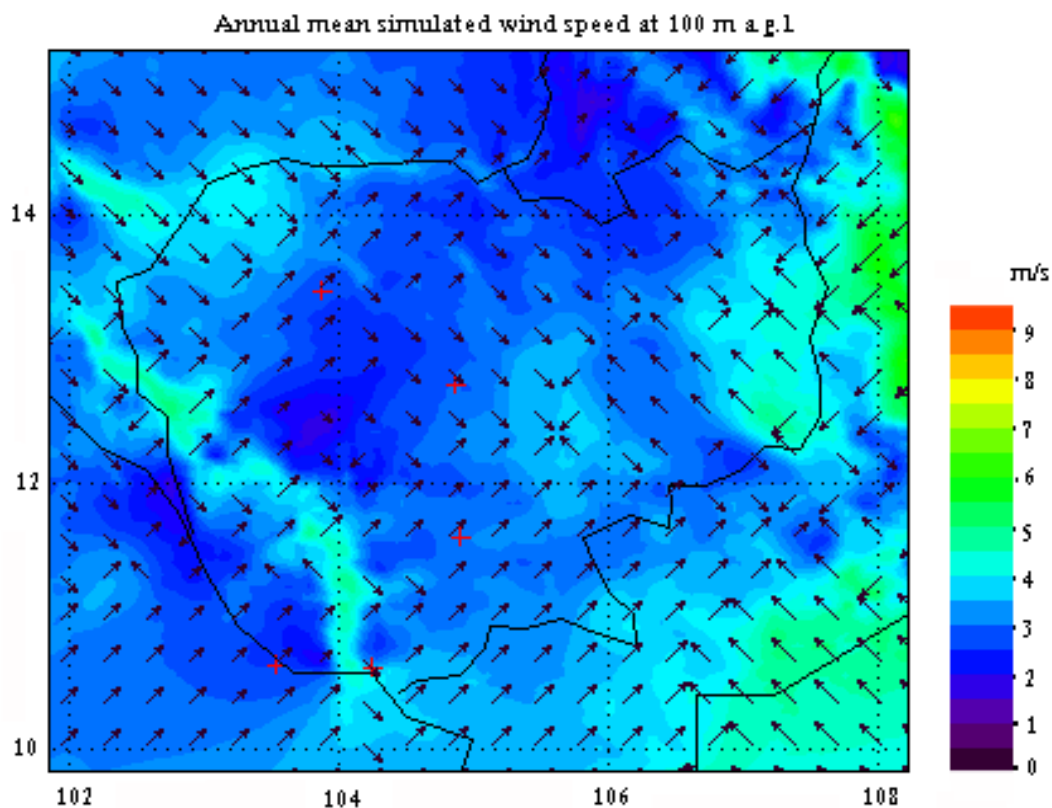
Annual mean simulated wind speed at 50 m a.g.l



รูปที่ 3.31 แผนที่ลมเฉลี่ยในช่วง 1 ปี (กันยายน 2550 – สิงหาคม 2551) จากการคำนวณโดยแบบจำลองบรรยายกาศสเกลปานกลาง ณ ระดับความสูง 50 เมตร

นอกจากการแสดงแผนที่ลมเฉลี่ยรายเดือนทั้งสองระดับ ผู้วิจัยได้นำข้อมูลจากการคำนวณโดยใช้แบบจำลองบรรยายกาศสเกลปานกลางมาแสดงในรูปแบบของแผนที่แสดงความเร็วลมเฉลี่ยในช่วง 1 ปี (กันยายน 2550 – สิงหาคม 2551) สำหรับความสูงทั้งสองระดับ จากรูปที่ 3.31 จะพบว่า ลมส่วนใหญ่ในประเทศไทยมีค่าอยู่ในช่วง 2 – 3 m/s ดังจะเห็นได้จากแผนที่ว่าส่วนใหญ่จะเป็น โถนสีนำเงิน (ความเร็ว 2 – 3 m/s) ทั่วทั้งประเทศ อย่างไรก็ตามยังมีบางบริเวณของประเทศไทยมี ความเร็วลมเฉลี่ยอยู่ประมาณ 4 – 5 m/s กीบบริเวณแนวเขาทางตะวันตกถึงตะวันตกเฉียงใต้ของ ประเทศไทยและในบริเวณด้านตะวันออกเฉียงเหนือของประเทศไทย ดังจะเห็นได้จากแผนที่ ซึ่งในบริเวณ ดังกล่าวจะเป็นสีฟ้าอ่อน (ความเร็ว 4 – 5 m/s) ไปถึงสีเขียวอ่อน (ความเร็ว 5 – 6 m/s) สำหรับทิศทาง ของลมตลอดทั้งปีของประเทศไทยจะเห็นว่าทิศทางของลมจะมีแบบทุกทิศทาง แต่พบว่าทิศทาง จากตะวันตกเฉียงใต้ค่อนข้างจะมากที่สุด นั่นเป็นการแสดงให้เห็นว่าลมมรสุมตะวันตกเฉียงใต้ ค่อนข้างจะมีอิทธิพลสูงในช่วงที่ทำการศึกษานี้

หากเปรียบเทียบกับที่ระดับความสูง 100 เมตร (รูปที่ 3.32) จะเห็นว่า บริเวณที่มีลมแรงนั้นจะซัดเจนมากยิ่งขึ้น ดังจะเห็นได้จากมีบริเวณสีเขียวและสีฟ้าซัดเจนมากขึ้น และเห็นซัดเจนว่า ในแนวค้านตะวันตกเฉียงใต้และตะวันออกเฉียงเหนือยังคงเป็นบริเวณที่มีลมแรงกว่าบริเวณอื่นๆ ของประเทศ โดยมีค่าประมาณ $4 - 5 \text{ m/s}$ นอกจากนั้นจะพบว่าในตอนกลางและตอนบนของประเทศมีบางบริเวณที่มีความเร็วลมเฉลี่ยเกินกว่า 4 m/s เพิ่มขึ้นด้วย



รูปที่ 3.32 แผนที่ลมเฉลี่ยในช่วง 1 ปี (กันยายน 2550 – สิงหาคม 2551) จากการคำนวณโดยแบบจำลองบรรยายกาศสเกลปานกลาง ณ ระดับความสูง 100 เมตร

เมื่อพิจารณาความเร็วและทิศทางลมเฉลี่ยตลอดทั้งปีทั้ง 2 ระดับจะพบว่ามีพื้นที่ซึ่งมีความเร็วลมเฉลี่ยทั้งปี $5-6 \text{ m/s}$ อยู่ในพื้นที่ทางด้านตะวันออกเฉียงเหนือของประเทศ และบริเวณแนวเขาทางด้านตะวันตกเฉียงใต้ ดังตัวอย่างแผนที่การกระจายของความเร็วลมที่ระดับ 50 เมตร จากผลที่ได้ดังกล่าวแสดงว่าสภาพอากาศโดยทั่วไปของลมในประเทศกัมพูชาได้รับอิทธิพลสำคัญจากลมมรสุมซึ่งมีการเปลี่ยนทิศทางการพัด เป็น 2 ช่วงตามลมมรสุม และนอกจากนี้ยังขึ้นกับลักษณะของพื้นผิว (topography) ของประเทศ ซึ่งช่วยเพิ่มความเร็วลมตามแนวลาดเชิงทางตะวันตกเฉียงใต้ และ

ช่วยเพิ่มความเร็วลงในแนวซ่องเขาทางตะวันออกเฉียงเหนือ ทำให้บริเวณดังกล่าวมีศักยภาพ พลังงานงานค่อนข้างสูง

3.6 การเปรียบเทียบผลการคำนวณ

3.6.1 สถานีวัดคลื่น

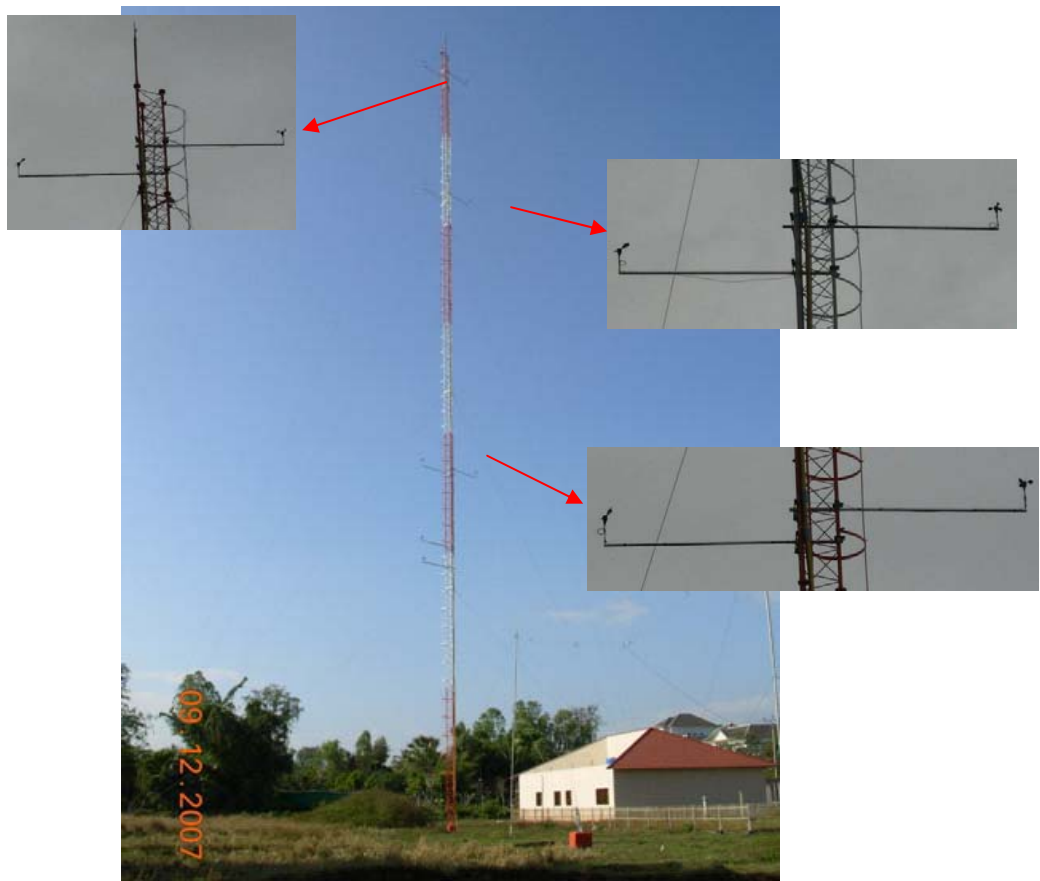
ในการศึกษารั้งนี้จะใช้ข้อมูลวัดจากสถานีวัดทั้ง 5 แห่ง ที่ทำการติดตั้งขึ้นใหม่ตามโครงการความร่วมมือด้านพลังงานทดแทนและอนุรักษ์พลังงานระหว่างไทยกับประเทศกัมพูชา ซึ่งผู้วิจัยได้ร่วมเดินทางไปติดตั้งเสาวัดคลื่นในโครงการดังกล่าวนี้ด้วย (รายละเอียดแสดงไว้ในภาคผนวก) เสาวัดคลื่นที่ติดตั้งขึ้นใหม่นี้จะติดเครื่องวัดคลื่นใน 3 ระดับ คือ 20 เมตร 40 เมตร และ 50 เมตร ใน 4 สถานี คือ ที่ สถานีเลี่ยมเรียน สถานีก้มปงชม สถานีสีหนุวิลล์ และสถานีก้มปอต ส่วนสถานีพนมเปญนั้นติดตั้งได้สูงสุดที่ 30 เมตรเพียงระดับเดียว เพราะมีบริเวณใกล้กับท่าอากาศยาน สถานีทั้ง 5 แห่งนี้ล้วนตั้งอยู่ที่สถานีอุตุนิยมวิทยา เพื่อความสะดวกในการเข้าหน้าที่ดูแลรักษาและเก็บบันทึกข้อมูล โดยสถานีทั้ง 5 แห่งนี้ติดตั้งแล้วเสร็จในช่วงเดือน สิงหาคม 2550 และเริ่มเก็บข้อมูลตั้งแต่นั้นมาจนถึงปัจจุบัน โดยเจ้าหน้าที่ของแต่ละสถานีจะจัดส่งข้อมูลวัดให้ทางห้องปฏิบัติการพลังงานแสงอาทิตย์ทุกเดือน ตำแหน่งที่ตั้งของสถานีวัดทั้ง 5 สถานี แสดงในตารางที่ 3.2 และรูปที่ 3.34



รูปที่ 3.34 แสดงตำแหน่งที่ตั้งสถานีวัดคลมใหม่ที่จัดตั้งขึ้นตามโครงการความร่วมมือด้านพลังงานทดแทนและอนุรักษ์พลังงานระหว่างไทยกับประเทศกัมพูชา

ตารางที่ 3.2 แสดงพิกัดของสถานีวัดคลมที่ใช้ในการเปรียบ

สถานี	Latitude	Longitude
พนมเปญ	11° 33.606'	104° 51.058'
สีหนวิลด์	10° 37.976'	103° 30.264'
กัมpong ស្រែ	12° 41.123'	104° 53.834'
ເສີມເຮັຍນ	13° 22.802'	103° 49.668'
កัມປອត	10° 36.167'	104° 11.184'



รูปที่ 3.35 เสาวัดลมที่ติดตั้งอุปกรณ์วัดลมบนเสาที่ระดับความสูง 20 เมตร 40 เมตร และ 50 เมตร

เสาวัดลมที่ติดตั้งตามโครงการดังกล่าวจะมีลักษณะเป็นแบบโครงข่าย โดยแขนของครุล์ม และ แอนิโนมิเตอร์ จะยื่นออกจากตัวเสา 2 เมตร และติดตั้งในระดับต่างกัน 50 เซนติเมตร วางตัวในแนวเหนือใต้เพื่อให้การรับกวนของสามิผลต่อลมที่วัดน้อยที่สุด ทั้งนี้สืบเนื่องจากประเทศกัมพูชาอยู่ในเขตมรสุมที่ลมส่วนใหญ่จะพัดในทิศตะวันออกเฉียงเหนือ และตะวันตกเฉียงใต้ เสาวัดลมมีลักษณะดังแสดงในรูปที่ 3.35

สายสัญญาณจากเครื่องวัดลมทั้งหมดจะมีการร้อยผ่านห่อพีวีซีอีกรั้งเพื่อป้องกันแสงแดด ลม และฝน โดยสายสัญญาณทั้งหมดจะเชื่อมต่อไปยังเครื่องบันทึกข้อมูล (data logger) ที่อยู่ในตัวอาคาร ตามตัวอย่างในรูปที่ 3.36 เพื่อความสะดวกของเจ้าหน้าที่ผู้ดูแลในการจัดเก็บและถ่ายโอนข้อมูลรวมถึงการตรวจเช็คสภาพการทำงานของเครื่องมือด้วยเช่นเดียวกัน ยกเว้นของสถานีพนมเปญ ที่เครื่องบันทึกข้อมูลจะอยู่ที่โคนเสาเนื่องจากเสาตัวนี้ของเสาตัวนี้ตั้งตัวอยู่ห่างจากตัวอาคารมาก นอกจากนั้นอุปกรณ์รวมถึงเครื่องบันทึกข้อมูล จะถูกเก็บในตู้เหล็กปิดกุญแจเพื่อป้องกันการสูญ

หายของเครื่องมือตลอดจนการเข้าถึงเครื่องบันทึกข้อมูลของบุคคลอื่นที่ไม่มีส่วนเกี่ยวข้องได้อีกด้วย



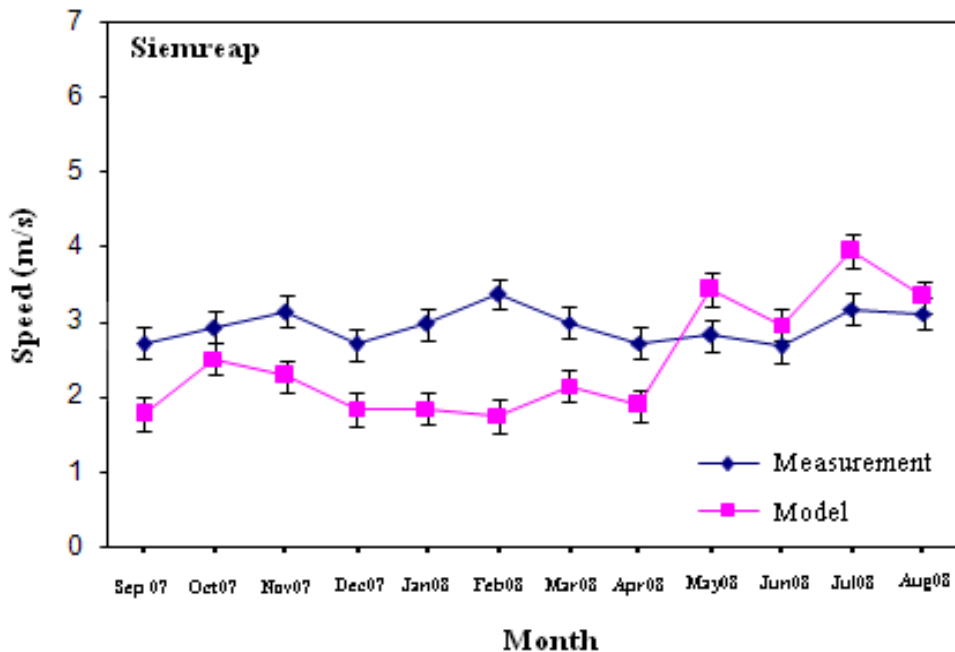
รูปที่ 3.36 ตู้เก็บเครื่องบันทึกข้อมูล และอุปกรณ์อื่นๆภายในอาคารสำนักงานของเจ้าหน้าที่ผู้ดูแล

3.6.2 การเปรียบเทียบความเร็วลมจากการวัดและจากแบบจำลอง

เพื่อทำการเปรียบเทียบความเร็วลมจากการวัดและจากแบบจำลอง ในการศึกษารังนี้จะเปรียบเทียบความเร็วลมเฉลี่ยรายเดือนของทั้งสองกรณี ณ ระดับความสูง 50 เมตรเหนือพื้นดิน สำหรับข้อมูลจากแบบจำลองนั้น ได้มาจากการใช้โปรแกรม “plot_wind_Kamm_average_L10_pro” ที่เขียนขึ้น โดยโปรแกรมนี้ออกแบบมาจะแสดงผลลัพธ์เป็นแผนที่แสดงความเร็วลมเฉลี่ยที่ระดับ 50 เมตรของทั้งประเภทแล้วยังจะแสดงผลลัพธ์ของความเร็วลมเฉลี่ย ณ ตำแหน่งพิกัดของสถานีวัดทั้ง 5 แห่งออกมานเป็นตัวเลขด้วย โดยสถานีวัดทั้งแห่ง ได้แก่ เสียมเรียน กัมpong พนมเปญ สีหนุวิลล์ และ กัมปอต ส่วนข้อมูลการวัด จะใช้ข้อมูลราย 10 นาที ที่ได้จากสถานีวัดทั้ง 5 แห่งมาทำการหาค่าเฉลี่ยรายเดือนเพื่อเปรียบเทียบ โดยกราฟแสดงการเปรียบเทียบค่าความเร็วเฉลี่ยรายเดือน ระหว่างข้อมูลที่ได้จากการวัดและการคำนวณของแต่ละสถานีวัดแสดงในรูปที่ 3.37 – 3.41

สำหรับสถานีเสียมเรียน (รูปที่ 3.37) พนฯว่าข้อมูลความเร็วลมเฉลี่ยรายเดือนที่ได้จากการวัด จะมีค่าค่อนข้างคงที่ตลอดทั้งปี โดยมีค่าใกล้เคียงกับ 3 m/s หากเปรียบเทียบกับค่าความเร็วเฉลี่ยรายเดือนที่ได้จากแบบจำลองนั้นพบว่า ค่าความเร็วจากการคำนวณจะมีลักษณะที่ไม่คงที่ จะมีค่า

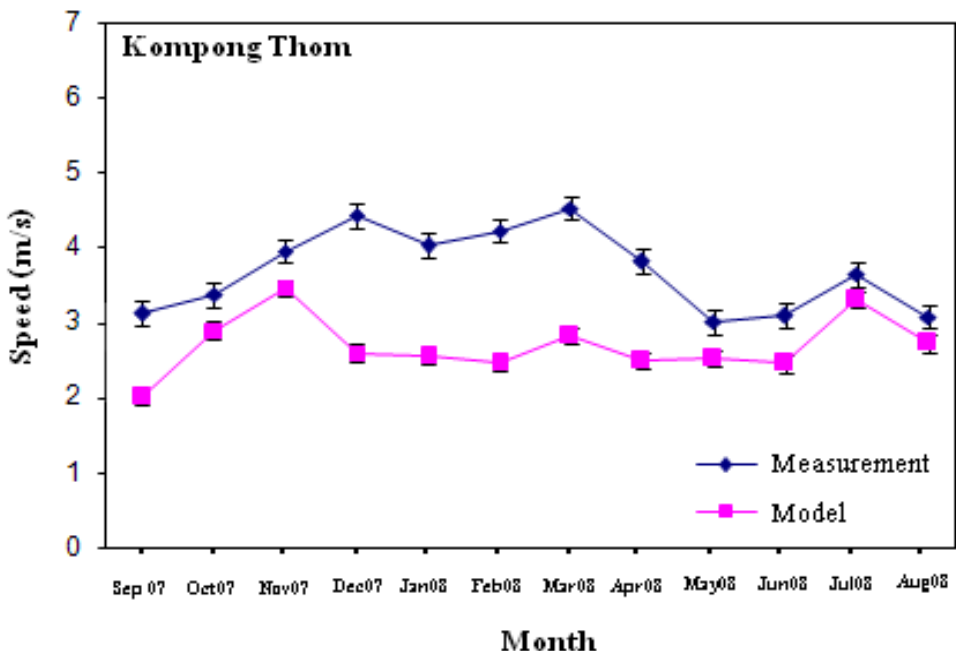
แต่ก่อต่างกันอย่างเห็นได้ชัดจากการเปลี่ยนแปลงของลมมรสุม โดยในช่วงกลางปี (มิ.ย. – ส.ค.) ซึ่งเป็นช่วงฤดูฝน ซึ่งในช่วงดังกล่าวมีความเร็วที่คำนวณได้จะมีค่าสูงกว่าในช่วงอื่น และพบว่าความเร็วลมจากแบบจำลองในช่วงนี้จะมีค่าความเร็วลมเฉลี่ยรายเดือนสูงกว่าค่าที่วัดได้จากสถานีวัด (overestimate) สำหรับช่วงต้นปี (ม.ค. – เม.ย.) และช่วงปลายปี (ก.ย. – ธ.ค.) ความเร็วที่ได้จากแบบจำลองของทั้งสองช่วงนี้มีค่าต่ำกว่าความเร็วลมเฉลี่ยรายเดือนที่ได้จากแบบจำลองมีค่าน้อยกว่าค่าจากการวัด (underestimate) แต่อย่างไรก็ตาม ค่าเฉลี่ยตลอดทั้งปีของข้อมูลที่ได้จากแบบจำลองและข้อมูลวัดมีค่าต่ำกว่าทั้งสองข้อมูลนี้



รูปที่ 3.37 แสดงการเปรียบเทียบระหว่างอัตราเร็วเฉลี่ยรายเดือนจากการคำนวณด้วยแบบจำลองบรรยายกาศสเกลปานกลาง กับการวัด ณ เมืองเสียมเรียน ที่ระดับความสูง 50 เมตร

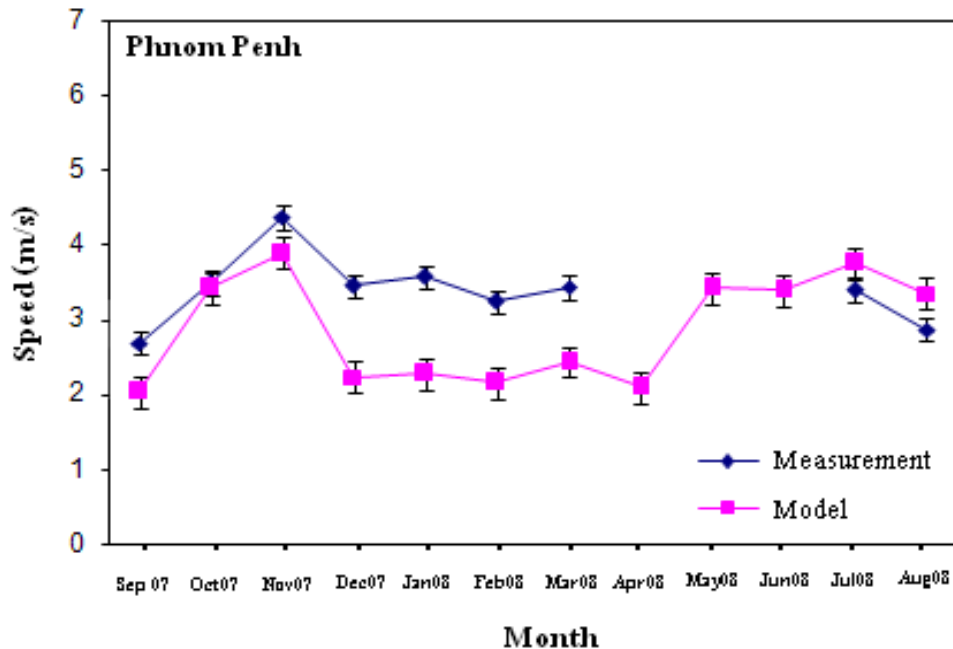
หากพิจารณาเปรียบเทียบผลของสถานีกัมpong chum (รูปที่ 3.38) พบว่าค่าที่ได้จากการคำนวณด้วยแบบจำลองมีค่าน้อยกว่าค่าที่ได้จากการวัดจริงทั้งหมด โดยค่าจากการวัดมีการแปรผันอยู่ระหว่าง 3 – 4 m/s ส่วนค่าจากการคำนวณจะอยู่ระหว่าง 2.5 – 3.5 m/s ค่าที่ได้จากการวัดจริงที่ต่ำกว่าค่าที่ได้จากการคำนวณทั้งปี แต่ค่าที่ได้จากการวัดกลับพบว่ามีค่าน้อยในช่วงกลางปีและมีค่าสูงในช่วงปลายปีถึงต้นปี แต่โดยรวมแล้วจะพบว่าในช่วงกลางปีค่าที่ได้จากการคำนวณและค่าจากการวัดจริงมีค่าต่ำกว่าทั้งสองข้อมูลนี้มาก จากข้อมูลทั้งหมดทำให้พบว่าค่าความเร็วลมเฉลี่ยตลอดทั้งปีของทั้ง

จากการวัดและการคำนวณมีค่าแตกต่างกันมากกว่าสถานีอื่นๆ และค่าที่คำนวณได้ทั้งหมดมีค่าน้อยกว่าค่าที่วัดได้จริง ทั้งนี้น่าจะเป็นเหตุมาจากตำแหน่งที่ตั้งของสถานีวัด กล่าวคือ สถานีวัดที่ก้มลงชั้นนี้ ค่อนข้างอยู่ในที่ราบโล่ง พื้นที่ส่วนใหญ่โดยรอบเป็นทุ่งนา จึงไม่มีอิทธิพลของสิ่งกีดขวางทางลมมาเข้ามาเกี่ยวข้อง



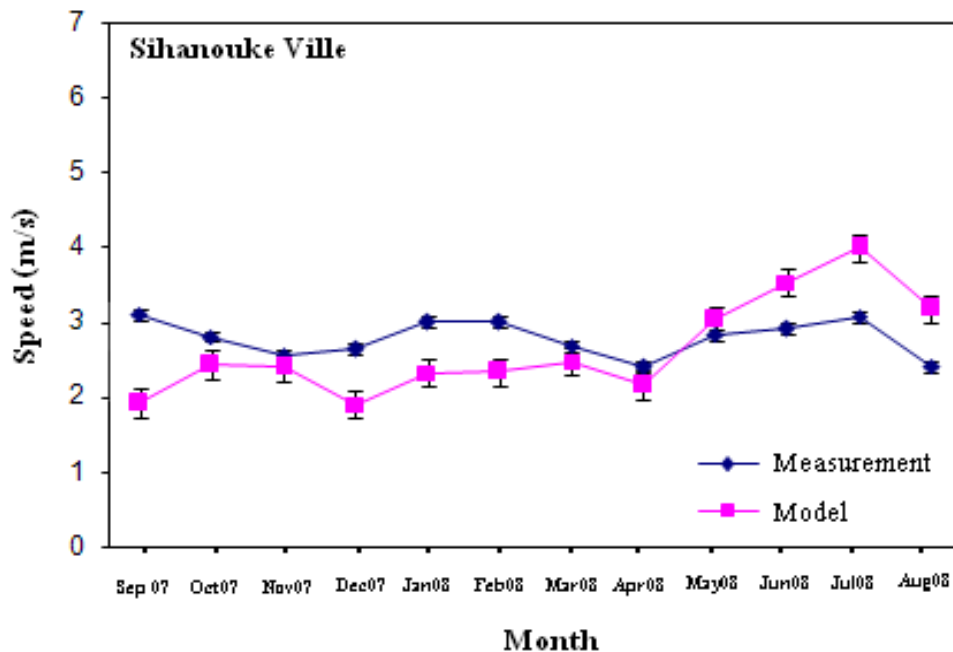
รูปที่ 3.38 แสดงการเปรียบเทียบระหว่างอัตราเร็วเฉลี่ยรายเดือนจากการคำนวณด้วยแบบจำลองบรรยายศาสตร์ปานกลาง กับการวัด ณ เมืองกัมปงชั่ม ที่ระดับความสูง 50 เมตร

สถานีพนมเปญ (รูปที่ 3.39) เป็นสถานีเดียวที่มีข้อมูลไม่ครบถ้วนทั้งปี เนื่องจากการชำรุดของเครื่องบันทึกข้อมูล จึงทำให้ขาดข้อมูลไปเกือบสามเดือน จึงเป็นการยืนยันให้เห็นว่าการติดตั้งเครื่องบันทึกข้อมูลไว้ที่โคนเสาหัวลมไม่ใช่ทางเลือกที่ดีเมื่อเทียบกับสถานีอื่นๆซึ่งเก็บไว้ในสำนักงานของผู้ดูแลเอง เพราะผู้ดูแลไม่ได้เห็นสภาพการทำงานของเครื่องมือทุกวัน เมื่อเกิดเหตุขัดข้องขึ้นเวลาอาจล่วงเลยไปเกือบเดือนและกว่าจะทำการซ่อมแซมหรือแก้ไขเสร็จอาจใช้เวลาไปอีกระยะหนึ่ง แต่จากข้อมูลที่มีอยู่ก็พอจะเห็นได้ว่า ความเร็วเฉลี่ยจากการวัดค่อนข้างที่จะใกล้เคียงกับแบบจำลองในช่วงกลางปี ถึงแม้ว่าค่าที่ได้จากการคำนวณจะสูงกว่าค่าจากการวัดเล็กน้อย ในช่วงต้นปีและปลายปีค่าที่ได้จากแบบจำลองจะน้อยกว่าค่าจากการวัดอย่างเห็นได้ชัดเจน แต่อย่างไรก็ตาม โดยภาพรวมจะพบว่ารูปแบบการเปลี่ยนแปลงของความเร็วลมเฉลี่ยมีลักษณะที่ใกล้เคียงกันถึงแม้ว่าจะมีค่าแตกต่างกันบ้าง



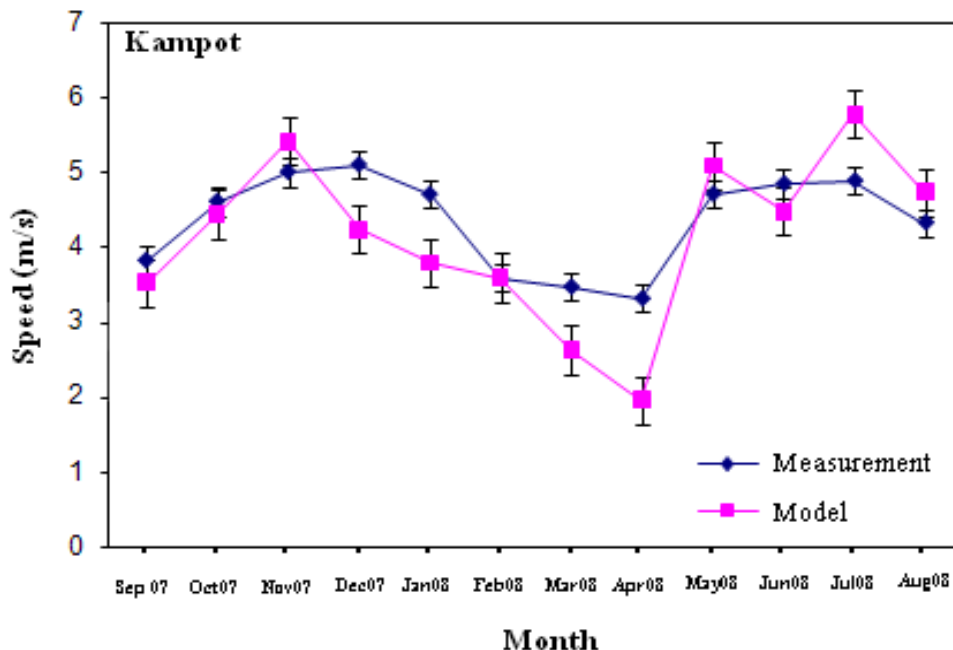
รูปที่ 3.39 แสดงการเปรียบเทียบระหว่างอัตราเร็วเฉลี่ยรายเดือนจากการคำนวณด้วยแบบจำลองบรรยายศาสตร์ปานกลาง กับการวัด ณ เมืองพนมเปญ ที่ระดับความสูง 30 เมตร

สถานีสีหนุวิลล์ (รูปที่ 3.40) เป็นอีกสถานีหนึ่งที่ค่าจากการคำนวณมากกว่าค่าที่วัดจริง ในช่วงกลางปี และน้อยกว่าในช่วงที่เหลือ แต่ความแตกต่างไม่มากเท่าไหร่ ซึ่งจะใกล้เคียงกันเมื่อเทียบกับผลของสถานีอื่นๆ โดยจะเห็นว่าค่าจากการวัดมีการแปรผันในช่วงที่แคนนา กล่าวคือ แปรผันอยู่ในช่วง $2 - 3 \text{ m/s}$ ในขณะที่ค่าจากแบบจำลองจะอยู่ระหว่าง $2 - 4 \text{ m/s}$ แต่ท้ายที่สุดแล้วค่าเฉลี่ยตลอดทั้งปีมีค่าใกล้เคียงกันมาก



รูปที่ 3.40 แสดงการเปรียบเทียบระหว่างอัตราเร็วเฉลี่ยรายเดือนจากการคำนวณด้วยแบบจำลองบรรยายศาสตร์ปานกลาง กับการวัด ณ เมืองสีหุ่ววิลล์ ที่ระดับความสูง 50 เมตร

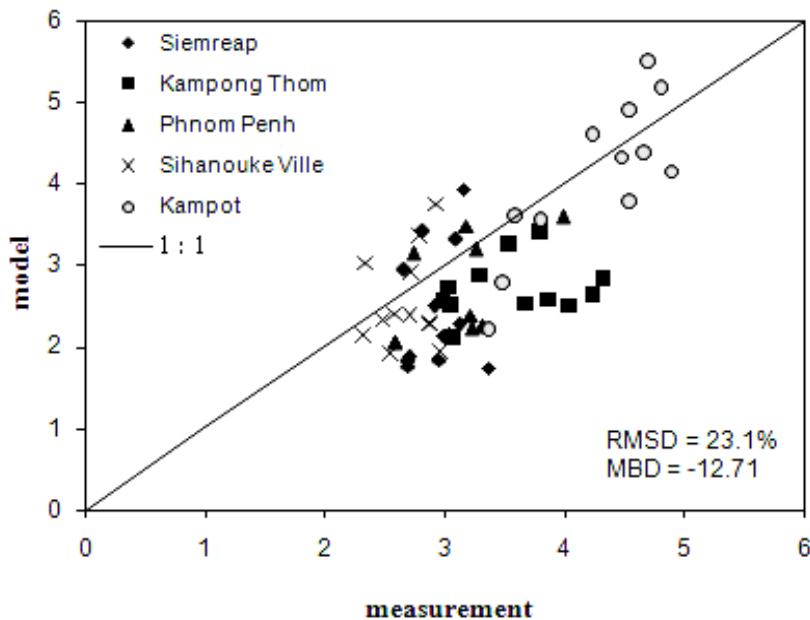
สำหรับของสถานีกัมปอต (รูปที่ 3.41) นับเป็นสถานีที่ค่าจากการวัดและค่าจากแบบจำลอง มีค่าค่อนข้างสอดคล้องกันมากที่สุด และภาพโดยรวมยังคงเป็นเช่นเดียวกับสถานีอื่นๆ กล่าวคือ ในช่วงกลางปีค่าที่ได้จากแบบจำลองจะมีค่ามากกว่าค่าที่วัดจริงเล็กน้อย แต่เป็นที่น่าสังเกตว่า ความเร็วลมเฉลี่ยของสถานีนี้มีค่าสูงกว่าของสถานีอื่นๆ ทั้งนี้ เพราะสถานีกัมปอตตั้งอยู่ใกล้ทะเล และพื้นที่โดยรอบเป็นเนินเขาที่ส่งผลให้ลมในบริเวณนี้ค่อนข้างแรงเมื่อเทียบกับสถานีอื่นๆ



รูปที่ 3.41 แสดงการเปรียบเทียบระหว่างอัตราเร็วเฉลี่ยรายเดือนจากการคำนวณด้วยแบบจำลองบรรยายศาสตร์ปานกลาง กับการวัด ณ เมืองกัมปอต ที่ระดับความสูง 50 เมตร

จากการเปรียบเทียบที่ผ่านมาแสดงให้เห็นว่ารูปแบบความเร็วลม โดยรวมทั้งหมดของทุกๆ สถานีค่อนข้างจะสอดคล้องกัน พบว่าสถานีกัมปอตจะเป็นสถานีที่ความเร็วเฉลี่ยรายเดือนที่ได้จากแบบจำลองจะใกล้เคียงกับค่าที่ได้จากการวัดมากที่สุดเมื่อเทียบกับสถานีอื่นๆ ทั้งนี้หากสังเกตให้ดีแล้วจะพบว่าค่าความเร็วเฉลี่ยรายเดือนของสถานีกัมปอตนี้จะมีค่ามากกว่าสถานีอื่นๆเล็กน้อย กล่าวคือ จะมีค่าอยู่ในช่วง 4 – 5 m/s ในขณะที่สถานีอื่นๆ ส่วนมีค่าน้อยกว่า 4 m/s ทั้งสิ้น

นอกจากนี้จากการเปรียบเทียบทุกๆ สถานีจะพบว่า โดยส่วนใหญ่แบบจำลองจะคำนวณได้ค่าที่น้อยกว่า (underestimate) ค่าที่วัด ได้จากสถานีวัดในช่วงต้นปีและปลายปี ส่วนในช่วงกลางปีกลับพบว่าค่าที่คำนวณได้มีค่ามากกว่า (overestimate) ค่าที่วัด ได้จริง ทั้งนี้น่าจะสืบเนื่องมาจากอิทธิพลของมรสุม กล่าวคือ ในช่วงกลางปีนี้เป็นช่วงของมรสุมตะวันตกเฉียงใต้ ซึ่งเป็นช่วงฤดูฝนโดยทั่วไปในช่วงดังกล่าวจะมีลมค่อนข้างแรงเนื่องจากพายุฝน จึงเป็นการยืนยันให้เห็นแบบจำลองบรรยายศาสตร์ปานกลางที่เลือกใช้นี้จะไวต่อสภาพลมแรงนั้นเอง



รูปที่ 3.42 แสดงการเปรียบเทียบค่า MBD และ RMSD ของอัตราเร็วเคลื่อนรายเดือน จากการคำนวณด้วยแบบจำลองบรรยายกาศระดับสเกลปานกลาง กับอัตราเร็วเคลื่อนจากทุกสถานี วัด ที่ระดับความสูง 50 เมตร

หากเปรียบเทียบความเร็วเฉลี่ยรายเดือนที่ได้ทั้งหมดจากแบบจำลองกับจากค่าที่วัดจริงจากทั้ง 5 สถานี (รูปที่ 3.42) จะพบว่าส่วนใหญ่แล้วค่าที่ได้จากการวัดจะมีค่าสูงกว่าค่าที่ได้จากการแบบจำลอง ดังจะเห็นได้จากมีจุดที่อยู่ใต้เส้น 1:1 มากกว่าปริมาณจุดที่อยู่เหนือเส้นดังกล่าว ค่า RMSD รวมทั้งหมดมีค่าเท่ากับ 23.1% ซึ่งน่าจะอยู่ในเกณฑ์ที่พอร์ท์ไอล์ ในขณะที่ค่าที่น้อยที่สุดเป็นของสถานี กัมปอต ซึ่งค่า RMSD = 13.9 % หากพิจารณาจากกราฟในรูปที่ 3.37 – รูปที่ 3.41 จะพบว่าความเร็วลมเฉลี่ยของสถานีกัมปอตนั้นมีค่าเปลี่ยนแปลงอยู่ช่วง 4 – 5 m/s ซึ่งมากกว่าสถานีอื่นๆซึ่งมีค่าอยู่ระหว่าง 2.5 – 4 m/s นี้อาจเป็นเหตุผลว่าทำไมสถานีกัมปอตถึงได้ผลของการค่อนข้างจะใกล้เคียงกัน เพราะค่าความเร็วโดยเฉลี่ยมีค่าสูงกว่าสถานีอื่นๆนั้นเอง นอกจากนั้นในการศึกษาโดยใช้แบบจำลองบรรยายกาศสกอลปานกลางนี้จะใช้ค่าความละเอียด (resolution) 5 กิโลเมตร นั่นหมายถึง การศึกษาริ้งนี้จะไม่คำนึงถึงสิ่งกีดขวางต่างๆที่มีขนาดน้อยกว่า 5 กิโลเมตรมากๆ ซึ่งในความเป็นจริงข้อมูลที่ได้จากสถานีวัดทุกสถานีล้วน ได้รับผลกระทบจากการบ้านเรือนและสิ่งกีดขวางต่างๆในละแวกนั้นๆ จึงส่งผลให้ค่าที่ได้จากการแบบจำลองส่วนใหญ่มีค่าน้อยกว่าค่าที่วัดจริงยกเว้นในช่วงที่มีรสุมซึ่งลมมีความแรงมากขึ้นทำให้ผลของความแตกต่างในเรื่องสเกล้มีไม่นัก

3.6.3 การเปรียบเทียบทิศทางลมเฉลี่ยรายเดือนจากการวัดและจากแบบจำลอง

นอกจากการเปรียบเทียบขนาดความเร็วลมแล้วการเปรียบเทียบทิศทางลมของแต่ละสถานี เป็นอีกประเด็นที่ต้องให้ความสนใจ โดยการเปรียบเทียบทิศทางจะดูจาก wind rose โดยในการวิจัยนี้ผู้วิจัยใช้โปรแกรม origin ในการสร้าง wind rose โดยทั่วไปอาจประกอบด้วย 8, 16 หรือ 32 ทิศ ในที่นี้จะใช้ 16 ทิศ กล่าวคือ N ($348.75^{\circ} - 11.25^{\circ}$), NNE ($11.25^{\circ} - 33.75^{\circ}$), NE ($33.75^{\circ} - 56.25^{\circ}$), ENE ($56.25^{\circ} - 78.75^{\circ}$), E ($78.75^{\circ} - 101.25^{\circ}$), ESE ($101.25^{\circ} - 123.75^{\circ}$), SE ($123.75^{\circ} - 146.25^{\circ}$), SSE ($146.25^{\circ} - 168.75^{\circ}$), S ($168.75^{\circ} - 191.25^{\circ}$), SSW ($191.25^{\circ} - 213.75^{\circ}$), SW ($213.75^{\circ} - 236.25^{\circ}$), WSW ($236.25^{\circ} - 258.75^{\circ}$), W ($258.75^{\circ} - 281.25^{\circ}$), WNW ($283.75^{\circ} - 303.75^{\circ}$), NW ($303.75^{\circ} - 326.25^{\circ}$), NNW ($326.25^{\circ} - 348.75^{\circ}$) ซึ่งโปรแกรม origin นี้สามารถสร้าง wind rose ที่แสดงให้เห็นว่ามีลมในทิศน้ำนมากน้อยแค่ไหน รวมถึงแสดงให้เห็นด้วยว่าในแต่ละทิศน้ำนมีประกอบด้วยลมที่มีความเร็วเป็นเท่าไหร่บ้าง และมีในอัตราส่วนที่มากน้อยอย่างไร

จาก wind rose ของสถานีเสียมเรียน (รูปที่ 3.43) ข้อมูลจากการวัดจะกระจายในหลายทิศทาง ทั้งนี้อาจเนื่องจากการวัดข้อมูลที่ค่อนข้างละเอียดมากกว่าซึ่งเป็นข้อมูลราย 10 นาที ส่วนจากแบบจำลองจะแสดงผลเป็นรายชั่วโมง จึงทำให้ wind rose ของข้อมูลที่ได้จากแบบจำลองค่อนข้างแสดงทิศทางอย่างชัดเจน แต่โดยรวมแล้วยังคงพบว่า wind rose ทั้งหมดยังสอดคล้องกับทิศทางของมรสุมอยู่ กล่าวคือ ในช่วงเดือนพฤษภาคม ไปถึงกลางเดือนตุลาคม ลมส่วนใหญ่จะสอดคล้องกับอิทธิพลของมรสุมตะวันตกเฉียงใต้ ล่าวในช่วงกลางเดือนตุลาคมถึงกลางเดือนกุมภาพันธ์จะเป็นอิทธิพลของมรสุมตะวันออกเฉียงเหนือ ที่สำคัญจะเห็นว่าในช่วงอิทธิพลมรสุมตะวันตกเฉียงใต้หรือในช่วงกลางปี ทิศทางของ wind rose ของการวัดค่อนข้างใกล้เคียงกับแบบจำลองถึงแม้จะแตกต่างกันในเชิงปริมาณก็ตาม กล่าวคือในช่วงดังกล่าวนี้ข้อมูลวัดจะแสดงให้เห็นว่ามีบางช่วงเวลาที่ลมที่วัดได้มีความเร็วสูงมากดังจะเห็นได้จาก wind rose ของเดือนพฤษภาคม ถึง สิงหาคม จะพบว่ามีการตรวจวัดเจอกความเร็วที่มีค่ามากกว่า 7 m/s อยู่ด้วย

รูปที่ 3.44 แสดงการเปรียบเทียบ wind rose ในแต่ละเดือนของสถานีกัมปงชุม wind rose ของการวัดยังคงมีหลายเดือนที่ทิศทางของลมค่อนข้างจำกัดกระจาย แต่ก็ไม่ได้ขัดแย้งกับอิทธิพลของมรสุม และหากพิจารณาโดยคร่าวๆ จะเห็นว่ามีหลายเดือนที่มีทิศทางของ wind rose ในทั้งสองกรณีค่อนข้างเหมือนกันอย่างชัดเจน เช่น ในเดือนพฤษภาคมและธันวาคม และมีหลายเดือนที่ wind rose ของข้อมูลจากแบบจำลองมีรูปแบบตรงกันบางส่วนของ wind rose จากการวัด หากพิจารณาเรื่องความเร็ว จะพบว่าข้อมูลจากการวัดมีหลายเดือนที่ทำการวัดได้ความเร็วลมที่สูงกว่า เมื่อเทียบกับค่าที่คำนวณได้จากแบบจำลองซึ่งจะเห็นได้อย่างชัดเจนเนื่องจากมีหลายเดือนที่บัน

wind rose มีແນບສີແດງປຣາກງູ້ຂຶ້ນໃນບາງທິສທາງ ແລະພບວ່າຄວາມເຮົວລົມສູງນີ້ຈະປຣາກງູ້ໄຫ້ເຫັນຫຼັດເຈນໃນຫ່ວງຖຸຟຸນ ແສດວ່າໃນຫ່ວງນັ້ນຄ່ອນຂ້າງມີພາຍຸຟຸນຟ້າຄະນອງເກີດຂຶ້ນໃນເມືອງນີ້

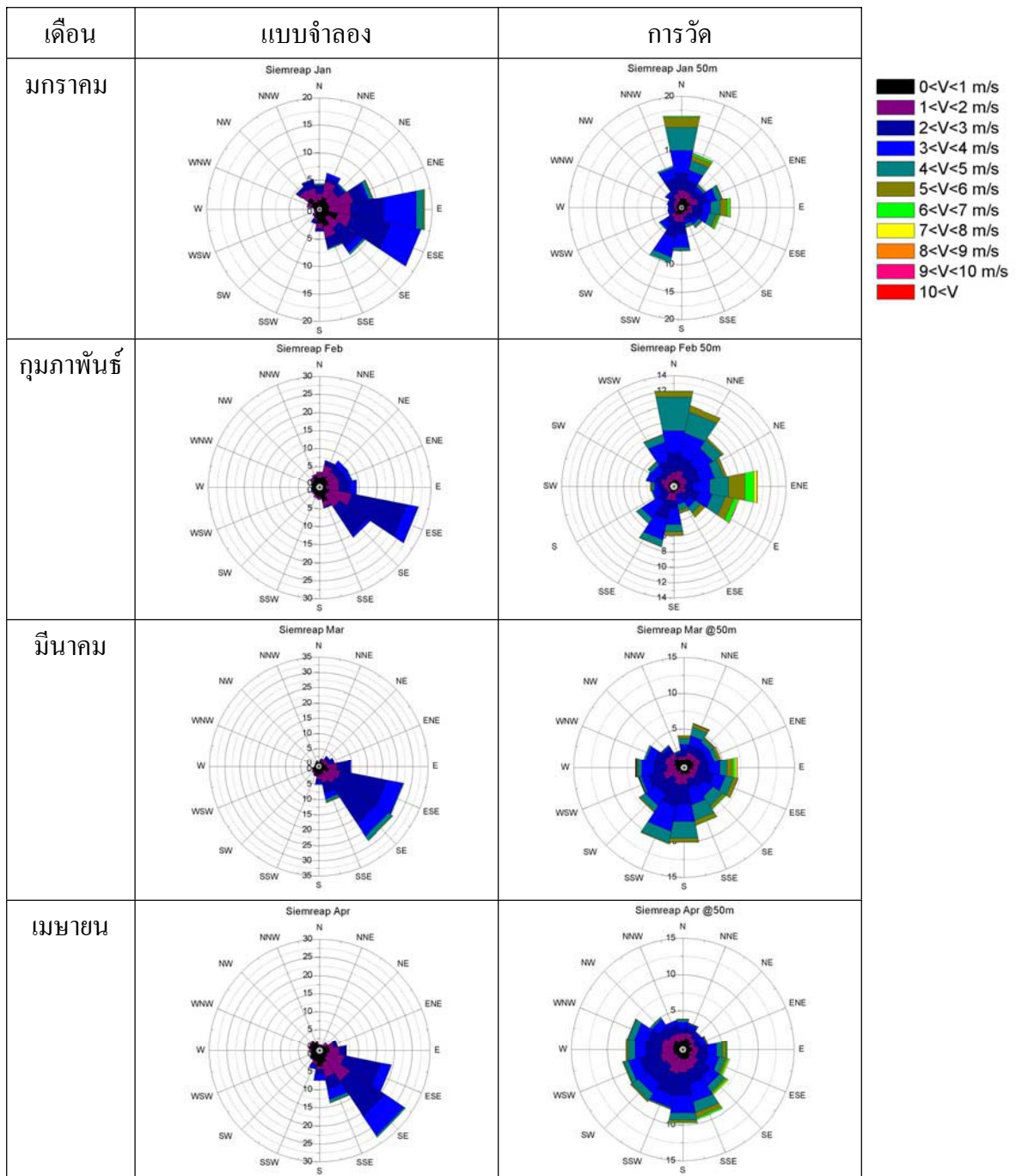
ຮູບທີ 3.45 ເປັນເປົ້າເປົ້າຫຼັງ wind rose ຂອງສຕານີວັດພົນມເປັ່ນ ຮູບແບບຂອງ wind rose ຈາກການວັດແລະຈາກແບບຈຳລອງຂອງສຕານີ້ສອດຄລ້ອງກັນມາກທີ່ສຸດເມື່ອເທີບກັບສຕານີອື່ນໆ ດຶງແມ່ວ່າ ຂໍ້ມູນກາຣວັດຈະຫາດຫາຍໄປ 3 ເດືອນອັນເນື່ອຈາກກາຣໜ້າຮ່າຮຸດຂອງເກົ່າງບັນທຶກຂໍ້ມູນ ລົມໃນບຣິເວນນີ້ ຄ່ອນຂ້າງພັດໃນທິສທິ່ງກ່າວທີ່ໄມ່ກະຈັດກະຈາຍມາກເຊັ່ນສຕານີອື່ນໆ ຈຶ່ງເຫັນຄວາມສອດຄລ້ອງກັນເປັນອ່າງດີ ຮະຫວ່າງ wind rose ຂອງແບບຈຳລອງແລະກາຣວັດ ແລະຢັກສອດຄລ້ອງກັບອິທີພລຂອງມຣສຸມດ້ວຍ ເຊັ່ນເຄີຍກັນ ທຳນອງເຄີຍກັບສຕານີອື່ນໆ ມາກເປົ້າຫຼັງເປົ້າຫຼັງປຣິມາລຄວາມເຮົວຈະພບວ່າໂດຍທ້າໄປແລ້ວ ຂໍ້ມູນວັດຈະພບວ່າມີຄ່າທີ່ສູງກວ່າ ໂດຍແລພາຍອ່າງຍິ່ງໃນຫ່ວງຖຸຟຸນສູນຈະເຫັນໄດ້ຫັດມາກວ່າລົມທີ່ວັດ ໄດ້ໃນ ບາງຫ່ວງມີຄວາມເຮົວອູ້ງໃນຫ່ວງ 8 – 9 m/s

Wind rose ຂອງສຕານີສີ່ຫຼຸງວິລິລີ (ຮູບທີ 3.46) ທີ່ຈາກກາຣວັດ ແລະຈາກແບບຈຳລອງຄ່ອນຂ້າງ ກະຈັດກະຈາຍໃນເຮືອງທິສທາງ ແຕ່ໃນກາພຣວມຍັງຄົງເປັນໄປຕາມອິທີພລຂອງມຣສຸມ ໂດຍແລພາຍອ່າງຍິ່ງ ໃນຫ່ວງກລາງປີທີ່ມີອິທີພລຂອງມຣສຸມຕະວັນຕົກເລີຍໄດ້ wind rose ຂອງຂໍ້ມູນທີ່ໄດ້ຈາກແບບຈຳລອງມີ ລັກນະໂກລີເຄີຍກັບ wind rose ຂອງຂໍ້ມູນຈາກກາຣວັດເປັນອ່າງນາກ ແລະໃນຫ່ວງນີ້ຍັງພບວ່າລົມທີ່ ຕຽວວັດ ໄດ້ບາງສ່ວນມີຄ່າສູງ ດັ່ງຈະເຫັນວ່າມີແນບສີສົມແລະສີແດງປຣາກງູ້ໄຫ້ເຫັນໃນ wind rose ຈາກກາຣ ວັດ ນັ້ນແສດງໄຫ້ເຫັນວ່າໃນຫ່ວງລົມມຣສຸມນີ້ມີຄົມພັດແຮງເກີດຂຶ້ນບ້າງ

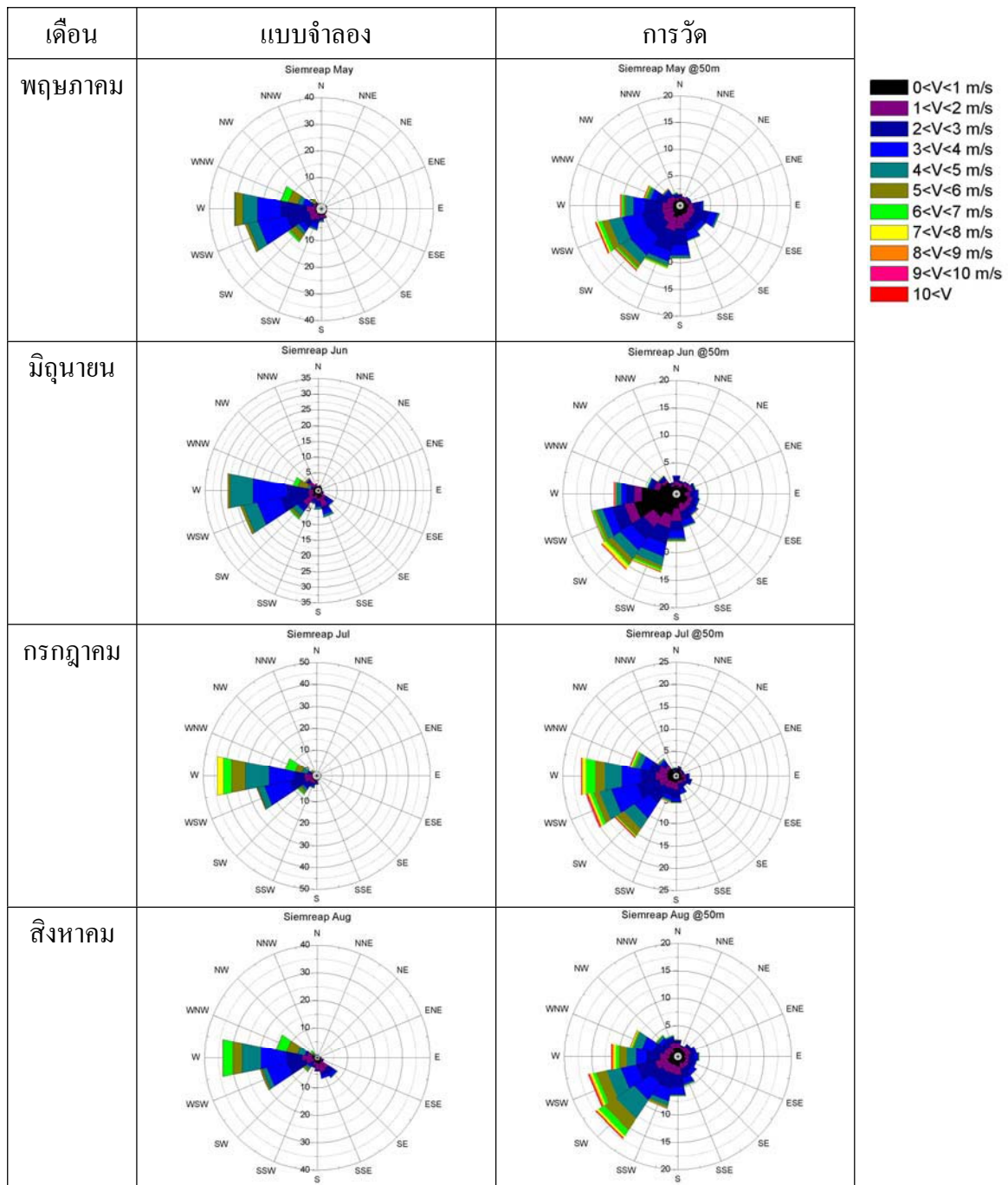
ຮູບທີ 3.47 ແສດກາເປົ້າຫຼັງເປົ້າຫຼັງ wind rose ທີ່ໄດ້ຈາກແບບຈຳລອງແລະຈາກກາຣວັດຂອງ ສຕານີກັນປອຕ ຈະເຫັນວ່າ wind rose ໃນຫ່ວງທີ່ມີອິທີພລຂອງມຣສຸມຕະວັນຕົກເລີຍໄດ້ຂອງທີ່ສອງກຣົລີ ກ່ອນຂ້າງໄກລີເຄີຍກັນ ແລະເຫັນຄວາມແຕກຕ່າງໃນເຮືອງຄວາມເຮົວໄດ້ຫັດເຈນນາກເມື່ອເທີບກັບສຕານີອື່ນໆ ດັ່ງຈະເຫັນໄດ້ຈາກກາຣທີ່ປຣາກງູ້ສີເໝືອງ ສົມ ແດງ ໄຫ້ເຫັນນາກຂຶ້ນໃນ wind rose ທີ່ສອງວິທີ ຊື່ຈະເຫັນ ຫຼັດເຈນນາກໃນຫ່ວງກລາງປີ ແຕ່ອ່າງໄກຕາມ ໂດຍຮວມແລ້ວຈະພບວ່າ wind rose ຈາກທີ່ສອງວິທີສອດຄລ້ອງ ກັບຄວາມເປັນຈິງຂອງອິທີພລຂອງລົມມຣສຸມທີ້ 2 ຫ່ວງໃນຮອບປີ

ໂດຍຮວມແລ້ວຈາກກາເປົ້າຫຼັງເປົ້າຫຼັງ wind rose ທີ່ເກີດຈາກກາຣໃຊ້ຂໍ້ມູນຈາກແບບຈຳລອງ ແລະ wind rose ທີ່ເກີດຈາກກາຣໃຊ້ຂໍ້ມູນວັດຈິງຂອງທີ້ 5 ສຕານີ ໃນຫ່ວງຮະຍະເວລາ 1 ປີ (ກັນຍາຍນ 2550 – ສີ່ຫາກມ 2551) wind rose ທີ່ໄດ້ທີ່ໜົດ ໄນວ່າຈະຈາກແບບຈຳລອງຫົວ່າຈາກກາຣວັດລ້ວນແລ້ວແຕ່ ສອດຄລ້ອງກັບອິທີພລຂອງລົມມຣສຸມຊື່ງເປັນປັງຈີ້ຫລັກຂອງລົມໃນປະເທດກັນພູ່າ ທີ້ນີ້ໃນຫ່ວງຂອງລົມ ມຣສຸມຕະວັນຕົກເລີຍໄດ້ (ຫ່ວງກລາງຄ່ອນໄປລົງປລາຍປີ) wind rose ຂອງທີ່ສອງກຣົລີຈະມີລັກນະໂກລີເຄີຍກັນນາກໃນເຮືອງຂອງທິສທາງ ອາຈນີ້ອັນມາຈາກເຫຼຸດພລທີ່ວ່າລົມມຣສຸມໃນຫ່ວງເວລາດັ່ງລ່າວ ກ່ອນຂ້າງຫຼັດເຈນແລະສົມ່າເສນອນ້ຳເອງ ແລະຈະພບວ່າໃນຫ່ວງເວລາເຄີຍກັນດີຈະພບເຫັນລົມແຮງເກີດຂຶ້ນທີ່ວ່າ ຖຸກງົມກົາກຂອງປະເທດ ດັ່ງຈະເຫັນໄດ້ຈາກກາມມີແນບສີ ເໝືອງ ສົມ ແດງ ປຣາກງູ້ຂຶ້ນບ້າງໃນ

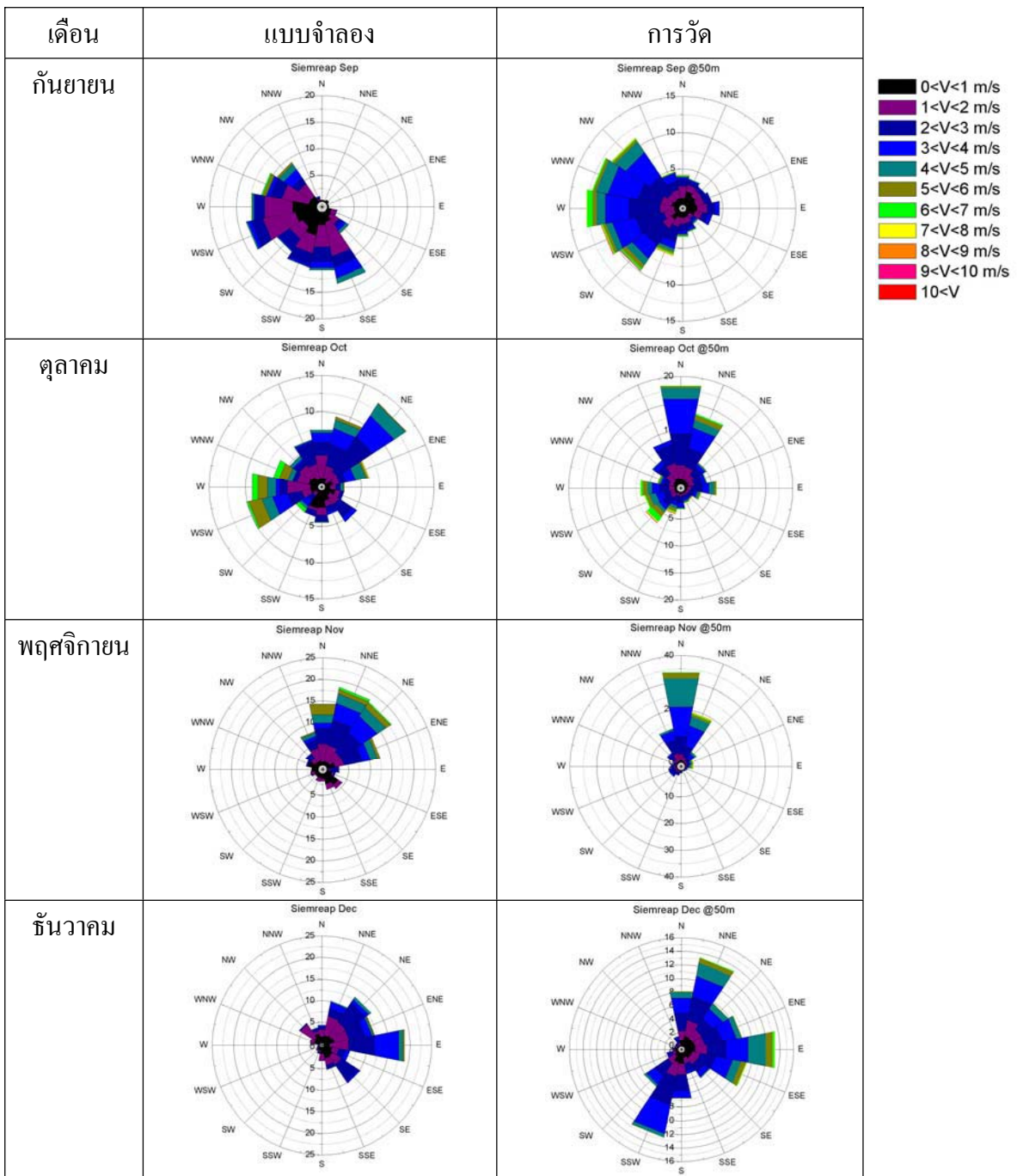
ช่วงเวลาดังกล่าว และจะพบว่าในช่วงที่พบลมที่มีความเร็วสูง wind rose ของทั้งสองกรณีนี้ ค่อนข้างที่จะมีลักษณะที่ใกล้เคียงกันอย่างมาก แต่เห็นได้ชัดว่า โดยส่วนใหญ่แล้วข้อมูลที่ได้จากการวัดจะมีค่าที่สูงกว่าค่าที่ได้จากการคำนวณ นั่นแสดงให้เห็นว่าโดยส่วนใหญ่แล้วการคำนวณด้วยแบบจำลองบรรยายกาศนี้จะให้ผลลัพธ์ที่ต่ำกว่าความเป็นจริง (under estimate) ทั้งนี้น่าจะเกิดจากการที่ความเร็วลมโดยเฉลี่ยในบริเวณดังกล่าวมีค่าค่อนข้างต่ำ แต่ถ้าช่วงใดหรือบริเวณใดความเร็วลมมีค่าสูงจะทำให้ผลการคำนวณด้วยแบบจำลองบรรยายกาศมีค่าใกล้เคียง (หรืออาจมีค่ามากกว่า) ค่าที่ได้จากการวัด ดังจะเห็นได้จากข้อมูลของสถานีกัมปอต และในช่วงที่มีลมมรสุมตะวันตกเฉียงใต้ สำหรับสถานีอื่นๆ



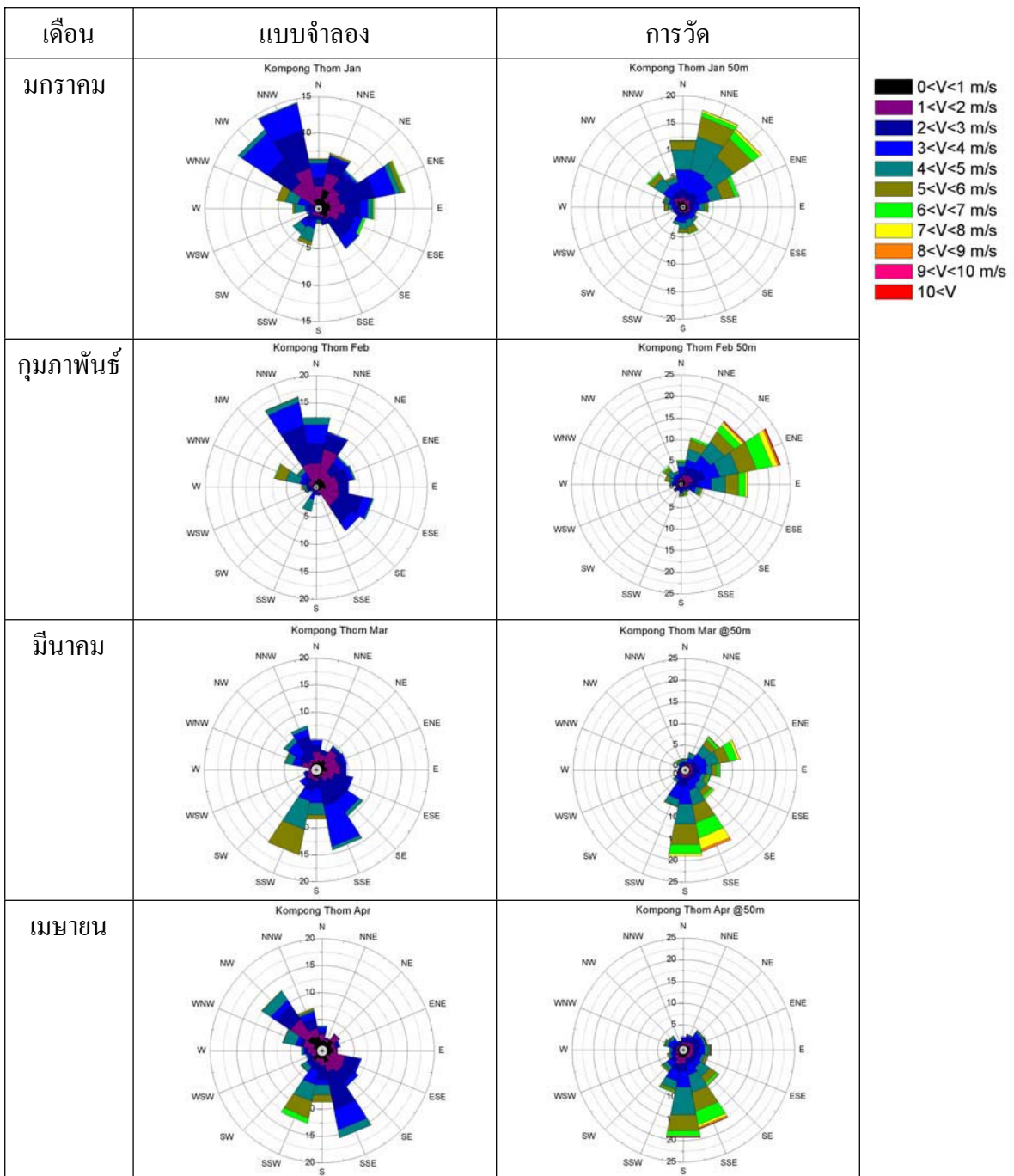
รูปที่ 3.43 เปรียบเทียบ wind rose รายเดือนของข้อมูลที่ได้จาก แบบจำลองบรรยายกาศ และจากการวัด ณ เมืองเสียมเรียบ



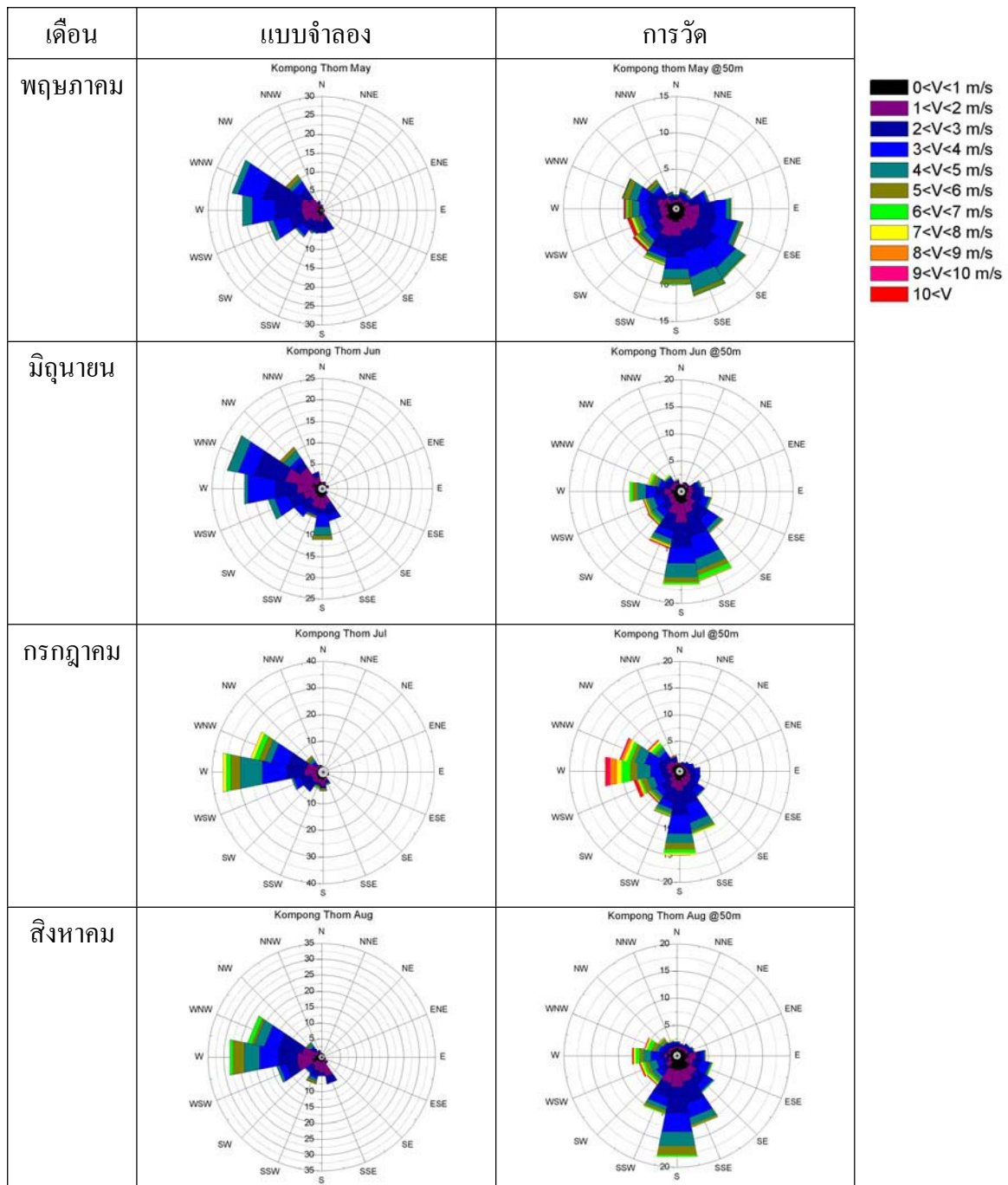
รูปที่ 3.43 (ต่อ)



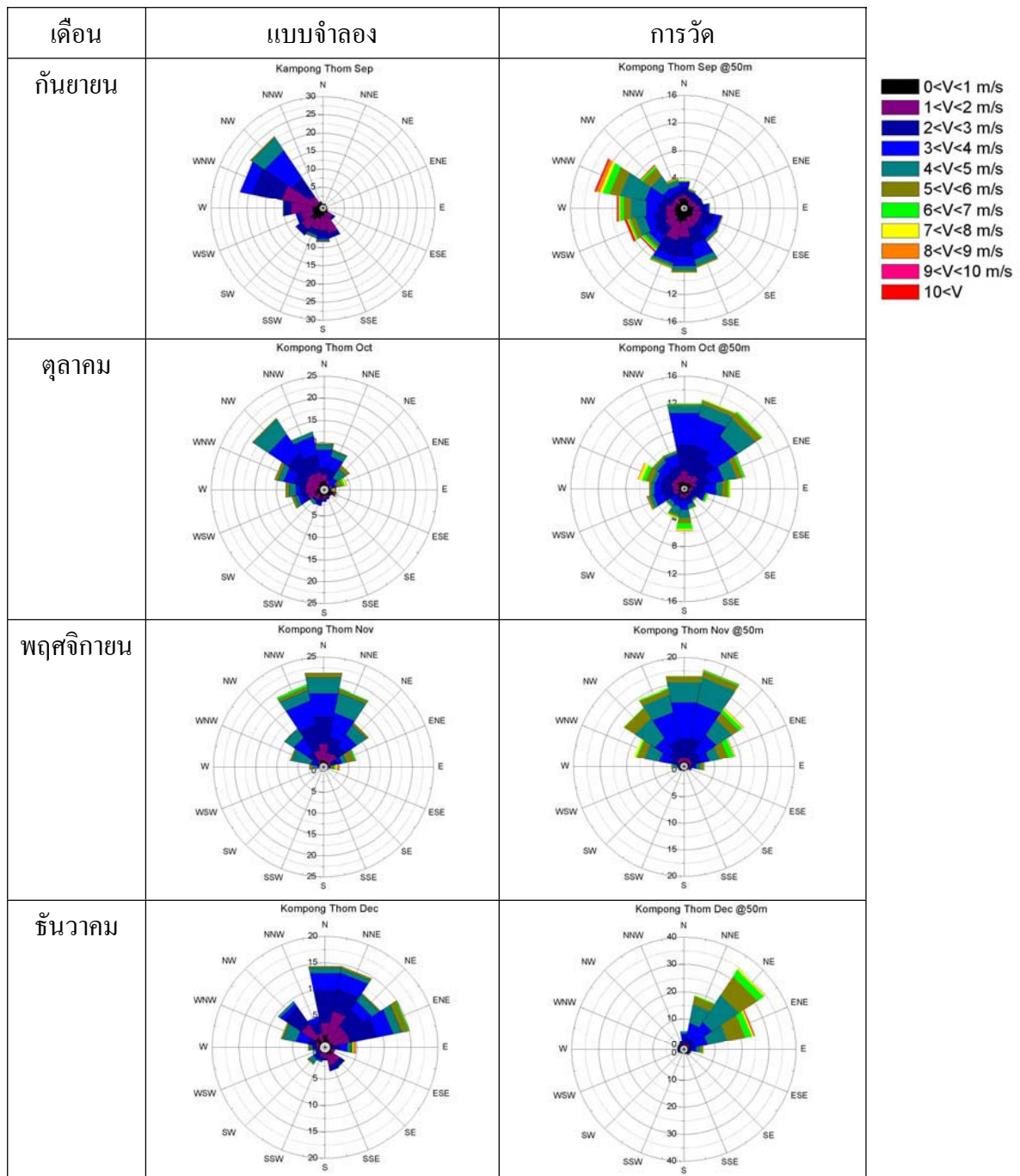
ຮູບທີ 3.43 (ຕ່ອ)



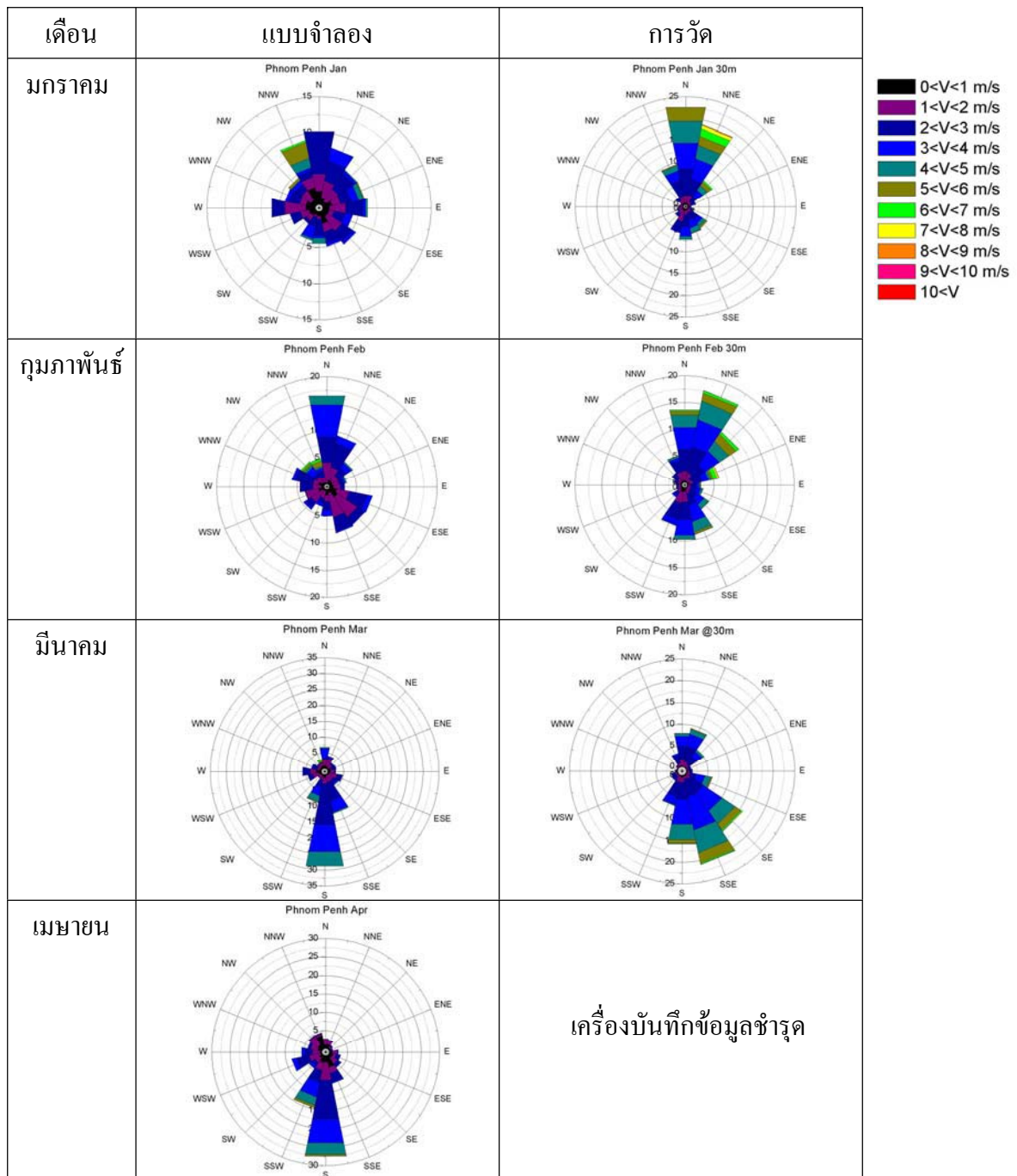
รูปที่ 3.44 เปรียบเทียบ wind rose รายเดือนของข้อมูลที่ได้จาก แบบจำลองบรรยายกาศ และจากการวัด ณ เมืองกัมปงชំ



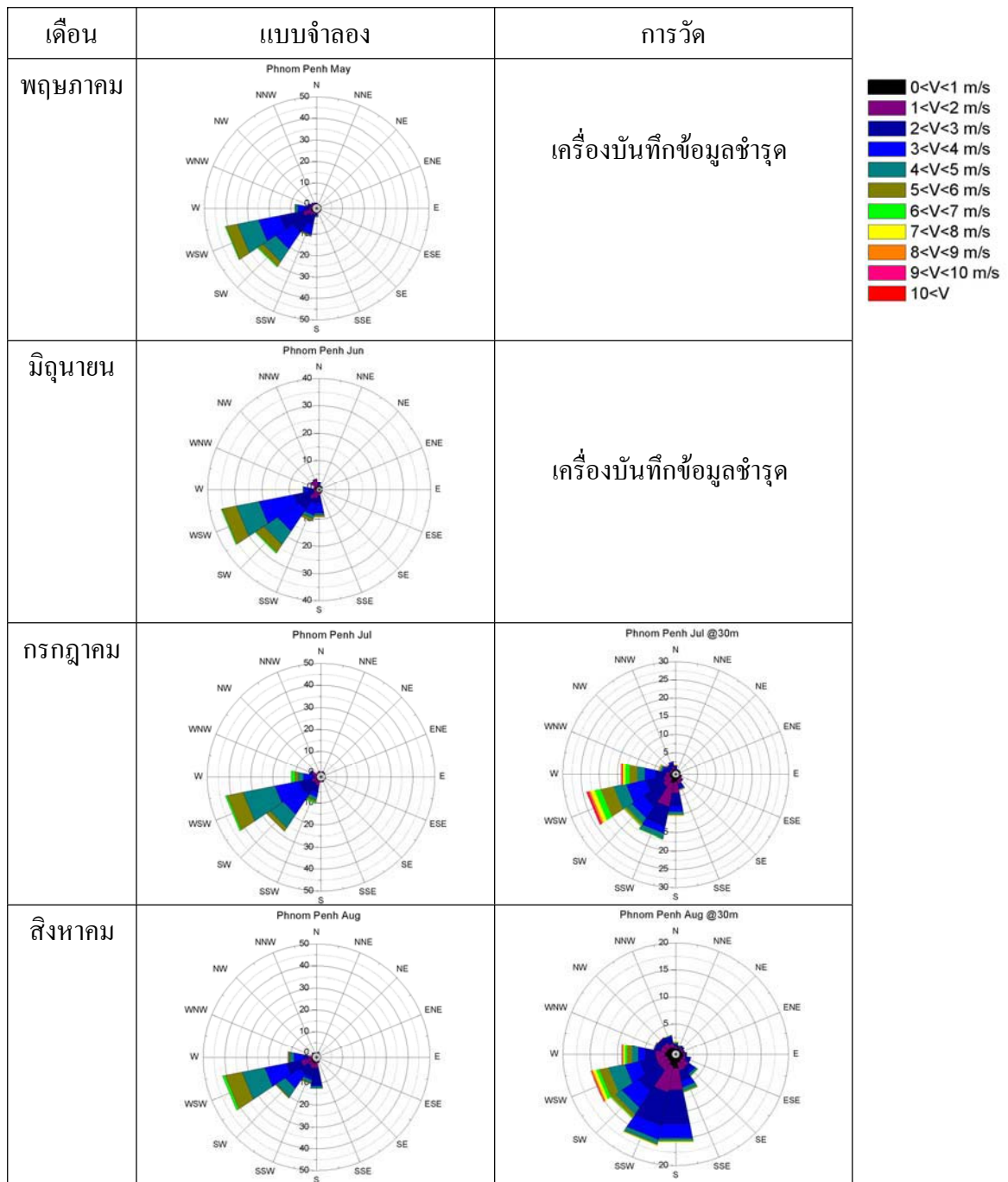
รูปที่ 3.44 (ต่อ)



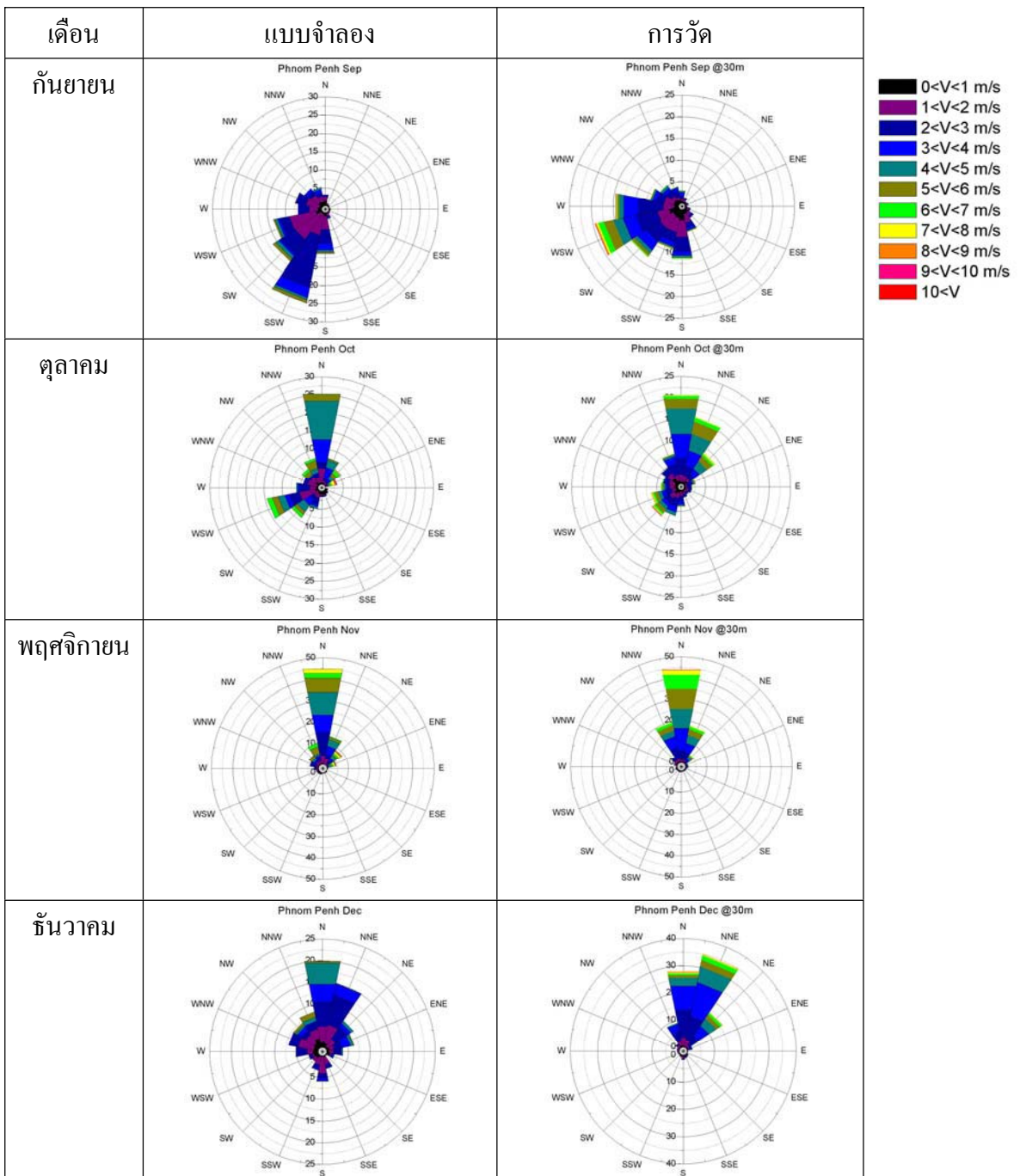
ຮູບທີ 3.44 (ຕ່ອ)



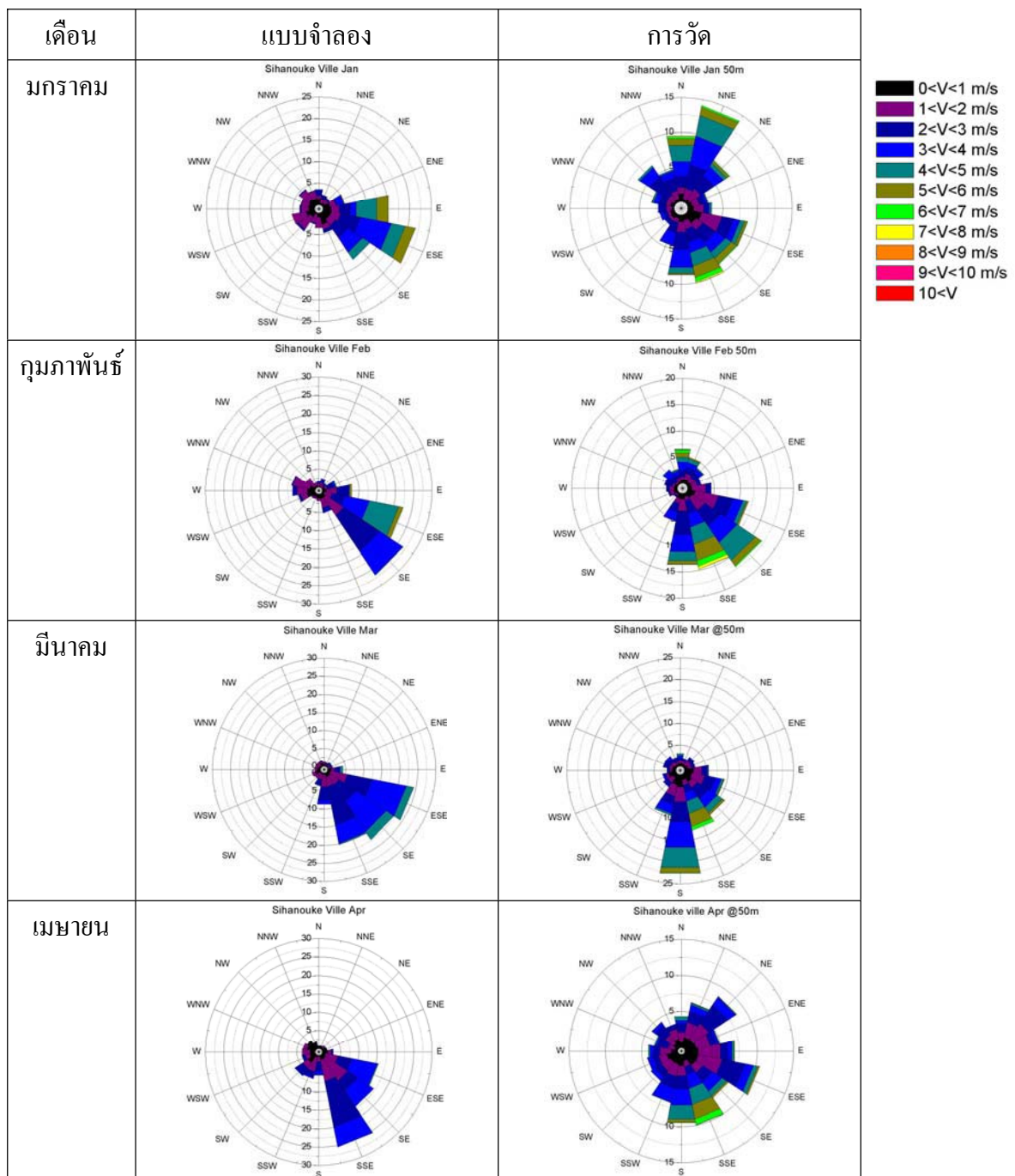
รูปที่ 3.45 เปรียบเทียบ wind rose รายเดือนของข้อมูลที่ได้จาก แบบจำลองบรรยายกาศ และจากการวัด ณ เมืองพนมเปญ



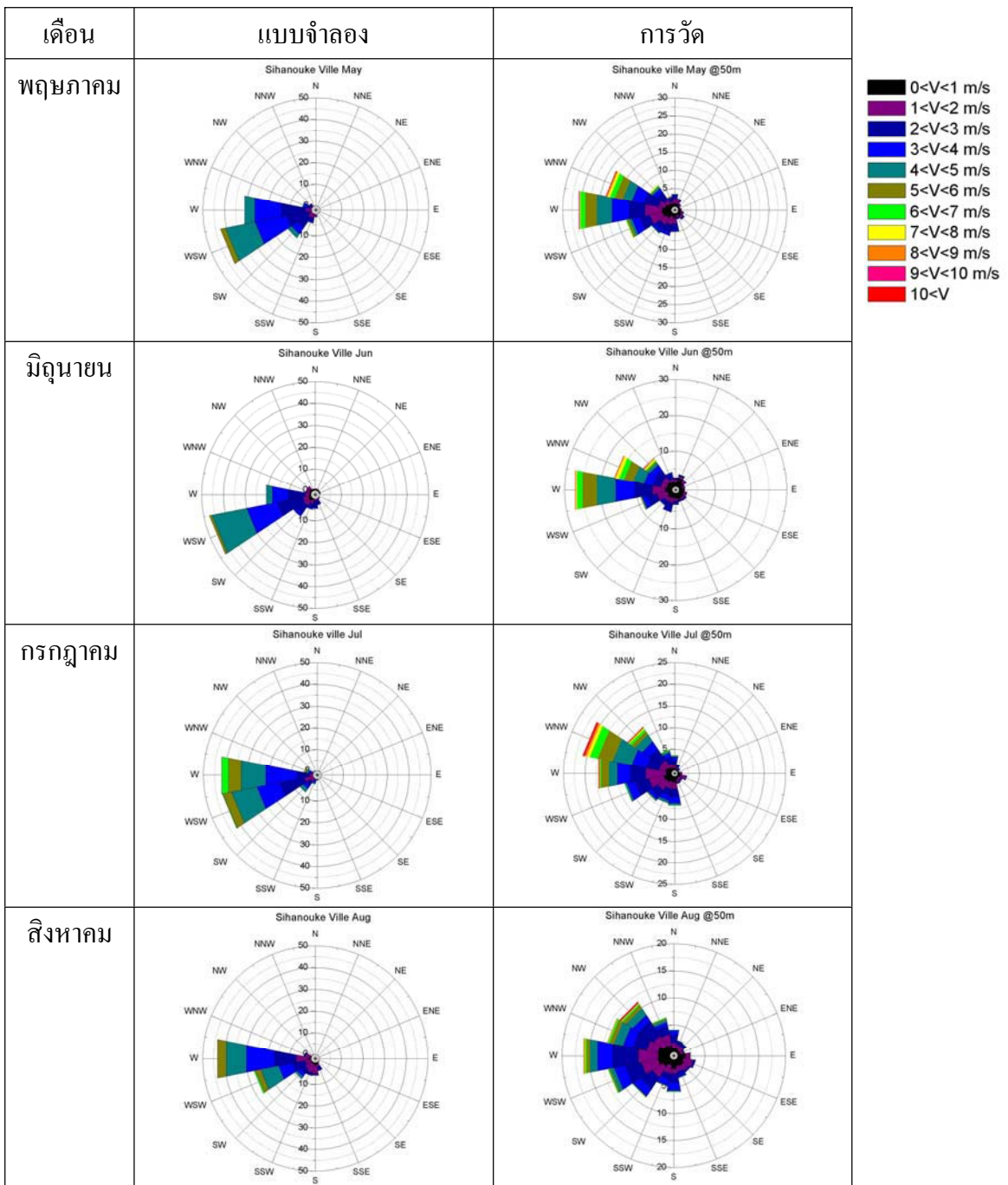
รูปที่ 3.45 (ต่อ)



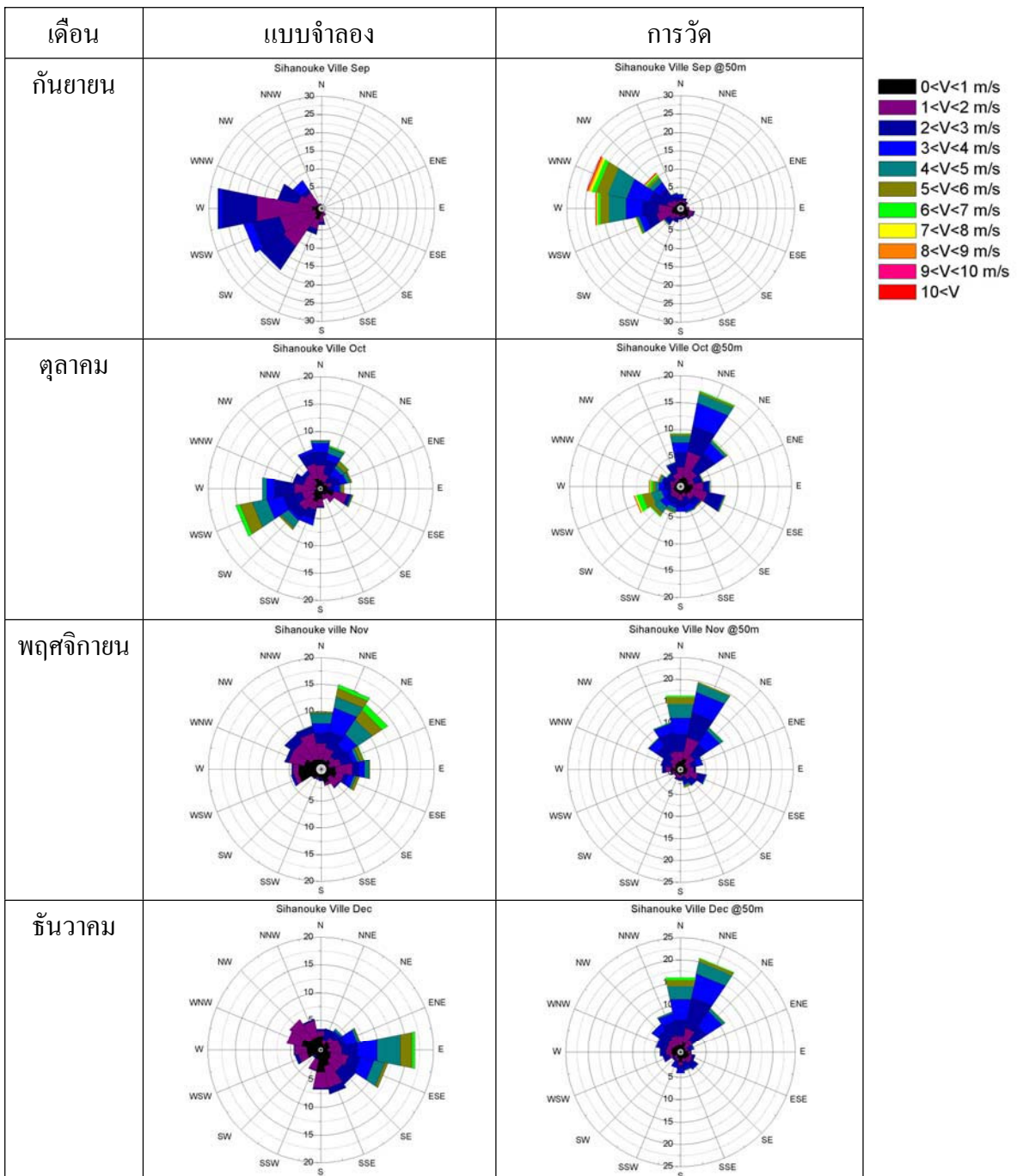
ຮູບທີ 3.45 (ຕ່ອ)



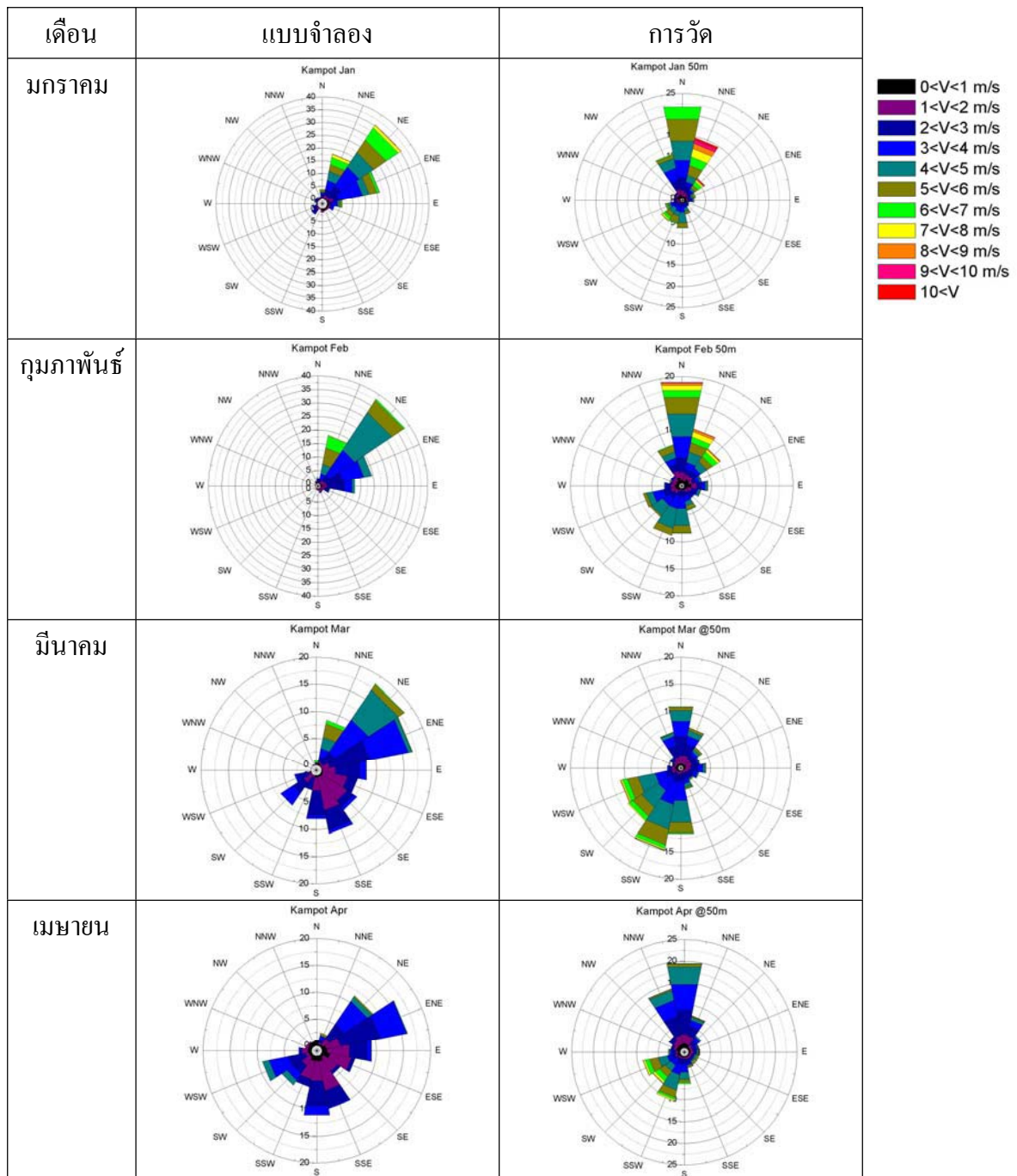
รูปที่ 3.46 เปรียบเทียบ wind rose รายเดือนของข้อมูลที่ได้จาก แบบจำลองบรรยายกาศ และจากการวัด ณ เมืองสีหนุวิลด์



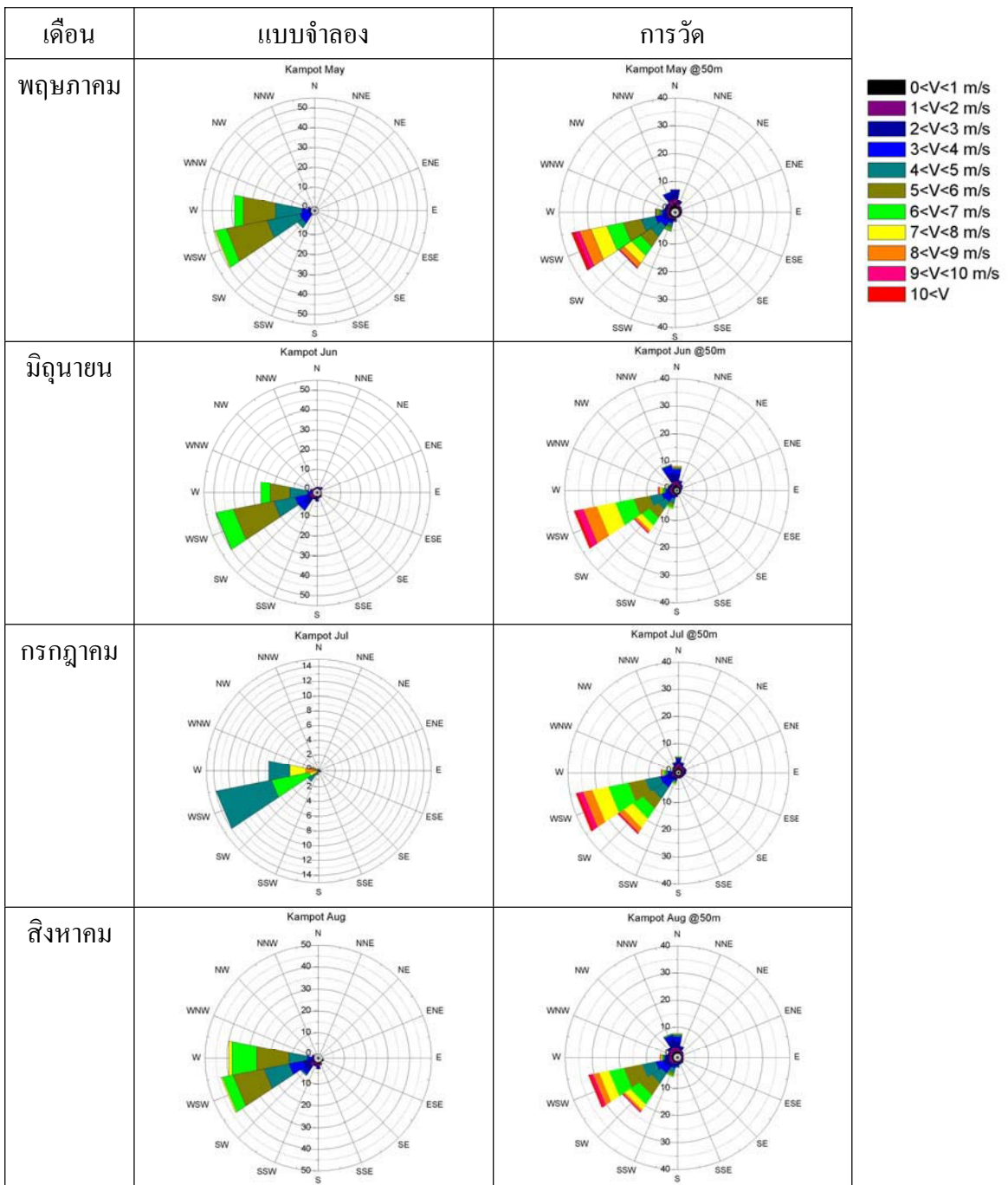
รูปที่ 3.46 (ต่อ)



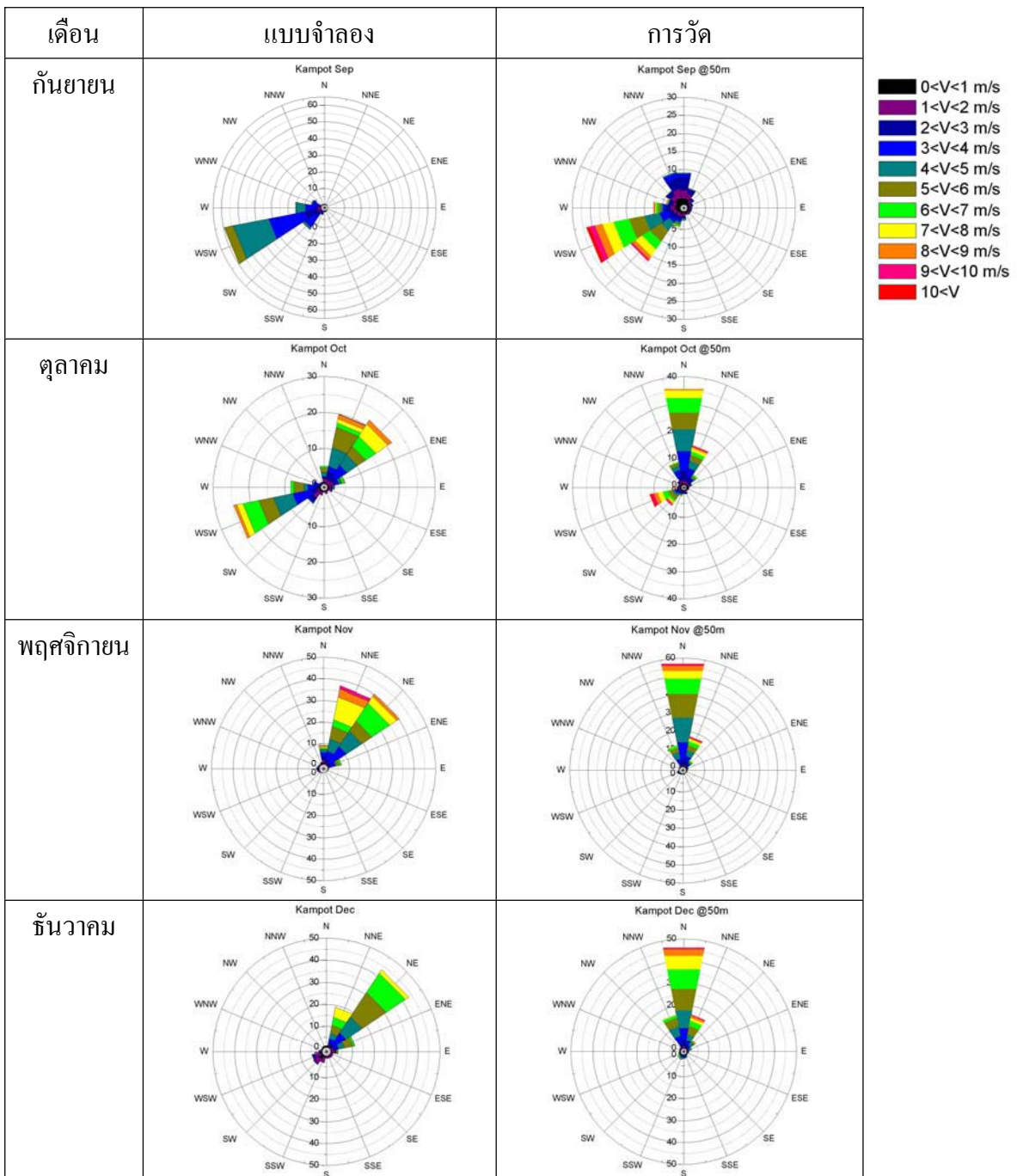
ຮູບທີ 3.46 (ຕ່ອ)



รูปที่ 3.47 เปรียบเทียบ wind rose รายเดือนของข้อมูลที่ได้จาก แบบจำลองบรรยายกาศ และจากการวัด ณ เมืองกัมปอต



รูปที่ 3.47 (ต่อ)



3.6.4 การเปรียบเทียบแผนที่ลมจากงานวิจัยนี้กับแผนที่ลมที่ดำเนินการโดย World bank

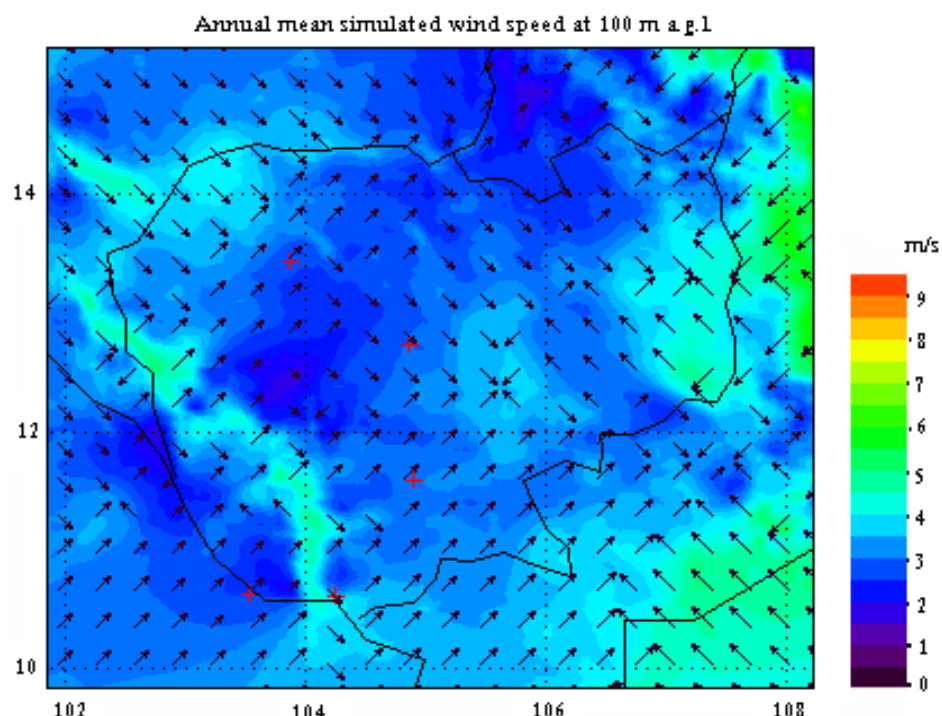
นอกจากนี้ผู้วิจัยได้เปรียบเทียบแผนที่ลมที่ได้จากการแบบจำลองบรรยายกาศสเกลปานกลางที่ใช้ในการศึกษาครั้งนี้กับแผนที่แสดงศักยภาพของพลังงานลมของภูมิภาคเอเชียตะวันออกเฉียงใต้ภายใต้โครงการ The World Bank Asia Alternative Energy Program ดังแสดงในรูปที่ 3.48

แผนที่แสดงศักยภาพของพลังงานลมที่ดำเนินการโดย World bank จะครอบคลุมพื้นที่ 4 ประเทศคือ กัมพูชา ลาว ไทย และ เวียดนาม โดยใช้โปรแกรม MesoMap ของบริษัท TrueWind Solutions ซึ่งอาศัยแบบจำลองสภาพอากาศในการจำลองสภาพลมในอดีตตลอดจนลักษณะภูมิอากาศของวันที่เลือกใช้เป็นตัวแทนในช่วงปีพ.ศ. 2527 - 2541 โดยใช้ข้อมูลความสูงต่ำของพื้นที่ ความหมายของพื้นผิว และลักษณะพื้นที่พร้อมที่ปักกลุ่มพื้นที่ ด้วยความละเอียดของกริด(grid size) ขนาด 1 ตารางกิโลเมตร เป็นข้อมูลอินพุต รวมถึงข้อมูลทางอุตุนิยมวิทยาอันได้แก่ gridded analysis whether data, rawinsonde data และ อุณหภูมิพื้นผิวทะเล

จากแผนที่ของ world bank (รูปที่ 3.48) จะเห็นว่ามีการจัดแสดงความเร็วลมตั้งแต่ 5.5 m/s ขึ้นไป บริเวณใดที่มีความเร็วลมต่ำกว่านี้จะแสดงเป็นสีเขียวอ่อนทึบหมด ซึ่งแสดงให้เห็นว่าแผนที่ลมของ world bank ไม่สามารถแยกแยะบริเวณที่มีความเร็วลมต่ำๆ ได้ รวมถึงไม่มีการจัดแสดงทิศทางลมในแผนที่ด้วย อย่างไรก็ตามจากแผนที่ดังกล่าวนี้จะพบว่าในประเทศกัมพูชาบริเวณแนวเขาทางทิศตะวันตกถึงตะวันตกเฉียงใต้ และ ในบริเวณทางตะวันออกเฉียงเหนือของประเทศมีลมที่ค่อนข้างแรงกว่าในส่วนอื่นของประเทศ เมื่อเปรียบเทียบกับแผนที่จากการศึกษาครั้งนี้ (รูปที่ 3.49) พบว่ามีลมที่ค่อนข้างแรงในบริเวณที่ใกล้เคียงกันเป็นอย่างมาก จะเห็นว่าค่าความเร็วเฉลี่ยที่ได้จากแบบจำลองบรรยายกาศสเกลปานกลางจะมีค่าน้อยกว่างานของ World Bank เล็กน้อย ทั้งนี้น่าจะเกิดจากการศึกษาครั้งนี้เป็นการศึกษาในช่วง 1 ปี (กันยายน 2550 – สิงหาคม 2551) เท่านั้น จึงอาจทำให้ผลการคำนวณแตกต่างจากงานของ World bank ซึ่งใช้ข้อมูลถึง 15 ปี จึงได้ค่าความเร็วลมเฉลี่ยสูงกว่าเล็กน้อย



รูปที่ 3.48 แผนที่ศักยภาพพลังงานลมในภูมิภาคเอเชียตะวันออกเฉียงใต้ จากโครงการ The World Bank Asia Alternative Energy Program (ตัวดำเนินการประเทศไทย)



รูปที่ 3.49 แผนที่ลมเฉลี่ยในช่วง 1 ปี (กันยายน 2550 – สิงหาคม 2551) จากการศึกษาครั้งนี้

จากแผนที่ล่มที่ได้จากการคำนวณ โดยใช้แบบจำลองบรรยายศาสเกลปานกลางในครั้งนี้ เป็นการแสดงให้เห็นถึงลักษณะการเปลี่ยนแปลงของลมตามพื้นที่ของประเทศไทยกัมพูชา ณ ระดับความสูง 50 เมตร และ 100 เมตร จะเห็นได้อย่างชัดเจนว่าในบริเวณทางตะวันออกเฉียงเหนือของประเทศไทยและในบริเวณแนวเขากาหงสาท่วงตอกเฉียงใต้ของประเทศไทยค่อนข้างที่จะมีลมแรงกว่าบริเวณอื่นๆ และในระดับความสูง 100 เมตร ค่าความเร็วลมเฉลี่ยจะมีค่าสูงถึง $7 - 8 \text{ m/s}$ และพบว่าแผนที่ทั้งหมดแสดงเป็นอย่างดีกับอิทธิพลของลมมรสุมในพื้นที่ นั่นเป็นการแสดงให้เห็นว่าการใช้แบบจำลองบรรยายศาสเกลปานกลางในการคำนวณความเร็วและทิศทางลมในประเทศไทยกัมพูชานั้น สามารถกระทำได้และได้ผลลัพธ์ที่สอดคล้องกับความเป็นจริงในระดับหนึ่ง

บทที่ 4 สรุป

ในการศึกษาความเร็วลมและทิศทางของลมในประเทศไทยโดยใช้แบบจำลองบรรยากาศสเกลปานกลาง ผู้วิจัยทำการคำนวณความเร็วและทิศทางลมโดยใช้แบบจำลองบรรยากาศ โดยเริ่มต้นจากการจัดเตรียมข้อมูลบรรยากาศ ซึ่งประกอบด้วยข้อมูล geopotential height ความเร็วและทิศทางลมจีโอสโตรฟิก ความชื้นสัมพัทธ์ และอุณหภูมิบรรยากาศของช่วงเดือน กันยายน 2550 ถึง สิงหาคม 2551 และจัดเตรียมข้อมูลลักษณะพื้นผิวของประเทศไทย ได้แก่ ข้อมูลแผนที่ความสูงของพื้นที่ (orographic map) และความหยาบของพื้นผิว (roughness) จากนั้นจะใช้แบบจำลองบรรยากาศสเกลปานกลาง (meso-scale atmospheric model) ทำการคำนวณความเร็วและทิศทางลมทั่วประเทศไทย โดยใช้ข้อมูลบรรยากาศและข้อมูลลักษณะพื้นผิวเป็นข้อมูลอินพุตของแบบจำลอง แล้วนำผลการคำนวณมาจัดแสดงในรูปแผนที่ลม ณ ระดับความสูง 50 เมตรและ 100 เมตรเหนือพื้นดิน จากแผนที่รายเดือนพบว่าความเร็วลมในประเทศไทยมีการเปลี่ยนแปลงขนาดและทิศทางตามอิทธิพลของลมรสุน โดยในช่วงเดือนตุลาคมถึงกุมภาพันธ์ จะมีลมมรสุมพัดจากทะเลเจ้า惠及ผ่านประเทศไทย ทำให้ความเร็วลมทั่วประเทศลดลง แต่ในช่วงเดือนพฤษภาคมถึงกันยายน จะมีลมมรสุมพัดจากอ่าวไทยเข้าไปในประเทศไทย สำหรับเดือนมีนาคมและเมษายนจะเป็นช่วงเปลี่ยนของลมมรสุมทำให้ความเร็วลมทั่วประเทศค่อนข้างต่ำ เมื่อพิจารณาความเร็วลมเฉลี่ยตลอดทั้งปีที่ระดับความสูง 50 เมตรเหนือพื้นดิน จะพบว่าโดยส่วนใหญ่ทั่วทุกภูมิภาคของประเทศไทย ความเร็วลมมีค่าค่อนข้างต่ำ (เฉลี่ย 2 – 3 เมตร/วินาที) แต่พบว่าในบางบริเวณมีลมค่อนข้างแรงกว่าบริเวณอื่นๆ (4 - 5 เมตร/วินาที) ในบริเวณพื้นที่ด้านตะวันออกเฉียงเหนือ และที่บริเวณแนวเขาด้านตะวันตกเฉียงใต้ บริเวณดังกล่าวมีศักยภาพพลังงานลมค่อนข้างสูงกว่าบริเวณอื่นๆ และในบริเวณดังกล่าวมีระดับความสูง 100 เมตรเหนือพื้นดินความเร็วลมยังมีค่าสูงขึ้น (6 – 7 เมตร/วินาที) ในการทดสอบความละเอียดถูกต้องของผลการคำนวณ ผู้วิจัยได้ใช้ข้อมูลลมที่วัดจริงจากสถานีที่ได้รับการติดตั้งขึ้นใหม่ภายใต้โครงการความร่วมมือทางด้านพลังงานทดแทนระหว่างประเทศไทยและประเทศไทย 5 แห่ง คือ ที่เมืองเสียมเรียบ กัมpong ស៊ីហុនុវិត្ស កัมបូច และ พนมបេញ ผลการเปรียบเทียบพบว่าความเร็วลมที่ได้จากการคำนวณมีแนวโน้มที่ใกล้เคียงกับความเร็วลมที่ได้จากการวัด และสอดคล้องกับอิทธิพลของลมมรสุมเป็นอย่างดี ทั้งนี้ผู้วิจัยได้ทำการเปรียบเทียบความแตกต่างในรูปของ root mean square difference (RMSD) ซึ่งได้ค่าอุกมาท่ากัน 23.1% โดยพบว่าสถานีกัมបូចเป็นสถานีที่ผลจากการคำนวณมีค่าใกล้เคียงกับข้อมูลวัดมากที่สุด สาเหตุที่ทำให้ผลการคำนวณของสถานีวัดอื่นๆค่อนข้าง

แต่ก่อต่างจากข้อมูลวัดมากัน่าจะเกิดจากความคลาดเคลื่อนของแบบจำลอง ในบริเวณที่ความเร็วลมน้อยจะทำให้เห็นผลของความคลาดเคลื่อนนี้อย่างชัดเจน ดังนั้นแบบจำลองดังกล่าวจะให้ผลการคำนวณแม่นยำขึ้นสำหรับบริเวณที่มีความเร็วลมสูงๆ นอกจากการเปรียบเทียบความเร็วแล้วผู้วิจัยได้ใช้ข้อมูลที่ได้จากการคำนวณและข้อมูลที่ได้จากการวัดมาจัดทำ wind rose ในแต่ละเดือนเพื่อเปรียบเทียบทิศทางลมและคุณภาพสอดคล้องกับอิทธิพลของลมมรสุมทั้งสองช่วง ปรากฏว่าได้ผลค่อนข้างที่จะสอดคล้องกันกับอิทธิพลของมรสุมแต่แตกต่างกันบ้างในเรื่องของทิศทางในแต่ละเดือนสำหรับบางสถานี หนึ่งในสถานีทั้ง 5 แห่งที่เรามีข้อมูลวัดมาเปรียบเทียบ คือ สถานีวัดที่เมืองกัมปอต จัดได้ว่าอยู่ในบริเวณที่ๆ มีความเร็วลมค่อนข้างสูง ซึ่งจากข้อมูลวัดที่เราได้ในช่วง 1 ปี ยืนยันเช่นนั้นจริง นอกจานนี้ผู้วิจัยได้เปรียบเทียบแผนที่ลมเฉลี่ยรายปีที่ได้กับแผนที่ศักยภาพพลังงานลมในภูมิภาคเอเชียตะวันออกเฉียงใต้ จากโครงการ The World Bank Asia Alternative Energy Program พบว่าแผนที่ทั้งสองสอดคล้องกันเป็นอย่างดีในแนวของบริเวณที่น่าจะมีลมแรงของประเทศกัมพูชา แต่ทว่าค่าของความเร็วที่ได้จากการคำนวณโดยใช้แบบจำลองบรรยายศาสตร์เกลปานกลาง มีค่าน้อยกว่าค่าที่แสดงบนแผนที่ศักยภาพพลังงานลมในภูมิภาคเอเชียตะวันออกเฉียงใต้เล็กน้อย ทั้งนี้อาจสืบเนื่องมาจากความเร็วลมโดยเฉลี่ยในประเทศกัมพูชา มีค่าต่ำจึงทำให้ผลการคำนวณจากแบบจำลองมีความคลาดเคลื่อนมาก ให้เห็นชัดเจน จากการศึกษาครั้งนี้พบว่าแบบจำลองบรรยายศาสตร์เกลปานกลางที่เลือกใช้ให้ผลลัพธ์เป็นที่น่าพอใจในการศึกษาสภาพของลมในประเทศกัมพูชาได้ถึงแม้ว่าโดยธรรมชาติของแบบจำลองจะเหมาะสมกับสภาพที่มีลมแรงมากกว่าแต่อย่างน้อยการศึกษาครั้งนี้สามารถแสดงให้เห็นถึงการเปลี่ยนแปลงของลมและทิศทางลมตามพื้นที่ของประเทศกัมพูชาได้ การพัฒนาแบบจำลองนี้เพื่อใช้แสดงศักยภาพของพลังงานลมสำหรับประเทศที่ขาดแคลนข้อมูลวัดจริงจากเสาวัดลมที่ได้มาตรฐานน่าจะเกิดประโยชน์อย่างยิ่งในอนาคตอย่างไรก็ตามในการจะนำพลังงานลมมาใช้ประโยชน์ในการผลิตกระแสไฟฟ้า หรือการตัดสินใจจัดตั้งกังหันลมสำหรับผลิตไฟฟ้าในบริเวณที่มีศักยภาพลมค่อนข้างสูง ควรต้องศึกษาปัจจัยอื่นประกอบ เช่น โครงสร้างพื้นฐานสำหรับการติดตั้งกังหันลม ผลกระทบแทนทางเศรษฐกิจ และผลกระทบทางสิ่งแวดล้อม และที่สำคัญ ควรมีการติดตั้งเครื่องวัดลมเพื่อการตรวจสอบให้แม่นยำอีกขั้นหนึ่งด้วย

បររលាយករណ

- Adrian, G. and Fiedler F., Simulation of unstationary wind and temperature fields over complex terrain and comparison with observations, *Beitr. Phys. Atmosph.* 64, 27 – 48, 1991
- Brower, M., Zack, J.W., Bailey, B., Schwartz, M.N., Elliott, D.L., Mesoscale modelling as a tool for wind resource assessment and mapping, 14th conference on applied climatology, 2004
- Frank, H.P. and Landberg, L., Modelling the wind climate of Ireland, *Boundary-layer Meteorology*, 85, 359 – 378, 1997
- Justic, G. Physical climatology of solar and wind energy, World Scientific, Singapore, 1988
- Khan, M.J. and Iqbal, M.T., Wind energy resource map of Newfoundland. *Renewable Energy* 29, 1211-1221, 2004
- Khan, M.J., Iqbal, M.T., Mahboob, S., A wind map of Bangladesh, *Renewable Energy* 29, 643-660, 2004
- Lanberg, L., Myllerup, L., Rathmann, O., Petersen, E.L., Jorgensen, B.H., Badger, J., Mortensen, N.G. Wind resource estimation-An overview, *Wind Energy* 6, 261-271, 2003.
- Lettan, H. Note on aerodynamic roughness parameter estimation *J. Appl. Met.* 8, 828-832, 1969.
- Mathew, S. *Wind Energy*, Springer, Berlin, 2006.
- Mortensen, N.G., U. Said Said, H.P. Frank, L. Georgy, C.B. Hasager, M. Akmal Mahmoud, J.C. Hansen and A. Abd El-Salam Moussa, *Wind Atlas for the Gulf of Suez. Measurements and Modelling 1991-2001*. New and Renewable Energy Authority, Cairo, and Risø National Laboratory, Roskilde. ISBN 87-550-3195-1. 196 pp. 2003
- Mortensen, N.G., D.N. Heathfield, L. Myllerup, L. Landberg and O. Rathmann, *Wind Atlas Analysis and Application Program: WAsP 8 Help Facility and On-line Documentation*. Risø National Laboratory, Roskilde, Denmark. 335 topics. ISBN 87-550-3457-8, 2005
- Mortensen, N.G., J.C. Hansen, J. Badger, B.H. Jørgensen, C.B. Hasager, L. Georgy Youssef, U. Said Said, A. Abd El-Salam Moussa, M. Akmal Mahmoud, A. El Sayed Yousef, A. Mahmoud Awad, M. Abd-El Raheem Ahmed, M. A.M. Sayed, M. Hussein Korany, M. Abd-El Baky Tarad, *Wind Atlas for Egypt, Measurements and Modelling 1991-2005*. New and Renewable Energy Authority, Egyptian Meteorological Authority and Risø National Laboratory. ISBN 87-550-3493-4. 258 pp, 2005

- Mortensen, N.G., J.C. Hansen, J. Badger, B.H. Jørgensen, C.B. Hasager, Uwe S.Paulsen, Ole F. Hansen, Karen Enevoldsen, L. Georgy Youssef, U. Said Said, A.Abd El-Salam Moussa, M. Akmal Mahmoud, A. El Sayed Yousef, A. Mahmoud Awad, M. Abd-El Raheem Ahmed, M. A.M. Sayed, M. Hussein Korany, M. Abd-El Baky Tarad, Wind Atlas for Egypt: Measurements, micro- and mesoscale modelling. Proceedings of the *2006 European Wind Energy Conference and Exhibition*, Athens, Greece, February 27 to March 2., 2006
- Mortensen, N.G., Said, U.S., Badger, J., Wind Atlas for Egypt, Roskilde, 2005
- Ozerdem, B. Turkeli, H.M., Wind energy potential estimation and micrositting on Izmir Institute of Technology Campus, Turkey, Renewable Energy 30, 1623-1633, 2005
- Perera, M.D. Shelter behind two-dimensional solid and porous fences, Journal of Wind Engineering and Industrial Aerodynamics 8, 93-104, 1981
- Peterson, E.L., Mortensen, N.G., Landberg, L., Hojstrup, J., Frank, H.P., Wind power meteorology, Riso National Laboratory, Roskilde, Denmark, 1997
- Salmon, J.R., Bowen, A.J, Hoff, A.M., Johnson, R. Mickle, R.E., Taylor, P.A., Tetzlaff, G., Walmsley, J.L., The Askervein Hill Project: Mean wind variations at fixed height above ground. Boundary-Layer Meteorology 43, 247-271, 1987
- Suwantakul, B., Watabutr, W. Sitathan, V.T., Namprakai, P., Solar and Wind Potential Assessment of Thailand, Renewable Nonconvectional Energy Project, USAID project No. 493-0304, Meteorological Department and King Mongkut's Institute of Technology Thonburi, Bangkok, Thailand, 1984
- Troen, I., Petersen, E.L., *European Wind Atlas*. ISBN 87-550-1482-8. Risø National Laboratory, Roskilde. 656 pp., 1989

ภาคผนวก

รายละเอียดการติดตั้งสถานีวัดลมตามโครงการความร่วมมือทางด้านพลังงานทดแทน ระหว่างประเทศไทยและประเทศกัมพูชา

ผู้จัดได้ร่วมเดินทางไปติดตั้งเสาวัดลมที่ได้นำตรฐานในประเทศไทยกัมพูชา 5 แห่งภายใต้โครงการความร่วมมือทางด้านพลังงานทดแทนระหว่างประเทศไทยและประเทศกัมพูชา ซึ่งข้อมูลที่วัดได้จากสถานีวัดทั้ง 5 แห่งนี้จะใช้เปรียบเทียบกับการคำนวณโดยใช้แบบจำลองบรรยายกาศระดับสเกลปานกลาง โดยสถานที่สำหรับติดตั้งเสาวัดลมจะอยู่ที่สถานีอุตุนิยมวิทยา 5 แห่งคือสถานีอุตุนิยมวิทยาเมืองเสียมเรียบ สถานีอุตุนิยมวิทยาเมืองกัมpong สถานีอุตุนิยมวิทยาเมืองพนมเปญ สถานีอุตุนิยมวิทยาเมืองសៀមរាប และ สถานีอุตุนิยมวิทยาเมืองកំពត

นอกจากอุปกรณ์วัดลมแล้วจำเป็นต้องเตรียมอุปกรณ์ประกอบต่างๆ สำหรับเสาวัดลม ดังนี้

1) เสาวัดลม

ในโครงการนี้ผู้ดำเนินโครงการเลือกใช้เสาวัดลมแบบโครงถัก (lattice wind mast) ทั้งนี้ เพราะสามารถขึ้นไปติดตั้งอุปกรณ์วัดลม และปรับระดับอุปกรณ์ได้สะดวกกว่าเสาแบบท่อทรงกระบอก อีกทั้งยังสามารถขึ้นไปช่องบารุงได้ง่าย เนื่องจากวัสดุสำหรับสร้างเสาวัดลมในกัมพูชาหาได้ยาก ผู้ดำเนินโครงการจึงได้จัดสร้างเสาวัดลมที่ประเทศไทยโดยแยกชิ้นส่วนให้สามารถขนส่งไปติดตั้งได้สะดวก



รูปที่ A1 แสดงชิ้นส่วนของเสาวัดลม ซึ่งจะนำไปติดตั้งในกัมพูชา

2) แบบติดตั้งอุปกรณ์วัดลม

ในการวัดลมในก้มพูชาที่สถานีสีหนุ่วิล ก้มปอต ก้มปงชม และเสียงเรียบ จะทำการวัดที่ระดับ 20 เมตร 40 เมตร และ 50 เมตร และที่พนมเปญจะวัดที่ระดับ 30 เมตร การวัดที่ระดับดังกล่าวจำเป็นต้องทำแบบติดตั้งเครื่องวัดลม (boom) ให้ยื่นห่างจากเสาวัดลม ผู้ดำเนินโครงการจึงได้จัดเตรียมแบบติดตั้งอุปกรณ์วัดลม ซึ่งทำด้วยเหล็กกล่องชุบด้วยสังกะสีที่กันสนิม โดยออกแบบให้สามารถเลื่อนเข้าออกจากเสาวัดลม และปรับมุมซ้ายขวาได้ แสดงดังรูปที่ A2



รูปที่ A2 แสดงแบบติดตั้งอุปกรณ์วัดลม

3) อุปกรณ์ติดแผงโซลาร์เซลล์

เนื่องจากเครื่องบันทึกสัญญาณที่ใช้ในระบบเก็บข้อมูลทำงานด้วยไฟฟ้าจากโซลาร์เซลล์ ดังนั้นจึงต้องทำการติดตั้งแผงโซลาร์เซลล์ เพื่อรับพลังงานแสงอาทิตย์มาใช้งาน โดยผู้ดำเนินโครงการจะติดบนเสาวัดลมที่ระดับความสูง 10-15 เมตร ทั้งนี้เพื่อให้สามารถรับพลังงานแสงอาทิตย์ได้ตลอดทั้งวัน ในการติดตั้งแผงโซลาร์เซลล์ ผู้ดำเนินโครงการได้จัดทำแบบและแผ่นรองแผงโซลาร์เซลล์ ดังแสดงในรูปที่ A3



รูปที่ A3 แสดงแขนพร้อมแผ่นรองโซลาร์เซลล์ ซึ่งจะนำไปติดบนเสาวัดลม

4) ตู้เหล็กใส่เครื่องบันทึกข้อมูล

ถึงแม้ว่าเครื่องบันทึกข้อมูลจะออกแบบให้ติดตั้งใช้งานกลางแจ้ง แต่สภาพแวดล้อมของกัมพูชาซึ่งเป็นแบบร้อนชื้น มีความเข้มรังสีดวงอาทิตย์และความชื้นสูง ตดูผนค่อนข้างยาวดังนั้นเพื่อยืดอายุการใช้งานของอุปกรณ์ดังกล่าว ผู้ดำเนินโครงการจะติดตั้งเครื่องบันทึกข้อมูลของสถานีสีหนุวิล กัมปอต กัมpong แหลม และเสียมเรียบไว้ในอาคารโกลด์กับเสาวัดลม โดยผู้ดำเนินโครงการได้จัดทำตู้เหล็กสำหรับใส่อุปกรณ์ดังกล่าวจากประเทศไทยจำนวน 4 ชุด ตู้ดังกล่าว นอกจากใช้งานเครื่องบันทึกข้อมูลแล้วยังสามารถจัดเก็บเอกสารและสมุดบันทึกประจำเครื่อง (log-book) ด้วย สำหรับกรณีสถานีพนมเปญ เสาวัดลมอยู่ห่างจากอาคารมาก จึงติดตั้งเครื่องบันทึกข้อมูลในตู้ติดตั้งอุปกรณ์อุตุนิยมวิทยา ซึ่งป้องกันเดดและฝนได้



รูปที่ A4 แสดงตู้ใส่เครื่องบันทึกข้อมูล

ในโครงการนี้จะติดตั้งแขนสำหรับติดอุปกรณ์วัดความเร็วลม (anemometer) และแขนสำหรับติดอุปกรณ์วัดทิศทางลม (wind vane) ที่ระดับต่างกันประมาณ 50 เซนติเมตร และอยู่คนละด้านของเสาวัดลม เนื่องจากก้มพูชาอยู่ภายใต้อิฐพลของลมมรสุมตะวันออกเฉียงใต้ และลมมรสุมตะวันออกเฉียงเหนือ ดังนั้นแขนเสาวัดลมของทุกสถานีจะยื่นจากตัวเสาไปทางทิศเหนือ ซึ่งเป็นทิศที่กระแสลมถูกเสาวัดล้อมรอบกวนน้อยที่สุด โดยใน 4 สถานีคือ เสียมเรียน กัมpong chum สีหนุวิลล์ และกัมปอต ได้ติดตั้งอุปกรณ์วัดลมทั้งหมด 3 ระดับ คือที่ระดับ 20 เมตร 40 เมตร และ 50 เมตร สำหรับสถานีพนมเปญนั้นเนื่องจากอยู่ใกล้กับถนนบินจึงติดตั้งเพียงระดับเดียวคือ 30 เมตร และเครื่องบันทึกข้อมูลจะอยู่ในอาคารสำนักงานของเข้าหน้าที่ทั้งหมด ยกเว้นที่สถานีพนมเปญจะอยู่ตรงโคนเสาเนื่องจากเสาอยู่ห่างจากสำนักงานมาก รูปของเสาวัดลมและเครื่องบันทึกข้อมูลของแต่ละสถานีได้แสดงไว้ในรูปที่ A5 – A14



รูปที่ A5 แสดงเสาวัดลมที่สถานีเสียงเรียบ



รูปที่ A6 แสดงเครื่องบันทึกข้อมูลที่สถานีเสียงเรียบ



รูปที่ A7 แสดงเสาวัดลมที่สถานีกัมปงธม



รูปที่ A8 แสดงเครื่องบันทึกข้อมูลที่สถานีกัมปงธม



รูปที่ A9 แสดงการติดตั้งเสาวัดลมที่สถานีพนมเปญ



รูปที่ A10 แสดงเครื่องบันทึกข้อมูลของสถานีพนมเปญ



รูปที่ A11 แสดงเสาวัดคลื่นที่สถานีสีหนุวิถล



รูปที่ A12 แสดงเครื่องบันทึกข้อมูลที่สถานีสีหนุวิถล



รูปที่ A13 แสดงเสาวัดลมที่สถานีกัมปอต



รูปที่ A14 แสดงเครื่องบันทึกข้อมูลที่สถานีกัมปอต

ประวัติผู้วิจัย

ชื่อ นายวรกานต์ พรเมสสน

ที่อยู่ 123 ถ.มะโน ต.ในเวียง อ.เมือง จ.น่าน 55000

ประวัติการศึกษา

พ.ศ. 2540 สำเร็จการศึกษาปริญญาโทสาขาวิชาศาสตรบัณฑิต วิชาเอกฟิสิกส์
จากมหาวิทยาลัยเชียงใหม่ จ.เชียงใหม่

พ.ศ. 2550 ศึกษาต่อวิทยาศาสตรบัณฑิต สาขาวิชาฟิสิกส์
บัณฑิตวิทยาลัย มหาวิทยาลัยศิลปากร จ.นครปฐม